

Precipitaciones en el periodo 2005 a 2025 en Tenerife

Cambio pluviométrico en los últimos 21 años

Autores:
Luis Manuel Santana Pérez y Andrés Delgado Izquierdo

marzo 2026

El bosque cubierto de nieve de la fotografía de portada nos rememora ambientes nórdicos idílicos, ¿no es cierto?, la escena es consecuencia del desplazamiento de la banda nubosa activa asociada al núcleo de bajas presiones ligeramente profunda, costado meridional de la borrasca Emilia. Nubosidad abundante de destacado espesor en las vertientes meridional y occidental que ocasionan precipitaciones líquidas y sólidas en las cumbres insulares. Foto: Pinares de la crestería montañosa de Arafo publicada en la web de RTVC el 12 de diciembre 2025.

ÍNDICE

- Presentación
 - Agradecimientos
 - Introducción
 - Antecedentes
 - Galería fotográfica de episodios lluviosos intensos en el último lustro
-
- Situaciones barométricas de eventos lluviosos relevantes en el último lustro. Imágenes satelitales
- Desplazamiento de un frente nuboso a comienzo de la primavera en las islas. Precipitaciones apreciables a copiosas, el 20 de marzo de 2025. Borrasca Martinho.
- Desplazamiento de un frente nuboso en la primavera en las islas. Precipitaciones copiosas a intensas, 9 y 10 de abril de 2025. Borrasca Oliver.
- Viento alisio estival en medianías altas septentrionales. Precipitaciones apreciables a copiosas, el 24 de julio de 2025.
- Desplazamiento de una borrasca en otoño en las islas. Precipitaciones copiosas a intensas, 12 y 13 de noviembre de 2025. Borrasca Claudia.
- Irrupción de una borrasca atlántica al final del otoño. Precipitaciones copiosas a intensas, 12 y 13 de diciembre de 2025. Borrasca Emilia.
- Irrupción de una borrasca atlántica a comienzo del invierno los días 6 al 8 de enero de 2021. Borrasca Filomena
 - Irrupción de la borrasca tropical Hermine. Episodio estival muy lluvioso los días 24 y 25 de septiembre de 2022.
 - Irrupción de aire húmedo y fresco septentrional. Vientos intensos y nevada en la vertiente norte y cumbres entre los días 21 al 12 de diciembre de 2024. Borrasca Enol.
 - Isoyetas de años lluviosos y secos. Isoyetas húmedas 2025, 2014 y 2010. Isoyetas muy secas 2007 y 2017
- Clasificación de las precipitaciones anuales y estacionales medias acumuladas en el periodo 2005 a 2025
- Las series pluviométricas anuales y estacionales más largas.
- Nociones estadísticas básicas. Tendencias pluviométricas
- Precipitaciones anuales y estacionales en La Orotava – Izaña entre 1922 a 2025. La serie pluviométrica más larga de Canarias
 - Precipitaciones anuales y estacionales en Santa Cruz de Tenerife entre 1933 a 2025
 - Precipitaciones anuales y estacionales en La Laguna - Aeropuerto de los Rodeos (sotavento) entre 1970 a 2025
 - Precipitaciones anuales y estacionales en Granadilla – Aeropuerto Sur entre 1982 a 2025
 - Precipitaciones anuales y estacionales en El Sauzal - Ravelo entre 2000 a 2025
 - Precipitaciones anuales y estacionales en Vilaflor – Los Frontones 2000 a 2025

- Colofón
- Precipitaciones anuales y estacionales acumuladas medias entre 2005 a 2025. Tendencias pluviométricas
- Precipitaciones anuales y estacionales acumuladas medias entre 2010 a 2025. Tendencias pluviométricas
- Precipitaciones anuales y estacionales acumuladas medias entre 2015 a 2025. Tendencias pluviométricas
- Conclusión
- Bibliografía y referencias digitales

ANEXOS

- Red de estaciones meteorológicas automáticas de Tenerife
- Tendencias de las precipitaciones anuales y estacionales en lugares que registran series de observaciones notables
- Precipitaciones anuales y estacionales en La Laguna – Tejina entre 2002 a 2025
 - Precipitaciones anuales y estacionales en El Charco del Viento entre 2001 a 2025
 - Precipitaciones anuales y estacionales en Buenavista del Norte entre 2001 a 2025
 - Precipitaciones anuales y estacionales en Arico – Llanos San Juan entre 2001 a 2025
 - Precipitaciones anuales y estacionales en Arico – El Bueno entre 2001 a 2025
 - Precipitaciones anuales y estacionales en Guía de Isora entre 2001 a 2025
- Estaciones pluviométricas en el periodo 2005 – 2025. Precipitaciones estacionales y anuales medias
 - Estaciones pluviométricas en el periodo 2010 – 2025. Precipitaciones estacionales y anuales medias
 - Estaciones pluviométricas en el periodo 2015 – 2025. Precipitaciones estacionales y anuales medias
- Precipitaciones mensuales y anuales acumuladas en las estaciones pluviométricas que intervienen en la obtención de los valores medios estacionales y anuales durante el periodo 2005 a 2025
- Fechas de precipitaciones diarias superiores a unas referencias
- Precipitaciones diarias superiores o iguales a 125 mm
- Precipitaciones diarias superiores o iguales a 100 mm
- Precipitaciones diarias superiores o iguales a 75 mm

PRESENTACIÓN - Jorge Mongil Manso

Es siempre un honor presentar un trabajo de Luis Manuel Santana Pérez, debido al interés de los temas estudiados y al exquisito rigor con el que se tratan. En este caso, el estudio de la tendencia de las precipitaciones en la isla de Tenerife en los últimos años, es un asunto vital, ya que el agua es un recurso escaso y necesario, en cualquier lugar, pero especialmente en las islas. Más aún cuando, debido al cambio del clima, lamentablemente, se observan descensos pluviométricos en la mayoría de las estaciones del país, y numerosos climatólogos en todo el mundo están estudiando las tendencias de las lluvias.

Analizar el comportamiento de las precipitaciones en un periodo temporal, dentro de un territorio determinado, es una labor frecuente por parte de los científicos del clima. Sin embargo, hacerlo en una isla como Tenerife tiene especial interés al entrar en juego factores como la orografía compleja -altitudes y orientaciones-, la influencia marina y la pequeña superficie de la tierra emergida. En este escenario, los contrastes pluviométricos son muy acusados, algo que también experimentamos en el borde meridional de la submeseta norte, donde me encuentro. En la provincia de Ávila, la pluviometría es escasa en la zona norte, con precipitaciones anuales alrededor de 400 mm, llegando a bajar a los 369 mm en Blasconuño de Matababras, y mucho más generosa en el sur, con máximos que llegan a los 2.000 mm anuales en la vertiente meridional de la sierra de Gredos. Cuantías que, por lo tanto, poco tienen que ver con las de la antigua Nivaria.

Me pide Luis que explique aquí para qué necesitan la climatología los ingenieros de montes e ingenieros forestales. Ya desde el origen de la profesión forestal, estaba presente la influencia del clima sobre los montes y la vegetación. El Real Decreto de 27 de noviembre de 1852 ordenaba la creación de comisiones especiales compuestas por ingenieros de montes, a las que se encargaba del reconocimiento de las principales zonas forestales de la península y la práctica de los estudios necesarios al “mejor cultivo y aprovechamiento de sus arbolados”. Estas comisiones formadas por tres ingenieros se encargaban de la ordenación de los montes y de los inventarios científicos, y aparecen entre sus funciones “proponer al gobierno las repoblaciones y las siembras que creyeren oportunas; el establecimiento de semilleros y viveros, y las nuevas plantaciones donde el terreno, **el clima** y las necesidades de los pueblos las reclamen”, así como “hacer al gobierno las observaciones oportunas sobre la geología del suelo; **las influencias atmosféricas en la vegetación** del arbolado, las relaciones de los montes con la industria y las necesidades del país y **con la salubridad de los climas**”. Así mismo, en el Real Decreto de 13 de noviembre de 1856, en el que se encarga al cuerpo de ingenieros de montes la gestión de los montes, se indica que “a los ingenieros de montes se debe el reconocimiento de varias provincias, la formación de sus croquis, las observaciones científicas sobre el arbolado, la geología de los diversos suelos y **las influencias de sus climas respectivos**”.

Dejando a un lado la historia, cualquier proyecto o estudio de carácter forestal requiere de un apartado y/o anejo de clima suficientemente detallado. De esta manera, los proyectos redactados para ejecutar repoblaciones forestales, tratamientos selvícolas o viveros forestales, así como los proyectos de ordenación forestal o planes dasocráticos, requieren una información climática meticulosamente recogida y elaborada. Se puede decir que un buen proyecto, estudio o informe cuenta con un apartado climatológico de calidad, y para que así sea, el contenido debe ser, como mínimo, el siguiente: un resumen del clima de la comarca en la que se encuentra el monte; la tabla de datos de precipitaciones, temperaturas, humedad relativa y evapotranspiración potencial del año medio; índices fitoclimáticos como Emberger, Martonne o Vernet, y otros índices como el de aridez de la FAO-UNEP; clasificaciones climáticas ‘generalistas’ como la de UNESCO-FAO o Rivas-Martínez, o más típicamente forestales como la de Allué-Andrade, igualmente debe incluir la ficha hídrica de Thornthwaite y Matter, el climodiagrama de Walter y Lieth, que es un magnífico resumen del clima de una zona, y los diagramas bioclimáticos de Montero de Burgos y González-Rebollar que, además de caracterizar el clima, tienen diversas aplicaciones en el estudio de la producción forestal, la ordenación del territorio o la elección de especies y del método de preparación del terreno en repoblaciones forestales.

Por todo ello, es muy importante o, al menos interesante y necesario, especialmente en los montes ordenados, tener estaciones meteorológicas en servicio (ahora esto es mucho más sencillo gracias a las estaciones automáticas) que proporcionen datos para la gestión del monte. Recuerdo con cariño cómo un ingeniero de montes de la administración forestal, mi jefe en aquel momento, no diré su nombre ni diré de dónde, me regaló un termómetro de máximas y mínimas, que aún conservo, al haberlo retirado de una estación meteorológica forestal porque tenía un pequeño defecto y ya no servía.

Mención especial merece el campo de la hidrología forestal, donde la información climática es insoslayable. Así, amén de un anejo climático como el que se ha indicado anteriormente, hay que prestar especial atención a las precipitaciones máximas, por ser las responsables de las avenidas y, por lo tanto, de los caudales punta en ocasiones catastróficos. Tenemos presentes los recientes acontecimientos particularmente dañinos en la Comunidad Valenciana, o aquella riada del 31 de marzo de 2002, que afectó a la zona metropolitana de Santa Cruz de Tenerife. También en el ámbito de la hidrología forestal, nos fijamos en la denominada ‘agresividad de las lluvias’, es decir, la potencialidad de las precipitaciones para generar erosión en los suelos, debido a su intensidad y a la energía cinética con la que se caen las gotas.

Sólo me queda animar al lector a que lea con atención el trabajo que sigue y a que observe las fotografías que tan acertadamente ha incluido Luis, ya que se trata de un trabajo que, aunque no definitivo -nada en la ciencia lo es-, da un paso de gigante en el conocimiento de las precipitaciones en esta isla que, no lo olvidemos, son la principal fuente del agua, imprescindible para cultivos, ecosistemas y abastecimientos a poblaciones.

Jorge Mongil Manso
Profesor de Hidrología Forestal
Universidad Católica de Ávila

AGRADECIMIENTOS

Mi gratitud a Dña. Carmen Nuria Prieto Arteaga, miembro del Departamento de Difusión y Comunicación de Museos de Tenerife. persona generosa que ha revisado el contenido del trabajo y ha hecho posible la publicación; Dña. Judith Fernández Rodríguez, Jefa del Servicio Técnico de Agricultura y Desarrollo Rural del Cabildo de Tenerife; persona empática que ha hecho posible la disposición de observaciones meteorológicas de Agrocabildo y del Observatorio Meteorológico de Tenerife; D. Francisco Barrera González, amigo entrañable facilita información de sus tres estaciones meteorológicas; D. Rubén Ferrera, Bodegas Ferrera facilita información de la estación Las Vigas, lugar importante en el Valle de Güímar; D. Eustaquio Villalba Moreno, divulgador científico, geógrafo y ecologista, las nuevas tendencias pluviométricas se han trazado gracias a sus ideas innovadoras; a Dr. Jorge Mongil Manso, Ingeniero de Montes, profesor de la Universidad Católica de Ávila y director del Centro Tecnológico de Restauración Forestal y Sostenibilidad, por sus constantes ánimos para realizar el estudio pluviométrico.

A los fotógrafos Dr. Juan Luis Rodríguez Luengo, investigador etnográfico y biólogo; D. Rafael Cedrés Jorge, analista informático y fotógrafo, cuyas imágenes bellísimas agradaran al lector; D. Francisco Pallero Clavijo, fotoperiodista del Diario de Avisos; Dña. Roció Hernández Rolo, Dña. Lucía Rosé y D. Juan González.

A las Instituciones: Radio Televisión Canaria, periódicos Diarios de Avisos y el Día, Satélite Terra Modis (NASA), Satélite Eumetsat - Wokingham Weather. mapas barométricos NWS-Nordatlantik-

Bodenanalysen, operadores del radar meteorológico en Gran Canaria y University of Wyoming Atmospheric Science Radiosonde.

INTRODUCCIÓN

Esta monografía es la vigesimonovena de la sección de publicaciones climáticas del MUNA y octava relacionada con la descripción pluviosa insular. En realidad, una tarea sencilla al ser las continuaciones de anteriores trabajos pluviométricos: ¿existe cambio pluviométrico en Tenerife en los últimos 40 años? (2012) y precipitaciones en el periodo 2013 a 2024 en Tenerife, tendencias pluviométricas en los últimos años (marzo 2025). Es importante el estudio de regresiones pluviométricas e investigación de situaciones barométricas propicias a liberar precipitaciones abundantes en la isla que se presentan en ambos trabajos.

En los últimos años, la aparición de internet nos facilita un procedimiento científico para conocer nuestro medio natural. Los mapas barométricos nos indican las características meteorológicas de Canarias, y sobre todo, las imágenes de satélites en los canales infrarrojo o visibles muestran la estructura y densidad de la masa nubosa oceánica que alcanza las costas de las islas. Estos procedimientos técnicos novedosos desvelan las interrelaciones entre masa nubosa, vegetación, precipitación y orografía. Afirmamos la importancia hidrológica de la Corona Forestal, banda boscosa que rodea la isla, como la mayor inductora de las precipitaciones.

La modernización de la red pluviométrica insular constituida de estaciones automáticas y su localización en áreas de montaña revelan nuevas zonas lluviosas desconocidas en épocas pretéritas por la falta de instrumentación. Los estudios hidrológicos precedentes se ha relacionado la zona lluviosa con la medianía alta de la vertiente noroeste a noreste, zona rica en biodiversidad botánica, no obstante, los análisis de las nuevas series temporales muestran en varios lapsos anuales precipitaciones abundantes en medianía alta y zona de montaña, cotas comprendidas entre 900 m y 1600 m en la vertiente sur a suroeste.

Nuevamente analizamos las series de precipitaciones anuales acumuladas en seis lugares, periodos más largos de observaciones meteorológicas, así actualizamos parámetros estadísticos básicos en cualquier estudio climatológico. También, analizamos las observaciones homogéneas en 41 estaciones meteorológicas en el periodo de 21 años, 2005 a 2025. El documento tiene un léxico y estilo de redacción sencillo y pedagógico, ya que va dirigido a toda suerte de lectores interesados por temas ecológicos, en este caso Tenerife, insertando indirectamente conceptos meteorológicos muy utilizados en los medios de comunicación actual. Asimismo, trata de atender la importante demanda de información meteorológica, algo que queda demostrado en las conversaciones ciudadanas habituales sobre la escasez de precipitaciones en agricultura, precipitaciones ocultas y cambio climático, temáticas que incitan curiosidad en nuestros días.

Tras un largo periodo estacional sin llover, el estudio analiza situaciones barométricas de días muy lluviosos en el último lustro, así como, concienzudamente días lluviosos en 2025, el octavo año más lluvioso en más de dos décadas, donde se rompe la tendencia temporal carente de precipitaciones, además de exponer el mapa de isoyetas, no mostrado en el anterior estudio pluviométrico.

El acceso del autor a la abundante información climática insular ha permitido la realización de una guía de tendencias pluviométricas en seis lugares que poseen las series de observaciones más largas, una especie de "diccionario ilustrado" donde muestra la magnitud de la disminución precipitaciones en estas últimas décadas.

El estudio consta de seis capítulos o secciones: galería fotográfica de paisajes en repuesta a las precipitaciones notables; situaciones barométricas típicas que aportan precipitaciones relevantes, mapas e imágenes satelitales; clasificación de las precipitaciones anuales y estacionales medias acumuladas en el periodo 2005 a 2025; tendencias pluviométricas de las series anuales y estacionales más largas; tendencias pluviométricas de las observaciones anuales y estacionales acumuladas medias en los periodos 2005 a 2025, 2020 a 2025 y 2015 a 2025 en tres conjuntos de estaciones meteorológicas: insular, vertientes con orientación norte y sur. además, un amplio anexo constituido de tablas de resultados

estadísticos mensuales y anuales de todas las estaciones pluviométricas, y fechas de precipitaciones diarias superiores a varias referencias.

La bibliografía muestra referencias de trabajos pluviométricos digitales realizadas por el autor publicados en el Cabildo Insular de Tenerife, portales webs de Agrocabildo y Museo de la Naturaleza y Arqueología. Es de interés mencionar:

- ¿Existe cambio pluviométrico en Tenerife en los últimos 40 años? (2012)
- Precipitaciones anuales siglo XXI en Tenerife (enero 2021)
- Precipitaciones otoñales 2014 en Tenerife
- Precipitaciones de niebla en Canarias (marzo 2020).
- Misceláneas pluviométricas en Tenerife siglo XXI (abril 2020).
- Sobre efemérides de precipitaciones intensas del siglo XXI en Tenerife. Observaciones obtenidas en la red de estaciones automáticas de Tenerife (octubre 2020)
- Sobre la tormenta Hermine en Canarias: intenso episodio lluvioso a finales de septiembre de 2022
- Precipitaciones en el periodo 2013 a 2024 en Tenerife. Tendencias pluviométricas en los últimos años (marzo 2025)

GALERIA FOTOGRÁFICA DE EPISODIOS LLUVIOSOS INTENSOS EN EL ÚLTIMO LUSTRO

Una galería es el conjunto de fotografías que retratan características climáticas de la isla por medio de observaciones meteorológicas bien definidas y mostrando paisajes tras eventos meteorológicos concretos. Todas las fotografías están relacionadas entre sí por un tema común, la presencia de agua en los paisajes. Sirve para ilustrar de manera grafica condiciones ocasionales de un territorio húmedo; lo habitual es un territorio semiárido que sufre ausencia de precipitaciones. Colección de imágenes relacionadas con las precipitaciones abundantes recogidas en pocos días en situaciones barométricas excepcionales donde se muestra el esplendor de la naturaleza durante el episodio pluvial o días posteriores

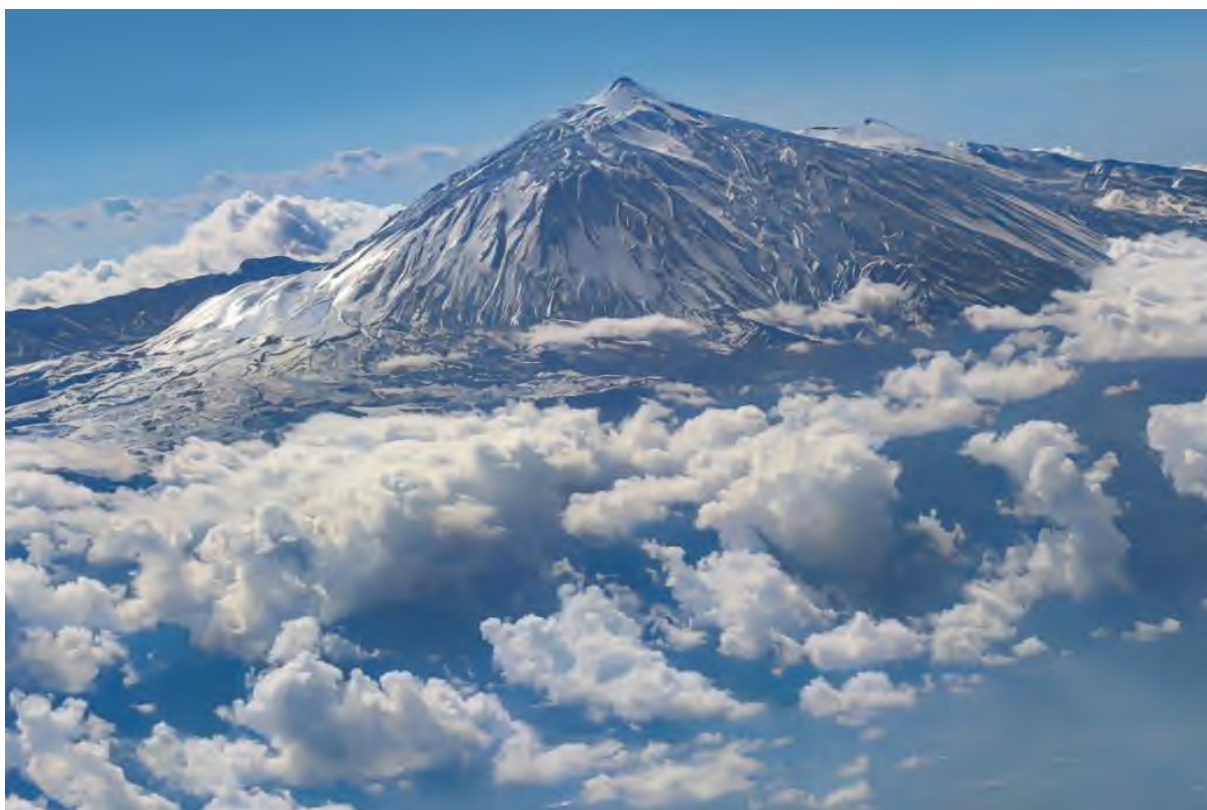


Foto: Rocío Hernández Rolo

Capa de estratocúmulos rodea las medianías y costas. Nubosidad fragmentada de escaso espesor en las vertientes septentrionales y nubosidad abundante de destacado espesor en las vertientes meridional y occidental tras el desplazamiento de la *borrasca Emilia* el 12 al 15 de diciembre de 2025. Nubes convectivas alcanzan el flanco meridional del circo de Las Cañadas del Teide y cubren sus superficies interiores. En este evento meteorológico se recogieron precipitaciones en forma de lluvia y nieve.



Foto: paisaje nevado de RTVC, 12 de diciembre de 2025

Aspecto del interior de la caldera de Las Cañadas del Teide. Nubosidad abundante sobre la cumbre del circo y nubosidad dispersa en su interior. Superficies nivosas de escaso espesor tras el desplazamiento de la borrasca Emilia. El aspecto de la nevada puede dar pie a hacer conjeturas de cuantías notables de agua sobre la superficie, suposición lejos de la realidad, por término medio cada centímetro de nieve equivale aproximadamente a un litro de agua, aunque esta relación puede variar. Se suele dar por buena la equivalencia entre un centímetro de nieve recién caída y un milímetro de agua de lluvia recogida con un pluviómetro. La *nieve fresca* puede equivaler a 1.3 cm de nieve por cada milímetro de lluvia, pero no deja de ser una estimación.





Fotos: RTVC, 12 de diciembre de 2025

Aspecto del volcán Teide y aledaños de Las Cañadas cubiertas de nieve. Flancos meridional y septentrional permanecen cubiertos con capas nivosas de espesores destacadas tras la irrupción de la borrasca acompañada de vientos muy fuertes, fríos y húmedos que soplaron en el sector nornoroeste a norte en altitudes similares al del Parque Nacional del Teide. Nubosidad orográfica tenue rodea las laderas superiores del Teide.



Foto: Fran Pallero Diario de Avisos

Imagen apropiada de tormenta eléctrica, rayos sobre el mar engendrados en el movimiento convectivos en el interior del núcleo nuboso de la borrasca Claudia, el 13 de noviembre de 2025. Soplan vientos moderados a fuertes del sector SSE a SW. Las precipitaciones en zonas colindantes a Garachico son 17.6 mm, 73 % en La Quinta; 12.7 mm, 80 %, 1551 Wh/m² en Los Silos; 18 mm, 78 % en Icod –

Redondo; 24.8 mm, 90 %, 1671 KW/m² en El Tanque – Ruigómez; 21 mm, 91 %, 945 Wh/m² en Santiago del Teide – Valle de Arriba.



Foto: Cabildo de Tenerife, 23 diciembre 2024

La nieve llega a las Cañadas y Teide tras el desplazamiento de una DANA. La borrasca Enol ocasiona notables precipitaciones después de muchos meses de sequía. Las precipitaciones en zonas colindantes el 22 de diciembre son las siguientes: Aguamansa 19.1 mm, 99 %, 821 KW/m²; Benijos 23.3 mm, 89 %, 580 Wh/m²; Icod el Alto 30.5 mm, 92 %, 663 KW/m²; Santa Úrsula 15.6 mm, 94 %, 1026 KW/m²; El Gaitero 20.6 mm, 100 %, 1092 KW/m²; Redondo 29.1 mm, 93 %, 766 Wh/m²; Los Picachos 5 mm, 83 %, 3220 KW/m² y Ravelo.8 mm; 92 %, 1232 KW/m².



Foto: Lucía Rosé, 22 diciembre de 2024.

Aspecto de la atmósfera durante y posterior a la irrupción de aire húmedo y fresco septentrional. Vientos intensos y nevadas en la vertiente norte y cumbres entre el 21 al 23 de diciembre de 2024, tras el desplazamiento de la borrasca Enol. La *primera nevada* tras un largo periodo de ausencias de precipitaciones destacadas. Las precipitaciones en zonas colindantes el 21 de diciembre son las siguientes: Aguamansa 21 mm, 97 %; Benijos 23.5 mm, 90 %; Palo Blanco 28.6 mm, 99 %; Icod el Alto 32.1 mm, 95 %; Santa Úrsula 17.7 mm, 97 %; El Gaitero 11.7 mm, 100 %; Redondo 15.8 mm, 89 %; Ruigómez 16.2 mm, 92 %; Los Picachos 0.9 mm, 75 % y Ravelo 11.4 mm, 94 %.



Foto: Rafael Cedrés Jorge, 16 de diciembre de 2023, días posteriores a la nevada

Paisaje nevado de Las Cañadas del Teide tras el desplazamiento de una borrasca al norte de las islas que afectó a la baja troposfera. El paso lento del frente nuboso libera precipitaciones abundantes y copiosas. Paisaje nevado desde las laderas del Teide hasta el borde exterior del circo de Las Cañadas. En lontananza se encuentra el Observatorio de Izaña y la capa de estratocúmulos que cubre el cinturón de pinares y medianías altas cultivadas.



Fotos: Diario de Avisos

Precipitaciones intensas en el barranco de Santos y calles de San Cristóbal de La Laguna la tarde del sábado 24 de septiembre de 2022. La franja nubosa vinculada al borde septentrional de la borrasca

tropical *Hermine* cubre el Archipiélago, liberando precipitaciones intensas extraordinarias a comienzo del otoño. Precipitaciones copiosas 27.5 mm son recogidas en pocas horas de la tarde y precipitaciones intensas 86.4 mm son recogidas durante el domingo. La Vega Lagunera sufría escasez de precipitaciones hace meses, por tanto, el episodio lluvioso es muy bien acogido.



Foto: Juan Luis Rodríguez Luengo, 30 de junio de 2022

Imagen del interior del bosque de laurisilva exuberante. Aspecto goteante que adquiere la vegetación en contacto con la atmósfera muy húmeda después de su desarrollo en forma de *precipitación de niebla orográfica*. Su presencia tiene lugar en las aristas del relieve y sus aledaños, sea en sus costados a barlovento como a sotavento. También durante el periodo nocturno, la atmósfera se enfría y el contenido acuoso de la atmósfera se deposita sobre la vegetación y a ras de suelo en forma de *precipitación de rocío*, cuya cuantía es apreciable instantes previos al amanecer.

Aspecto que adquiere muchos lugares del relieve insular un día de una situación barométrica típica estival. Un anticiclón intenso sobre las Azores, su flanco oriental impulsa aire marino septentrional fresco y húmedo, además, una depresión ubicada en la zona central de Argelia, su flanco occidental impulsa aire seco septentrional. La combinación de ambas situaciones barométricas induce la circulación de aire templado y húmedo en dirección norte a noreste, soplan los *vientos alisios* sobre las aguas canarias. Esta condición meteorológica, en muchas ocasiones va acompañada de lloviznas o ligeros chubascos en zonas de medianía en contacto con la nubosidad orográfica.

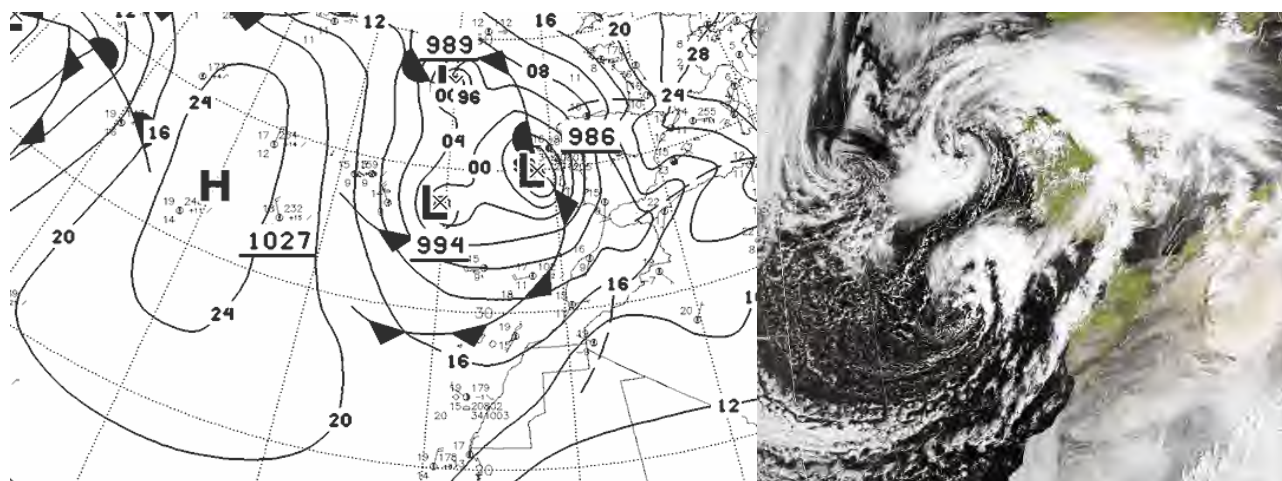
SITUACIONES BAROMÉTRICAS DE EVENTOS LLUVIOSOS RELEVANTES EN EL ÚLTIMO LUSTRO. IMÁGENES SATELITALES

Presentamos situaciones meteorológicas representativas de situaciones atmosféricas que acompañan a precipitaciones de diversas intensidades sobre la superficie insular. Es necesario destacar las pocas ocasiones que llueve y cuando suceden sus valores están vinculados a condiciones de orientaciones y altitudes de las vertientes donde son observadas. Las precipitaciones débiles a copiosas casi siempre son más frecuentes, sin embargo, cuantías más elevadas tienen valores infrecuentes.

Cada episodio lluvioso es analizado con la información suministrada por mapas barométricos en superficie correspondientes a las primeras horas de cada día; imágenes de satélite METEOSAT en espectros visibles y algunas veces en infrarrojo; también, ecos del radar AEMET registrado desde Gran Canaria, sondeos atmosféricos registrados a mediodía en la costa del Valle de Güimar y algunas que otras fotos de autores generosos.

Serie de *imágenes satelitales* por cortesía de EUMETSAT y NOAA (Administración Nacional Oceánica y Atmosférica). Las imágenes se reciben directamente del satélite MSG actual y se reproducen con el permiso la agencia europea de satélites operativo para el seguimiento del tiempo, el clima y el medio ambiente desde el espacio.

Desplazamiento de un frente nuboso a comienzo de la primavera en las islas. Precipitaciones apreciables a copiosas, el 20 de marzo de 2025. Borrasca Martinho.

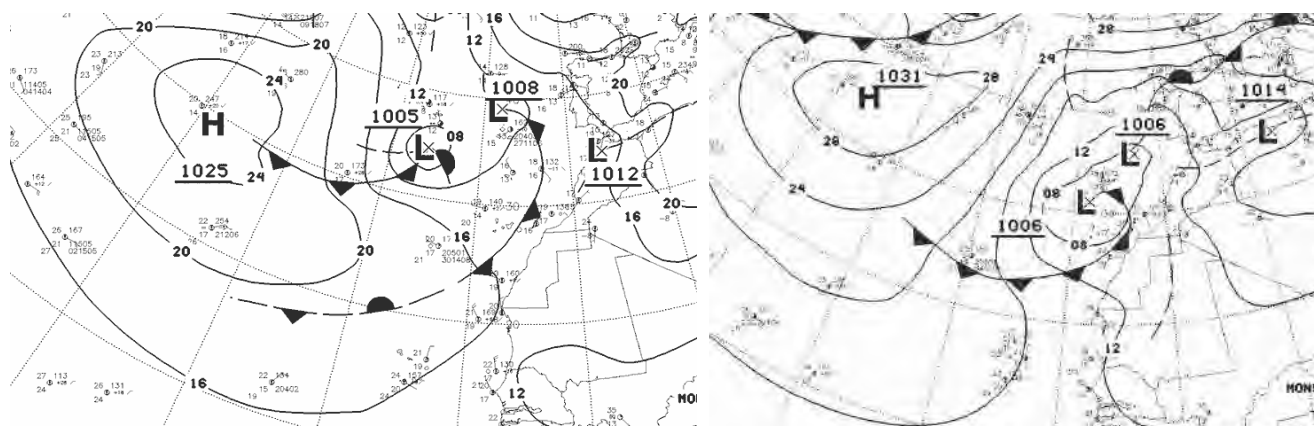


El mapa indica una situación barométrica superficial típica de *irrupción de un frente nuboso* que acompaña a una borrasca que se desplaza en latitudes más altas, soplan vientos débiles a moderados en el sector sur a oeste. Un núcleo anticiclónico extenso, alargado latitudinal y poco intenso (1027 mb) situado al oeste del archipiélago de las Azores y dos bajas presiones ligeramente profundas sobre Madeira y la costa central de Portugal (994 mb y 986 mb), *borrasca Martinho*. La combinación de núcleos depresionarios causa la circulación de masas de aire húmedas, frescas con componente sur a oeste que alcanzan la costa. Formación de nubosidad orográfica que desencadenan lloviznas y ligeros chubascos en medianías altas, más intensas en las vertientes orientales que en las occidentales.

La imagen satelital (visible) a las 12 h, indica el extremo de una franja nubosa alargada latitudinalmente, estrecha sobre Atlántico oriental. Banda nubosa que *barre* toda la superficie insular donde las precipitaciones débiles a moderadas se distribuyen desigual, más destacadas en las vertientes septentrionales. La precipitación diaria en lugares de medianías a barlovento y sotaventos es la siguiente; Anaga costa – Taganana 3 mm; La Laguna – ETSIA 11.3 mm; El Rosario – Los Baldíos 10 mm; Tacoronte -Agua García 17.7 mm; El Sauzal - Ravelo 24.2 mm; La Victoria 20.3 mm; Benijos 7.6 mm; Aguamansa 7.3 mm; Icod el Alto 10.7 mm; Icod – Redondo 2.4 mm; El Tanque – Ruigómez 4.5 mm;

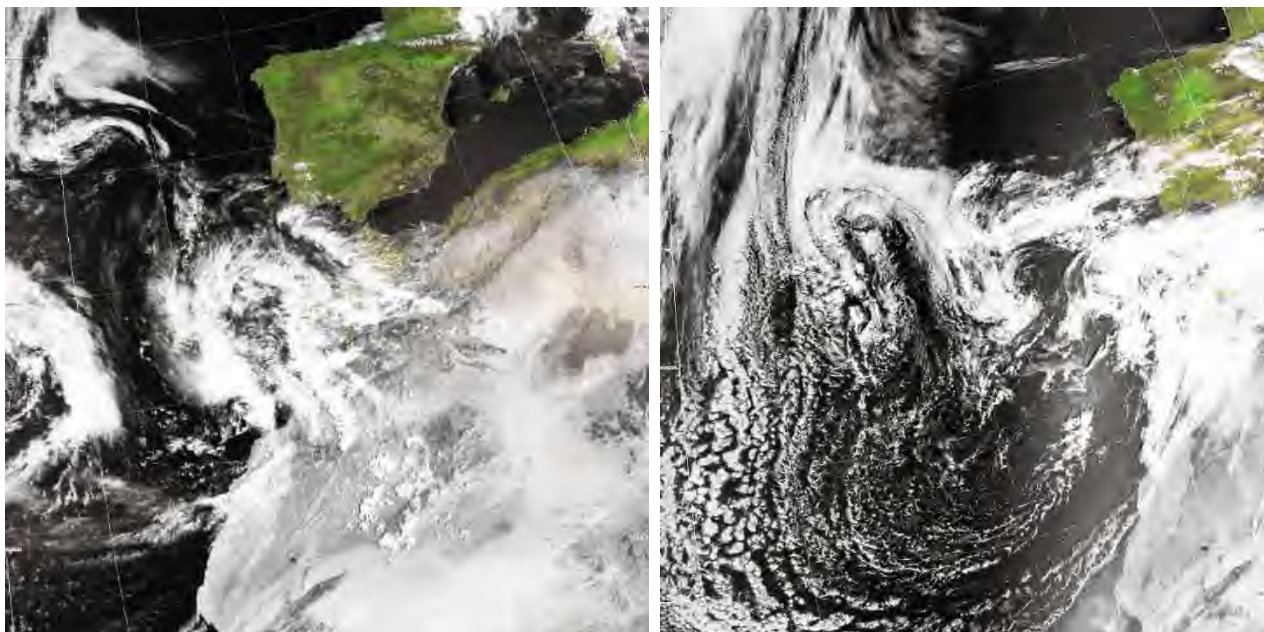
Candelaria – Araya 1.2 mm; Arafo – Añavingo 0.8 mm; Arico – El Bueno 5.3 mm, Vilaflor – Los Frontones 0 mm, Guía Isora – El Pozo 0.4 mm y Santiago Teide – Valle de Arriba 5.8 mm.

Desplazamiento de un frente nuboso en la primavera en las islas. Precipitaciones copiosas a intensas, 9 y 10 de abril de 2025. Borrasca Oliver.



El mapa 9 de abril indica una situación de *irrupción de un frente nuboso* asociado a una borrasca que se desplaza en latitudes más altas de las islas, soplan vientos moderados en el sector suroeste a noroeste. Un núcleo anticiclónico extenso y poco intenso (1025 mb) situado en Atlántico medio y dos bajas presiones poco profundas al oeste de Madeira y la costa central de Portugal (1005 mb y 1008 mb), *borrasca Oliver*. La combinación de núcleos depresionarios causa la circulación de masas de aire húmedas, frescas con componente oeste alcanzan la costa. Formación de nubosidad convectiva que desencadenan chubascos a intensas lluvias en medianías, más intensas en las vertientes occidentales que en las orientales.

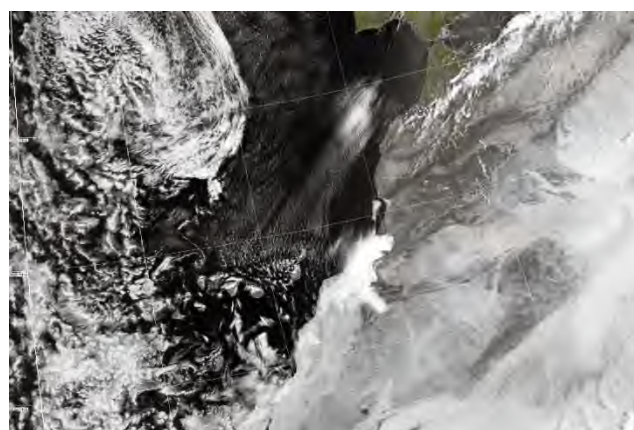
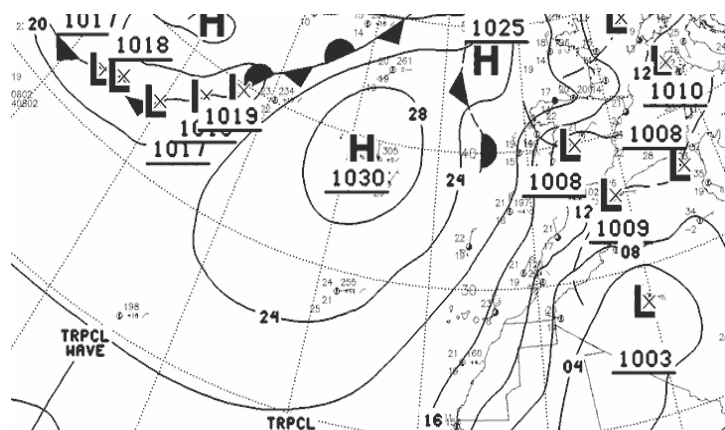
El mapa 10 de abril indica la *irrupción del frente nuboso* desplazándose hacia el este, asociado a la *borrasca Oliver* que se desplaza al norte de las islas, soplan vientos moderados en el sector sureste a suroeste. Un núcleo anticiclónico extenso y ligeramente intenso (1031 mb) situado en Atlántico medio y dos bajas presiones ligeramente más profundas que el día anterior, descienden de latitud, situadas al norte y noreste de Canarias (1006 mb). La combinación de núcleos depresionarios causa la circulación de masas de aire húmedas, frescas con componente sur que alcanzan la costa. La formación de nubosidad orográfica desencadena lloviznas a chubascos en medianías, más intensas en las vertientes orientales que en las occidentales.



La imagen satelital del 9 de abril indica el desplazamiento de la masa nubosa sobre el archipiélago, más intensa en las islas orientales, se aproxima una nueva masa nubosa, extremo de una franja nubosa estrecha, alargada latitudinalmente sobre Atlántico oriental; la mitad central a este de la isla está cubierta de nubosidad. La banda nubosa *ha barrido* toda la superficie insular donde las precipitaciones son débiles a moderadas, se distribuyen desiguales, más destacadas en las vertientes orientales. La precipitación diaria en lugares de medianías es la siguiente; Taganana 17.4 mm; La Laguna – ETSIA 16.4 mm; Los Baldíos 19.6 mm; Agua García 13.6 mm; Ravelo 17.1 mm; La Victoria 19.1 mm; Benijos 17.2 mm; Aguamansa 16.4 mm; Icod el Alto 24 mm; Redondo 21.0 mm; Ruigómez 34.8 mm; Araya 18.0 mm; Añavingo 18.6 mm; Los Helechos 33.7 mm, Los Frontones 41.4 mm, Guía Isora - Pozo 39 mm y Valle de Arriba 56.2 mm.

La imagen satelital del 10 de abril indica nubosidad densa dispersa sobre las islas occidentales tras el desplazamiento del frente nuboso. Cielo con nubes y claros. La precipitación diaria en lugares de medianías es la siguiente; Taganana 25.4 mm; La Laguna – ETSIA 14.6 mm; Los Baldíos 14 mm; Agua García 29.6 mm; Ravelo 50.5 mm; La Victoria 69.1 mm; Benijos 17.4 mm; Aguamansa 30.8 mm; Icod el Alto 39.7 mm; Redondo 26.3 mm; Ruigómez 17.2 mm; Araya 4.1 mm; Añavingo 6.7 mm; Los Helechos 2.9 mm, Los Frontones 6.1 mm, Guía Isora - Pozo 11 mm y Valle de Arriba 9.3 mm.

Viento alisio estival en medianías altas septentrionales. Precipitaciones apreciables a copiosas, el 24 de julio de 2025.

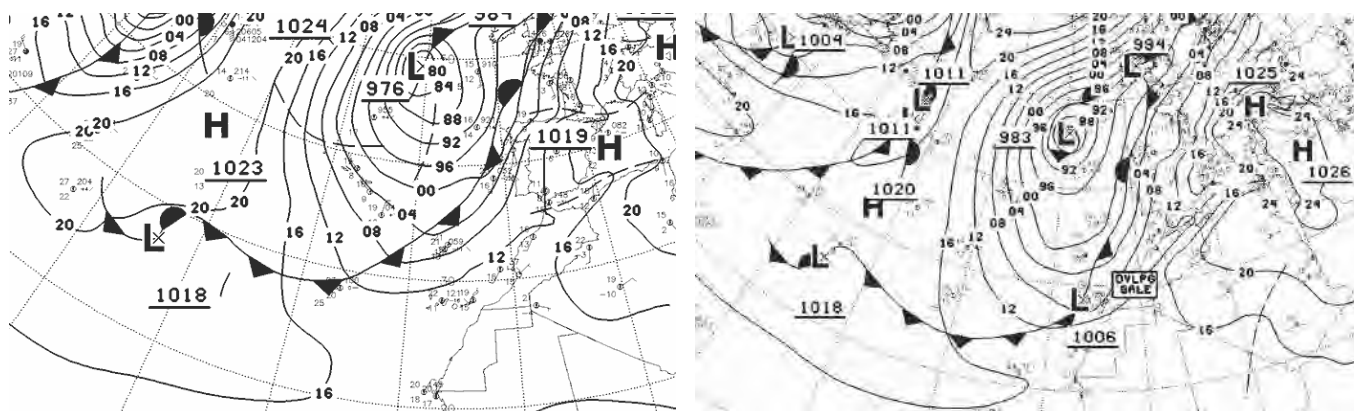


El mapa indica una situación barométrica superficial típica de *vientos alisios septentrionales* en Canarias. Un núcleo anticiclónico extenso e intenso (1030 mb) situado sobre el archipiélago de las Azores y un conjunto de bajas presiones poco profundas sobre la península Ibérica (1008 mb), costa de Marruecos (1009 mb) y zona central de Argelia (1003 mb), depresión latitudinal alargada. La combinación de núcleos barométricos causa la circulación de masas de aire húmedas, frescas septentrionales se impone sobre el desplazamiento de masas de polvo sahariano. Fuerte contraste higrométrico entre las vertientes a barlovento y sotavento en zonas boscosas donde son notables las *precipitaciones de nieblas* sobre la arboleda o rocas, y *precipitaciones de rocío* en zonas despejadas de obstáculos son apreciables durante la noche; ambas precipitaciones aportan localmente cantidades ingentes de agua al suelo, no cuantificadas con pluviómetros electrónicos. Lloviznas a ligeros chubascos en medianías altas, más intensas en las vertientes orientales que en las occidentales.

La imagen satelital indica una franja nubosa longitudinal, alargada, extensa sobre la medianía alta entre 700 m a 1000 m septentrional y superficies libres de nubosidad en el resto del territorio insular. La precipitación diaria en algunos lugares de medianías a barlovento y sotaventos es la siguiente; Taganana 0.0 mm; La Laguna – ETSIA 10.8 mm; Los Baldíos 13.8 mm; Agua García 14.1 mm; Ravelo 17.3 mm; La Victoria 6.8 mm; Benijos 0.3 mm; Aguamansa 0.0 mm; Icod el Alto 2,0 mm; Redondo 1.5 mm; Ruigómez 7.0 mm; Añavingo 0.0 mm; El Bueno - Los Helechos 0.0 mm, Los Frontones 0.0 mm, El Pozo 0.0 mm y Valle de Arriba 0.4 mm.

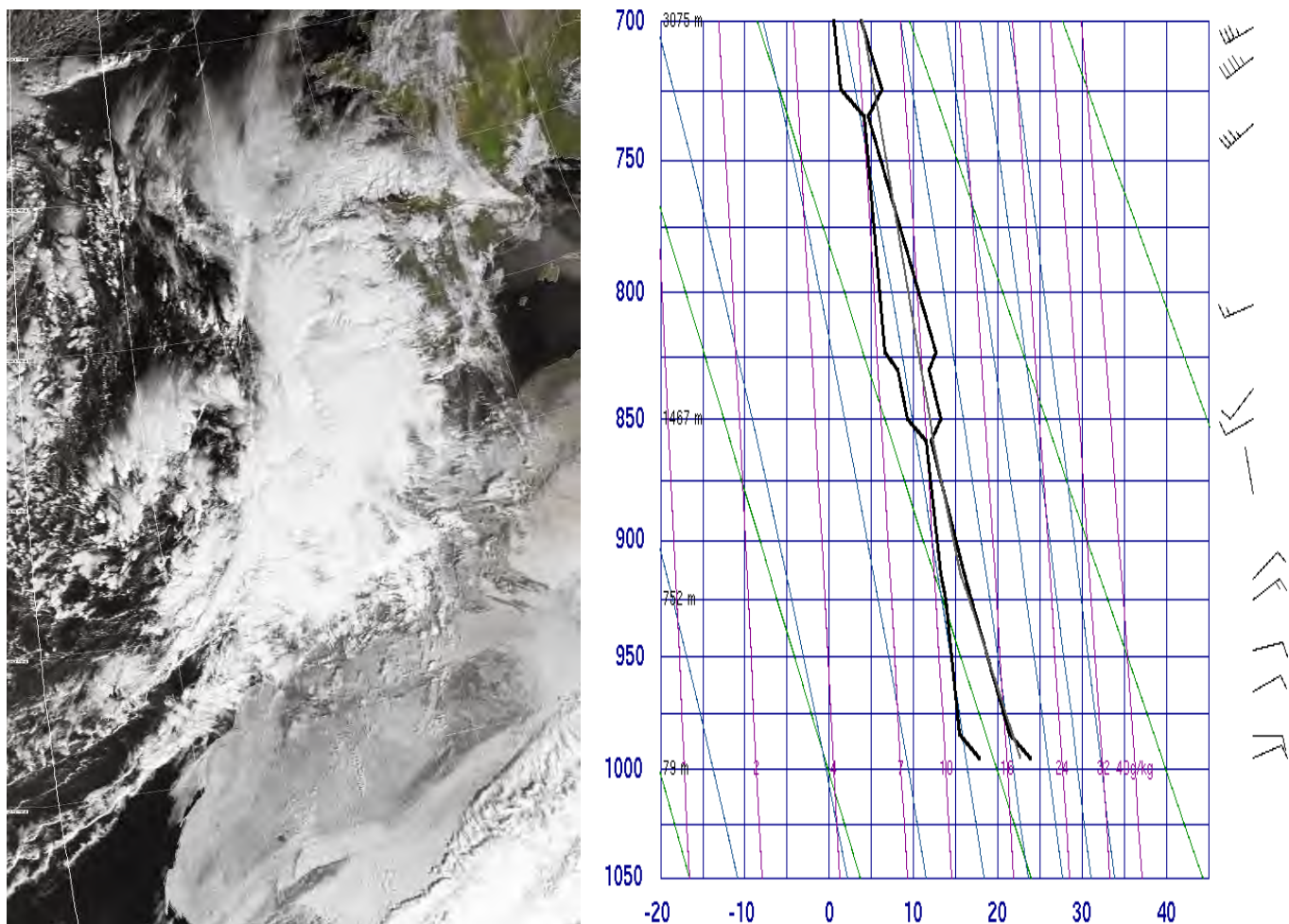
Observar la formación de neblinas y nieblas costeras en Tarfaya a causa de existencia de la circulación *upwelling*, *efecto Ekman*.

Desplazamiento de una borrasca otoñal sobre las islas. Precipitaciones copiosas a intensas, 12 y 13 de noviembre de 2025. Borrasca Claudia



El mapa barométrico 12 de noviembre indica el *acercamiento de un frente nuboso* antes del amanecer asociado al núcleo profundo (976 mb) situado frente a Bretaña. No hay indicios de formación de la *borrasca Claudia*. Soplan vientos débiles a moderados. Desplazamiento de masas de aire húmedas, frescas septentrionales que alcanzan la costa. Formación de nubosidad orográfica que desencadena chubascos a lluvias intensas en medianías de las vertientes orientales superiores a las occidentales.

El mapa barométrico 13 de noviembre indica el *desplazamiento del núcleo (1008 mb) de la borrasca Claudia* hacia el este. Soplan vientos moderados a fuertes del sector SSE a SW. Desplazamiento de otro núcleo ciclónico profundo al norte de las Azores (983 mb) que no afecta a la situación barométrica canaria. Circulación de masas de aire húmedas, frescas alcanzan la costa. La formación de nubosidad convectiva desencadena lloviznas y chubascos en las vertientes septentrionales, lluvias intensas en medianías de las vertientes occidentales y lloviznas en las vertientes meridionales.



La imagen satelital del 12 de noviembre indica aproximación de una banda nubosa al oeste de Tenerife. A mediodía se desplaza sobre La Palma. Nubosidad densa sobre las islas occidentales y sobre las medianías sur a noroeste de la isla; nubes y claros en el resto del territorio. La precipitación diaria en lugares de medianías es la siguiente; Taganana 5.5 mm; La Laguna – ETSIA 8.6 mm; Los Baldíos 9.7 mm; Agua García 15.7 mm; Ravelo 15.9 mm; La Victoria 16.6 mm; Benijos 15 mm; Aguamansa 2 mm; La Victoria – El Gaitero 8.4 mm; Icod el Alto 25.4 mm; Redondo 30.3 mm; Garachico 34.4 mm; Ruigómez 68 mm; Araya 3.4 mm; Añavingo 5 mm; Arico – Icor 4.7 mm; Los Helechos 7.8 mm, Los Frontones 53.4 mm, Guía de Isora 7.7 mm; Guía Isora - Pozo 27.4 mm, Granadilla – Pinalete 58.5 mm y Valle de Arriba 64.4 mm.

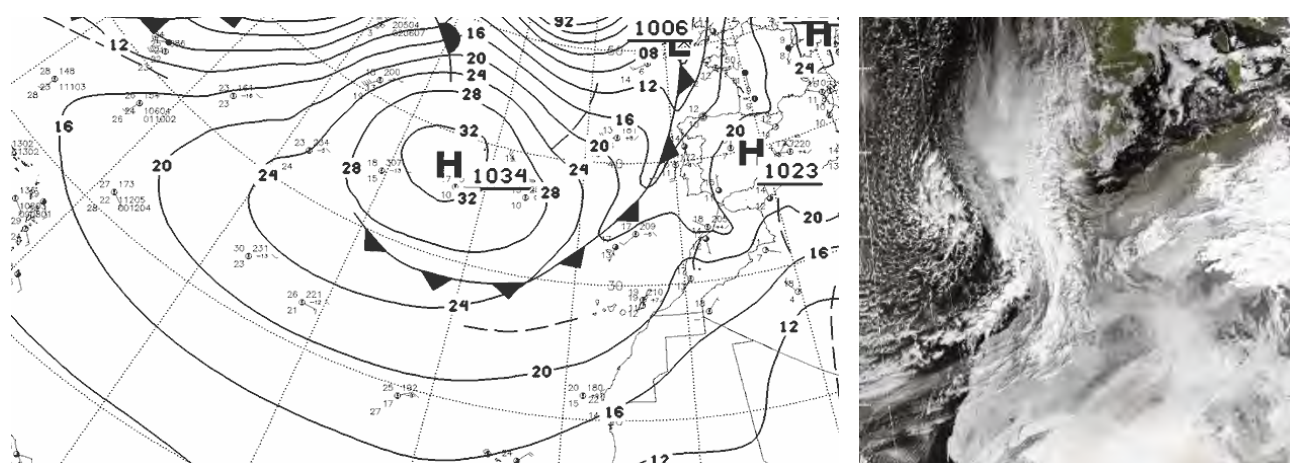
La imagen satelital el 13 de noviembre indica bifurcación del extremo del frente nuboso asociado a la *borrasca Claudia*. Nubosidad densa dispersa sobre las islas occidentales tras el desplazamiento del frente nuboso de mayor latitud. Cielo nuboso sobre Tenerife, excepto en la vertiente sur a este donde permanece soleada. La precipitación diaria en lugares de medianías es la siguiente; Taganana 28.4 mm; La Laguna – ETSIA 41.6 mm; Los Baldíos 55.7 mm; Agua García 73.1 mm; Ravelo 74.1 mm; La Victoria 51.1 mm; Benijos 8.4 mm; Aguamansa 12.2 mm; El Gaitero 18.3 mm; Icod el Alto 23 mm; Redondo 18 mm; Garachico 19.6 mm; Ruigómez 24.8 mm; Araya 5.7 mm; Añavingo 6.4 mm; Icor 0.1 mm; El Bueno

0.8 mm, Los Frontones 12.9 mm, Guía de Isora 5.6 mm; El Pozo 3.4 mm, Pinalete 7.8 mm y Valle de Arriba 21 mm.

La radiosonda es un dispositivo empleado en meteorología. Se basa en el lanzamiento de un globo lleno de hidrógeno acompañados de sensores para medir varios *parámetros atmosféricos* y transmitirlos a un aparato receptor fijo. El dispositivo se fija al globo que lo eleva a través de la atmósfera. El globo estalla cuando alcanza una altura aproximada de 30.000 metros debido a la falta de presión del aire externo a esa altitud. La radiosonda moderna se comunica por radio con un ordenador que almacena todas las variables en tiempo real. Las variables más importantes son: presión, altitud, posición geográfica (latitud/longitud), temperatura y humedad relativa del aire, velocidad y dirección del viento y algunos también miden la concentración media de ozono. Con las observaciones es posible dibujar *diagramas Stüve*, que son útiles para interpretar fenómenos tales como las *inversiones térmicas* o *presencia de nubosidad con gran contenido acuoso*.

El *sondeo atmosférico* efectuado en la costa de Güimar – La Planta, indica descenso de temperatura del aire progresivo a lo largo de toda la troposfera baja, excepto en tres pequeñas capas de inversiones térmicas de poco espesor. En superficie, 23.8 °C, 69 %, 14,8 Km/h, ENE a 105 m; 13.6 °C, 91 %, 3,7 Km/h, NNW a 1174 m; 12 °C, 97 %, 13 Km/h, WNW a 1378 m; 13.2 °C, 77 %, 18.5 Km/h, WSW a 1467 m, primera *inversión térmica*, sube la temperatura y arrecia ligeramente el viento, 12.4 °C, 78 %, 20.4 Km/h, WSW a 1587 m; 11.8 °C, 78 %, 20.4 Km/h, WSW a 1667 m, se conserva intensidad y dirección del viento; 12.6 °C, 67 %, 20.4 Km/h, WSW a 1738 m, segunda *inversión térmica*; 4.6 °C, 67 %, 66.7 Km/h, SW a 2687 m, arrecia notablemente el viento; 6.2 °C, 71 %, 87 Km/h, SW a 2797 m, tercera *inversión térmica*, arrecia el viento; -0.1 °C, 96 %, 100 Km/h, SW a 3500 m, arrecia el viento. Debemos resaltar en ese día una troposfera semihúmeda a muy húmeda, tres inversiones térmicas de escaso espesor y soplan vientos débiles a muy intensos, noreste y suroeste.

Irrupción de una borrasca atlántica al final del otoño. Precipitaciones copiosas a intensas, 12 y 13 de diciembre de 2025. Borrasca Emilia.

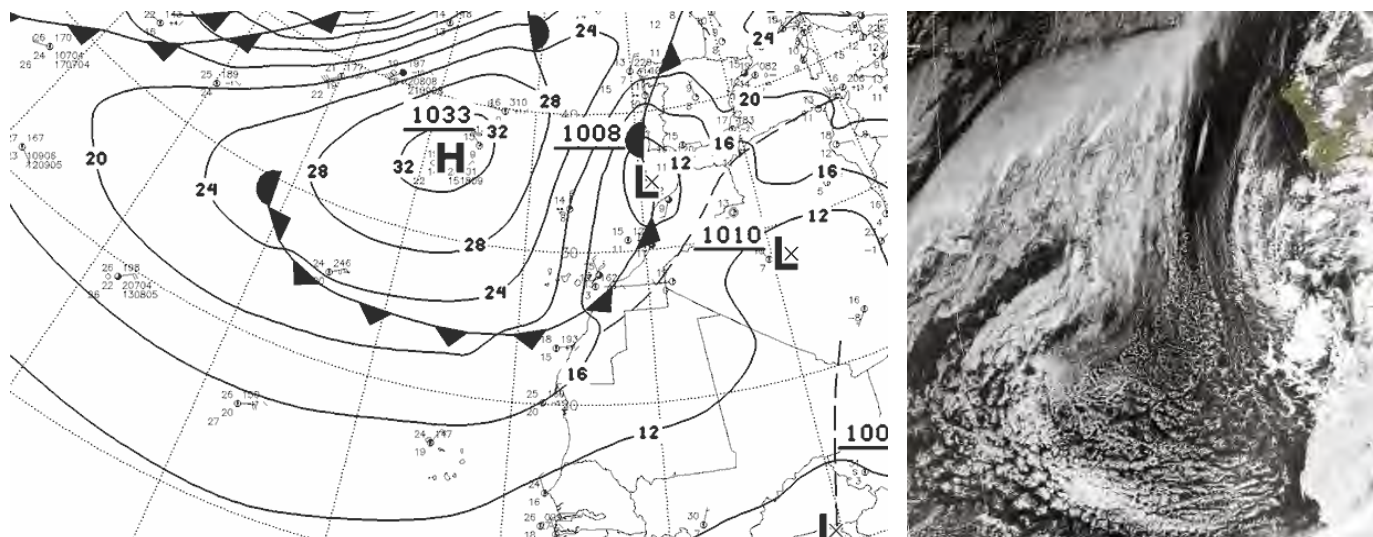


Mapa barométrico e imagen satelital el 12 de diciembre de 2025. Frente asociado a la borrasca Emilia

El mapa barométrico es realizado antes del amanecer indica un amplio anticiclón atlántico (1034 mb) intenso al oeste de las Azores. Distribución de un alargado frente nuboso asociado a la baja presión ligeramente profunda (1006 mb) situada en la costa de Bretaña. *Avanza un frente sobre Canarias*. No hay indicios de formación de la *borrasca Emilia*. Soplan vientos débiles a moderados, frescos y húmedos alcanzando la costa. La formación de nubosidad orográfica desencadena lloviznas y chubascos en medianías.

La imagen satelital a mediodía nubosidad abundante, menos acusada en zona central y vertientes sur sureste a noroeste de Tenerife. Nubosidad densa sobre las vertientes septentrionales del archipiélago

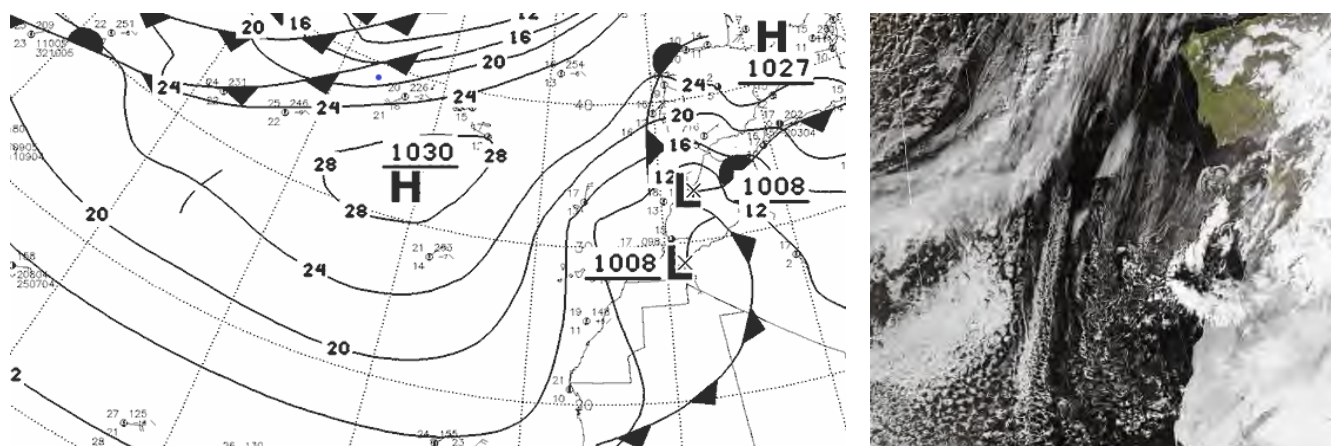
canario. La precipitación diaria es la siguiente; Tejina 3.5 mm; Taganana 1.5 mm; El Bailadero 5.6 mm; La Laguna – ETSIA 14.9 mm; Los Baldíos 41 mm; Agua García 25.5 mm; Ravelo 18.7 mm; La Victoria 15.9 mm; Benijos 17.3 mm; Aguamansa 20.3 mm; El Gaitero 21 mm; Icod el Alto 12 mm; Redondo 13.1 mm; Buenavista del Norte 6.5 mm; Garachico 16 mm; Ruigómez 12.8 mm; Araya 17.3 mm; Añavingo 26.3 mm; Icor 35.6 mm; El Bueno 17 mm, Los Picachos 14.6 mm; Los Frontones 0.2 mm, Los Topos TVI 2.1 mm; Charco del Pino 0 mm; Guía de Isora 5.7 mm; Chavao 5.8 mm; El Pozo 2.9 mm, Pinalete 0 mm y Valle de Arriba 17.2 mm.



Mapa barométrico e imagen satelital el 13 de diciembre. Distribución de la nubosidad de la borrasca Emilia

El mapa barométrico indica amplio anticiclón atlántico (1033 mb) al oeste de Azores. Distribución del alargado frente nuboso asociado a la baja presión ligeramente profunda (1008 mb) situada al norte frente al golfo de Cádiz. La masa nubosa se extiende sobre las islas Canarias. Formación de la *borrasca Emilia*. Soplan vientos moderados a fuertes septentrionales, frescos y húmedos. La formación de nubosidad convectiva desencadena lloviznas, chubascos y lluvias intensas en la superficie insular. Precipitaciones en forma de lluvias intensas y nieve en las cumbres.

La imagen satelital a mediodía nubosidad intensa al norte del archipiélago. La nubosidad cubre la totalidad de la isla y es abundante en las cumbres. Nubes convectivas causan precipitación sólida acompañada de vientos septentrionales intensos. La precipitación diaria en la isla es la siguiente: 13 dic siguiente; Tejina 14.3 mm; Taganana 15.1 mm; El Bailadero 19.6 mm; ETSIA 37.8 mm; Los Baldíos 53 mm; Agua García 32.1 mm; Ravelo 41.2 mm; La Victoria 47.9 mm; Benijos 50.8 mm; Aguamansa 55.3 mm; El Gaitero 56.9 mm; Icod el Alto 33.7 mm; Redondo 55.4 mm; Buenavista del Norte 22 mm; Garachico 29 mm; Ruigómez 36.4 mm; Araya 105.4 mm; Añavingo 112.8 mm; Icor 63 mm; El Bueno

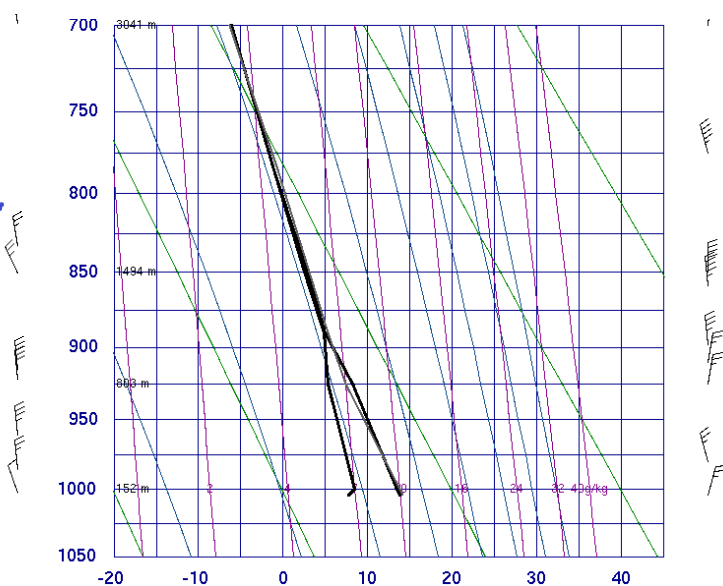
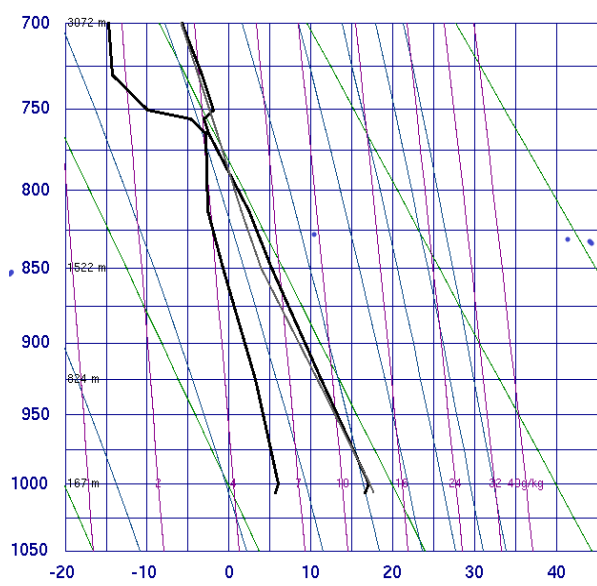


83.8 mm, Los Picachos 60.8 mm; Los Frontones 11.8 mm, Los Topos TVI 28.1 mm; Charco del Pino 5.1 mm; Guía de Isora 88.4 mm; Chavao 33.9 mm; El Pozo 72.4 mm, Pinalete 9.4 mm y Valle de Arriba 50.9 mm.

Mapa barométrico e imagen satelital el 14 de diciembre. Desplazamiento hacia el este de la borrasca Emilia

El mapa barométrico indica amplio anticiclón atlántico (1030 mb) intenso, algo debilitado en días anteriores, situado al oeste de Madeira. Dos núcleos de bajas presiones poco profundos (1008 mb) al noreste de Canarias situados sobre el estrecho de Gibraltar y sur de Marruecos, desplazamiento de la borrasca Emilia al este; distribución del frente nuboso debilitado barre la costa del nornoroeste de Marruecos. Avanza el extremo del frente asociado a la borrasca sobre Canarias. Nubosidad notable en la vertiente norte y dispersas en el resto de la isla. La formación de nubosidad orográfica desencadena lloviznas y chubascos.

La imagen satelital indica la borrasca Emilia sobre la costa africana, nubosidad abundante cubre las islas orientales, las vertientes noroeste a noreste y zona central de Tenerife. Nubosidad densa sobre las vertientes septentrionales. La precipitación diaria es la siguiente: Tejina 4.1 mm; Taganana 9.2 mm; El Bailadero 4.4 mm; ETSIA 26.6mm; Los Baldíos 27.5 mm; Agua García 15.8 mm; Ravelo 44.9 mm; La Victoria 20.1 mm; Benijos 17.7 mm; Aguamansa 12.3 mm; El Gaitero 22 mm; Icod el Alto 19.1 mm; Redondo 10.5 mm; Buenavista del Norte 12.6 mm; Garachico 11.3 mm; Ruigómez 12.4 mm; Araya 10.8 mm; Añavingo 3.8 mm; Icor 0.6 mm; El Bueno 1.7 mm, Los Picachos 0.4 mm; Los Frontones 1.4 mm, Los Topos TVI 0.7 mm; Charco del Pino 0 mm; Guía de Isora 0.9 mm; Chavao 29.3 mm; El Pozo 0.7 mm, Pinalete 0 mm y Valle de Arriba 10.5 mm.



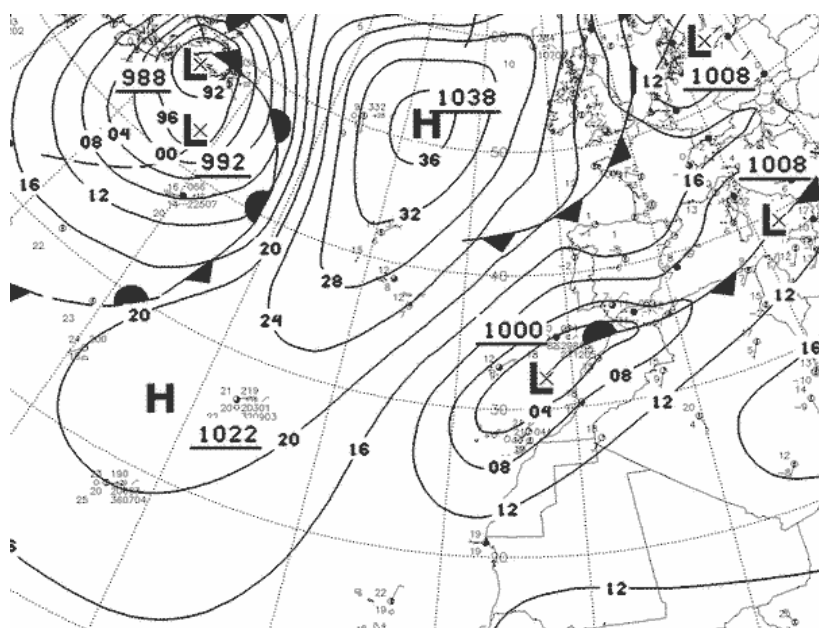
Los sondeos atmosféricos son efectuados en la costa de Güimar en un intervalo de 12 horas, el día más lluvioso tras el desplazamiento de la borrasca Emilia.

El sondeo a medianoche el 13 de diciembre indica descenso de temperatura del aire progresivo a lo largo de toda la troposfera baja, excepto una pequeña capa de inversión térmica, saturada de poco espesor. En superficie 16.6 °C, 48 %, 14.8 Km/h, NNW a 105 m; 17 °C, 48 %, 35.1 Km/h, N a 167 m, *ligera inversión térmica*; 10.7 °C, 58 %, 57.4 Km/h, N a 887 m, arrecia el viento m; 2.4 °C, 70 %, 55.6 Km/h, N a 1883 m, la velocidad del viento se conserva; -2.5 °C, 97 %, 72.2 Km/h, N a 2371 m, *incremento del contenido acuoso de la atmósfera* y arrecia el viento; -1.9 °C, 54 %, 74.1 Km/h, N a 2517 m, *ligera inversión térmica*, se conserva intensidad y dirección del viento, notable descenso del contenido acuoso y -7.5 °C, 16 %, 56 Km/h, NW a 3506 m, arrecia el viento y descenso notable del contenido acuoso. Debemos resaltar a medianoche una troposfera semiseca a semihúmeda, excepto en una ligera franja a

gran altura, luego descenso brusco del contenido acuoso atmosférico y soplan vientos septentrionales moderados a muy fuertes.

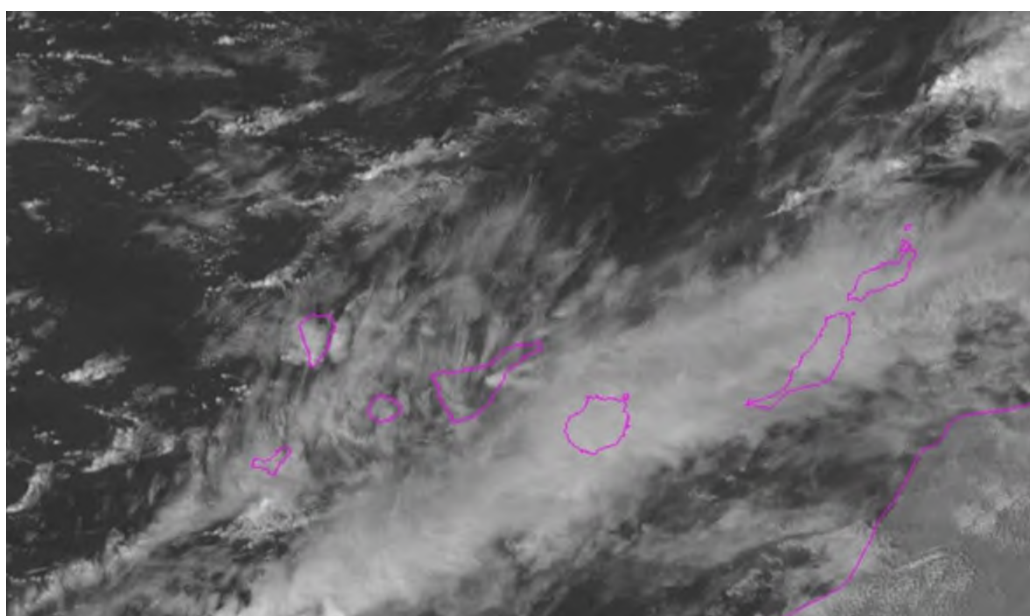
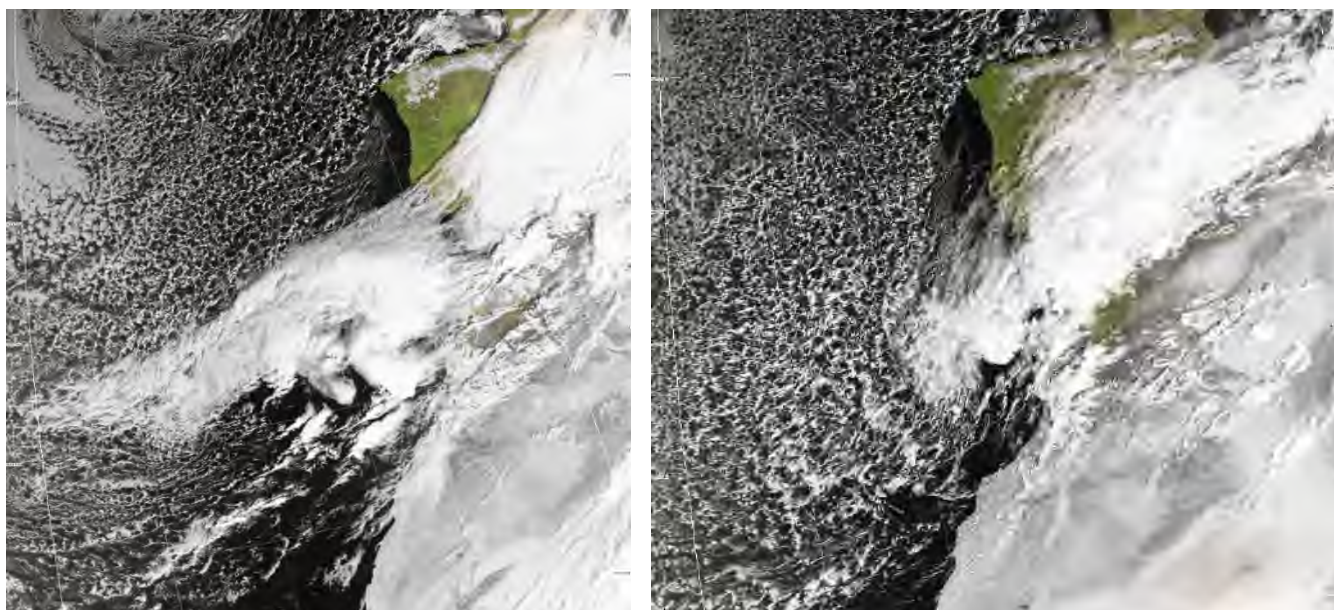
El sondeo a mediodía indica descenso de temperatura del aire progresivo a lo largo de toda la troposfera baja e inexistencia de inversión térmica, saturada entre 900 m 3080 m. En superficie 13.8 °C, 67 %, 42.6 Km/h, NNE a 105 m, soplan vientos septentrionales intensos; 8.2 °C, 82 %, 46.3 Km/h, N a 803 m, *inexistencia de inversión térmica*, descenso notable de temperatura y ascenso destacado de contenido acuoso; 5 °C, 99 %, 64.8 Km/h, N a 1120 m, arrecia el viento; -1.1 °C, 100 %, 83.3 Km/h, N a 2134 m, soplan viento fuertes; -6.5 °C, 100 %, 83.3 Km/h, N a 3086 m, se conserva la velocidad y dirección del viento, y el contenido acuoso de la atmósfera; -6.9 °C, 71 %, 85.2 Km/h, N a 3221 m, arrecia ligeramente el viento y descenso destacado del contenido acuoso. Debemos resaltar a mediodía una troposfera sin inversiones térmicas, semihúmeda a muy húmeda hasta 3080 m, posterior descenso ligero del contenido acuoso atmosférico y soplan vientos septentrionales muy fuertes.

Irrupción de la borrasca atlántica Filomena los días 6 al 8 de enero de 2021



Mapa barométrico el 8 de enero de 2021. Desplazamiento hacia el este de la borrasca Filomena

El mapa barométrico indica una alargada franja anticiclónica atlántica (1022 mb a 1038 mb) transversal, algo debilitada al oeste del archipiélago. Un núcleo de bajas presiones atlántico moderadamente profundo (1000 mb) alargado, transversal norte a noreste de Canarias situados sobre Madeira y el estrecho de Gibraltar. Avanza el flanco suroeste de la *borrasca Filomena* hacia el este. Nubosidad abundante sobre el archipiélago que desencadena precipitaciones intensas en Tenerife.



Imágenes satelitales del desplazamiento de la borrasca Filomena el 7 y 8 de enero de 2021. Detalles

La imagen satelital a mediodía del día 7 de enero, franja nubosa ancha, alargada, transversal, se extiende desde el suroeste de Madeira a estrecho de Gibraltar. La nubosidad abundante cubre las medianías oeste y nubosidad dispersa en otras partes de la isla. La precipitación diaria es la siguiente: Tejina 0 mm; Taganana 0 mm; El Bailadero 0 mm; ETSIA 0.1 mm; Los Baldíos 0.3 mm; Agua García 0 mm; Ravelo 0 mm; La Victoria 0 mm; Benijos 0.4 mm; Aguamansa 1.6 mm; El Gaitero 2.2 mm; Icod el Alto 2.4 mm; Redondo 27.2 mm; Los Silos 2.5 mm; Garachico 5.4 mm; Tierra del Trigo 14 mm; Ruigómez 24.6 mm; Araya 0 mm; Añavingo 2,5 mm; Icor 3.5 mm; Los Helechos 19.4 mm, Los Picachos 7.8 mm; Los Frontones 60.6 mm, Los Topos TVI 49.6 mm; Charco del Pino 39.2 mm; Guía de Isora 41.3 mm; Chavao 74 mm; El Pozo 19.6 mm, Pinalete 69.8 mm y Valle de Arriba 12.1 mm

La imagen del día 8 de enero, la franja nubosa se ha desplazado hacia el noreste. Nubosidad abundante en Andalucía y nubosidad considerable en las vertientes noroeste a noreste y este a sur; nubosidad dispersa en la medianía oeste. Precipitaciones intensas a copiosas en la superficie insular. La precipitación diaria es la siguiente: Tejina 23.1 mm; Taganana 17.2 mm; El Bailadero 22.1 mm; ETSIA 65 mm; Los Baldíos 56.1 mm; Agua García 34.6 mm; Ravelo 47.8 mm; La Victoria 64.1 mm; Benijos 95.4 mm; Aguamansa 123.6

mm; El Gaitero 89.3 mm; Icod el Alto 76.8 mm; Redondo 48.4 mm; Los Silos 10.1 mm; Garachico 30.5 mm; Ruigómez 25.6 mm; Araya 86.8 mm; Añavingo 40 mm; Icor 0.4 mm; Los Helechos 9.8 mm, Los Picachos 1.6 mm; Los Frontones 0.4 mm, Los Topos TVI 11.4 mm; Charco del Pino 6.1 mm; Guía de Isora 2.1 mm; Chavao 2.7 mm; El Pozo 0.2 mm, Pinalete 4.6 mm y Valle de Arriba 38.9 mm.

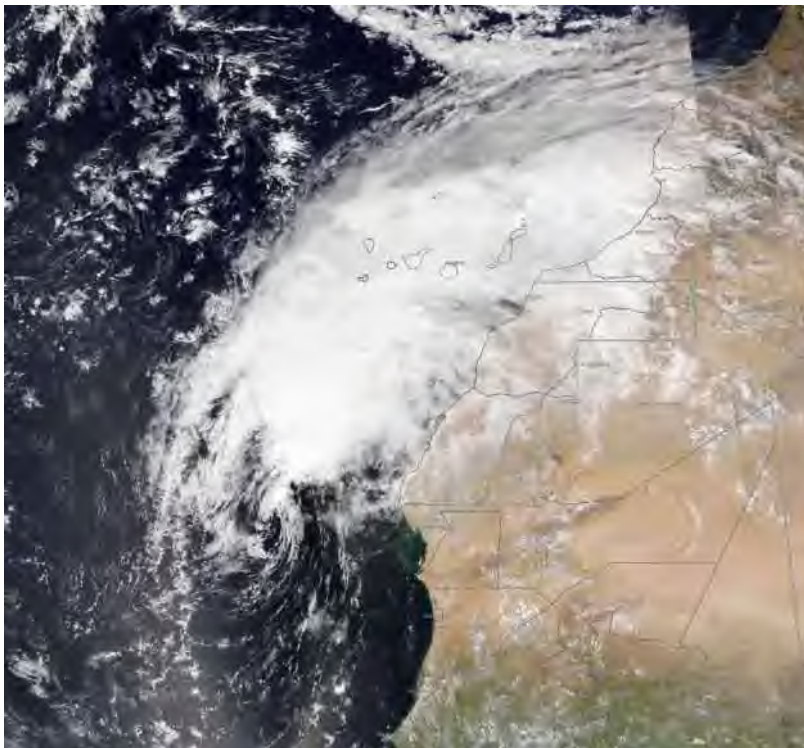
La franja nubosa comienza a deshacerse, nubosidad dispersa. Precipitaciones destacadas en las vertientes oeste a sureste, siendo copiosas en medianías altas. La precipitación diaria es la siguiente: Tejina 14.5 mm; Taganana 7.2 mm; El Bailadero 5.2 mm; ETSIA 31.1 mm; Los Baldíos 28.9 mm; Agua García 25.9 mm; Ravelo 37.2 mm; La Victoria 29.8 mm; Benijos 26 mm; Aguamansa 58.6 mm; El Gaitero 34.5 mm; Icod el Alto 28.9 mm; Redondo 18.7 mm; Los Silos 16.5 mm; Garachico 12 mm; Ruigómez 18.3 mm; Araya 33.7 mm; Añavingo 56.4 mm; Icor 1.2 mm; Los Helechos 3.4 mm, Los Picachos 1.4 mm; Los Frontones 0 mm, Los Topos TVI 0.2 mm; Charco del Pino 0 mm; Guía de Isora 9.5 mm; Chavao 0.8 mm; El Pozo 2.1 mm, Pinalete 1.3 mm y Valle de Arriba 23.6 mm



Lluvias en el Valle Orotava el 9 de enero de 2021

Aspecto de la atmósfera del Valle de La Orotava tras el desplazamiento lento de la *borrasca Filomena* al norte del archipiélago canario que libera más de 100 mm en tres días. Humedad ambiental superior al 80 %. En la costa soplan vientos débiles del sureste a suroeste en medianías sur a suroeste y en cumbres soplan vientos moderados noroeste a norte. Precipitaciones abundantes y en algunos lugares con carácter torrencial durante algunas horas; precipitaciones acumuladas el 8 y 9 de enero, 101 mm en la costa, 112 mm a 137 mm en la medianía baja, 182 mm en la medianía alta y 124 mm en la cumbre. Foto Fran Palero, Diario de Avisos

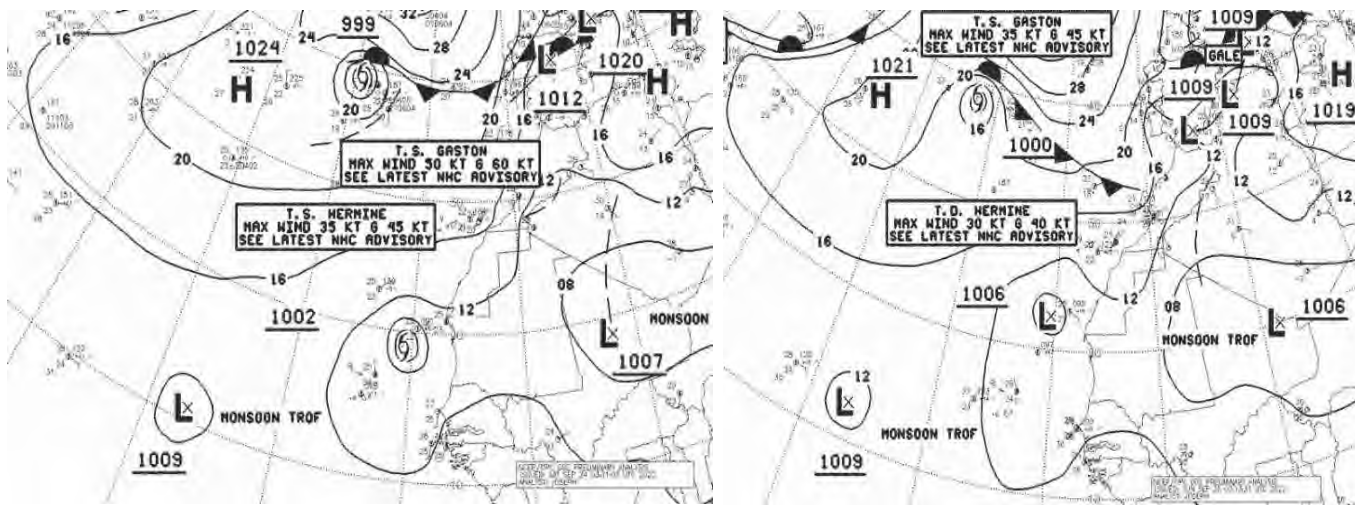
- *Irrupción de la borrasca tropical Hermine. Episodio estival muy lluvioso los días 24 y 25 de septiembre de 2022.*



Fuente: satélite **TERRA MODIS (NASA)**

Precipitaciones históricas en las islas Canarias por el movimiento de *la tormenta tropical Hermine* y su posterior sistema barométrico degradado. La imagen muestra una superficie de nubosidad abundante sobre el Archipiélago.

Hermine, el día 25 a las 09:00 UTC generó una baja presión o borrasca a 935 km al noreste de las islas de Cabo Verde, suroeste de las islas Canarias. Según el NHC (Centro Nacional de Huracanes de Estados Unidos es una división del Centro de Predicción Tropical del Servicio Meteorológico Nacional, encargada de monitorizar y predecir el comportamiento de depresiones tropicales, tormentas tropicales y huracanes), *Hermine* se convierte en un sistema post-tropical, con centro de las bajas presiones lejos del Archipiélago, pero las masas húmedas ligadas a *ex-Hermine* cubren todas las islas y dejaban a comienzo del otoño, precipitaciones generalizadas moderadas a muy intensas, precipitaciones históricas a comienzo de otoño.



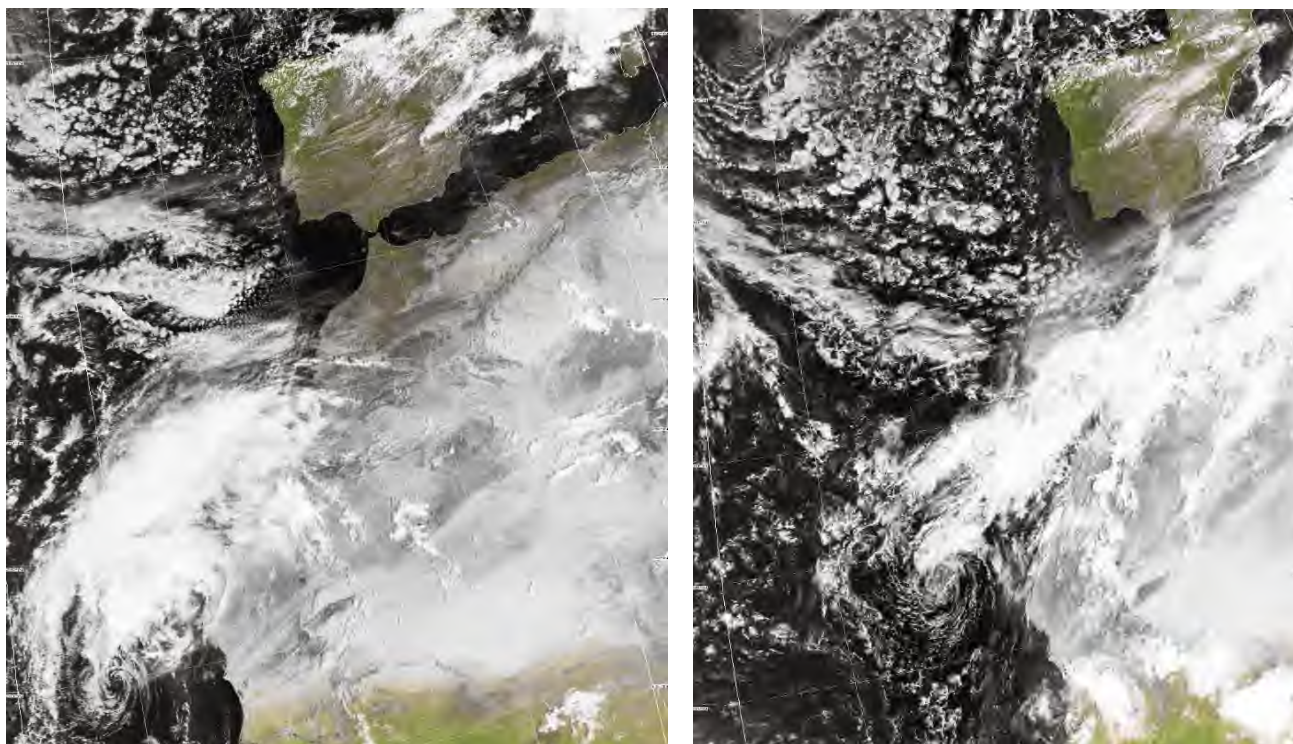
Situaciones barométricas el 24 y 25 de septiembre de 2022

El *día 24* sobresale el núcleo ciclónico o la tormenta *Hermine* (1002 mb) en todo su apogeo al oeste de la costa del Sahara Occidental con vientos superficiales máximos próximos a 65 km/h. El núcleo depresionario degenerará en una zona de bajas presiones, una vaguada barométrica en los siguientes días. Un núcleo anticiclónico (1024 mb) oceánico destaca al oeste de las Azores y núcleo depresivo (1007 mb) continental poco profundo sobre el Sahel al oeste de Malí.

Núcleos barométricos contrapuestos hacen que soplen en Canarias vientos débiles a fuertes. Viran notablemente en el periodo vespertino y nocturno. Vientos septentrionales matutinos y vientos del sector este a sureste en los periodos vespertino y nocturno. La tormenta *Hermine* se desplaza hacia el norte dejando caer fuertes lluvias en las islas Canarias. Más tarde la tormenta *Hermine* se debilita hasta convertirse en depresión tropical menos intensa a las 21:00 UTC.

El *día 25* la tormenta *Hermine* degeneró en una banda nubosa, aire saturado de anchura 1550 m (costa sureste de Tenerife), banda o capa rectangular de eje mayor orientado suroeste a noreste y 935 km al norte-noreste de las islas de Cabo Verde o suroeste de las islas Canarias. El comportamiento de la banda nubosa no se puede comparar con un frente nuboso, en nuestro caso en su interior no se registran movimientos cíclicos notables.

En la situación barométrica *destaca la desaparición del vórtice ciclónico*. Aparece un núcleo de bajas presiones oceánico poco profundo (1006 mb), donde a medianoche soplan vientos del sureste moderados. Un núcleo de bajas presiones continental muy extenso y poco profundo (1006 mb) sobre el Sahel, extremo sur de Argelia donde soplan vientos débiles y la atmósfera permanece despejada de nubosidad. Permanece una vaguada barométrica al sureste del Archipiélago que conlleva inestabilidad. Precipitaciones copiosas a torrenciales intensas generalizadas en el Archipiélago, muy notables en el sector este a suroeste en las islas de mayor altitud.



El *24 de septiembre* formación plena de la tormenta tropical *Hermine* sobre la costa del Sahara Occidental y sobre las islas Canarias. Nubosidad oceánica donde se percibe la circulación ciclónica. Nubosidad abundante debida a los movimientos convectivos intensos. Precipitaciones moderadas a muy intensas a partir de las primeras horas de la tarde en todas las superficies insulares.

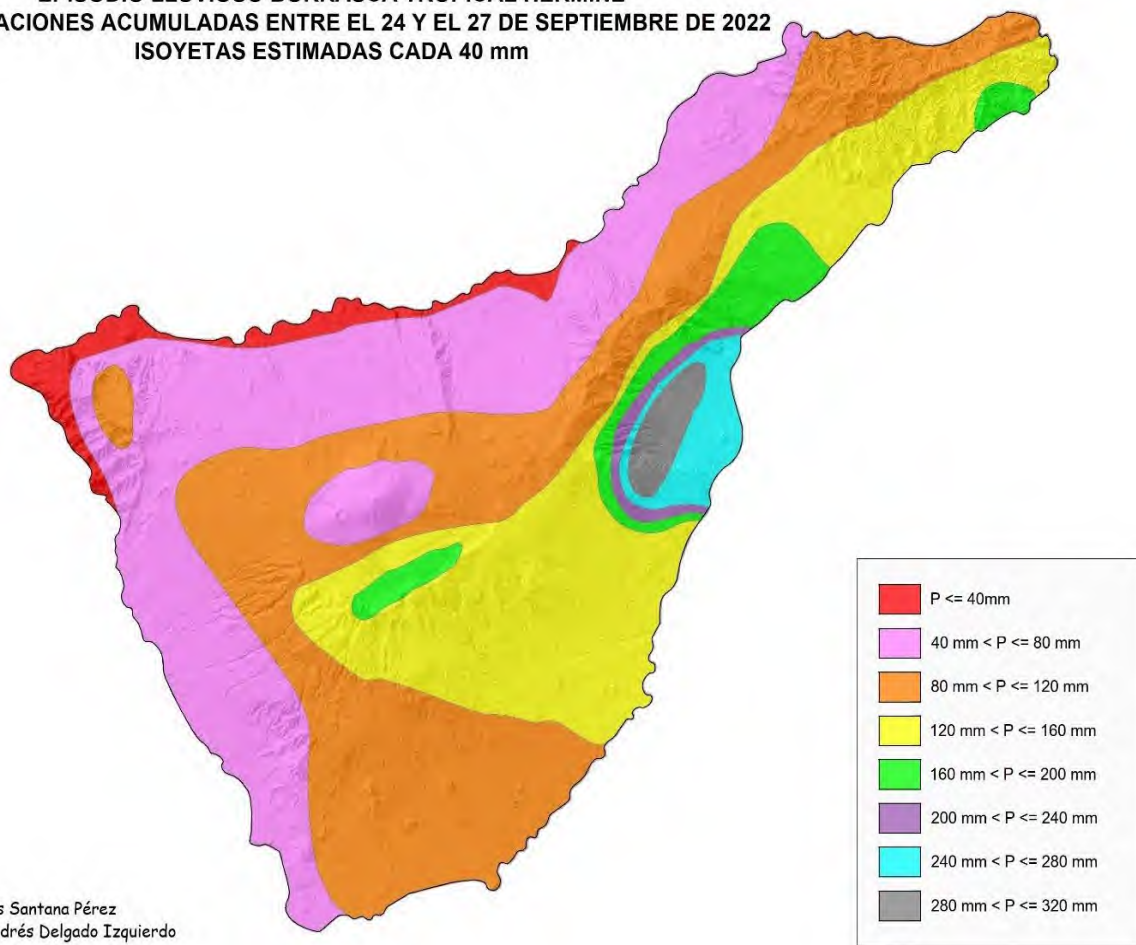
El 25 de septiembre desaparición del vórtice ciclónico. Aparece una franja nubosa oceánica de bajas presiones poco profundas, casi rectangular paralela a la costa del Sahara Occidental. *Hermine* se convierte en un sistema post tropical, según el NHC. Permanece una vaguada barométrica al sureste del archipiélago que conlleva inestabilidad. Las masas húmedas ligadas a ex-*Hermine*, franja nubosa de aire saturado con espesor 1550 m (costa sureste de Tenerife), cubren todas las islas y dejan a comienzo del otoño precipitaciones generalizadas moderadas a muy intensas, precipitaciones históricas a comienzo de otoño.

En general, los registros anemométricos muestran vientos débiles a moderados, velocidades decaminutales medias inferiores a 20 km/h. Los vientos soplan en el sector noreste a sur, dominantes este. Vientos, muy húmedos acompañan a la depresión tropical, ricos en vapor de agua, alcanzan la costa y ascienden por las laderas en la vertiente este a sur, adentrándose en el costado meridional del Parque Nacional del Teide. Su acción desencadena nubes convectivas de gran desarrollo vertical que van acompañadas de precipitaciones notables a fuertes, y a veces con carácter torrenciales como sucedió en el Valle de Güímar, por lo contrario, en vertientes con orientación oeste a noreste, opuestas, las precipitaciones son moderadas a notables, las laderas están cubiertas de nubes y claros. La franja costera en la vertiente oeste a noreste, y zonas de alta montaña noroeste recibieron precipitaciones inferiores a 25 mm; lo contrario, el Valle de Güímar, medianías altas de la comarca de Abona y Valle de la Orotava las precipitaciones son intensas a muy fuertes entre 75 mm a 175 mm.

El día 28 la masa nubosa oceánica completamente -deshilachada- al suroeste de las islas occidentales. Un potente anticiclón atlántico situado al noroeste de Galicia impulsa vientos frescos y húmedos suaves sobre el archipiélago. Nubosidad orográfica sobre las medianías de orientación noreste a sureste de las islas de mayor relieve. Fuerteventura y Lanzarote permanecen despejadas de nubosidad. En días posteriores se reestablece el régimen habitual de los vientos alisios.

Hermine se convierte en un sistema post-tropical. El centro de las bajas presiones se quedaba lejos del archipiélago, pero las masas húmedas ligadas a ex-*Hermine* dejaban a comienzo del otoño precipitaciones notables a muy intensas, precipitaciones históricas en todas las islas.

**EPISODIO LLUVIOSO BORRASCA TROPICAL HERMINE
PRECIPITACIONES ACUMULADAS ENTRE EL 24 Y EL 27 DE SEPTIEMBRE DE 2022
ISOYETAS ESTIMADAS CADA 40 mm**



Autor: Luis Santana Pérez
Diseño: Andrés Delgado Izquierdo

El mapa de isoyetas muestra las precipitaciones estimadas recogidas en el episodio lluvioso entre el 24 al 27 de septiembre de 2022

En general, vientos débiles a fuertes, velocidades decaminutales medias inferiores a 30 km/h soplan en el sector noreste a sureste, dominantes este. Las velocidades del viento arrecian en las horas centrales del día, así como las direcciones del viento viran más de 90° el día 24, tras el desplazamiento de *Hermine*. Los vientos soplan en el sector este a sureste, dominante este el día 25. Los vientos soplan en el sector noroeste a noreste y viran al sector este a sureste, dirección dominante este. Vientos húmedos a muy húmedos acompañan a la depresión tropical, ricos en vapor de agua, alcanzan la costa y ascienden sobre las laderas en la vertiente este a sur.

La franja costera en la vertiente oeste a noreste acumula precipitaciones inferiores a 40 mm, así como las medianías, superficies entre cotas 250 m y 1000 m acumulan precipitaciones entre 40 mm y 80 mm; lo contrario, las vertientes sureste a este, comarca de Abona, valle de Güímar y sotavento del macizo de Anaga las precipitaciones son intensas a muy fuertes (100 mm <= P <= 325 mm). La nubosidad irregular desarrollada en los bordes septentrional de la borrasca *Hermine*, ya extenuada se desplaza sobre el archipiélago, los vientos viran en las primeras horas de la mañana a su régimen natural el día 26, vientos húmedos soplan en la dirección noreste que amainan durante la tarde.

	24 SEPTIEMBRE				25 SEPTIEMBRE				26 SEPTIEMBRE				TOTAL
	PR	HU	D1	D2	PR	HU	D1	D2	PR	HU	D1	D2	
SANTA ÚRSULA - EL MALPAÍS	18.7	96	S	SW	27.3	97	SW	W	0.0	91	NE	SW	0.0
TEGUESTE - LA PADILLA	21.6	96			38.0	97			1.6	90			61.2
SANTA ÚRSULA - LAS TIERRAS	24.1	95	S	SE	37.6	96	S	N	0.3	92	W	NW	62.0
TACORONTE - AGUA GARCÍA	27.4	92			43.6	92			5.0	93			76.0
LA VICTORIA - EL LOMO	28.9	95			38.3	96			0.3	91			67.5
LA MATANZA - CRUZ DEL CAMINO	24.5	97			38.2	98			0.3	89			63.0
EL SAUZAL - RAVELO	28.1	95	SE	SW	49.7	95	SE	E	14.2	97	E	SE	92.0
LA VICTORIA - GAITERO	18.3	91	S	NW	56.2	100	S	SE	10.1	100	SE	S	84.6
LA OROTAVA - EL RINCÓN	8.7	94	S	SE	0.0	98	SE	N	0.0	90	S	SE	8.7
LA OROTAVA - PERDOMA RATIÑO	17.4	95			32.1	96			0.8	92			50.3
LA OROTAVA - PERDOMA SUERTE	13.2	92			30.6	97			2.1	97			45.9
LOS REALEJOS - PALO BLANCO	15.6	100			32.1	100			4.1	100			51.8
LA OROTAVA - BENIJOS	11.2	88			35.3	94			3.1	96			49.6
LA OROTAVA - AGUAMANSA	15.8	98	S	SE	45.2	100	NW	S	2.3	100	NW	N	63.3
LA GUANCHA - CHARCO VIENTO	12.2	94	N	W	17.0	97	SW	N	1.6	93	SW	W	30.8
ICOD DE LOS VINOS - DRAGO	12.8	90	SE	W	17.5	96	NW	SE	8.2	95	NW	W	38.5
ICOD - VINOS - STA BÁRBARA	14.2	92			26.7	94			17.0	95			57.9
ICOD - LOS VINOS - REDONDO	14.4	97			27.7	98			27.1	99			69.2
LOS REALEJOS - ICOD EL ALTO	14.2	92			29.0	97			11.7	100			54.9
BUENAVISTA DEL NORTE	11.4	100	SW	W	19.0	100	SW	S	0.9	100	SW	S	31.3
LOS SILOS - TIERRA TRIGO	17.0	97			25.0	99			54.1	100			96.1
BUENAVISTA DEL NORTE PALMAR	22.3	99			25.4	99			35.6	100			83.3
GUÍA ISORA - PLAYA DE ALCALA	18.3	97	S		31.1	95	S	SW	0.5	85	S	SE	49.9
ARONA - LAS GALLETAS	27.2	89	N	NE	64.8	90	N	NE	4.5	74	N	NE	96.5
ADEJE - HOYA GRANDE	28.2	96	SE	W	42.0	97	W	NW	0.8	85	SE	S	71.0
GUÍA DE ISORA	19.8	95	W	NW	37.7	95	W	SW	3.0	94	SE	E	60.5
GUÍA DE ISORA - CHÍO	20.2	92			40.3	95			7.6	96			68.1
SANTIAGO TEIDE -VALLE ARRIBA	20.8	94			26.8	95			7.1	96			54.7
GUÍA DE ISORA - ARIPE	26.2	89			45.6	92			6.4	91			78.2
GUÍA DE ISORA - CHAVAO	39.6	96	SE	E	45.3	100	SE	E	0.8	93	SE	E	85.7
ARICO - LLANOS DE SAN JUAN	23.4	93	N	NW	85.5	95	N	NE	15.4	88	N	NE	124.3
ARICO - ICOR	28.2	98	NE	N	90.8	100	NE	E	10.1	96	NE	N	129.1
ARICO - TEGUEDITE	29.9	96			85.7	96			7.3	94			122.9
GÜIMAR - LOMO MENA	33.5	96			126.2	98			87.5	96			247.2
GRANADILLA - CHARCO PINO	26.8	95			68.4	95			2.0	93			97.2
GRANADILLA - EL PINALETE	29.5	95			71.9	98			1.4	94			102.8
ARICO - EL BUENO	31.6	91	NE	N	98.7	95	N	NE	3.8	90	NE	N	134.1
VILAFLORES - EL FRONTÓN	32.8	88	W	NW	74.7	94	N	E	1.6	88	SE	NW	109.1
ARICO - LOS PICACHOS	29.5	87	SW	NE	99.9	100	NE	SE	4.0	98	NE	E	133.4
VILAFLORES - LOS TOPOS	46.4	88	NW	W	76.4	98	SW	E	1.9	98	SW	E	124.7
GÜIMAR - TOPO NEGRO	30.4	95			139.9	96			78.3	96			248.6
GÜIMAR - BARRANCO BADAJOZ	42.0	97			157.3	100			98.9	99			298.2
CANDELARIA - ARAYA	31.1	95	S	N	153.3	100	S	SW	105.4	100	S	SW	289.8
SANTA CRUZ IGUESTE S ANDRÉS	32.6	86	NW	W	69.0	93	S	SW	59.0	87	NW	W	160.6
SANTA CRUZ DE TENERIFE	25.5	86	SE	E	74.2	94	SE	E	14.2	89	E	SE	113.9
ANAGA - TAGANANA	29.9	91	W	SE	49.1	92	W	SE	21.6	97	NE	E	100.6
EL ROSARIO - LOS BALDÍOS	33.6	100			106.2	100			20.9	100			160.7
ANAGA - EL BAILADERO	30.8	98			59.9	100			32.8	100			123.5

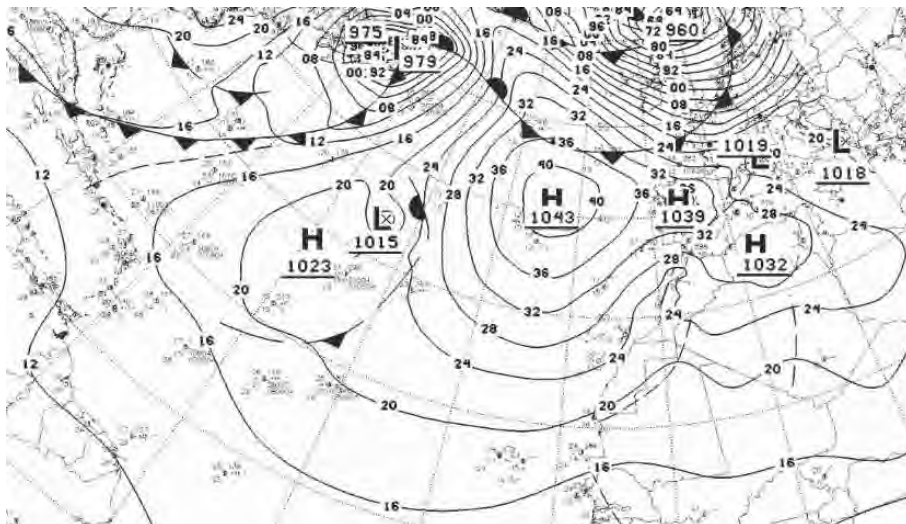
En el conjunto de observatorios indicamos rasgos generales de su comportamiento; *humedades del aire medias muy húmedas* en todo el territorio insular. *Vientos moderados variables*, donde muchos lugares habitualmente soplan con alguna componente sur.

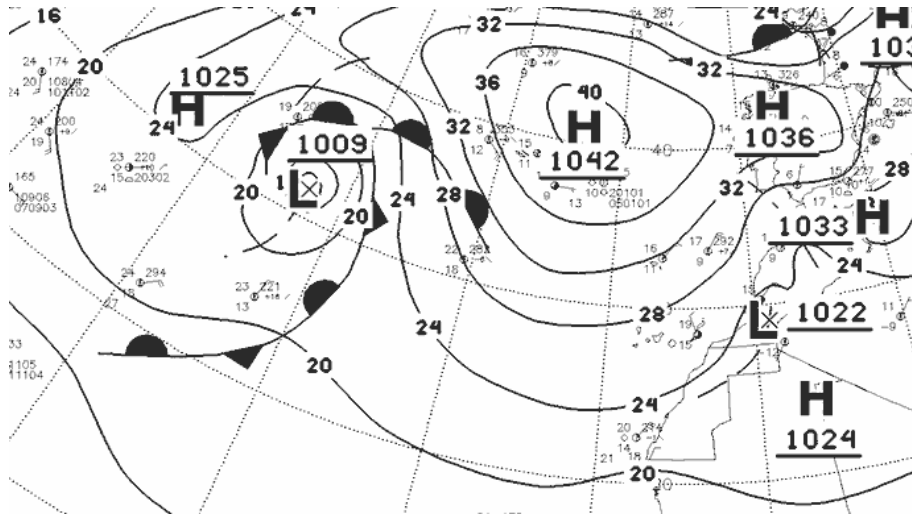
- *Irrupción de aire húmedo y fresco septentrional. Vientos intensos y nevada en la vertiente norte y cumbres entre los días 21 y 22 de diciembre de 2024. Borrasca Enol.*



Foto: EL DIA.

Aspecto de la atmósfera con gran contenido acuoso sobre la planicie sur del Teide, lugar habitual de escasas precipitaciones, El asentamiento del potente anticiclón estacionario sobre las Azores inyectó aire húmedo y fresco desarrollando una capa de notable grosor en la baja troposfera. La irrupción de aire frío septentrional en altura causó precipitaciones intensas a copiosas, sólidas en las cumbres, así entre los días 21 a 23 de diciembre se recogieron en el Parador 6 mm, Chavao 13 mm, Los Topos 7 mm, Vilaflor y Trevejos 4.8 mm, Los Picachos 11 mm y El Bueno 6.8 mm.

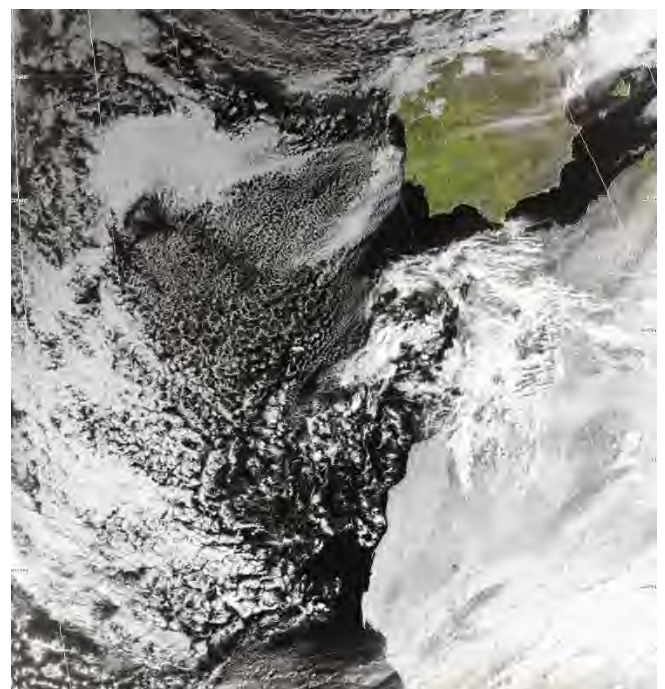
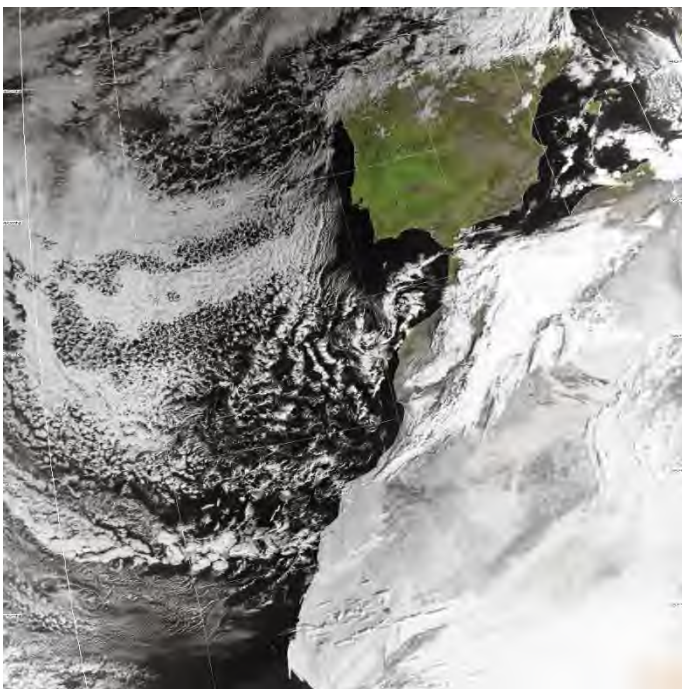




Situación barométrica el 21 y 22 de diciembre de 2024

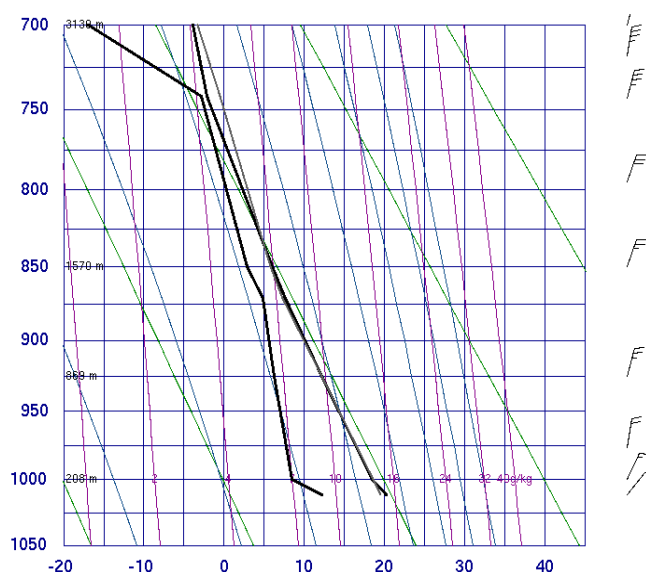
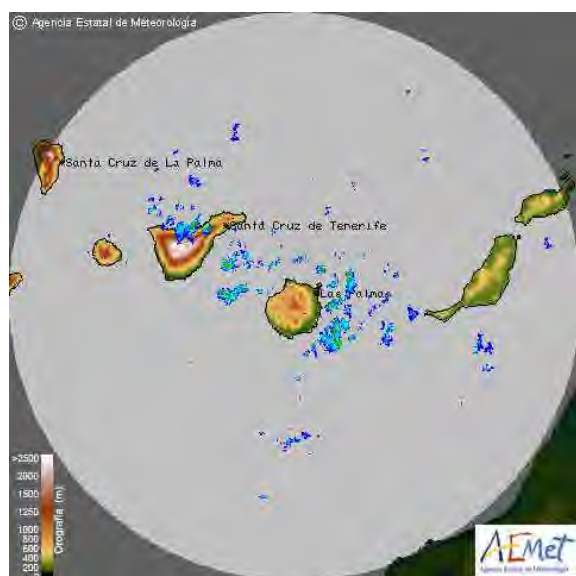
El mapa 21 de diciembre indica un anticiclón (1042 mb) muy intenso sobre las islas Azores; núcleos anticiclónicos longitudinales intensos (1036 mb y 1033 mb) al noroeste de la península Ibérica y Argelia; núcleo ciclónico poco profundo en la costa occidental de Marruecos. El efecto de la conjunción barométrica causa una circulación de vientos septentrionales superficial en las proximidades de Canarias, soplan vientos templados a fríos húmedos, fuertes sobre la superficie marina próximos a la costa donde ocasiona movimientos convectivos que desencadenan precipitaciones copiosas líquidas y sólidas.

El *mapa* indica un anticiclón (1043 mb) muy intenso sobre las islas Azores; núcleos anticiclónicos longitudinales intensos (1039 mb y 1032 mb) sobre la península Ibérica y Argelia. El efecto de la conjunción barométrica causa una circulación anticiclónica superficial en las proximidades de Canarias, soplan vientos cálidos, semihúmedos, débiles del noreste. El mapa barométrico no refleja la circulación de vientos húmedos muy húmedos, templados a muy fríos superpuesto a la capa superficial donde ocasiona movimientos convectivos que desencadenan precipitaciones copiosas líquidas y sólidas. El comportamiento anemométrico una *DANA localizada* en la cumbre y alta montaña de la parte central insular.



Imágenes satelitales el 21 y 22 de diciembre de 2024 a las 12 h

Las imágenes muestran nubosidad fragmentada en la proximidad de Canarias ligada a la acción de la vaguada anticiclónica instalada al oeste de la península Ibérica y noroeste de la costa africana. Soplan vientos marinos cálidos, húmedos, débiles a moderados en el sector norte a noreste. La situación barométrica causa movimientos convectivos localizados sobre las islas de mayor relieve, por tanto, ocasiona precipitaciones sólidas copiosas.



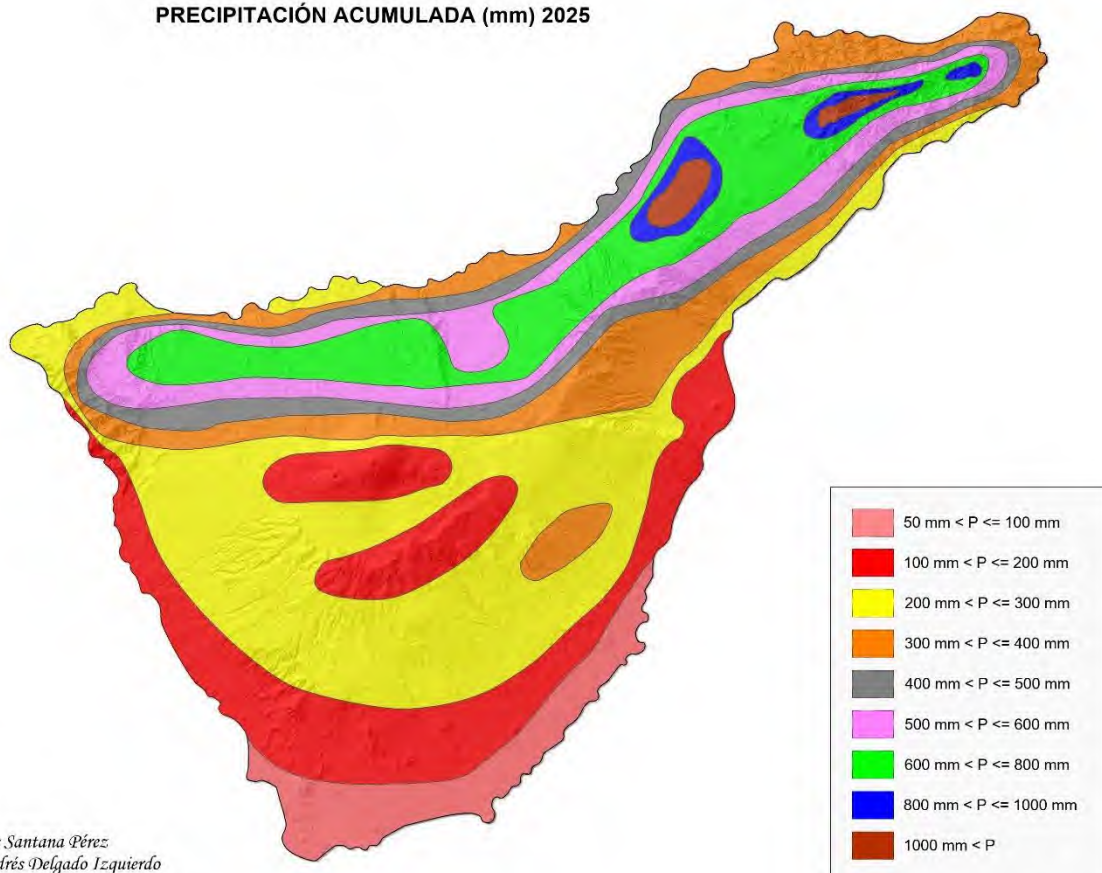
Ecoss del radar y sondeo atmosférico a las 12 h el 22 de diciembre

El *radar meteorológico* es un dispositivo de teledetección capaz de localizar precipitaciones, calcular su movimiento, estimar su composición y hasta prever su evolución a muy corto plazo. Su funcionamiento se basa en la emisión de pulsos electromagnéticos del orden del microsegundo en una determinada dirección. Imagen del radar computada en intervalos decaminutales obtenida en la cumbre de Gran Canaria indica ecos dispersos en el entorno de Tenerife, aún más densos sobre la superficie marina que sobre los valles, no obstante, los movimientos convectivos en altura ocasionaron nevadas copiosas en las cumbres durante todo el día.

El *sondeo atmosférico* indica descenso de temperatura del aire progresivo a lo largo de toda la troposfera baja en superficie, 20.2 °C, 60 %, NE a 105 m; ausencia de *inversión térmica*, 18.4 °C, 52 %, ENE a 208 m; 16.5 °C, 56 %, N a 414 m; arrecia el viento, 12.2 °C, 67 %, NNE a 869 m; baja la temperatura, aumenta la humedad y arrecia el viento, 7.6 °C, 82 %, NNE a 1369 m; baja la temperatura, se mantiene la humedad y arrecia el viento, 2 °C, 87 %, NNE a 2111 m; temperatura bajo cero, humedad casi saturada y viento intenso, -2.1 °C, 95 %, NNE a 2657 m; descenso de la temperatura notable, aumenta bruscamente la humedad y viento intenso, -9.1 °C, 14 %, NNE a 3153 m. Debemos resaltar en ese día una troposfera semihúmeda a muy húmeda y seca a muy seca donde soplan vientos septentrionales intensos.

AÑOS LLUVIOSOS Y SECOS. ISOYETAS HÚMEDAS 2025, 2014 y 2010. ISOYETAS MUY SECAS 2024 y 2017

PRECIPITACIÓN ACUMULADA (mm) 2025



Autor: Luis Santana Pérez
Diseño: Andrés Delgado Izquierdo

Mapa esquemático de isoyetas 2025

El año hidrológico 2025 es el año *octavo más lluvioso* en el intervalo 2005 a 2025. Principalmente destacan los contrastes las precipitaciones diarias acumuladas entre las vertientes septentrionales y meridionales. *Precipitaciones muy intensas esporádicas* en tres superficies alargadas estrechas de extensiones limitadas en zonas de monte verde, precipitaciones superiores a 800 mm que alcanzan los 1100 mm. *Precipitaciones intensas* en una superficie longitudinal alargada, ancha que se extiende desde nornoroeste a noreste entre las cotas 500 m a 1100 m, correspondientes a medianías altas, precipitaciones comprendidas entre 600 mm a 800 mm. Por el contrario, *precipitaciones destacables*, franjas amplias continuas de medianías bajas en las vertientes sureste a oeste, superficies entre 200 m a 500 m y extensiones alargadas limitadas en alta montaña, superficies superiores a 1900 m, precipitaciones entre 200 mm a 300 mm. *Precipitaciones escasas* en el litoral meridional, zona continua estrecha con precipitaciones inferiores a 100 mm.

Días de precipitaciones anuales acumuladas. *Vertientes noreste a noroeste*: Tejina 322 mm; Tegueste 627 mm; La Padilla 594 mm; Los Rodeos 611 mm; Tacoronte – SEA 485 mm; Agua García 794 mm; La Victoria 728 mm, La Matanza 586 mm; Santa Úrsula 712 mm; Ravelo 995 mm; El Gaitero 561 mm; Puerto Cruz 289 mm; El Rincón 426 mm; Palo Blanco 549 mm; Benijos 557 mm; Aguamansa 663 mm; Izaña 239 mm; La Guancha - Charco del Viento 247 mm; Icod - El Drago 389 mm; Redondo 611 mm; Buenavista del Norte 238 mm; Los Silos 261 mm; Buenavista - El Palmar 558 mm; Los Silos - Tierra del Trigo 671 mm; El Tanque - Ruigómez 676 mm. *Vertiente oeste*: Santiago Teide - Valle Arriba 459 mm; Guía - Playa Alcalá 130 mm; Guía – Hoya Grande 101 mm; Chío 239 mm; Guía Isora 211 mm; Guía – El Pozo 234 mm; Aripe 259 mm; Vilaflor – Los Topos 212 mm; Guía - Chavao 221 mm;

Vertiente sureste a oeste: Arona - Las Galletas 73 mm; Aeropuerto Sur 91 mm; Granadilla - Charco del Pino 180 mm; Pinalete 284 mm; Vilaflor 244 mm; Arico - El Bueno 383 mm; Arico - Los Picachos 199 mm; Arico - Llanos de San Juan 95 mm; Arico - Teguedite 253 mm; Güimar - Lomo Mena 188 mm; Güimar - La Planta 119 mm; Güimar - Topo Negro 183 mm; Candelaria - Araya 335 mm; Añavingo 342 mm, Arafo - Las Vigas 349 mm. *Vertiente este a sureste:* Santa Cruz de Tenerife 149 mm; La Laguna - ETSA 551 mm; El Rosario - Los Baldíos 761 mm; Iguete de San Andrés 322 mm; Anaga - Taganana 333 mm; El Bailadero 756 mm.

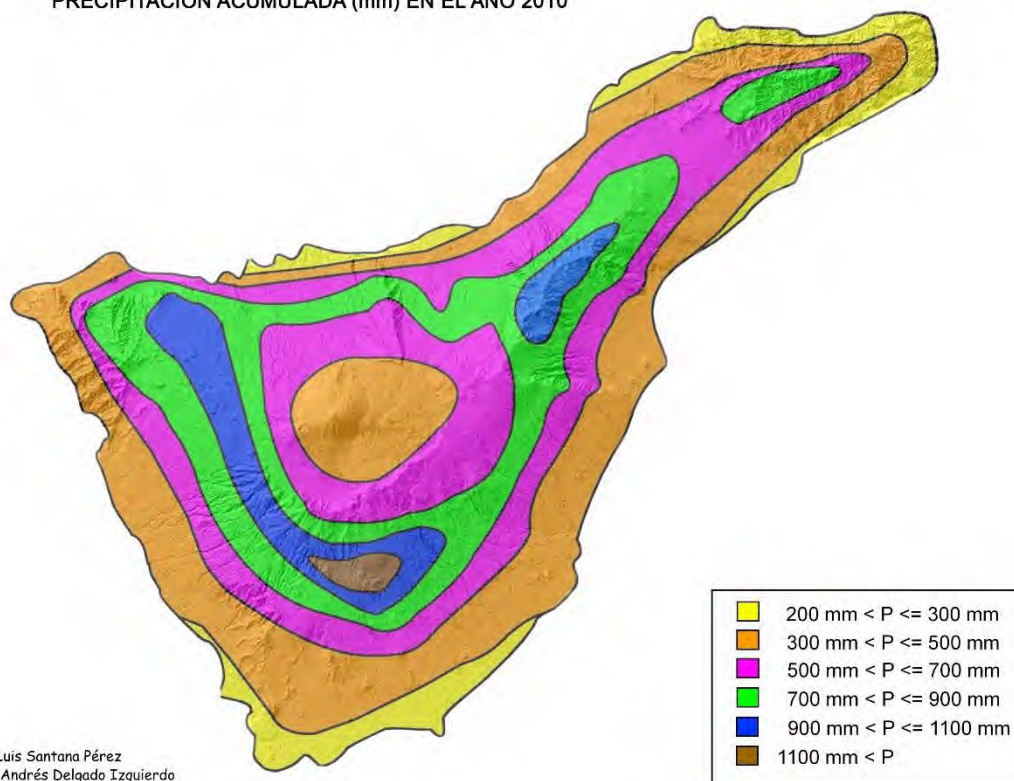
La precipitación anual media es 409 mm, siendo en invierno 115 mm, el 28.1 % de la precipitación total insular; en primavera 112 mm, el 27.3 %; en verano 18 mm, el 4.4 %, y en otoño 164 mm., el 40.1 %. Las precipitaciones otoñales han sido destacadamente superiores a las invernales y primaverales. Las precipitaciones invernales son ligeramente superiores a las primaverales. Las precipitaciones estivales son notablemente inferiores a las precipitaciones de otras estaciones del año.

El orden de las precipitaciones *estacionales* en el periodo 2005 a 2025 es el doceavo en invierno, el primero en primavera, el noveno en verano y séptimo en otoño.

Son notables las precipitaciones acaecidas en seis episodios barométricos distintos, días lluviosos en la vertiente norte: irrupciones de frentes nubosos entre el 21 y 22 de enero, el frente nuboso el 28 de febrero, frente nuboso asociado a la borrasca Martinho entre 19 y 20 de marzo y frente nuboso activo asociado a la borrasca Oliver entre 10 y 11 de abril, y depresión en altura el 12 de abril; alisios intensos a finales de julio dejan precipitaciones destacadas en medianías altas; desplazamiento de la borrasca Claudia el 13 de noviembre y frente nuboso asociado el 14 de noviembre; desplazamiento de la borrasca Emilia entre 12 y 13 de diciembre y desplazamiento del extremo de un frente nuboso poco activo el 25 de diciembre.

- El año 2025 fue lluvioso notable, el octavo desde 2005.
- - Precipitaciones en el año hidrológico 2010. El año más lluvioso del primer cuarto del siglo XXI

PRECIPITACIÓN ACUMULADA (mm) EN EL AÑO 2010



Autor: Luis Santana Pérez
Diseño: Andrés Delgado Izquierdo

Mapa esquemático de isoyetas 2010

El año hidrológico 2010 es el más lluvioso en el periodo 2005 a 2018. Isoyetas trazadas a partir de observaciones en estaciones automáticas. En general, destaca la homogeneidad de las precipitaciones acumuladas en las vertientes septentrional, meridional y occidental. Las *precipitaciones torrenciales* en superficie oval de extensión moderada, zona de carácter *torrencial* en la medianía alta, zona de cultivos colindante a pinares en la vertiente sur, superiores a 1100 mm. Las *precipitaciones muy intensas*, esporádicas *lluvias torrenciales* en superficie extensa, longitudinal, estrecha en montaña y medianía alta, zonas de cultivos, pinares y ya colindante a retamares en las vertientes sur sureste a sur; superficie alargada, estrecha, extensión moderada, pinares, entre 900 mm a superiores a 1100 mm. Por el contrario, *precipitaciones copiosas* en franjas costeras estrechas, discontinuas, norte noroeste a noroeste, noreste a este sureste y sur sureste a sur suroeste en las vertientes este sureste, entre 200 mm a 300 mm.

Además, *precipitaciones muy intensas* en una franja estrecha cerrada o cinturón, medianía alta en las vertientes oeste a noreste, zonas de cultivos y monte verde; medianía alta en las vertientes este a oeste, zonas de cultivos y pinares; medianías altas, zonas de crestería de monte verde en el macizo de Anaga, entre 700 mm a 900 mm. *Precipitaciones notables* en la franja extensa estrecha cerrada o cinturón en la costa norte noroeste, medianía baja en las vertientes norte a noroeste a noreste, y medianías altas en las vertientes este a norte a noroeste; cinturón ancho de montaña, pinares y retamares en el centro insular, entre 500 mm y 700 mm. *Precipitaciones copiosas* en franjas costeras discontinuas en las vertientes norte, este sureste a sur sureste y sur suroeste a norte noroeste, y cinturón estrecho de medianías baja; zonas de alta montaña, volcán Teide y alrededores, entre 300 mm a 500 mm.

Días de precipitaciones independientes de las intensidades, días de precipitaciones intensas y precipitación anual acumulada. Vertiente norte: Tejina 14, 0, 225 mm; Padilla 56, 1, 263 mm; Rodeos 616 mm; Agua García 35, 2, 684 mm; Victoria - Lomo 33, 1, 650 mm; Ravelo 39, 2, 771 mm; Palo Blanco 31, 3, 622 mm; Benijos 24, 3, 737 mm; Aguamansa 560 mm; Icod Alto 32, 3, 734 mm; Izaña 559 mm; Charco del Viento 15, 0, 261 mm; Buenavista Norte 22, 2, 390 mm; Ruigómez 38, 6, 1051 mm. Vertiente oeste: Santiago Teide - Valle Arriba 33, 3, 860 mm; Chío 20, 3, 546 mm; Guía Isora 16, 3, 416 mm; Aripe 34, 7, 865 mm; Bco Ortíz 19, 6, 756 mm. Vertiente sureste a oeste: Las Galletas 17, 2, 328 mm; Aeropuerto Sur 252 mm; Charco Pino 26, 4, 539 mm; Pinalete 32, 6, 1032 mm; Vilaflor 34, 10, 1289 mm; El Bueno 20, 5, 792 mm; Llanos San Juan 18, 2, 362 mm; Añavingo 22, 4, 646 mm; Güimar - Planta 10, 2, 338 mm; Santa Cruz de Tenerife 206 mm.

Nota: La zona central de la isla, cotas superiores a 2400 m, carece de estaciones pluviométricas, en las cuales, estimamos precipitaciones entre 300 mm a 400 mm.

El escrutinio de días lluviosos muestran superficies “*muy mojadas*” en una extensa superficie cerrada o cinturón de medianías, e incluso zonas de montaña; superficies “*mojadas notables*” en una extensa superficie cerrada o cinturón de medianías bajas en las vertientes norte noroeste a este y medianías altas en las vertientes este a norte noroeste; superficies “*mojadas*” en fragmentos costeros y medianía baja en una amplia superficie cerrada o cinturón; lo contrario, superficies “*mojadas destacadas*” en tres franjas costeras estrechas discontinuas en las vertientes norte, este y sur.

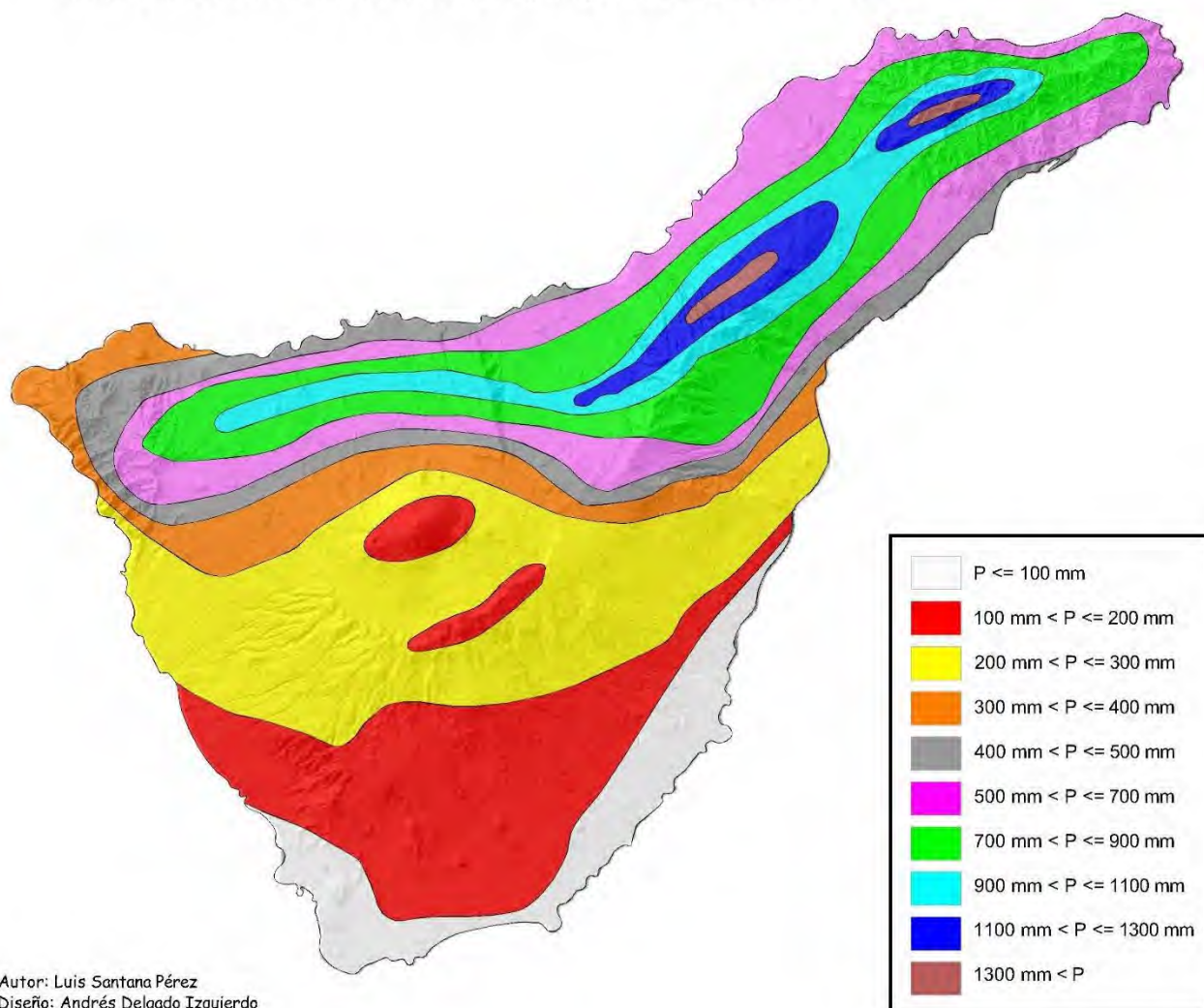
Las *precipitaciones invernales* son abundantes, ligeramente superiores a las *precipitaciones otoñales*. Las *precipitaciones primaverales*, ligeramente superiores a las *precipitaciones otoñales*; precipitaciones notables en las vertientes norte noroeste a este y copiosas en el resto de la superficie insular.

Son notables las precipitaciones acaecidas en tres episodios lluviosos distintos: borrasca atlántica a mitad de invierno e irrupciones de frentes nubosos de intensidades distintas a finales y mitad de otoño.

- *El año 2010 fue notablemente lluvioso.*

- - *Precipitaciones en el año hidrológico 2014. El año segundo más lluvioso del primer cuarto del siglo XXI*

PRECIPITACIÓN ACUMULADA (mm) EN TENERIFE - 2014



Mapa esquemático de isoyetas 2014

El año hidrológico 2014 *es el segundo año más lluvioso* en el intervalo 2005 a 2025. Principalmente destacan los contrastes las precipitaciones diarias acumuladas entre las vertientes septentrionales y meridionales. *Precipitaciones torrenciales* en dos superficies alargadas de extensiones limitadas en zonas de monte verde, precipitaciones superiores a 1300 mm. *Precipitaciones de carácter torrencial* en dos superficies alargadas de extensiones moderadas en medianías altas y monte verde en las vertientes septentrionales, entre 1100 mm a 1300 mm. Las *precipitaciones muy intensas, esporádicas lluvias torrenciales* en superficies longitudinales continuas de medianías en las vertientes norte noroeste a norte noreste, entre 900 mm a superiores a 1100 mm. Por el contrario, *precipitaciones destacables*, franjas amplias continuas de medianías bajas en las vertientes sureste a oeste y extensiones alargadas limitadas en alta montaña, precipitaciones entre 100 mm a 200 mm. *Precipitaciones escasas* en el litoral meridional, zona continua estrechade precipitaciones inferiores a 100 mm

Días de precipitaciones anuales acumuladas. *Vertientes noreste a noroeste*: Tejina 363 mm; Tegueste 674 mm; La Padilla 718 mm; Garimba 713 mm; Los Rodeos 755 mm; Agua García 986 mm; La Victoria 748 mm, La Matanza 825 mm; Santa Úrsula 853 mm; Ravelo 1204 mm; El Gaitero 847 mm; Puerto Cruz 510 mm; El Rincón 678 mm; Palo Blanco 783 mm; Benijos 734 mm; Aguamansa 1033 mm; Izaña 401 mm; La Guancha - Charco del Viento 450 mm; Icod - El Drago 415 mm; Redondo 816 mm;

Buenavista del Norte 317 mm; Los Silos 341 mm; Buenavista - El Palmar 453 mm; Los Silos - Tierra del Trigo 766 mm; El Tanque - Ruigómez 821 mm. *Vertiente oeste*: Santiago Teide - Valle Arriba 575 mm; Guía - Playa Alcalá 118 mm; Guía - Hoya Grande 126 mm; Chío 142 mm; Guía Isora 155 mm; Guía - El Pozo 262 mm; Aripe 293 mm; Vilaflor - Los Topos 336 mm; Guía - Chavao 300 mm; *Vertiente sureste a oeste*: Arona - Las Galletas 101 mm; Aeropuerto Sur 110 mm; Granadilla - Charco del Pino 157 mm; Pinalete 178 mm; Vilaflor 186 mm; Arico - El Bueno 305 mm; Arico - Los Picachos 197 mm; Arico - Llanos San Juan 79 mm; Arico - Teguedite 104 mm; Güimar - Lomo Mena 267 mm; Güimar - Topo Negro 244 mm; Candelaria - Araya 404 mm; Añavingo 479 mm. *Vertiente este a sureste*: Santa Cruz de Tenerife 286 mm; El Rosario - Los Baldíos 1179 mm; Igueste de San Andrés 525 mm; Taganana 821 mm; Las Mercedes 1356 mm; El Bailadero 821 mm; Cañadas del Teide, *centro insular* Parador 272 mm.

El escrutinio de días lluviosos muestran superficies *muy mojadas a veces con carácter torrencial* poco extensas, alargadas en medianía alta norte a norte noreste y crestería alta del macizo de Anaga; superficies *muy mojadas* extensas, alargadas en medianías altas noroeste a noreste; superficies *mojadas notables* en una extensa superficie cerrada o cinturón constituido por medianías bajas noroeste a noreste, medianía alta noreste a sureste y en la vertiente septentrional, medianía alta sureste a noroeste; superficies *mojadas* en el cinturón constituido con la costa norte a este noreste, medianía baja este noreste a sureste; en vertiente septentrional, medianías altas y montaña sureste a noroeste; superficies *mojadas copiosas* no extensa, costas este noreste a sureste y noroeste en la vertiente septentrional, medianías altas y franja de montaña sureste a noroeste; superficies *mojadas destacadas* extensas, amplia franja transversal este a oeste, desde costa a alta montaña; lo contrario, superficies *mojadas apreciables* extensas, amplia franja transversal, desde costa a montaña en las vertientes sureste a suroeste.

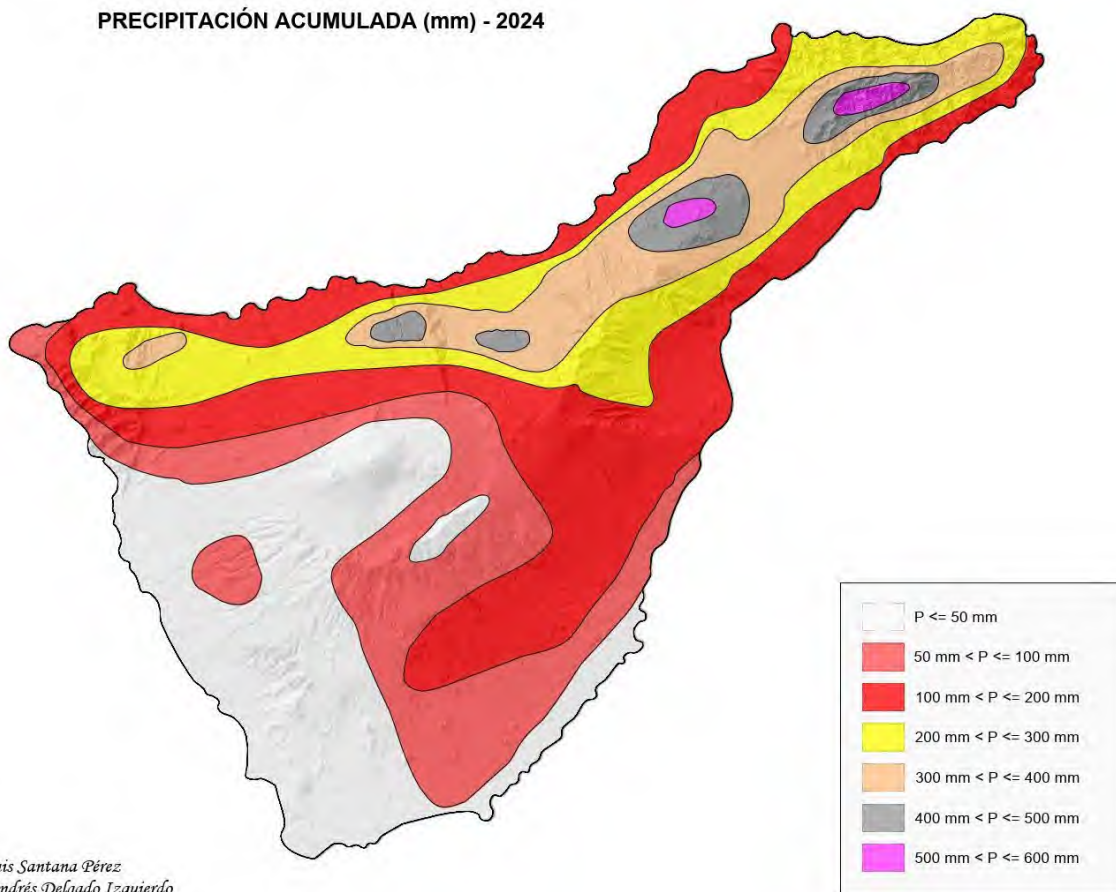
La precipitación anual media es 512.8 mm, siendo en invierno 173.9 mm, el 33.9 % de la precipitación total insular; en primavera 38.1 mm, el 7.4 %; en verano 14.1 mm, el 2.8 %, y en otoño 286.7 mm., el 55.9 %. Estimación de la media de precipitación sobre la vertiente norte es 76.8 % del total insular; la estimación media sobre vertiente sureste es 13 %; la estimación media sobre la vertiente sur es 6.2 % y la estimación media sobre la vertiente oeste es 4 %

Las precipitaciones invernales y otoñales son abundantes, las otoñales son notablemente superiores a las invernales. Las precipitaciones primaverales destacan, notablemente inferiores a las precipitaciones invernales. Las precipitaciones estivales son escasas.

Son notables las precipitaciones acaecidas en cuatro episodios lluviosos distintos: desplazamiento del núcleo de una borrasca atlántica entre el 22 a 24 de noviembre e irrupciones de frentes nubosos activos el 18 y 19 de octubre, el 9 de enero y 15 de febrero.

- *El año 2014 fue lluvioso notable.*
- - *Precipitaciones en los años hidrológicos 2024, año seco*

PRECIPITACIÓN ACUMULADA (mm) - 2024



Autor: Luis Santana Pérez
Diseño: Andrés Delgado Izquierdo

Mapa esquemático de isoyetas con el conjunto de todas las observaciones pluviométricas 2024

El año hidrológico 2024 es seco, onceavo en el intervalo 2013 a 2024. Destacan los contrastes y heterogeneidades de las precipitaciones escasas acumuladas en franjas amplias en las vertientes este a norte noroeste, volcán Teide y Las Cañadas del Teide. *Precipitaciones notables* en franjas fragmentadas, superficies alargadas reducidas en la crestería occidental del macizo de Anaga, macizo de Teno, montes verdes de los municipios de Tacoronte, El Sauzal, precipitaciones entre 500 mm a 600 mm. *Precipitaciones copiosas* en la franja longitudinal alargada amplia en pinares y medianías norte noroeste a noreste, vertientes a barlovento; también, medianías altas de las vertientes noreste a sureste, vertientes a sotavento, precipitaciones entre 300 mm a 500 mm. Por el contrario, *precipitaciones testimoniales*, superficie amplia, litoral sureste a oeste noroeste, medianías sur sureste a oeste noroeste, pinares oeste y volcán Teide, precipitaciones inferiores a 50 mm; *precipitaciones escasas* en el litoral alargado, casi circundante, oeste noroeste a sur sureste, medianías altas y pinares sureste a noroeste, vertientes a barlovento, medianías, pinares sureste a sur sureste y Las Cañadas del Teide, precipitaciones entre 50 mm a 200 mm. Además, *precipitaciones destacadas* en el litoral norte noreste a noreste, franja constituida de medianía alta noroeste a norte, medianía baja norte a noreste, vertientes a barlovento, medianía alta y cordillera Dorsal noreste a sureste, vertientes a sotavento. precipitaciones entre 200 mm a 300 mm.

Días de precipitaciones anuales acumuladas. *Vertientes noreste a noroeste*: Tejina 165 mm; Tejina – Pico 98 mm; Tegueste 315 mm; La Padilla 230 mm; Garimba 319 mm; Los Rodeos 269 mm; Agua García 369 mm; La Victoria 338 mm, La Matanza 419 mm; Santa Úrsula 365 mm; Ravelo 535 mm; El Gaitero 299 mm; Puerto Cruz 154 mm; Botánico 193 mm; El Rincón 217 mm; Palo Blanco 384 mm; Benijos 424 mm; Icod el Alto 538 mm; Aguamansa 356 mm; Izaña 115 mm; Charco del Viento 129 mm; Drago 174 mm; Redondo 388 mm; Buenavista del Norte 97 mm; Los Silos 110 mm; Garachico – La

Quinta 116 mm; El Palmar 279 mm; Tierra del Trigo 305 mm; Ruigómez 256 mm. *Vertiente oeste*: Valle Arriba 185 mm; Playa Alcalá 20 mm; Hoya Grande 22 mm; Chío 48 mm; Guía Isora 37 mm; El Pozo 66 mm; Aripe 56 mm; Vilaflor – Los Topos 37 mm; Chavao 48 mm; *Vertiente sureste a oeste*: Las Galletas 19 mm; Aeropuerto Sur 62 mm; Charco del Pino 86 mm; Pinalete 100 mm; Vilaflor 59 mm; Vilaflor – Trevejos 47 mm; El Bueno 164 mm; Los Picachos 86 mm; Llanos de San Juan 46 mm; Las Eras 76 mm; Icor 122 mm; Teguedite 119 mm; Lomo Mena 179 mm; La Planta 98 mm; El Socorro 61 mm; Topo Negro 143 mm; Araya 171 mm; Arafo – Los Charcos 122 mm; Añavingo 222 mm. *Vertiente este a sureste*: Santa Cruz de Tenerife 92 mm; San Andrés 147 mm; Los Baldíos 334 mm; Igueste de San Andrés 192 mm; Taganana 203 mm; Las Mercedes 562 mm; El Bailadero 385 mm; Cañadas del Teide, *centro insular* Parador 59 mm.

El escrutinio de días lluviosos muestra *superficie mojada notables*, muy poco extensa, fragmentadas en la medianía alta a barlovento y cresterías de Anaga, comarca Acentejo, Valle de la Orotava; *superficie mojada*, poco extensa, litoral norte noreste a noreste, medianía altas norte noroeste a norte, medianía baja norte a noreste, vertientes a barlovento, medianías altas noreste a sureste y crestería cordillera Dorsal, vertientes a sotavento; Lo contrario, *superficies mojadas apreciables*, extensas, alargadas, litoral casi circundante oeste noroeste a sureste, medianías altas, pinares, noroeste a norte, vertientes a barlovento, medianías, pinares sur sureste a sur, vertientes a sotavento y Las Cañadas del Teide; *superficies mojadas testimoniales*, litoral sureste a oeste a noroeste, medianías sur sureste a oeste noroeste, pinares oeste, fragmento oeste de Las Cañadas y volcán Teide.

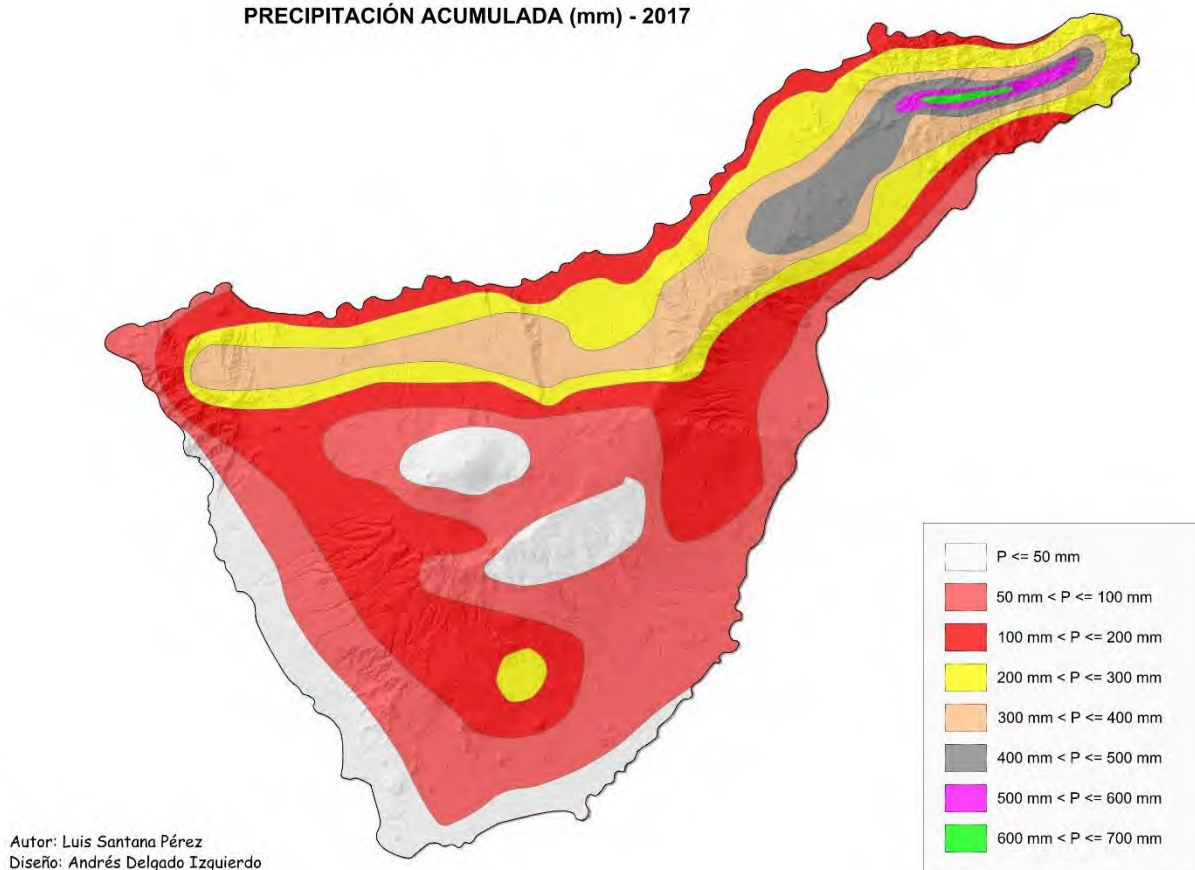
La precipitación anual media es 201.9 mm, siendo en invierno 70.8 mm, el 35.1 % de la precipitación total insular; en primavera 50.6 mm, el 15.2 %; en verano 13.7 mm, el 6.8 %, y en otoño 86.8 mm., el 43 %. Estimación de la media de precipitación sobre la vertiente norte es 74.4 % del total insular; la estimación media sobre vertiente sureste es 12.6 %; la estimación media sobre la vertiente sur es 5.9 % y la estimación media sobre la vertiente oeste es 2.7 %.

Las precipitaciones invernales y otoñales son destacadas y similares. Las precipitaciones primaverales y estivales son escasas.

Son notables las precipitaciones acaecidas en tres episodios barométricos diferentes: desplazamientos lento de los extremos frentes nubosos el 7 de marzo, 18 y 19 de mayo; movimientos convectivos que desencadenan precipitaciones copiosas líquidas y sólidas, comportamiento anemométrico de una DANA localizada en la cumbre y alta montaña de la parte central insular el 21 y 22 de diciembre.

- *El año 2024 el más seco desde 2005.*

PRECIPITACIÓN ACUMULADA (mm) - 2017



Mapa esquemático de isoyetas 2017

El año hidrológico 2017 es el más seco, doceavo en el intervalo 2013 a 2024, año muy seco. Destacan la homogeneidad de las *precipitaciones escasas* acumuladas en la extensa superficie insular, vertientes este sureste a oeste noroeste y P.N. del Teide. Las *precipitaciones intensas* en una limitada superficie alargada, estrecha de crestería en el macizo de Anaga, monte verde, precipitaciones entre 500 mm a 700 mm. Por el contrario, *precipitaciones testimoniales* en el litoral sur sureste a oeste noroeste, zonas de alta montaña, volcán Teide, aledaños y circo de Las Cañadas, precipitaciones inferiores a 50 mm; *precipitaciones escasas* en superficie extensa constituida en medianías bajas en las vertientes sureste a oeste noroeste, medianía alta sureste a sur y las Cañadas del Teide. Además, *precipitaciones notables* en la franja de medianías altas, alargada en las vertientes norte noreste a noreste, muy estrecha en la crestería del macizo de Anaga, precipitaciones entre 400 mm a 500 mm. *Precipitaciones copiosas* en la superficie alargada, estrecha, continua en la medianía alta en las vertientes noroeste a noreste, precipitaciones entre 300 mm a 400 mm. *Precipitaciones destacadas* en el litoral norte noreste a este sureste; medianías bajas en las vertientes noroeste a noreste y este sureste a sureste; medianías altas y zona de montaña en las vertientes septentrionales sureste a noroeste; superficie cerrada poco extensa en la medianía alta sur, precipitaciones entre 200 mm a 300 mm

Días de precipitaciones anuales acumuladas. *Vertientes noreste a noroeste*: Tejina 144 mm; Tejina – Pico 204 mm; Tegueste 361 mm; La Padilla 301 mm; Garimba 261 mm; Los Rodeos 261 mm; Agua García 357 mm; La Victoria 308 mm, La Matanza 354 mm; Santa Úrsula 281 mm; Ravelo 449 mm; El Gaitero 378 mm; Puerto Cruz 86 mm; Botánico 146 mm; El Rincón 173 mm; Palo Blanco 370 mm; Benijos 270 mm; Icod el Alto 318 mm; Aguamansa 337 mm; Izaña 92 mm; La Guancha - Charco del Viento 116 mm; Drago 200 mm; Redondo 336 mm; Buenavista del Norte 88 mm; Los Silos 99 mm; El Palmar 310 mm; Tierra del Trigo 342 mm; El Tanque - Ruigómez 293 mm. *Vertiente oeste*: Santiago

Teide - Valle Arriba 200 mm; Guía - Playa Alcalá 28 mm; Hoya Grande 43 mm; Chío 73 mm; Guía Isora 53 mm; El Pozo 180 mm; Aripe 138 mm; Vilaflor – Los Topos 166 mm; Chavao 183 mm; *Vertiente sureste a oeste*: Las Galletas 56 mm; Aeropuerto Sur 33 mm; Charco del Pino 139 mm; Pinalete 202 mm; Vilaflor 154 mm; El Bueno 98 mm; Los Picachos 34 mm; Llanos San Juan 67 mm; Icor 75 mm; Teguedite 70 mm; Lomo Mena 159 mm; La Planta 83 mm; Topo Negro 84 mm; Araya 118 mm; Añavingo 137 mm. *Vertiente este a sureste*: Santa Cruz de Tenerife 97 mm; San Andrés mm; Los Baldíos 415 mm; Igueste de San Andrés 172 mm; Taganana 231 mm; Las Mercedes 722 mm; El Bailadero 501 mm; Cañadas del Teide, *centro insular* Parador 98 mm.

El escrutinio de días lluviosos muestran *superficie mojada notables*, muy poco extensa en la medianía alta y crestería del macizo de Anaga; *superficie mojada*, poco extensa en medianías altas norte noreste a noreste; *superficies mojadas destacadas*, extensas, alargadas en medianías noroeste a noreste y medianía alta noreste a sureste; lo contrario, *superficies mojadas apreciables*, extensas, costa macizo Anaga, medianía baja noroeste a noreste, medianías noreste a sureste en la vertiente septentrional medianía alta sureste a noroeste y una superficie poco extensa en la medianía alta sur sureste; *superficies mojadas testimoniales*, muy extensas, dos tercios de la superficie, resto del territorio insular.

La precipitación anual media es 201.5 mm, siendo en invierno 98.7 mm, el 49 % de la precipitación total insular; en primavera 32.9 mm, el 16.3 %; en verano 19.1 mm, el 9.5 %, y en otoño 50.7 mm., el 25.2 %. Estimación de la media de precipitación sobre la vertiente norte es 76.6 % del total insular; la estimación media sobre vertiente sureste es 10.6 %; la estimación media sobre la vertiente sur es 9.3 % y la estimación media sobre la vertiente oeste es 3.5 %.

Las precipitaciones invernales son copiosas, las precipitaciones otoñales destacan, las invernales son ligeramente superiores a las otoñales. Las precipitaciones primaverales y estivales son escasas. Notables las precipitaciones acaecidas en dos episodios, borrasca atlántica e irrupción de un frente nuboso activo a mitad del invierno y final del año: 11 y 12 de febrero, 11 y 12 de diciembre.

- *El año 2017 fue muy seco.*

CLASIFICACIÓN DE LAS PRECIPITACIONES ANUALES Y ESTACIONALES MEDIAS ACUMULADAS EN EL PERIODO 2005 a 2025

Presentación del *orden* de precipitaciones anuales acumuladas obtenidas del cómputo medio de las precipitaciones diarias recogidas en 41 estaciones automáticas cada año en un mismo periodo de observaciones. La estimación de las precipitaciones anuales medias de Tenerife oscila entre 531 mm (2010) a 188 mm (2017), siendo 354 mm (coeficiente de variación 25.9 %) la precipitación acumulada media estimada, cuantía no excesiva correspondiente a una precipitación *media destacable*.

- 2005 Año moderadamente lluvioso, 419 mm, el sexto más lluvioso
- 2006 Año moderadamente lluvioso, 463 mm, el tercero más lluvioso
- 2007 Año moderadamente seco, 350 mm, el décimo primero más lluvioso mm, el más lluvioso
- 2008 Año seco, 275 mm, el décimo séptimo más lluvioso, el quinto más seco
- 2009 Año moderadamente lluvioso, 416 mm, el séptimo más lluvioso
- 2010 Año notablemente lluvioso, 531 mm, el primero más lluvioso
- 2011 Año moderadamente lluvioso, 375 mm, el noveno más lluvioso
- 2012 Año moderadamente seco, 346 mm, el décimo segundo más lluvioso
- 2013 Año moderadamente seco, 305 mm, el décimo cuarto más lluvioso
- 2014 Año notablemente lluvioso, 486 mm, el segundo más lluvioso
- 2015 Año moderadamente seco, 337 mm, el décimo tercero más lluvioso
- 2016 Año moderadamente lluvioso, 372 mm, el décimo más lluvioso
- 2017 Año muy seco, 188 mm, el vigésimo primero, el más seco
- 2018 Año lluvioso, 422 mm, el quinto más lluvioso
- 2019 Año seco, 270 mm, el décimo octavo más lluvioso, el cuarto más seco
- 2020 Año seco, 259 mm, el décimo noveno más lluvioso, el tercero más seco
- 2021 Año seco, 290 mm, el décimo sexto más lluvioso, el sexto más seco
- 2022 Año lluvioso, 430 mm, el cuarto más lluvioso
- 2023 Año seco, 295 mm, el décimo quinto más lluvioso
- 2024 Año muy seco, 196 mm, el vigésimo más lluvioso, el segundo más seco
- 2025 Año lluvioso, 409 mm, el octavo más lluvioso

- *Orden de las precipitaciones estacionales y anuales acumuladas medias*

ORDEN	INVIERNO	PRIMAVERA	VERANO	OTOÑO	ANUAL
1º	2006	2025	2022	2014	2010
2º	2010	2011	2015	2012	2014
3º	2009	2018	2010	2010	2006
4º	2005	2012	2005	2013	2022
5º	2011	2007	2011	2021	2018
6º	2018	2020	2023	2015	2005
7º	2016	2019	2006	2025	2009
8º	2021	2006	2012	2008	2025
9º	2022	2016	2025	2009	2011
10º	2014	2010	2017	2005	2016
11º	2007	2023	2008	2006	2007
12º	2025	2022	2024	2016	2012
13º	2023	2014	2019	2020	2015
14º	2019	2021	2009	2007	2013
15º	2015	2009	2014	2023	2023
16º	2017	2017	2021	2019	2021
17º	2013	2008	2007	2022	2008
18º	2024	2024	2013	2018	2019
19º	2008	2015	2018	2024	2020
20º	2020	2005	2020	2011	2024
21º	2012	2013	2016	2017	2017

Es importante considerar que el año 2014 fue el más lluvioso y el año 2017 el más seco y su justificación se encuentra en la cantidad de situaciones barométricas favorables a desencadenar precipitaciones copiosas a muy intensas: desplazamientos de frentes nubosos activos, bajas presiones de orígenes subtropicales o polares e infrecuentes DANA, situación barométrica que cubre superficie atmosférica amplia, no obstante vez, no excesiva extensa.

LAS SERIES PLUVIOMÉTRICAS ANUALES Y ESTACIONALES MÁS LARGAS

La principal característica climática de las precipitaciones es su irregularidad espacial y temporal, irregularidad que provoca una alta variabilidad, por lo que en ocasiones las precipitaciones mensuales, estacionales o anuales se alejan marcadamente de sus valores normales. Algunas de estas alteraciones en las cuantías y distribución de las precipitaciones son motivos de variadas interpretaciones, siendo común atribuirles a la existencia de *cambio climático* del que tanto se habla actualmente.

El objetivo de esta sección es analizar el comportamiento de las series temporales de precipitaciones más largas de observación, periodos de 10, 9, 5, 4 y 2 décadas a efectos de detectar cambios en los patrones pluviométricos. Analizamos estadísticamente las precipitaciones acumuladas en lapsos estacional y anual en seis lugares donde hemos considerado que a información disponible nos garantiza un alto grado de fiabilidad. Las observaciones pluviométricas son realizadas periódicamente en instituciones públicas por personal profesional y a comienzos del presente siglo por medio de estaciones meteorológicas automáticas. Observaciones decaminutales obtenidas de los archivos de Agrocabildo de Tenerife y Agencia Estatal de Meteorología. Presentamos gráficas diseñadas para revelar la pluviosidad insular.

El régimen pluviométrico de cada lugar depende de la altitud y orientación de las vertientes inclinadas expuestas a los pertinaces vientos alisios, a las esporádicas irrupciones de aire marino, a las escasas depresiones atlánticas, depresiones frías de altura (DANA) y depresiones tropicales que llegan principalmente a la costa en el periodo otoñal o invernal.

Las situaciones sinópticas muestran diferentes patrones de distribución espacial. Las precipitaciones procedentes de los vientos alisios son exiguas, mejoran la regularidad de las precipitaciones en medianía, zonas de cultivo y bosques en las vertientes noroeste a sur, mientras que las precipitaciones procedentes de las depresiones son irregulares e intensas en costa y medianía, y en ocasiones llegan a ser torrenciales en lugares concretos donde las incidencias sobre el relieve son mucho más acusadas. Las nuevas estaciones automáticas ubicadas en medianías altas han detectado precipitaciones abundantes e incluso torrenciales en áreas del sureste a oeste, zonas que en tiempos pretéritos se consideraban de alto grado de aridez, donde la disposición de material y personal hacían imposible conocer climáticamente el territorio,

El trabajo no pretende polemizar sobre la existencia o no del *cambio climático antropogénico*, sino presentar resultados de los análisis estadísticos efectuados con las precipitaciones recogidas en distintos lugares y periodos de observación, y así el lector tendrá la oportunidad de decidir sobre la evolución del régimen pluviométrico anual y estacional.

Podemos concluir que las variaciones detectadas a *fluctuaciones pluviométricas* son modificaciones a corto y medio plazo que provocan alteraciones espaciales y temporales pero que mantiene el clima dentro de sus caracteres esenciales y no a un *cambio climático*, puesto que desde el punto de vista climático este concepto implica diferencias más marcadas en los valores registrados, mayor variabilidad de las precipitaciones y profundas alteraciones en el régimen de las mismas, aspectos que no se evidencian en las series pluviométricas estudiadas.

- *Nociones estadísticas básicas*

Las observaciones pluviométricas suministradas por la red de estaciones automáticas son enormes e interpretarlas hace necesario usar procedimientos estadísticos convencionales, tal como expresiones matemáticas sencillas de concentración de datos y plasmar sus resultados en imágenes cartográficas. Las observaciones pertenecen a una serie temporal de datos meteorológicos.

La *serie temporal* se define como una colección de observaciones de una variable recogidas secuencialmente en el tiempo. Estas observaciones se suelen recoger en instantes de tiempo equiespaciados. Si los datos se recogen en instantes temporales de forma continua, se debe digitalizar la serie, es decir, recoger sólo los valores en instantes de tiempo equiespaciados, o bien acumular los valores sobre intervalos de tiempo. En nuestro caso, las observaciones se recogen cada 10 minutos (decaminutal).

La *población* es el conjunto de todas las observaciones en las que estamos interesados. Se llama *tamaño de la población* al número de observaciones que la componen; así pues, las poblaciones pueden ser finitas e infinitas. Cada observación en una población es un valor de una variable aleatoria. En nuestro caso analizamos series temporales de 41 observatorios que carecen de ausencias de datos en un lapso común, intervalo enero 2005 a diciembre 2025.

Calculamos parámetros estadísticos básicos para la población global y para poblaciones de observatorio con mayor número de observaciones. Exponemos:

La *media aritmética* se define como la suma de todas las observaciones dividida por el número de datos. La media es el centro de gravedad de la población.

La *desviación* es una medida de centralización, es la dispersión de la observación, cuantifica la separación e indica la variabilidad de los valores de la distribución respecto al valor central. También indica la mayor o menor concentración de las observaciones con respecto a las medidas de centralización.

La *varianza* se define como la media aritmética de los cuadrados de las desviaciones respecto de la media.

La *desviación típica* se define como la raíz cuadrada positiva de la varianza. La desviación típica es un indicador de la cantidad de variación de la población.

Coficiente de variación es una medida de dispersión que permite el análisis de las desviaciones de los datos con respecto a la media y al mismo tiempo las dispersiones que tienen los datos dispersos entre sí.

Si el coeficiente es próximo al 0, significa que existe poca variabilidad en los datos y es una muestra muy compacta. En cambio, si tienden a 100 es una muestra muy dispersa y la media pierde confiabilidad. De hecho, cuando el coeficiente de variación supera el 30 % se dice que la media es poco representativa. Se define como el cociente entre la desviación típica y la media. Los coeficientes de variación se usan cuando se desea *comparar* la variación de poblaciones independientemente de la magnitud de sus medias. Es un parámetro adimensional. El *coeficiente de variación* representa el número de veces que la desviación típica contiene la media aritmética y por lo tanto cuanto mayor es CV mayor es la dispersión y menor la representatividad de la media.

La *regresión* es una técnica estadística utilizada para simular la relación existente entre dos o más variables. Por lo tanto, se puede emplear para construir un modelo que permita predecir el comportamiento de una variable dada. Por lo tanto, el análisis de regresión es una herramienta que permite analizar y predecir o estimar observaciones futuras de dos o más variables relacionadas entre sí, es decir una herramienta útil para la *estimación estadística*.

La *correlación* es una medida estadística que indica el grado de relación entre dos variables. En concreto, la *correlación lineal* sirve para determinar cuánto de correlacionadas linealmente están dos variables distintas. Dos variables están relacionadas cuando al variar los valores de una variable también cambian los valores de la otra variable. Por ejemplo, si al aumentar la *variable A* también aumenta la *variable B*, existe una correlación entre las variables A y B.

La técnica de regresión no es suficiente para establecer la regresión. Para esto se hace uso del *coeficiente de correlación r*, el cual mide el grado de relación existente entre las variables. El valor de r varía entre -1 y 1, pero en la práctica se trabaja con el valor absoluto de R, entonces, a medida que r se

aproxime a 1, más grande es el grado de correlación entre los datos, de acuerdo con esto el coeficiente de correlación se puede clasificar: *excelente* $0.9 \leq |r| < 1$; *buena* $0.8 \leq |r| < 0.9$; *regular* $0.5 \leq |r| < 0.8$; *mala* $0.3 \leq |r| < 0.5$; *muy mala* $|r| < 0.3$.

Recta de Regresión de Y sobre X es la mejor línea que mejor se adapta al diagrama de dispersión XY, también llamado *nube de puntos*. Este acercamiento se define de forma rigurosa como la *recta de regresión* de Y sobre X es aquella que minimiza la suma de cuadrados de las diferencias entre los valores de Y y los correspondientes Y' medidos en dicha recta.

La *recta de regresión* es un instrumento para efectuar predicciones, ya sea en el intervalo de observaciones en el estudio, rango, como fuera de él.

La ecuación de una línea recta en dos dimensiones tiene la forma: $Y' = a + b \cdot x$ donde el coeficiente *b* representa el *cambio* o *pendiente* y el coeficiente *a* es el valor correspondiente a $x = 0$, y la llamaremos *ordenada* en el origen. Según el signo de la pendiente, hablaremos de relación positiva o creciente y negativa o decreciente.

El análisis de tendencias en estadística es una técnica fundamental que permite identificar patrones y cambios en los datos a lo largo del tiempo para predecir comportamientos futuros y tomar decisiones informadas. La *tendencia* es un patrón de comportamiento de las observaciones en un entorno particular durante un período.

Una *línea de tendencia* representa la tendencia de la serie temporal obtenida través de un largo período o lapso. Este tipo de líneas puede decirnos si un conjunto de observaciones ha aumentado o decrementado en un determinado período. Se puede dibujar la *línea de tendencia* a simple vista fácilmente a partir de un grupo de puntos, pero su posición y pendiente se calcula de manera más precisa utilizando técnicas estadísticas las *regresiones lineales*. La *línea de tendencia* es generalmente línea recta.

El *coeficiente de correlación* es un indicador que mide la tendencia de dos variables cuantitativas X e Y a tener una relación de linealidad o proporcionalidad entre ellas. Generalmente, los pares de variables X e Y son dos características de una misma población. El *coeficiente de correlación lineal de Pearson* se denota con la letra *r* minúscula y sus valores mínimo y máximo son -1 y +1 respectivamente. Un valor $r = +1$ indicaría que el conjunto de pares (X,Y) están perfectamente alineados y que cuando X crece, Y crecerá en la misma proporción. En cambio, si ocurriese que $r = -1$, el conjunto de pares también estaría perfectamente alineado, pero en tal caso cuando X crece, Y decrece en la misma proporción.

- *Precipitaciones anuales y estacionales*

Presentamos las medidas de tendencia central a partir de series temporales superiores a 24 años en periodos anual y estacional donde mostramos los valores medios de precipitación y sus correspondientes coeficientes de variación. No obstante, los parámetros obtenidos no son similares, sino que encontramos una tendencia hacia una menor o mayor precipitación media según el lapso anual o estacional elegido

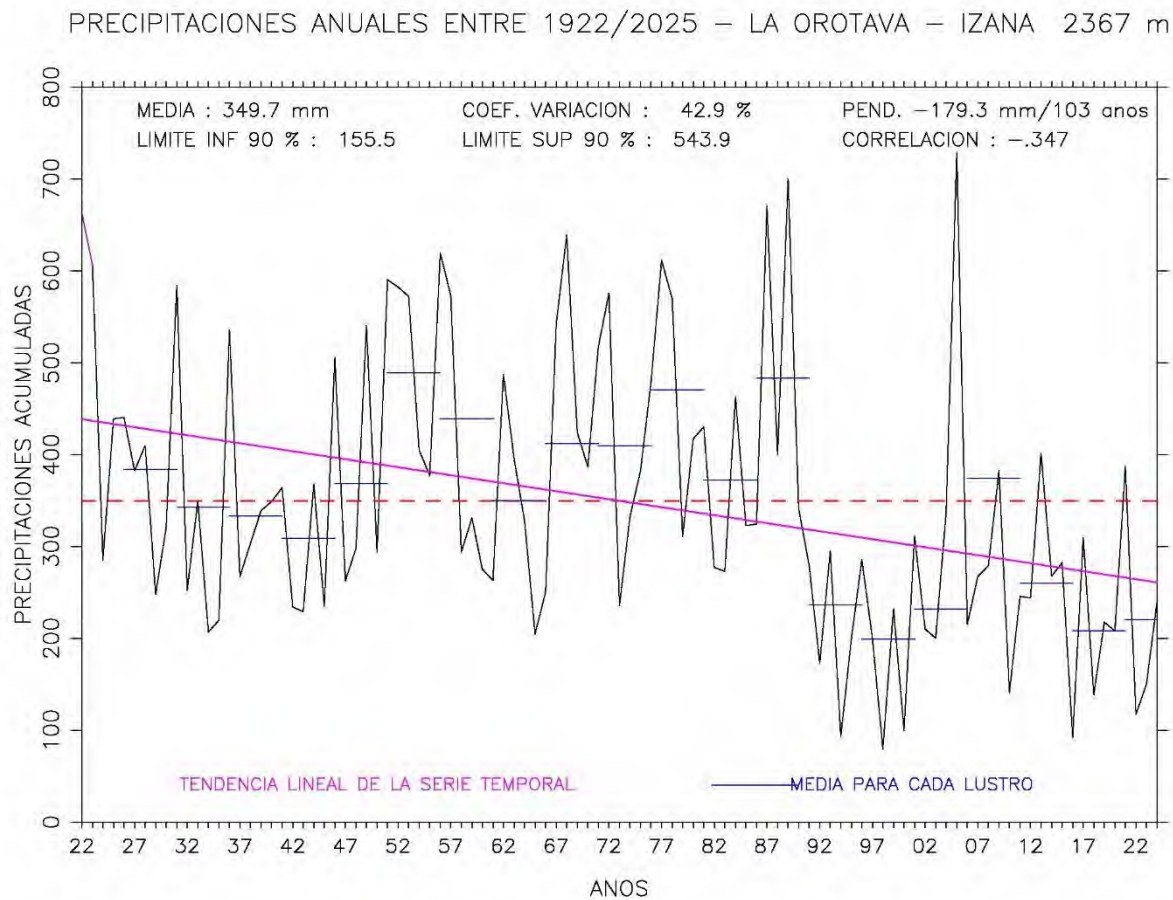
- *La Orotava – Izaña entre 1922 a 2025. La serie pluviométrica temporal más larga de Canarias*



El observatorio de Izaña (2367 m) situado por encima de la capa atmosférica de estratocúmulos típica de la región canaria, capa atmosférica seca, excepto pocos días lluvioso cada año en las que se registran algunas precipitaciones intensas y vegetación xerófila de piso basal. Durante el año soplan frecuentemente vientos en el sector oeste a norte y son dominantes en la dirección noroeste. En invierno los vientos soplan ligeramente con mayor intensidad que en verano.

Las frecuencias absolutas acumuladas de los días lluviosos en relación a precipitaciones de referencia, lapsos estacional y anual en la serie temporal de 86 años son las siguientes:

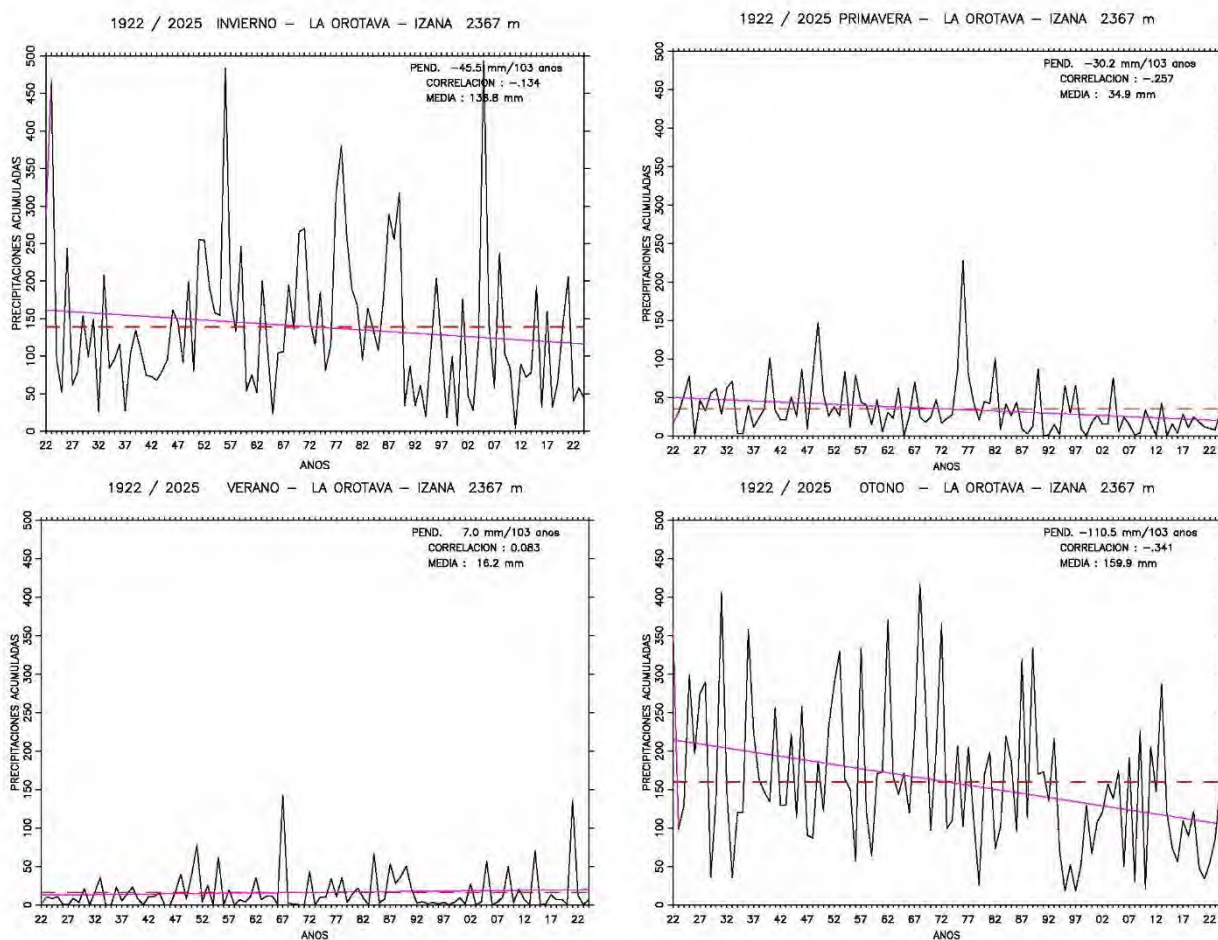
Prec Ref	INVIERNO	PRIMAVERA	VERANO	OTOÑO	ANUAL
2 mm	997	331	142	1096	2566
5 mm	675	194	75	694	1638
15 mm	252	53	23	312	640
25 mm	144	18	11	168	341
50 mm	59	4	4	61	128
75 mm	32	2	2	30	66
100 mm	21	1	0	21	43
125 mm	11	0	0	13	24
150 mm	6	0	0	10	16
175 mm	3	0	0	9	12
200 mm	2	0	0	7	9



Tendencia en las precipitaciones anuales acumuladas

Evolución del volumen anual de precipitación acumulada a partir de la serie temporal. A escala anual existe una *tendencia negativa*, destacado descenso *pluviométrico*, descenso aproximado, *tendencia* de 1.7 mm / año. La línea de tendencia se obtiene mediante el ajuste por mínimos cuadrados a partir de los datos anuales acumulados.

Parámetros estadísticos de la serie temporal: media aritmética 349.7 mm, coeficiente variación de la media 42.9 %, intervalo de confianza (90 %) 155.5 mm y 543.9 mm, coeficiente de correlación -0.347, pendiente -179.3 mm / 103 años.



Tendencia en las precipitaciones estacionales acumuladas

Evolución de los volúmenes estacionales de precipitaciones acumuladas a partir de la serie temporal.

A escala estacional existen diferentes tendencias pluviométricas. En invierno, primavera y otoño las *tendencias son negativas, destacada, leve y notable*, descensos pluviométricos; sin embargo, en verano la *tendencia es positiva* apreciable, ascenso exiguo pluviométrico. Las líneas de tendencia se han obtenido mediante el ajuste por mínimos cuadrados a partir de los datos estacionales acumulados.

Parámetros estadísticos de la serie temporal son los siguientes en 103 años: *invierno* tiene media aritmética 138.8 mm, coeficiente variación de la media 71.3 %, coeficiente de correlación -0.134 y tendencia -0.44 mm/año: *primavera* tiene media 34.9 mm, coeficiente variación 97.5 %, coeficiente de correlación -0.257 y tendencia -0.29 mm/año: *verano* tiene media 16.2 mm, coeficiente variación 152.4 %, coeficiente de correlación 0.083 y tendencia 0.07 mm/año: *otoño* tiene media 160 mm, coeficiente variación 58.8 %, coeficiente de correlación -0.341 y tendencia -1.07 mm/año.

- *Santa Cruz de Tenerife – centro urbano entre 1933 a 2025. La serie pluviométrica temporal segunda más larga de Canarias*



Santa Cruz de Tenerife a comienzo y finales del siglo XX

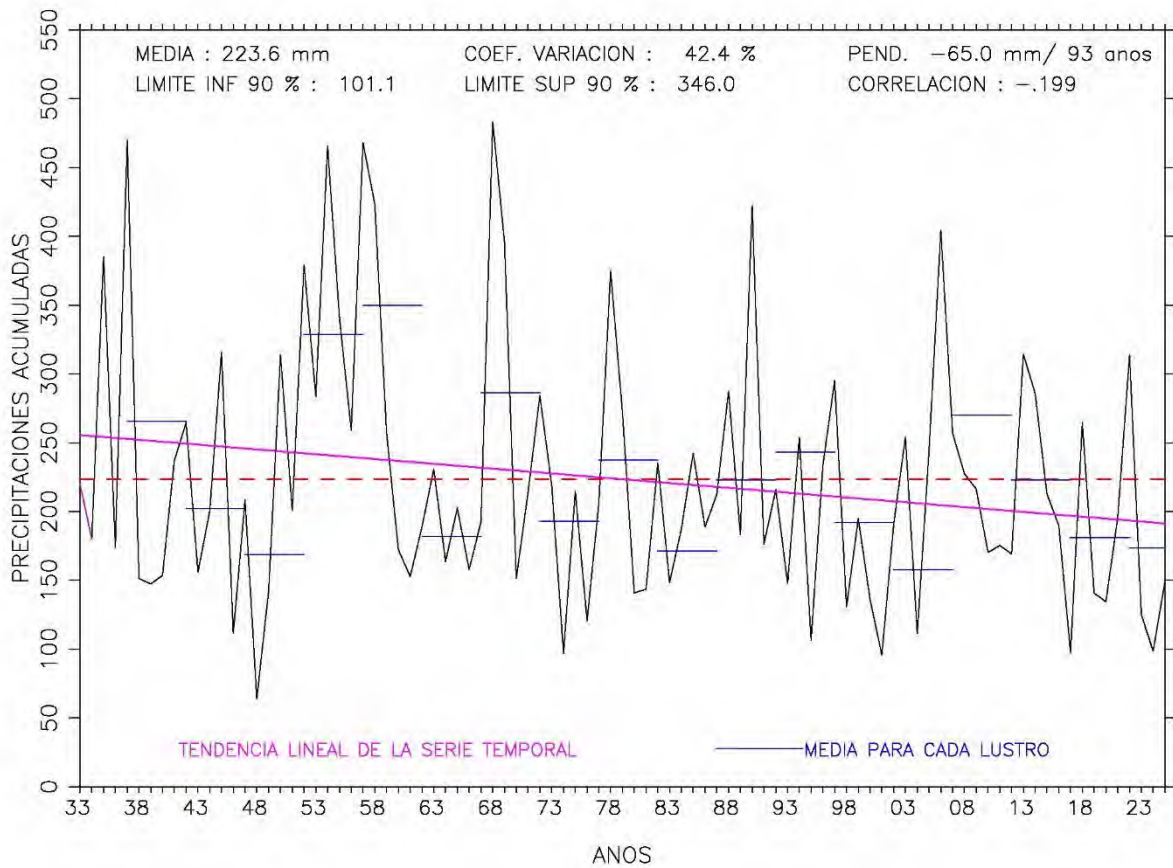
Épocas que se caracterizan por amplios espacios de cultivo y espacios urbanos de asfalto y hormigón. Foto aéreas de Canarias el 4 de agosto de 2021.

El observatorio de Santa Cruz de Tenerife (36 m) situado en la capa atmosférica húmeda. Entre los meses de enero a julio soplan frecuentemente vientos débiles a moderados, húmedos en el sector norte a este y dominantes en la dirección norte. Entre los meses de julio a diciembre soplan vientos débiles, semihúmedos a húmedos, frecuentes en el sector norte a sur y dominantes en el sector este a sureste. Pocos días al año se registran precipitaciones notables. La evolución urbana de la capital cambia los factores climáticos en un periodo secular.

Las frecuencias absolutas acumuladas de los días lluviosos en relación a precipitaciones de referencia, periodos estacionales y anual en la serie temporal de 80 años son las siguientes:

Prec Ref	INVIERNO	PRIMAVERA	VERANO	OTOÑO	ANUAL
2 mm	737	184	46	836	1803
5 mm	430	80	18	432	961
15 mm	129	16	11	124	280
25 mm	52	6	7	68	133
50 mm	17	0	0	18	35
75 mm	5	0	0	6	11
100 mm	3	0	0	2	5
125 mm	1	0	0	0	1
225 mm	1	0	0	1	1

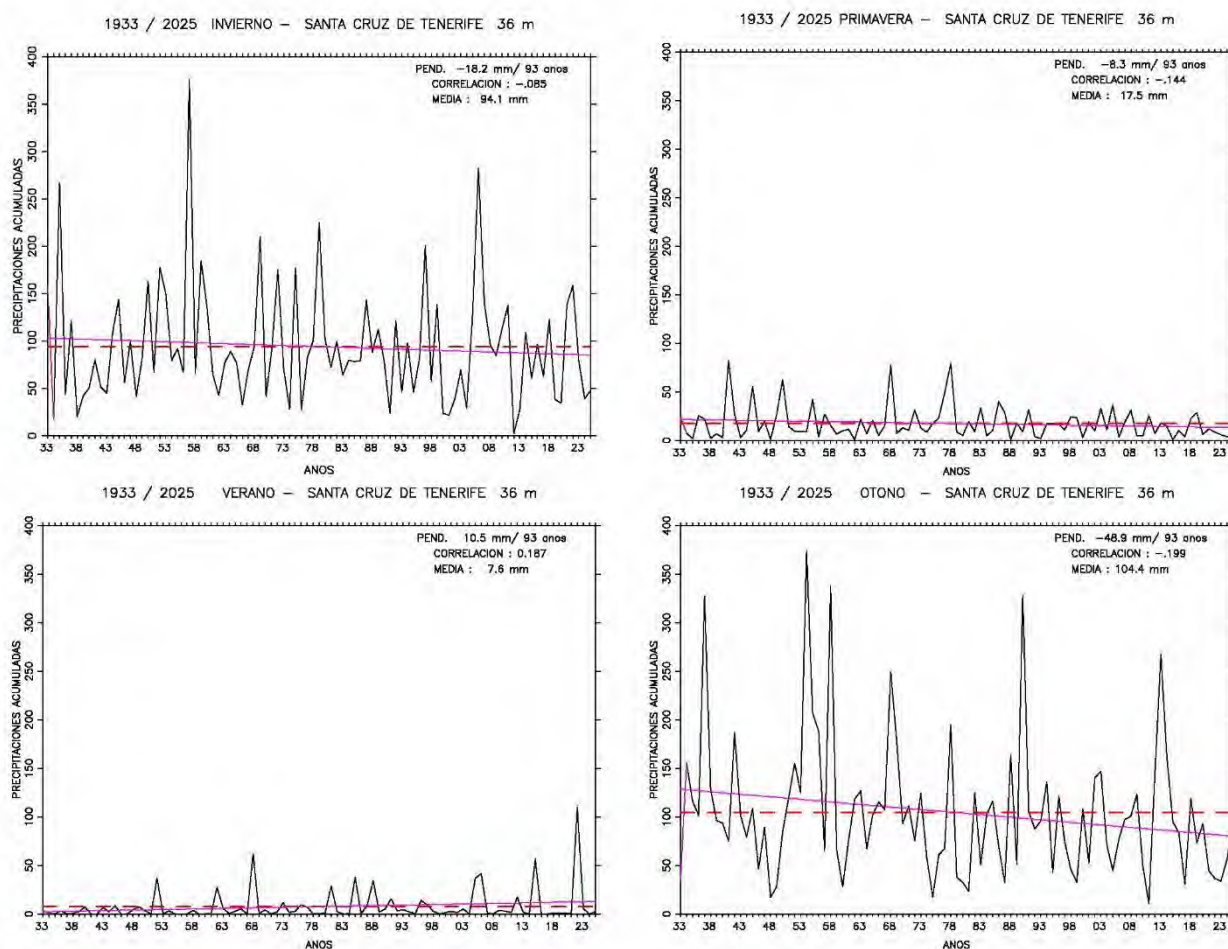
PRECIPITACIONES ANUALES ENTRE 1933/2025 – SANTA CRUZ DE TENERIFE 36 m



Tendencia en las precipitaciones anuales acumuladas

Evolución del volumen anual de precipitación acumulada. A escala anual existe una *tendencia negativa, destacado descenso pluviométrico, descenso aproximado, tendencia de 0.7 mm / año.*

Parámetros estadísticos de la serie temporal: media 223.6 mm, coeficiente variación 42.4 %, intervalo de confianza 101.1 mm y 346 mm, coeficiente de correlación -0.199, pendiente -65 mm / 93 años.



Tendencias de las precipitaciones estacionales acumuladas

A escala estacional existen diferentes tendencias pluviométricas. En invierno, primavera y otoño las *tendencias son negativas, leve, apreciable y destacada*, descensos pluviométricos; sin embargo, en verano la *tendencia es positiva apreciable*, ascenso exiguo pluviométrico.

Parámetros estadísticos de la serie temporal en 93 años son los siguientes: *invierno* tiene media aritmética 94.1 mm, coeficiente variación 60.4 %, coeficiente de correlación -0.085 y tendencia -0.04 mm/año: *primavera* tiene media 17.5 mm, coeficiente variación 95.8 %, coeficiente de correlación -0.144 y tendencia -0.09 mm/año: *verano* tiene media 7.1 mm, coeficiente variación 213.6 %, coeficiente de correlación 0.187 y tendencia 0.11 mm/año: *otoño* tiene media 105 mm, coeficiente variación 68.3 %, coeficiente de correlación -0.199 y tendencia -0.5 mm/año.

- *Precipitaciones anuales y estacionales en La Laguna - Aeropuerto de los Rodeos (sotavento) entre 1970 a 2025*



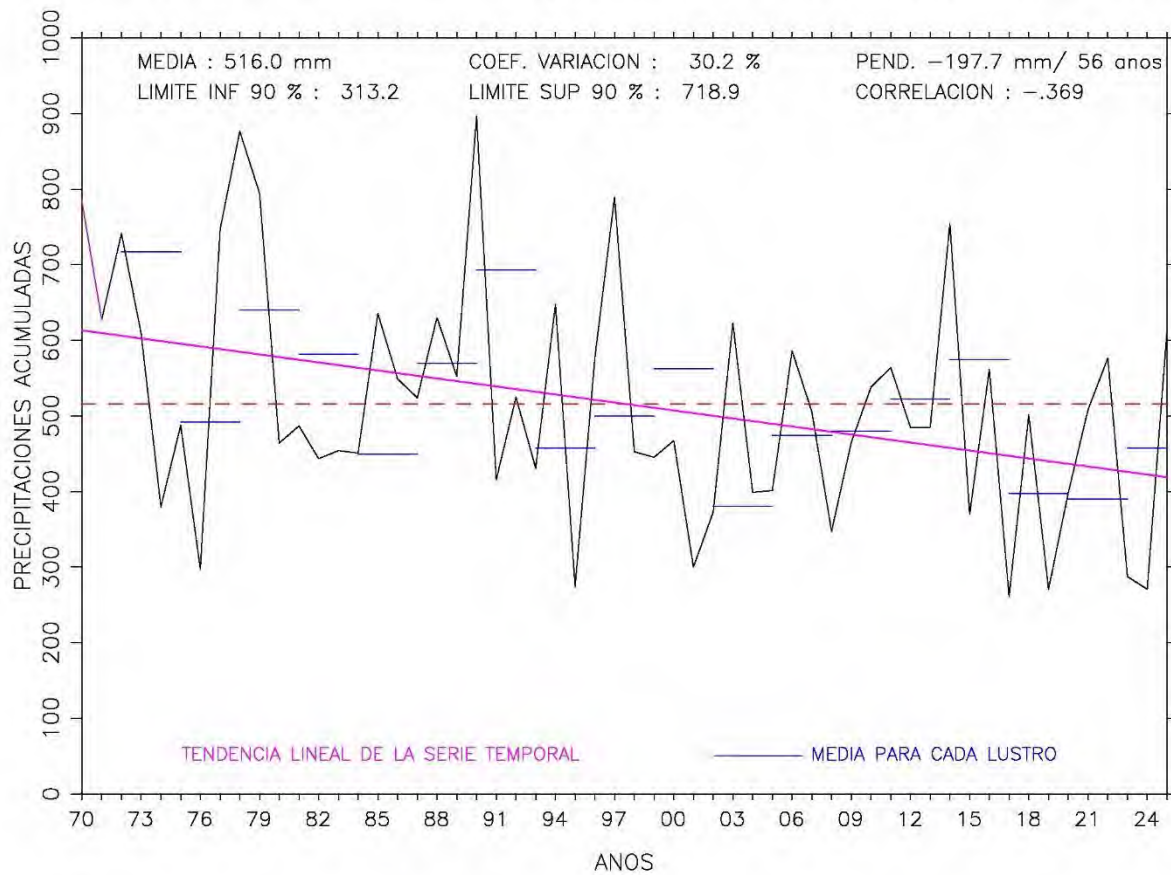
La Laguna - Llanura de los Rodeos, al fondo Santa Cruz de Tenerife

El observatorio de Llanura de los Rodeos o Aeropuerto Tenerife Norte situado por debajo de la capa atmosférica de estratocúmulos típica de la región canaria, capa atmosférica húmeda. La fotografía muestra la ubicación de la estación meteorológica: Los Rodeos - Sotavento (derecha, cabecera del Aeropuerto) periodo 1970 - 2025. Entre los meses de octubre a marzo soplan frecuentemente vientos débiles a moderados, húmedos a muy húmedos en los sectores este sureste a sur y oeste a norte. Entre los meses abril a septiembre soplan frecuentemente vientos moderados a fuertes, semisecos a muy húmedos en el sector oeste a norte y dominantes en la dirección noroeste. Pocos días del invierno y otoño registran precipitaciones notables, mientras en primavera y verano destacan las lloviznas y ligeros chubascos. La cabecera de pista a sotavento, los volúmenes anuales de precipitación y la humedad relativa del aire son ligeramente inferiores a la cabecera de pista a barlovento.

Las frecuencias absolutas acumuladas de los días lluviosos en relación a precipitaciones de referencia, periodos estacionales y anual en la serie temporal de 56 años son las siguientes:

Prec Ref	INVIERNO	PRIMAVERA	VERANO	OTOÑO	ANUAL
2 mm	548	261	113	558	1480
5 mm	349	118	50	357	874
15 mm	135	27	11	113	286
25 mm	68	10	3	48	129
50 mm	13	0	0	7	20
75 mm	3	0	0	4	7
100 mm	2	0	0	2	4
125 mm	1	0	0	0	1

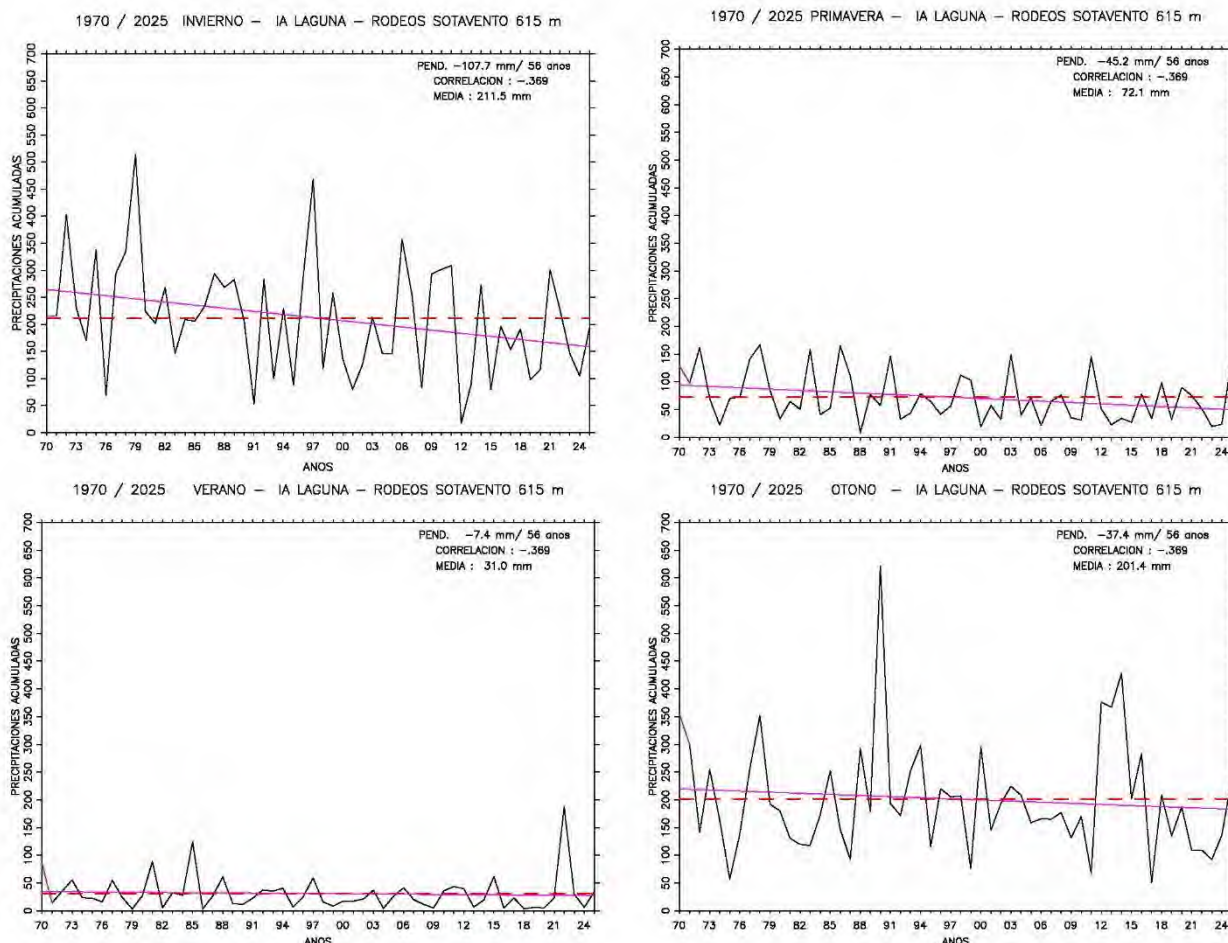
PRECIPITACIONES ANUALES ENTRE 1970/2025 – LAGUNA LOS RODEOS SOTAVENTO 615 m



Tendencia de las precipitaciones anuales acumuladas

Evolución del volumen anual de precipitación acumulada. A escala anual existe una *tendencia negativa, destacado descenso pluviométrico, descenso aproximado, tendencia de 3.5 mm / año.*

Parámetros estadísticos de la serie temporal: media 516 mm, coeficiente variación 30.2 %, intervalo de confianza 313.2 mm y 718.9 mm, coeficiente de correlación -0.369, pendiente -197.7 mm / 56 años.



Tendencias de las precipitaciones estacionales acumuladas

A escala estacional existen diferentes tendencias pluviométricas. Todas las estaciones del año tienen *tendencias negativas, destacada, leve, apreciable y leve*, descensos pluviométricos.

Parámetros estadísticos de la serie temporal en 56 años son los siguientes: *invierno* tiene media aritmética 211.5 mm, coeficiente variación 48.6 % y tendencia -1.92 mm/año: *primavera* tiene media 72.1 mm, coeficiente variación 61.7 % y tendencia -0.81 mm/año: *verano* tiene media 31 mm, coeficiente variación 102.3 % y tendencia 0.13 mm/año: *otoño* tiene media 201.4 mm, coeficiente variación 50.5 % y tendencia -0.67 mm/año.

- *Precipitaciones anuales y estacionales en Granadilla – Aeropuerto Sur entre 1982 a 2025*



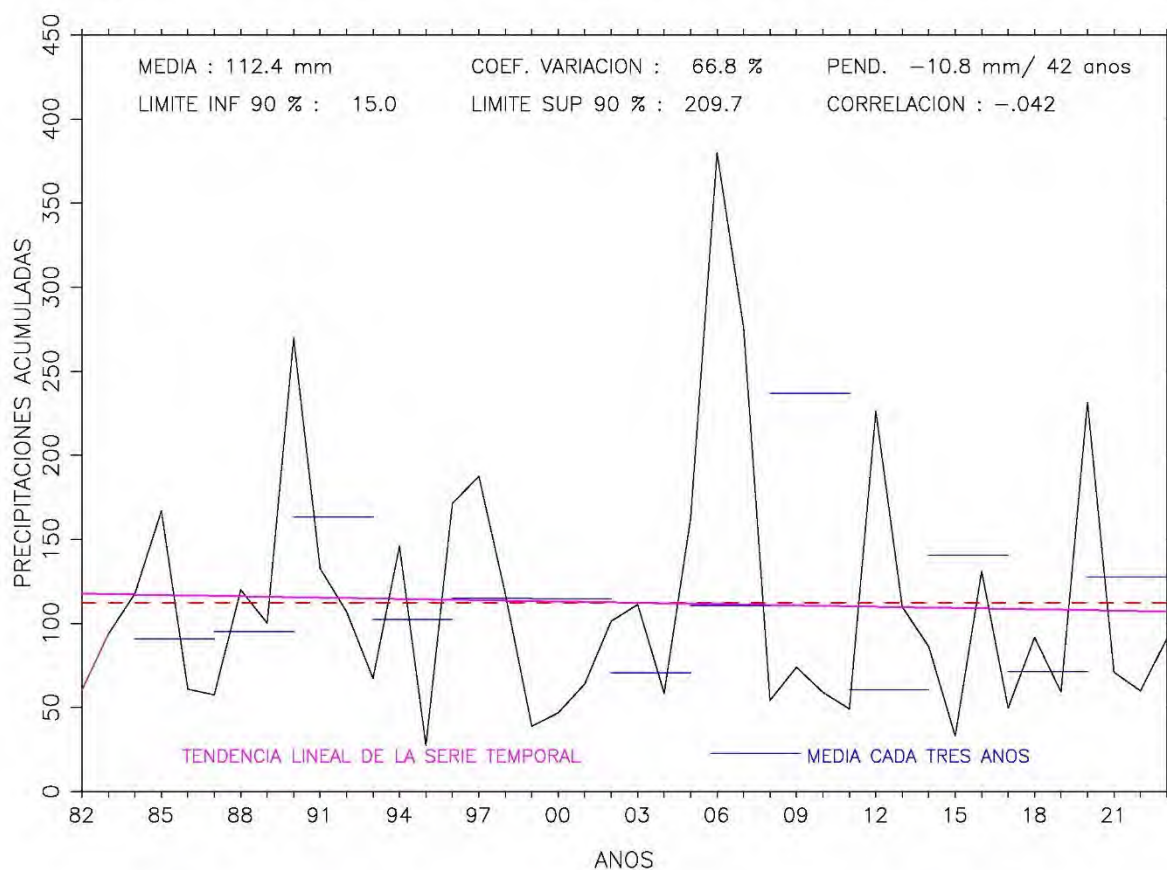
Granadilla de Abona - Aeropuerto Reina Sofía

El observatorio de Aeropuerto Reina Sofía - Tenerife Sur (64 m) situado en la capa atmosférica seca y a pocos centenares de metros de la costa. Todos los meses soplan frecuentemente vientos moderados a fuertes, semisecos a húmedos en el sector norte a este y dominantes en la dirección noreste. Días escasos al año se registran precipitaciones copiosas.

Las frecuencias absolutas acumuladas de los días lluviosos en relación a precipitaciones de referencia, periodos trimestral y anual en la serie temporal de 42 años son las siguientes:

Prec Ref	INVIERNO	PRIMAVERA	VERANO	OTOÑO	ANUAL
2 mm	141	31	16	161	349
5 mm	80	15	8	93	196
15 mm	26	5	1	30	62
25 mm	13	0	0	18	31
50 mm	3	0	0	3	6
75 mm	0	0	0	3	2
100 mm	0	0	0	1	1
125 mm	0	0	0	1	1

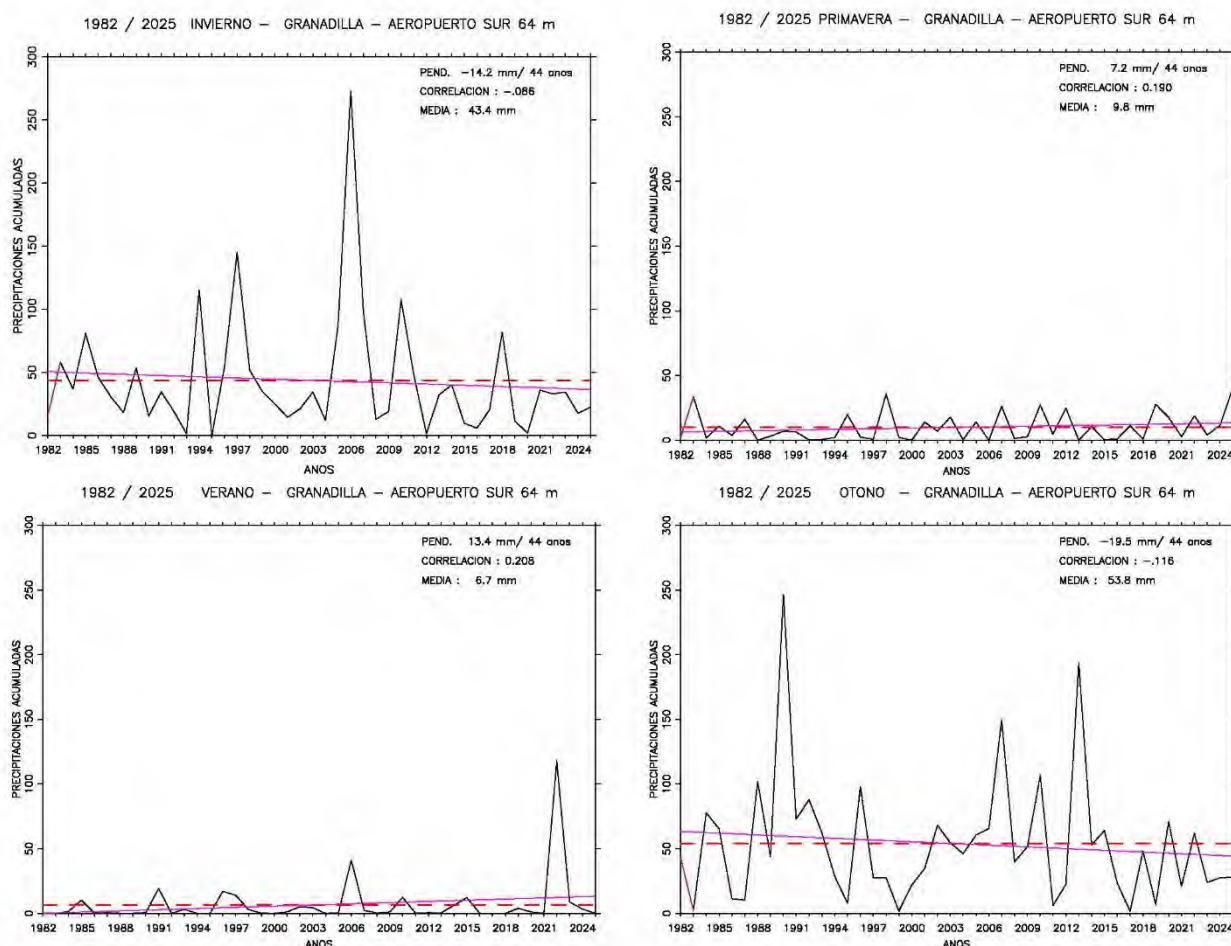
PRECIPITACIONES ANUALES ENTRE 1982/2025 – GRANADILLA – AEROPUERTO SUR



Tendencia de las precipitaciones anuales acumuladas

Evolución del volumen anual de precipitación acumulada. A escala anual existe una *tendencia negativa, leve descenso pluviométrico*, descenso aproximado, *tendencia* de 0.3 mm / año.

Parámetros estadísticos de la serie temporal: media 112.4 mm, coeficiente variación 66.8 %, intervalo de confianza 15 mm y 209.7 mm, coeficiente de correlación -0.042, pendiente -10.8 mm / 42 años.



Tendencias de las precipitaciones estacionales acumuladas

A escala estacional existen diferentes tendencias pluviométricas. En invierno y otoño las *tendencias son negativas, leve y destacada*, descensos pluviométricos; sin embargo, en primavera y verano la *tendencia es positiva apreciable*, ascenso leve pluviométrico.

Parámetros estadísticos de la serie temporal en 42 años son los siguientes: *invierno* tiene media aritmética 43.4 mm, coeficiente variación 111.6 %, coeficiente de correlación -0.086 y tendencia -0.33 mm/año; *primavera* tiene media 9.8 mm, coeficiente variación 112.0 % coeficiente de correlación 0.19 y tendencia 0.17 mm/año; *verano* tiene media 6.7 mm, coeficiente variación 282.3 % coeficiente de correlación 0.208 y tendencia 0.32 mm/año; *otoño* tiene media 53.8 mm, coeficiente variación 91.2 % coeficiente de correlación -0.116 y tendencia -0.47 mm/año.

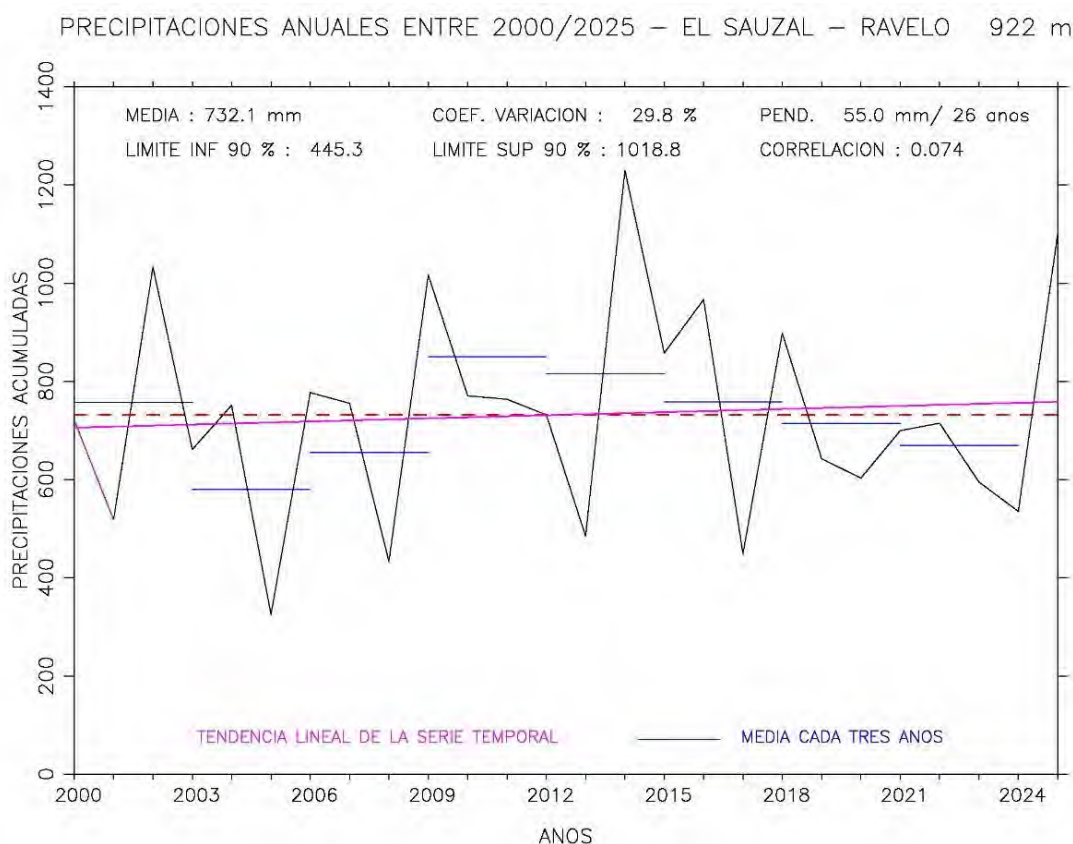
- *Precipitaciones anuales y estacionales en El Sauzal - Ravelo entre 2000 a 2025*



Estación agrometeorológica Sauzal – Ravelo y campos de cereales en los alrededores del lugar de observación

El observatorio Ravelo (922 m) está situado en la medianía alta norte a noroeste, frecuentemente en contacto con la capa atmosférica de estratocúmulos típica de la región canaria, espacio de lo más húmedo de la isla, donde el régimen pluviométrico es elevado, muchas de ellas en forma de lloviznas, precipitaciones de rocío y sobre obstáculos precipitaciones de niebla. La fotografía muestra el entorno de la estación meteorológica Agrocabildo, observaciones decaminutales desde enero 2000.

Verdor que adquiere los campos de las medianías septentrionales tras un episodio de precipitaciones copiosas. Cereales exuberantes brotan en tierra fértil que responde generosamente a las lluvias. Vientos muy débiles a moderados, húmedos soplan en todas las direcciones, vientos frecuentes del sector noroeste a norte y dirección sureste. Se verifica el efecto viento anabático - catabático. Foto: campiña tinerfeña en un día invernal, Juan Luis Rodríguez Luengo, el 29 de enero de 2023.

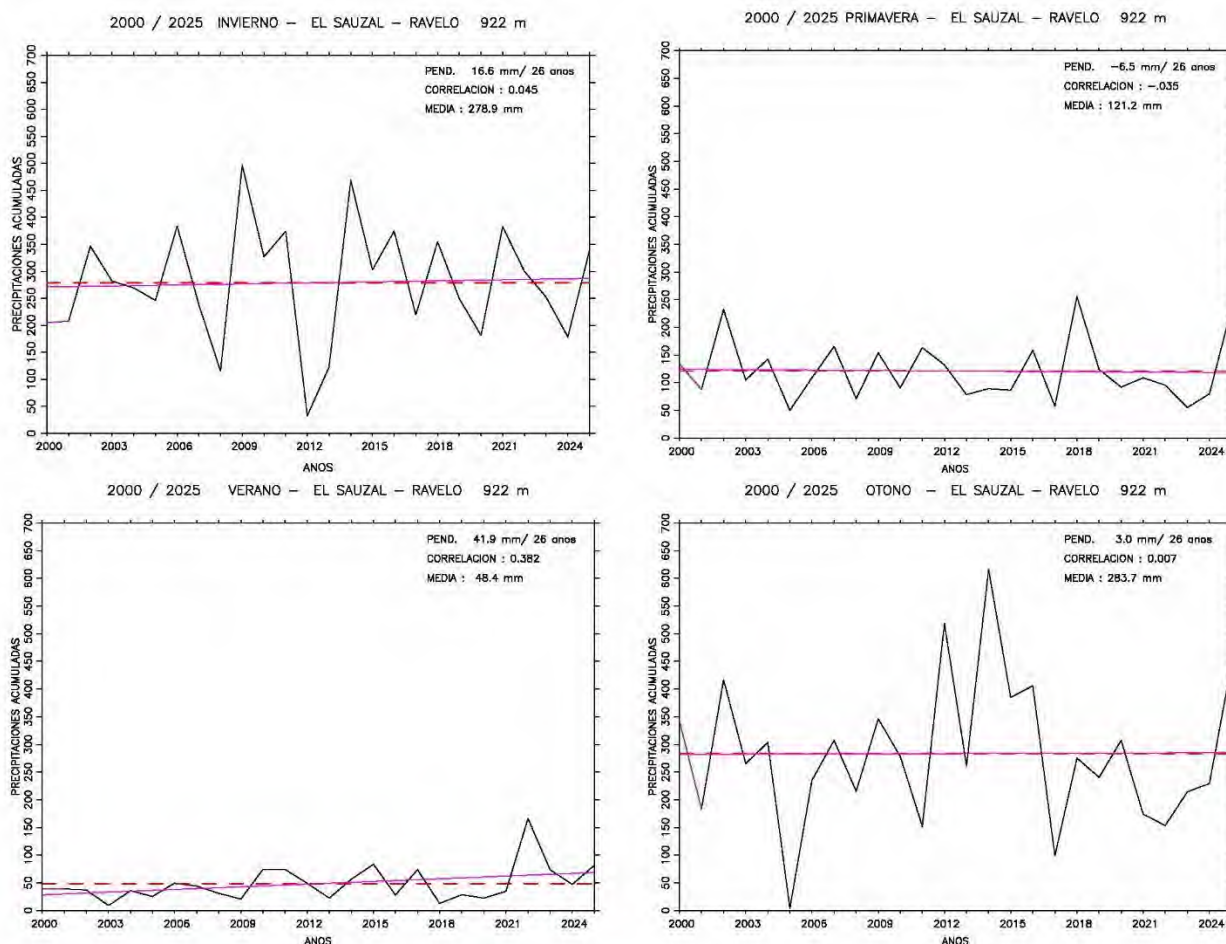


Tendencia de las precipitaciones anuales acumuladas

Serie temporal de datos decaminutales de corta duración en comparación a las expuestas anteriormente. Estación meteorológica instaladas a comienzo de la inauguración de Agrocabildo de Tenerife. El lugar de observación tiene gran interés agronómico o geográfico al ser el lugar de mayor cuantía pluviométrica de la red del Cabildo de Tenerife

Evolución del volumen anual de precipitación acumulada. A escala anual existe una *tendencia positiva, leve ascenso pluviométrico*, ascenso aproximado de 2.1 mm / año.

Parámetros estadísticos de la serie temporal: media 732.1 mm, coeficiente variación 29.8 %, intervalo de confianza 445.3 mm y 1018.8 mm, coeficiente de correlación 0.074, pendiente 55 mm / 26 años.



Tendencias de las precipitaciones estacionales acumuladas

A escala estacional existen diferentes tendencias pluviométricas. En invierno, verano y otoño las *tendencias son apreciable, leve y apreciable ascensos* pluviométricos exiguos; sin embargo, en primavera la *tendencia es negativa apreciable, casi nula*, descenso exiguo pluviométrico.

Parámetros estadísticos de la serie temporal en 26 años son los siguientes: *invierno* tiene media aritmética 278.6 mm, coeficiente variación 38.6 %, coeficiente de correlación 0.045 y tendencia 0.64 mm/año; *primavera* tiene media 121.2 mm, coeficiente variación 45.5 % coeficiente de correlación -0.35 y tendencia -0.25 mm/año; *verano* tiene media 48.4 mm, coeficiente variación 66.8 %, coeficiente de correlación 0.382 y tendencia 1.61 mm/año; *otoño* tiene media 283.7 mm, coeficiente variación 46.2 % coeficiente de correlación 0.007 y tendencia 0.12 mm/año.

- *Precipitaciones anuales y estacionales en Vilaflor – Los Frontones 2000 a 2025*

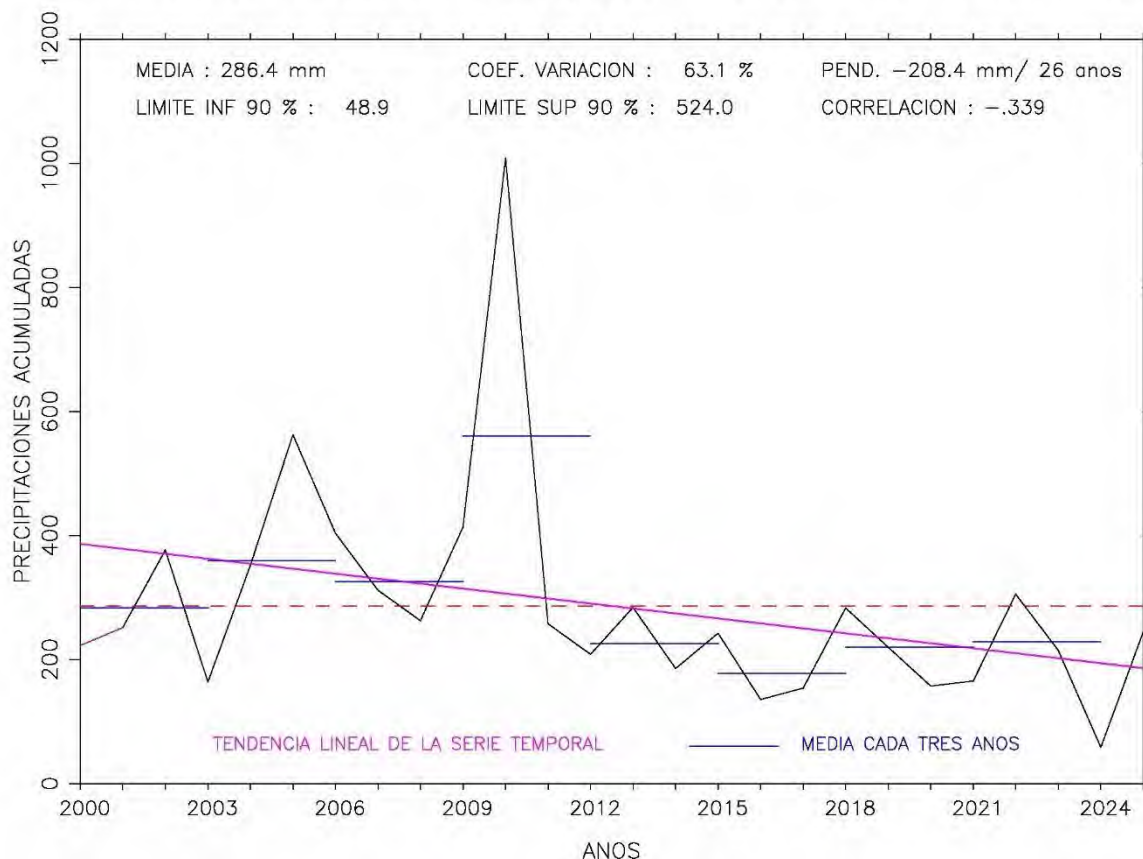


Estación agrometeorológica Vilaflor – Los Frontones y pastizal con arbustos diseminados

El observatorio Los Frontones (1258 m) está situado en área de montaña sur, excepcional contacto con la capa de estratocúmulos que rodea la isla sobre las medianías, espacio de lo más seco, donde el régimen pluviométrico es escaso en forma de lloviznas, precipitaciones intensas ocasionales y raras veces sobre los obstáculos precipitaciones de neblinas. Estación meteorológica Agrocabildo, observaciones decaminutales desde enero 2000.

Pastos xéricos con matorral diseminado que adquieren las áreas de montaña colindantes con las medianías meridionales. Superficie con plantas frondosas sobre suelo pedregoso, casi estéril, árido tras las precipitaciones otoñales excepcionales de 2014. Vientos muy débiles a moderados, semisecos a semihúmedos húmedos soplan en todas las direcciones, vientos frecuentes en dirección norte y en el sector sureste a sur. Se verifica el efecto viento anabático – catabático. Foto: Juan González, 2014

PRECIPITACIONES ANUALES ENTRE 2000/2025 – VILAFLOL – EL FRONTON 1258 m

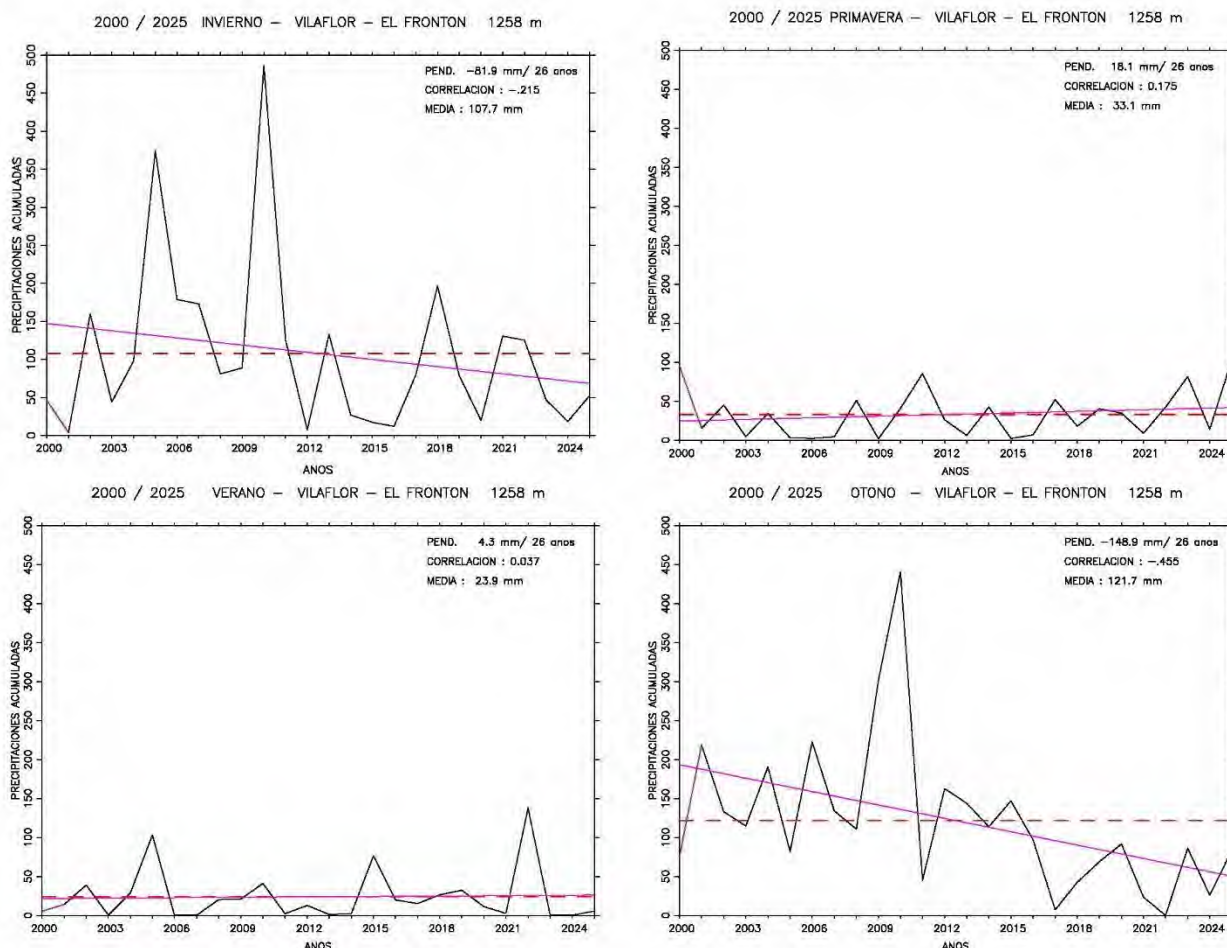


Tendencia de las precipitaciones anuales acumuladas

El lugar de observación tiene gran interés agronómico o geográfico al ser un lugar de menor cuantía pluviométrica de Tenerife.

Evolución del volumen anual de precipitación acumulada. A escala anual existe una *tendencia negativa*, destacado descenso pluviométrico, descenso aproximado de 9 mm / año.

Parámetros estadísticos de la serie temporal: media 286.4 mm, coeficiente variación 63.1 %, intervalo de confianza 48.9 mm y 524 mm, coeficiente de correlación -0.339, pendiente -208.4 mm / 26 años



Tendencias de las precipitaciones estacionales acumuladas

A escala estacional existen diferentes tendencias pluviométricas. En invierno y otoño las *tendencias son destacadas y notables*, descensos pluviométricos destacados; sin embargo, en primavera y verano las *tendencias son leve y casi nula*, ascenso exiguo pluviométrico.

Parámetros estadísticos de la serie temporal en 26 años son los siguientes: *invierno* tiene media aritmética 107.7 mm, coeficiente variación 104 %, coeficiente de correlación -0.215 y tendencia -3.15 mm/año: *primavera* tiene media 33.1 mm, coeficiente variación 92.3 % coeficiente de correlación 0.175 y tendencia 0.7 mm/año: *verano* tiene media 23.9 mm, coeficiente variación 141.5 %, coeficiente de correlación 0.037 y tendencia 0.02 mm/año: *otoño* tiene media 121.7 mm, coeficiente variación 79.4 % coeficiente de correlación -0.459 y tendencia -5.73 mm/año.

- *-Colofón*

Es necesario optimizar los recursos facilitados por las estaciones meteorológicas. Ingente cantidad de observaciones necesitan métodos estadísticos para su interpretación. Medidas de centralización y dispersión de las precipitaciones mensuales acumuladas en lapsos estacionales y anuales. Analizamos más de una decena de observatorios automáticos instalados a comienzo de siglo.

Presentamos valores medios, coeficiente de variación de conjuntos de precipitaciones estacionales y anuales acumuladas y recta de regresión o tendencias de las precipitaciones anuales acumuladas en un periodo común de 25 años. Agrupamos las estaciones meteorológicas en zonas costeras (cotas inferiores a 250 m), medianías (cotas comprendidas entre 250 m y 1000 m) y montaña (cotas superiores a 1000 m). La *recta de regresión* es una herramienta sencilla y poderosa para resumir la relación entre dos variables mediante una línea que representa la *tendencia* promedio. La tabla de valores es la siguiente:

Costa	INV mm	CV %	PRI mm	VER mm	OTO mm	CV %	ANUAL mm	CV %	TENDENCIA
Buenavista Norte	86.3	53.0	20.8	7.4	103.3	57.5	208.0	35.9	notable descenso
Guancha Charco Vto	94.7	48.5	28.2	11.5	117.2	58.6	251.6	32.9	notable descenso
Orotava El Rincón	148.9	46.9	50.0	11.9	164.0	43.9	374.6	30.3	destacado descenso
La Laguna Tejina	92.8	41.3	31.6	16.8	109.0	54.8	250.2	28.8	notable descenso
Santa Cruz Tfe	86.3	69.7	13.7	11.7	89.8	61.1	201.5	38.8	destacado descenso
Arico Llanos SJ	53.5	107.8	14.4	11.8	73.6	72.8	153.4	55.4	notable descenso
Aeropuerto Sur	43.0	131.1	11.4	8.9	53.1	81.9	116.5	76.5	notable descenso
Arona Galletas	44.6	103.4	11.8	10.1	69.2	71.9	131.7	69.3	notable descenso
Medianías									
Sauzal - Ravelo	281.8	38.6	120.6	48.7	281.3	47.4	732.5	30.4	leve ascenso
La Laguna Rodeos	179.9	50.3	60.1	28.6	189.2	49.1	457.7	28.4	destacado descenso
Arico - El Bueno	95.1	72.8	44.3	25.8	107.8	63.4	273.1	45.5	leve descenso
Vilaflor Frontón	110.2	103.1	30.7	24.6	123.6	79.1	289.0	63.6	notable descenso
Guía de Isora	62.4	81.0	13.7	9.9	68.8	73.4	154.8	61.0	notable descenso
Alta Montaña									
Orotava - Izaña	108.3	94.7	18.1	17.8	114.8	56.7	258.9	50.3	destacado descenso

Interpretación

- Las precipitaciones acumuladas en las vertientes orientadas al menos con una dirección norte, vertientes norte, tienen mayores cuantías que las precipitaciones acumuladas en las vertientes sur y oeste.
- En la costa, las precipitaciones acumuladas en invierno y otoño son escasas, mientras en primavera y verano son exiguas. las precipitaciones acumuladas en invierno y otoño son escasas, mientras en primavera y verano son exiguas.
- En medianías y montaña, las precipitaciones acumuladas en invierno y otoño son copiosas, mientras en primavera y verano son escasas.
- En la costa de las vertientes norte la tendencia de las precipitaciones anuales acumuladas son negativas destacadas leves.
- En la medianía alta de la vertiente norte, la tendencia de las precipitaciones anuales acumuladas es *positiva leve*. Mientras en el resto del territorio, las tendencias de las precipitaciones anuales acumuladas son *negativas destacadas o notables*.

También, analizamos las observaciones pluviométricas recogidas en los últimos ciento tres años, periodo más largo de las series temporales de Tenerife. Presentamos estudios estadísticos de las precipitaciones por medio de gráficas que muestran su evolución en el siglo XX y presente siglo. Las

observaciones son las lecturas diarias en pluviómetros Hellmann y en estaciones meteorológicas automáticas desde comienzo de siglo. Agrocabildo y AEMET son los organismos oficiales encargados de las observaciones. La red de estaciones cubre ampliamente todos los lugares de la compleja orografía, así podemos recopilar información detallada y precisa que muestra la amplia diversidad climática insular.

Los estudios hidrológicos tradicionales no han considerado otros tipos de precipitaciones no evaluadas en los pluviómetros convencionales, nos referimos a las *precipitaciones de neblinas, niebla y rocío*. En la década de los ochenta la extinta ICONA por medio de captanieblas construidos en su taller, estimó el potencial pluviométrico de la precipitación de niebla en zona de crestería de montaña expuesta a los vientos húmedos atlánticos. También debemos considerar la importancia hidrológica de la precipitación rocío en el periodo nocturno en aquellos lugares resguardado del viento, temperatura templada o fría y elevada humedad ambiental, humedad superior al 85 %. La nueva tecnología de la estación automática ofrece suficiente apoyo para emprender estudios hidrológicos sobre la evaluación de estas precipitaciones mal llamadas *precipitaciones ocultas*, tarea pendiente que se debe desarrollar.

Las series pluviométricas temporales analizadas muestran claramente la *no existencia de alternancia de periodos lluviosos con periodos poco lluviosos bien definidos*. La presencia de irrupciones de aire frío marítimo, depresiones extratropicales, depresiones en altura o depresiones tropicales son esporádicas en los archipiélagos de la Macaronesia. Las deseadas precipitaciones no llegan a Canarias, y cuando suceden, se hacen sentir sus efectos entre los meses de octubre a marzo. No podemos asegurar el advenimiento de precipitaciones intensas en meses concretos. Las series pluviométricas presentan *picos, precipitaciones abundantes* caídas en la isla de manera irregular o caprichosa. Las cuantías de los parámetros estadísticos de dispersión obtenidos en los estudios de las series temporales confirman estas hipótesis.

La *serie temporal anual completa*, relacionan todas las precipitaciones diarias acumuladas en cada año durante un lapso de varios años. En general, las tendencias son apreciables, leves o destacadas *negativas*, descenso de la pluviosidad, excepto en la estrecha franja longitudinal muy húmeda, bajo o en contacto con la habitual capa de estratocúmulos entre las vertientes noroeste a noreste.

En las series temporales calculamos las precipitaciones anuales acumuladas medias en lustros. En general los lustros 1951 a 1955, 1956 a 1960, 1976 a 1980, 1986 a 1990 han sido lluviosos y los lustros 1992 a 1996, 1997 a 2001, 2002 a 2006 y 2017 a 2021 han sido poco lluviosos. También el lustro 1996 a 2000 en la vertiente sureste a oeste y zona de montaña alta ha sido poco lluvioso. Los años 1926, 1951, 1952, 1954, 1968, 1969, 1978, 1979, 1989, 2002, 2006, 2010, 2014 y 2022 han sido muy lluviosos, por el contrario, 1929, 1934, 1935, 1943, 1944, 1946, 1966, 1994, 1995, 1998, 2000, 2001, 2008, 2017, 2020 y 2024 han sido poco lluviosos. Las precipitaciones asociadas a las borrascas atlánticas y depresiones en altura de la década de los cincuenta son mencionadas por el meteorólogo Inocencio Font Tullot, precipitaciones intensas sobre las vertientes este a suroeste de la isla. Además, las precipitaciones asociadas a largos periodos de bloqueo anticiclónicos son las razones de precipitaciones escasas.

Las series temporales a partir 1970, nueva época con mayor cantidad de estaciones pluviométricas. En general, el periodo 1983 a 1988, llamado *década de los ochenta corresponde a una década lluviosa*, por el contrario, la *década de los noventa corresponde a la década menos lluviosa*.

- *Estas afirmaciones son conjeturas realizadas en la serie temporal de Izaña.*

Medidas de centralización y dispersión de las precipitaciones mensuales acumuladas en lapsos estacionales y anuales a partir de 2021. Presentamos valores medios, coeficiente de variación de conjuntos de precipitaciones estacionales y anuales acumuladas y recta de regresión o tendencias de las precipitaciones anuales acumuladas en un periodo común de 25 años. Agrupamos las estaciones

meteorológicas en zonas costeras (cotas inferiores a 250 m), medianías (cotas comprendidas entre 250 m y 1000 m) y montaña (cotas superiores a 1000 m).

PRECIPITACIONES ANUALES Y ESTACIONALES ACUMULADAS MEDIAS DESDE 2005 A 2025, 2010 A 2025 Y 2015 A 2025. TENDENCIAS PLUVIOMÉTRICAS

El análisis de las precipitaciones anuales acumuladas se realiza a partir de las series temporales de precipitaciones decaminutales recogidas en estaciones meteorológicas sin ausencias de observaciones cada año en un periodo común. Un análisis novedoso donde el autor por primera vez computa todas las precipitaciones conjunto de observatorios insular; además de agrupar las estaciones según tenga orientación norte y sur.

Tendencia de la serie temporal aleatoria de precipitaciones anuales acumuladas en el periodo 2005 a 2025, 2010 a 2025 y 2015 a 2025.

Estaciones meteorológicas independiente de su orientación. Periodo 2005 a 2025

Tratamos información de series pluviométricas anuales y estacionales acumuladas en un mismo intervalo de observaciones, 41 estaciones meteorológicas.

ALTITUD	PERIODO	ESTACIÓN AUTOMÁTICA
90 m	2005 a 2025	LAGUNA - TEJINA
400 m	2005 a 2025	TEGUESTE - LA PADILLA
550 m	2005 a 2025	SANTA ÚRSULA - LA CORUJERA
632 m	2005 a 2025	LA LAGUNA - AEROPUERTO DE LOS RODEOS
650 m	2005 a 2025	MATANZA - CRUZ DEL CAMINO
695 m	2005 a 2025	TACORONTE - AGUA GARCÍA
922 m	2005 a 2025	EL SAUZAL - RAVELO
25 m	2005 a 2025	PUERTO DE LA CRUZ
216 m	2005 a 2025	LA OROTAVA - EL RINCÓN
380 m	2005 a 2025	LA OROTAVA - LA PERDOMA EL RATIÑO
550 m	2005 a 2025	LA OROTAVA - LA PERDOMA LA SUERTE
595 m	2005 a 2025	LOS REALEJOS - PALO BLANCO
770 m	2005 a 2025	LOS REALEJOS - ICOD EL ALTO
906 m	2005 a 2025	LA OROTAVA - BENIJOS
2369 m	2005 a 2025	LA OROTAVA - IZAÑA
60 m	2005 a 2025	LA GUANCHA - CHARCO DEL VIENTO
66 m	2005 a 2025	BUENAVISTA DEL NORTE
475 m	2005 a 2025	ICOD DE LOS VINOS - SANTA BÁRBARA
450 m	2005 a 2025	LOS SILOS - TIERRA del TRIGO
525 m	2005 a 2025	ICOD DE LOS VINOS - REDONDO
555 m	2005 a 2025	BUENAVISTA DEL NORTE - EL PALMAR
880 m	2005 a 2025	EL TANQUE - RUIGÓMEZ
73 m	2005 a 2025	ARONA - LAS GALLETAS
476 m	2005 a 2025	GUÍA DE ISORA
700 m	2005 a 2025	GUÍA DE ISORA - EL POZO
735 m	2005 a 2025	GUÍA DE ISORA - CHÍO
990 m	2005 a 2025	SANTIAGO DEL TEIDE - VALLE ARRIBA
1258 m	2005 a 2025	VILAFLORES - EL FRONTÓN
2150 m	2005 a 2025	LA OROTAVA - CAÑADAS - PARADOR
64 m	2005 a 2025	GRANADILLA - AEROPUERTO DEL SUR
135 m	2005 a 2025	ARICO - LLANOS de SAN JUAN
410 m	2005 a 2025	ARICO - TEGUEDITE - EL VISO
500 m	2005 a 2025	GÜIMAR - LOMO MENA
505 m	2005 a 2025	GRANADILLA - CHARCO DEL PINO
850 m	2005 a 2025	GRANADILLA - EL PINALETE
930 m	2005 a 2025	ARICO - EL BUENO
156 m	2005 a 2025	GÜIMAR - LA PLANTA
290 m	2005 a 2025	GÜIMAR - TOPO NEGRO
340 m	2005 a 2025	GÜIMAR - BARRANCO DE BADAJOZ
700 m	2005 a 2025	ARAFO -AÑAVINGO
36 m	2005 a 2025	SANTA CRUZ DE TENERIFE

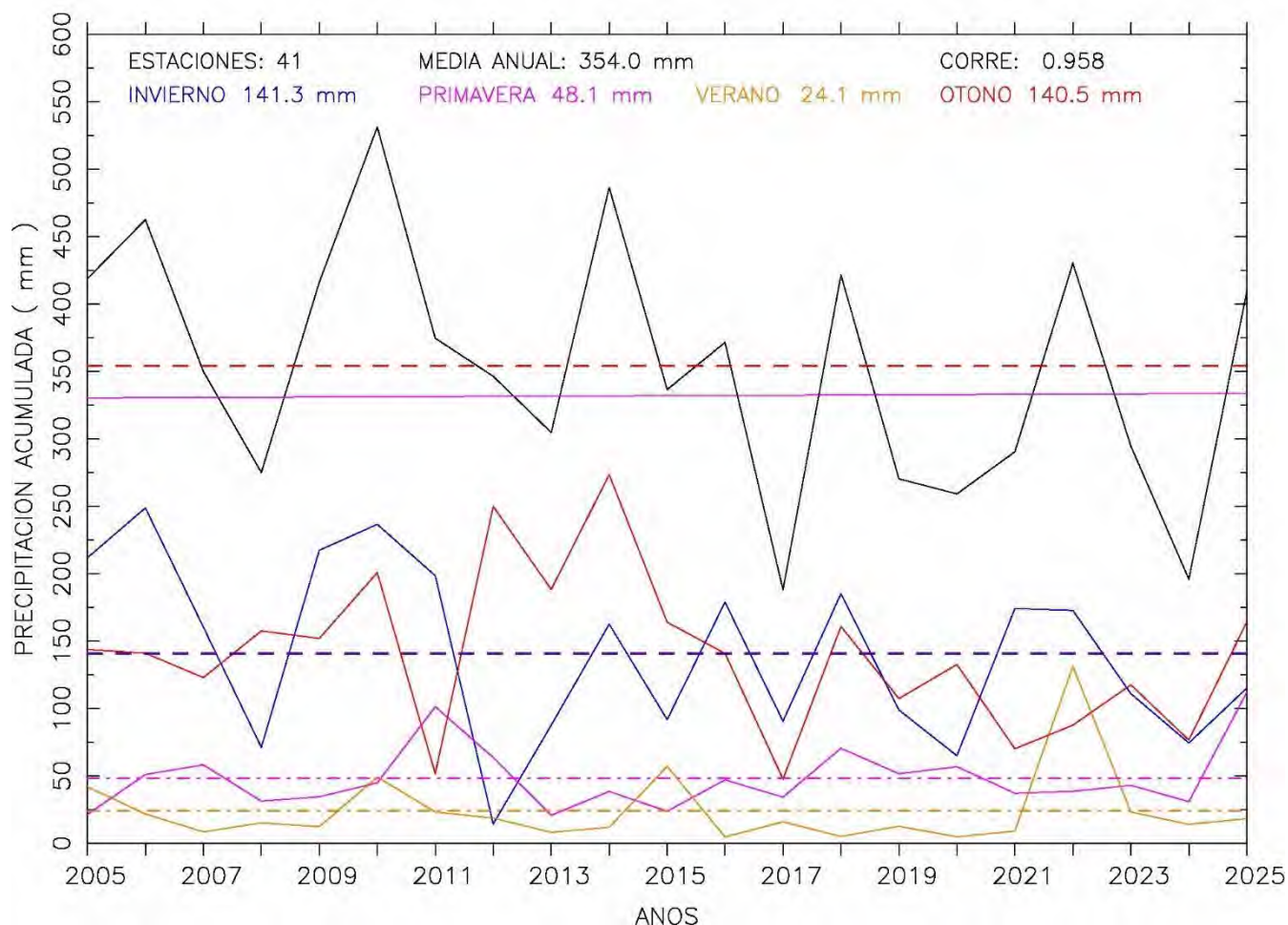
PRECIPITACIONES ESTACIONALES Y ANUALES MEDIAS EN EL PERIODO 2005 - 2025

ORDEN	AÑO	INVIERNO	PRIMAVERA	VERANO	OTOÑO	ANUAL
1	2005	217.5	21.2	44.0	149.6	432.4
2	2006	252.1	53.6	19.8	139.2	464.7
3	2007	160.4	58.2	8.5	122.9	350.0
4	2008	71.2	31.3	15.1	157.5	275.1
5	2009	217.3	34.6	12.3	152.0	416.2
6	2010	236.6	44.8	49.2	200.8	531.3
7	2011	198.5	101.3	23.2	51.7	374.6
8	2012	14.3	63.6	18.7	249.8	346.4
9	2013	87.6	20.6	8.1	188.3	304.7
10	2014	162.6	38.5	11.9	273.6	486.4
11	2015	91.7	23.8	57.1	163.9	336.6
12	2016	178.9	47.0	4.7	140.9	371.5
13	2017	90.5	34.2	15.9	47.6	188.1
14	2018	185.2	70.5	5.1	160.8	421.6
15	2019	98.8	51.6	12.6	107.3	270.3
16	2020	64.9	56.8	4.8	132.7	259.2
17	2021	174.2	37.2	9.0	70.1	290.4
18	2022	172.8	38.6	131.1	87.6	430.1
19	2023	111.0	43.0	23.2	117.5	294.7
20	2024	74.4	30.9	14.1	76.5	195.9
21	2025	115.1	111.9	18.2	164.1	409.4
		141.7	48.2	24.1	140.7	354.7
COEF VAR		46.0 %	49.1 %	117.9 %	41.4 %	26.0 %

Precipitaciones invernales, primaverales, estivales, otoñales y anuales acumuladas medias y sus coeficientes de variación son las siguientes: 141.3 mm 46 %, 48.1 mm 49.1 %, 24.1 mm 117.9 %, 140.5 mm 41.4 % y 354 mm 26 %. Las precipitaciones medias no adquieren valores notables, más bien corresponden a precipitaciones destacables, lejos de considerarse copiosas. El coeficiente de variación que acompaña a valores medios es un factor que orienta en la eventualidad de las precipitaciones en un periodo de tiempo, estimaciones bajas corresponden a precipitaciones con mayor cuantía y frecuentes; estimaciones más altas corresponden a precipitaciones con menor cuantía y frecuencia. El elevado valor del coeficiente en el periodo estival muestra la dispersión, esporádicas, más inhabituales las precipitaciones.

Las precipitaciones invernales son similares a las otoñales. Las precipitaciones primaverales son destacadas y las estivales apreciables. El invierno y otoño 2010 han sido estaciones muy lluviosas, tras el desplazamiento de una borrasca atlántica el 1 y 2 de febrero e irrupción de un frente nuboso muy activo el 28, 29 y 30 de noviembre. La precipitación estival 2022 corresponde a una situación meteorológica concreta debido al desplazamiento de la tormenta tropical Hermine por el archipiélago canario, un suceso excepcional en el lapso de veinte y un años. Además, son notables las precipitaciones acaecidas en 2014, tras el desplazamiento de una borrasca atlántica entre el 22 a 24 de noviembre e irrupciones de frentes nubosos activos el 18 y 19 de octubre; también son notables las precipitaciones acaecidas en 2006, tras la irrupción de un frente nuboso activo el 8 de febrero de 2006.

PRECIPITACIONES ANUALES MEDIAS ACUMULADAS EN TENERIFE 2005 A 2025

*Precipitaciones anuales y estacionales acumuladas en el conjunto de estaciones automáticas*

Presentamos el comportamiento de las precipitaciones anuales medias acumuladas en el *conjunto global de pluviómetros automáticos* de la red insular. Este procedimiento ha sido sugerido por Jorge Mongil Manso. Ahora, el orden de los valores obtenidos son esclarecedores de las precipitaciones que habitualmente presentamos en los estudios climáticos. La misma visión acertada de la tendencia pluviométrica creciente y una moderada dispersión de las precipitaciones. Se observa años concretos donde sobresalen destacadamente los volúmenes de precipitaciones anuales en relación a su valor normal, 2010 y 2014 años lluviosos, y 2017 y 2024 años secos. No podemos afirmar una secuencia de periodos lluviosos y poco lluviosos en un lapso de veintiuno años, ya que las desviaciones anuales carecen de agrupamientos alternativos notables.

En primer presentamos el comportamiento de las precipitaciones anuales acumuladas en el *conjunto global de observatorios*. Este procedimiento es engorroso, donde el orden de los valores obtenidos no son esclarecedores de las precipitaciones que habitualmente presentamos en los estudios climáticos. Un procedimiento más acertado es agrupar las estaciones meteorológicas en dos conjuntos según la orientación de su emplazamiento.

Una primera visión acertada de la tendencia y dispersión de las precipitaciones anuales acumuladas. El conjunto de precipitaciones presenta los siguientes parámetros estadísticos: media 354 mm, coeficiente variación 26.4 %, correlación 0.958, pendiente 0.16 mm / 21 años

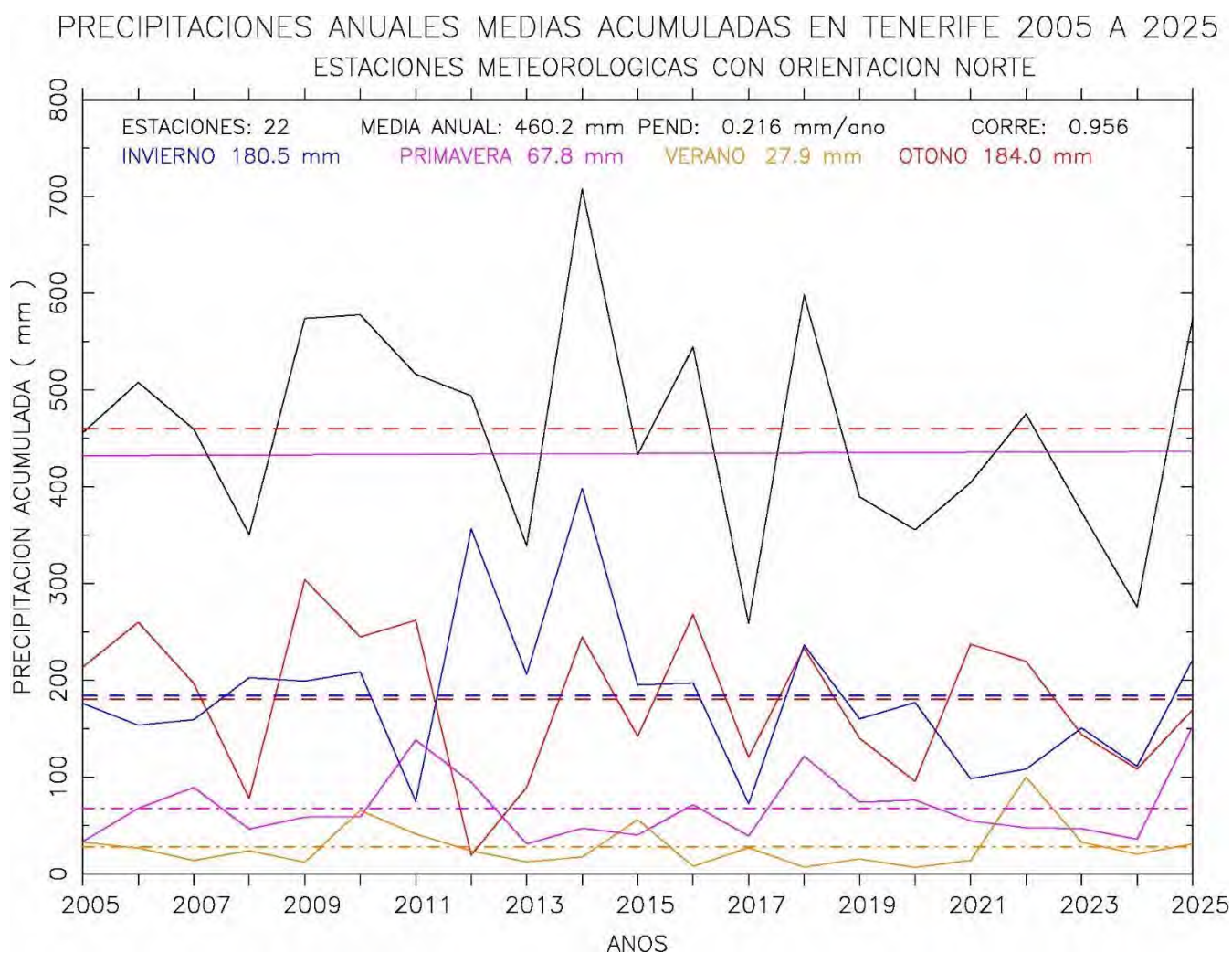
La tendencia pluviométrica anual en un poco más de dos décadas es apenas creciente con una dispersión moderada.

En segundo lugar, mostramos el comportamiento de las *precipitaciones estacionales acumuladas en el conjunto global de observatorios*. Las precipitaciones estacionales medias acumuladas son las siguientes: invierno 141.3 mm, primavera 41.1 mm, verano 24.1 mm y otoño 140.5 mm.

En invierno y otoño las precipitaciones medias acumuladas son similares. En primavera la precipitación acumulada media es doble que en verano y un 29 % de la cuantía invernal u otoñal.

- *Estaciones meteorológicas orientadas al menos con una dirección septentrional. Periodo 2005 a 2025*

Tratamos información, series de precipitaciones anuales y estacionales acumuladas en un mismo intervalo de observaciones, 22 estaciones meteorológicas



Precipitaciones anuales y estacionales acumuladas en el conjunto de estaciones orientadas hacia el norte

Presentamos el comportamiento de las precipitaciones anuales medias acumuladas en el *conjunto de pluviómetros automáticos* cuyo emplazamiento tiene al menos una dirección septentrional. Una visión acertada de la tendencia pluviométrica creciente. Se observa años concretos donde sobresalen destacadamente los volúmenes de precipitaciones anuales en relación a su valor normal. No podemos afirmar una secuencia de periodos lluviosos y poco lluviosos en un lapso de veintiuno años, ya que las desviaciones anuales carecen de agrupamientos alternativos notables.

El conjunto de precipitaciones presenta los siguientes parámetros estadísticos: media 460.2 mm, correlación 0.956, pendiente 0.216 mm / 21 años. Además, las precipitaciones anuales septentrionales son superiores 131 % al conjunto global insular

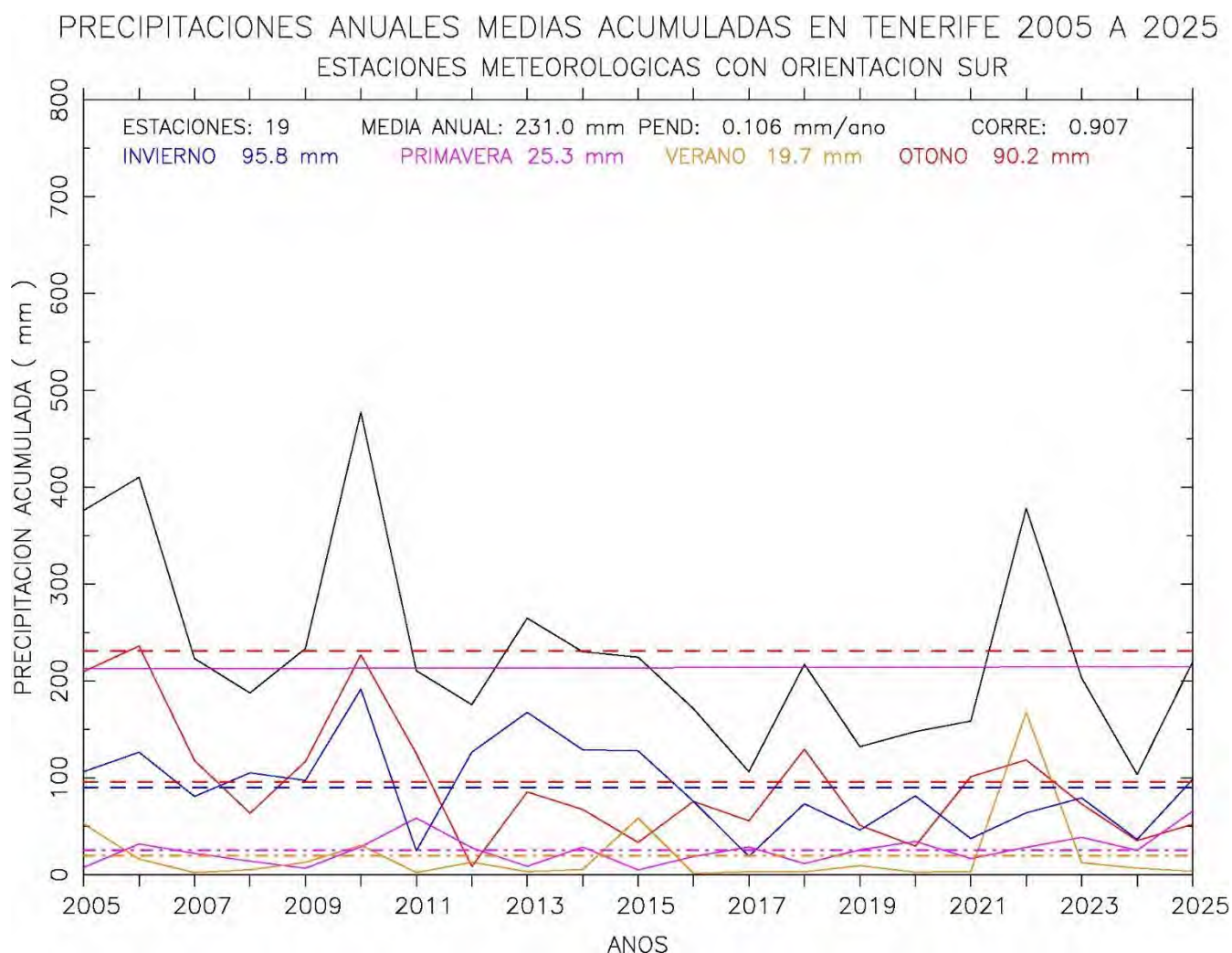
La tendencia pluviométrica anual en un poco más de dos décadas es exigua, apenas creciente

El comportamiento de las precipitaciones estacionales acumuladas en el conjunto global de observatorios son las siguientes: invierno 180.5 mm, primavera 67.8 mm, verano 27.9 mm y otoño 184 mm.

En invierno y otoño las precipitaciones medias acumuladas son similares. En primavera la precipitación acumulada media es más del doble que en verano y el 37 % de la cuantía invernal u otoñal. Además, las precipitaciones invernales y otoñales septentrionales son 127.7 % y 128.8 % superiores a las precipitaciones invernales y otoñales en todo el territorio.

ALTITUD	PERIODO	ESTACIÓN AUTOMÁTICA
90 m	2005 a 2025	LAGUNA - TEJINA
400 m	2005 a 2025	TEGUESTE - LA PADILLA
550 m	2005 a 2025	SANTA ÚRSULA - LA CORUJERA
632 m	2005 a 2025	LA LAGUNA - AEROPUERTO DE LOS RODEOS
650 m	2005 a 2025	MATANZA - CRUZ DEL CAMINO
695 m	2005 a 2025	TACORONTE - AGUA GARCÍA
922 m	2005 a 2025	EL SAUZAL - RAVELO
25 m	2005 a 2025	PUERTO DE LA CRUZ
216 m	2005 a 2025	LA OROTAVA - EL RINCÓN
380 m	2005 a 2025	LA OROTAVA - LA PERDOMA EL RATIÑO
550 m	2005 a 2025	LA OROTAVA - LA PERDOMA LA SUERTE
595 m	2005 a 2025	LOS REALEJOS - PALO BLANCO
770 m	2005 a 2025	LOS REALEJOS - ICOD EL ALTO
906 m	2005 a 2025	LA OROTAVA - BENIJOS
2369 m	2005 a 2025	LA OROTAVA - IZAÑA
60 m	2005 a 2025	LA GUANCHA - CHARCO DEL VIENTO
66 m	2005 a 2025	BUENAVISTA DEL NORTE
475 m	2005 a 2025	ICOD DE LOS VINOS - SANTA BÁRBARA
450 m	2005 a 2025	LOS SILOS - TIERRA DEL TRIGO
525 m	2005 a 2025	ICOD DE LOS VINOS - REDONDO
555 m	2005 a 2025	BUENAVISTA DEL NORTE - ELPALMAR
880 m	2005 a 2025	EL TANQUE - RUIGÓMEZ

- *Estaciones meteorológicas orientadas al menos con una dirección meridional*



Precipitaciones anuales y estacionales acumuladas en el conjunto de estaciones orientadas hacia el sur

Presentamos el comportamiento de las precipitaciones anuales medias acumuladas en el *conjunto de pluviómetros automáticos* cuyo emplazamiento tiene al menos una dirección meridional. Una visión acertada de la tendencia pluviométrica creciente. Se observa años concretos donde sobresalen destacadamente los volúmenes de precipitaciones anuales en relación a su valor normal. No podemos afirmar una secuencia de periodos lluviosos y poco lluviosos en un lapso de veintiuno años, ya que las desviaciones anuales carecen de agrupamientos alternativos notables.

El conjunto de precipitaciones presenta los siguientes parámetros estadísticos: media 231 mm, correlación 0.9076, pendiente 0.106 mm / 21 años. Además, las precipitaciones anuales meridionales son inferiores 65.5 % al conjunto global insular.

La tendencia pluviométrica anual en un poco más de dos décadas es exigua, apenas creciente

El comportamiento de las precipitaciones estacionales acumuladas en el conjunto global de observatorios son las siguientes: invierno 95.8 mm, primavera 25.3 mm, verano 19.2 mm y otoño 90.2 mm.

En invierno la precipitación acumulada media es ligeramente superior a la precipitación media otoñal. En primavera la precipitación acumulada media es moderadamente superior a la precipitación estival y el 26 % de la cuantía invernal. Además, las precipitaciones invernales y otoñales meridionales son 67.8 % y 64.2 % inferiores a las precipitaciones invernales y otoñales en todo el territorio.

Tratamos información, series de precipitaciones anuales y estacionales acumuladas en un mismo intervalo de observaciones, 19 estaciones meteorológicas

73 m	2005 a 2025	ARONA - LAS GALLETAS
476 m	2005 a 2025	GUÍA DE ISORA
700 m	2005 a 2025	GUÍA DE ISORA - EL POZO
735 m	2005 a 2025	GUÍA DE ISORA - CHÍO
990 m	2005 a 2025	SANTIAGO DEL TEIDE - VALLE ARRIBA
1258 m	2005 a 2025	VILAFLOL - EL FRONTÓN
2150 m	2005 a 2025	LA OROTAVA - CAÑADAS - PARADOR
64 m	2005 a 2025	GRANADILLA - AEROPUERTO DEL SUR
135 m	2005 a 2025	ARICO - LLANOS de SAN JUAN
410 m	2005 a 2025	ARICO - TEGUEDITE - EL VISO
500 m	2005 a 2025	GÜIMAR - LOMO MENA
505 m	2005 a 2025	GRANADILLA - CHARCO DEL PINO
850 m	2005 a 2025	GRANADILLA - EL PINALETE
930 m	2005 a 2025	ARICO - EL BUENO
156 m	2005 a 2025	GÜIMAR - LA PLANTA
290 m	2005 a 2025	GÜIMAR - TOPO NEGRO
340 m	2005 a 2025	GÜIMAR - BARRANCO DE BADAJOZ
700 m	2005 a 2025	ARAFO -AÑAVINGO
36 m	2005 a 2025	SANTA CRUZ DE TENERIFE

- *Estaciones meteorológicas independiente de su orientación. Periodo 2010 a 2025*

Tratamos información de series pluviométricas anuales y estacionales acumuladas en un mismo intervalo de observaciones, 55 estaciones meteorológicas

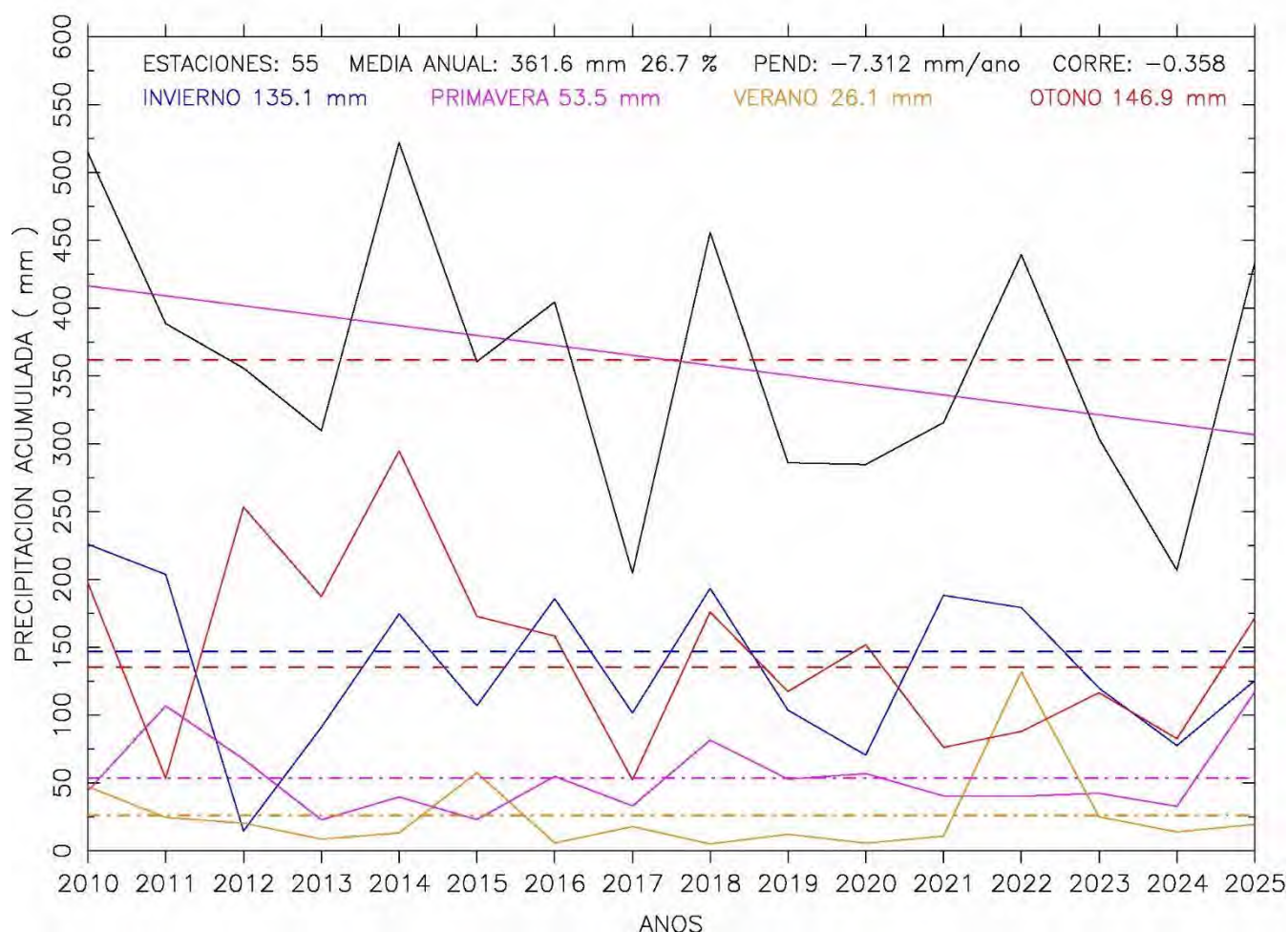
ALTITUD	PERIODO	ESTACIÓN AUTOMÁTICA
90 m	2010 a 2025	LAGUNA - TEJINA
205 m	2010 a 2025	SANTA ÚRSULA - EL MALPAÍS
375 m	2010 a 2025	TEGUESTE - ISORA
400 m	2010 a 2025	TEGUESTE - LA PADILLA
530 m	2010 a 2025	SANTA ÚRSULA - LAS TIERRAS
550 m	2010 a 2025	SANTA ÚRSULA - LA CORUJERA
567 m	2010 a 2025	LA VICTORIA - LOMO MARRERO
632 m	2010 a 2025	LA LAGUNA - AEROPUERTO DE LOS RODEO
650 m	2010 a 2025	MATANZA - CRUZ DEL CAMINO
695 m	2010 a 2025	TACORONTE - AGUA GARCÍA
868 m	2010 a 2025	LA LAGUNA - LAS MERCEDES LLANO LOS LOROS
922 m	2010 a 2025	EL SAUZAL - RAVELO
1745 m	2010 a 2025	LA VICTORIA - EL GAITERO
25 m	2010 a 2025	PUERTO DE LA CRUZ
216 m	2010 a 2025	LA OROTAVA - EL RINCÓN
380 m	2010 a 2025	LA OROTAVA - LA PERDOMA EL RATIÑO
550 m	2010 a 2025	LA OROTAVA - LA PERDOMA LA SUERTE
595 m	2010 a 2025	LOS REALEJOS - PALO BLANCO
770 m	2010 a 2025	LOS REALEJOS - ICOD EL ALTO
906 m	2010 a 2025	LA OROTAVA - BENIJOS
1065 m	2010 a 2025	LA OROTAVA - AGUAMANSA
2369 m	2010 a 2025	LA OROTAVA - IZAÑA
60 m	2010 a 2025	LA GUANCHA - CHARCO DEL VIENTO
66 m	2010 a 2025	BUENAVISTA DEL NORTE
475 m	2010 a 2025	ICOD DE LOS VINOS - SANTA BÁRBARA
450 m	2010 a 2025	LOS SILOS - TIERRA del TRIGO
525 m	2010 a 2025	ICOD DE LOS VINOS - REDONDO
555 m	2010 a 2025	BUENAVISTA DEL NORTE - EL PALMAR
880 m	2010 a 2025	EL TANQUE - RUIGÓMEZ
73 m	2010 a 2025	ARONA - LAS GALLETAS
476 m	2010 a 2025	GUÍA DE ISORA
700 m	2010 a 2025	GUÍA DE ISORA - EL POZO
735 m	2010 a 2025	GUÍA DE ISORA - CHÍO
990 m	2010 a 2025	SANTIAGO DEL TEIDE - VALLE ARRIBA
1258 m	2010 a 2025	VILAFLORES - EL FRONTÓN
1950 m	2010 a 2025	GUÍA DE ISORA - CHAVAO
2150 m	2010 a 2025	LA OROTAVA - CAÑADAS - PARADOR
64 m	2010 a 2025	GRANADILLA - AEROPUERTO DEL SUR
135 m	2010 a 2025	ARICO - LLANOS de SAN JUAN
381 m	2010 a 2025	ARICO - ICOR
410 m	2010 a 2025	ARICO - TEGUEDITE - EL VISO
418 m	2010 a 2025	ARICO - LA DEGOLLADA
500 m	2010 a 2025	GÚIMAR - LOMO MENA
505 m	2010 a 2025	GRANADILLA - CHARCO DEL PINO
850 m	2010 a 2025	GRANADILLA - EL PINALETE
930 m	2010 a 2025	ARICO - EL BUENO
1630 m	2010 a 2025	ARICO - LOS PICACHOS
156 m	2010 a 2025	GÚIMAR - LA PLANTA
290 m	2010 a 2025	GÚIMAR - TOPO NEGRO
340 m	2010 a 2025	GÚIMAR - BARRANCO DE BADAJOZ
463 m	2010 a 2025	CANDELARIA - LAS CUEVECITAS
700 m	2010 a 2025	ARAFO - AÑAVINGO
19 m	2010 a 2025	SANTA CRUZ DE TENERIFE - SAN ANDRÉS
36 m	2010 a 2025	SANTA CRUZ DE TENERIFE
655 m	2010 a 2025	EL ROSARIO - LOS BALDÍOS

PRECIPITACIONES ESTACIONALES Y ANUALES MEDIAS EN EL PERIODO 2010 - 2025

ORDEN	AÑO	INVIERNO	PRIMAVERA	VERANO	OTOÑO	ANUAL
1	2010	225.9	44.1	47.2	197.4	514.5
2	2011	203.7	106.9	24.5	53.5	388.6
3	2012	14.6	67.5	20.4	253.3	355.8
4	2013	91.0	22.8	8.5	187.5	309.8
5	2014	174.6	39.6	13.1	294.7	522.0
6	2015	107.0	23.0	57.6	172.8	360.5
7	2016	185.8	54.8	5.6	158.3	404.5
8	2017	101.6	33.0	17.8	52.2	204.6
9	2018	193.4	81.6	5.0	176.0	455.8
10	2019	103.7	52.8	12.1	117.4	286.0
11	2020	70.5	56.9	5.5	151.9	284.8
12	2021	188.3	40.4	10.8	76.2	315.7
13	2022	179.3	40.2	131.8	88.0	439.3
14	2023	119.9	42.4	25.1	116.4	303.7
15	2024	77.5	32.7	13.9	82.6	206.8
16	2025	125.4	116.9	19.4	171.5	433.3
		135.1	53.5	26.1	146.9	361.6
COEF VAR		43.7 %	51.4 %	121.4 %	47.1 %	26.7 %

Precipitaciones invernales, primaverales, estivales, otoñales y anuales acumuladas medias y sus coeficientes de variación son las siguientes: 135.1 mm 43.7 %, 53.5 mm 51 %, 26.1 mm 121.4 %, 146.9 mm 47.1 % y 361.6 mm 26.7 %. Las precipitaciones medias no adquieren valores notables, más bien corresponden a precipitaciones destacables, lejos de considerarse copiosas. Las precipitaciones invernales son similares a las otoñales. Las precipitaciones primaverales son destacadas y las estivales apreciables. El invierno y otoño 2010 han sido estaciones muy lluviosas, tras el desplazamiento de una borrasca atlántica el 1 y 2 de febrero e irrupción de un frente nuboso muy activo el 28, 29 y 30 de noviembre. La precipitación estival 2022 corresponde a una situación meteorológica concreta debido al desplazamiento de la tormenta tropical Hermine por el archipiélago canario, un suceso excepcional en el lapso de veinte y un años. Además, son notables las precipitaciones acaecidas en 2014, tras el desplazamiento de una borrasca atlántica entre el 22 a 24 de noviembre e irrupciones de frentes nubosos activos el 18 y 19 de octubre; también son notables las precipitaciones acaecidas en 2006, tras la irrupción de un frente nuboso activo el 8 de febrero de 2006.

PRECIPITACIONES ANUALES MEDIAS ACUMULADAS EN TENERIFE 2010 A 2025

**Precipitaciones anuales y estacionales acumuladas en el conjunto de estaciones automáticas**

Presentamos el comportamiento de las precipitaciones anuales medias acumuladas en el *conjunto global* de estaciones meteorológicas en un nuevo periodo de observaciones. Tendencia pluviométrica destacadamente decreciente y una moderada dispersión de las precipitaciones. Se observa años concretos donde sobresalen destacadamente los volúmenes de precipitaciones anuales en relación a su valor normal, 2010 y 2014 años lluviosos, y 2017 y 2024 años secos. No podemos afirmar una secuencia de periodos lluviosos y poco lluviosos en un lapso de dieciséis años, ya que las desviaciones anuales carecen de agrupamientos alternativos notables.

En primer presentamos el comportamiento de las precipitaciones anuales acumuladas en el *conjunto global de observatorios*. Este procedimiento es engorroso, donde el orden de los valores obtenidos no son esclarecedores de las precipitaciones que habitualmente presentamos en los estudios climáticos. Un procedimiento más acertado es agrupar las estaciones meteorológicas en dos conjuntos según la orientación de su emplazamiento.

Una primera visión acertada de la tendencia y dispersión de las precipitaciones anuales acumuladas. El conjunto de precipitaciones presenta los siguientes parámetros estadísticos: media 361.6 mm, coeficiente variación 26.7 %, correlación -0.358, pendiente -7.3 mm / 16 años

La tendencia pluviométrica anual en dieciséis años es destacadamente decreciente con una dispersión moderada

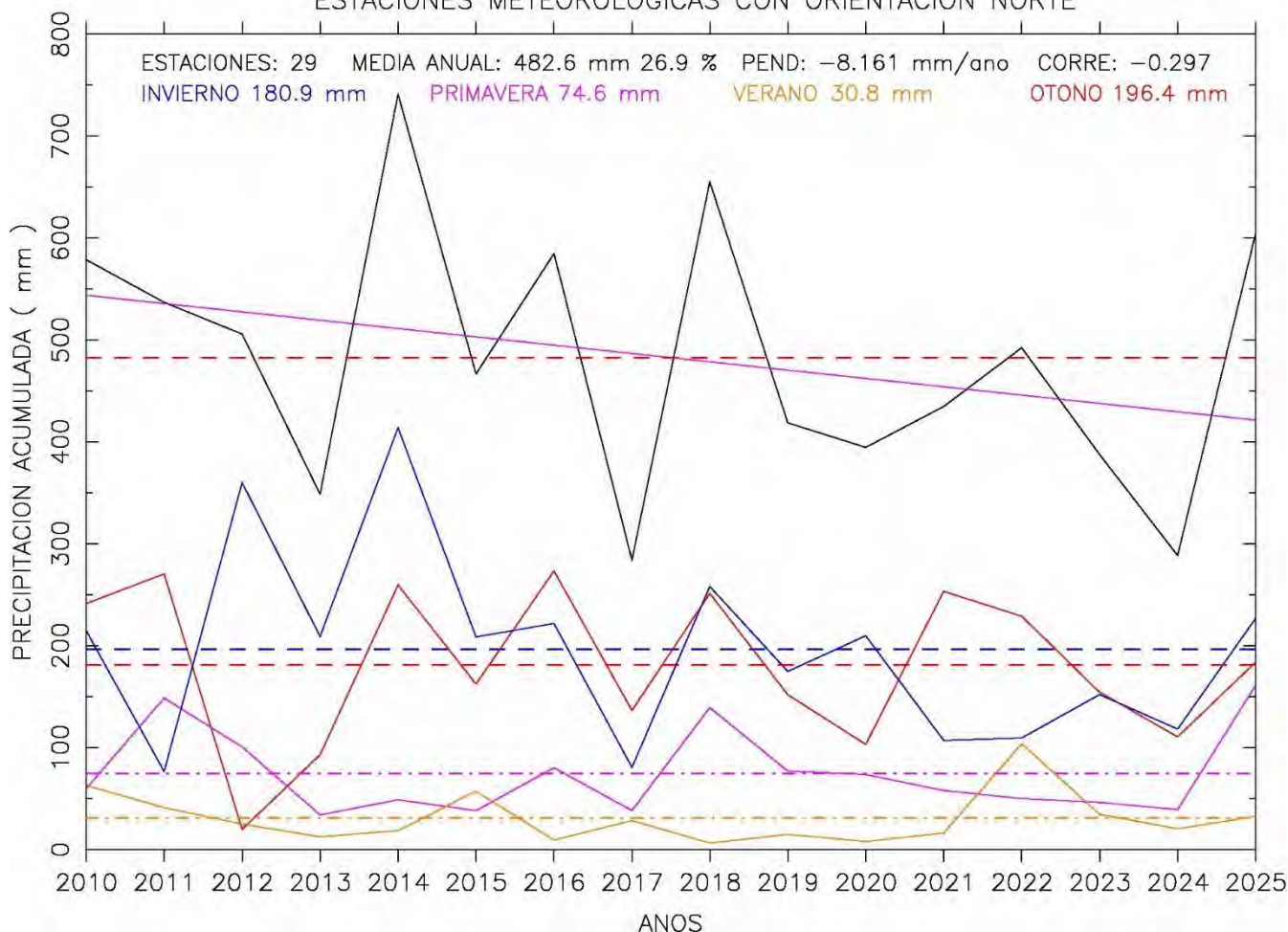
En segundo lugar, mostramos el comportamiento de las *precipitaciones estacionales acumuladas en el conjunto global de estaciones*. Las precipitaciones estacionales medias acumuladas son las siguientes: invierno 135.1 mm, primavera 53.5 mm, verano 26.1 mm y otoño 146.9 mm.

En invierno la precipitación acumulada media es ligeramente inferior a la otoñal. En primavera la precipitación acumulada media es doble que en verano y un 39.6 % o 36.4 % de la cuantía invernal u otoñal.

- *Estaciones meteorológicas orientadas al menos con una dirección septentrional. Periodo 2010 a 2025*

Tratamos información, series de precipitaciones anuales y estacionales acumuladas en un mismo intervalo de observaciones, 29 estaciones meteorológicas

PRECIPITACIONES ANUALES MEDIAS ACUMULADAS EN TENERIFE 2010 A 2025
ESTACIONES METEOROLOGICAS CON ORIENTACION NORTE



Precipitaciones anuales y estacionales acumuladas en el conjunto de estaciones orientadas hacia el norte

Presentamos el comportamiento de las precipitaciones anuales medias acumuladas en el *conjunto de estaciones meteorológicas* cuyo emplazamiento tiene al menos una dirección septentrional. Una visión acertada de la tendencia pluviométrica decreciente. Se observa años concretos donde sobresalen destacadamente los volúmenes de precipitaciones anuales en relación a su valor normal. No podemos afirmar una secuencia de periodos lluviosos y poco lluviosos en un lapso de dieciseis años, ya que las desviaciones anuales carecen de agrupamientos alternativos notables.

El conjunto de precipitaciones presenta los siguientes parámetros estadísticos: media 482.6 mm, variación 26.9 %, correlación -0.297, pendiente -8.2 mm / 16 años. Además, las precipitaciones anuales septentrionales son superiores 133.5 % al conjunto global insular

La tendencia pluviométrica anual en un poco más de década y media es destacadamente decreciente

El comportamiento de las precipitaciones estacionales acumuladas en el conjunto global de observatorios son las siguientes: invierno 180.9 mm, primavera 74.6 mm, verano 30.8 mm y otoño 196.4 mm.

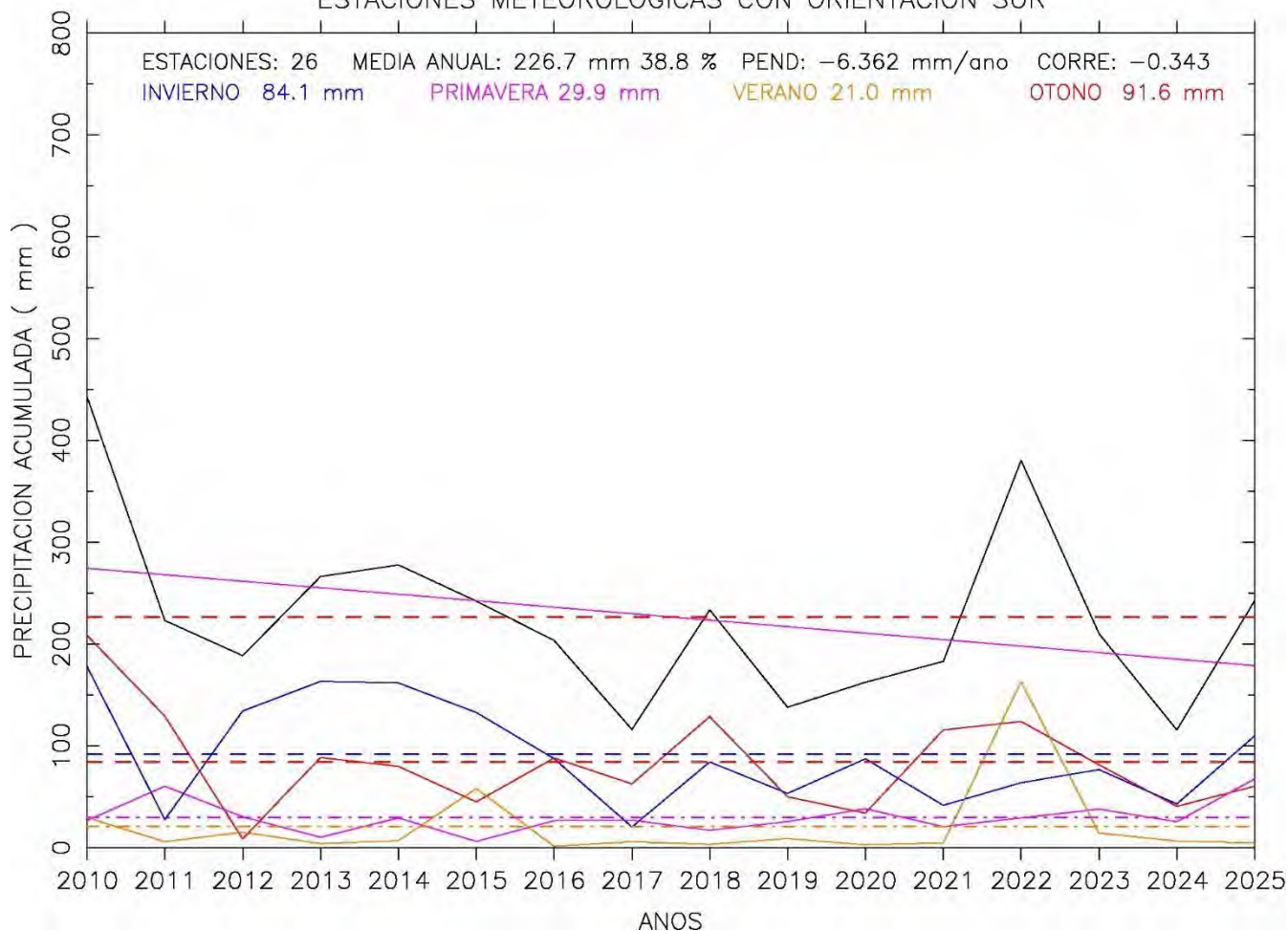
En invierno la precipitación acumulada media es ligeramente inferior a la precipitación media en otoño. En primavera la precipitación acumulada media es ligeramente el doble que en verano y el 41.2 % o 38 % de la cuantía invernal u otoñal. Además, las precipitaciones invernales y otoñales septentrionales son 134 % y 133.7 % superiores a las precipitaciones invernales y otoñales en todo el territorio.

ALTITUD	PERIODO	ESTACIÓN AUTOMÁTICA
90 m	2010 a 2025	LAGUNA - TEJINA
205 m	2010 a 2025	SANTA ÚRSULA - EL MALPAÍS
375 m	2010 a 2025	TEGUESTE - ISORA
400 m	2010 a 2025	TEGUESTE - LA PADILLA
530 m	2010 a 2025	SANTA ÚRSULA - LAS TIERRAS
550 m	2010 a 2025	SANTA ÚRSULA - LA CORUJERA
567 m	2010 a 2025	LA VICTORIA - LOMO MARRERO
632 m	2010 a 2025	LA LAGUNA - AEROPUERTO DE LOS RODEO
650 m	2010 a 2025	MATANZA - CRUZ DEL CAMINO
695 m	2010 a 2025	TACORONTE - AGUA GARCÍA
868 m	2010 a 2025	LA LAGUNA - LAS MERCEDES LLANO LOS LOROS
922 m	2010 a 2025	EL SAUZAL - RAVELO
1745 m	2010 a 2025	LA VICTORIA - EL GAITERO
25 m	2010 a 2025	PUERTO DE LA CRUZ
216 m	2010 a 2025	LA OROTAVA - EL RINCÓN
380 m	2010 a 2025	LA OROTAVA - LA PERDOMA EL RATIÑO
550 m	2010 a 2025	LA OROTAVA - LA PERDOMA LA SUERTE
595 m	2010 a 2025	LOS REALEJOS - PALO BLANCO
770 m	2010 a 2025	LOS REALEJOS - ICOD EL ALTO
906 m	2010 a 2025	LA OROTAVA - BENIJOS
1065 m	2010 a 2025	LA OROTAVA - AGUAMANSA
2369 m	2010 a 2025	LA OROTAVA - IZAÑA
60 m	2010 a 2025	LA GUANCHA - CHARCO DEL VIENTO
66 m	2010 a 2025	BUENAVISTA DEL NORTE
475 m	2010 a 2025	ICOD DE LOS VINOS - SANTA BÁRBARA
450 m	2010 a 2025	LOS SILOS - TIERRA del TRIGO
525 m	2010 a 2025	ICOD DE LOS VINOS - REDONDO
555 m	2010 a 2025	BUENAVISTA DEL NORTE - EL PALMAR
880 m	2010 a 2025	EL TANQUE - RUIGÓMEZ

- *Estaciones meteorológicas orientadas al menos con una dirección meridional. Periodo 2010 a 2025*

Tratamos información, series de precipitaciones anuales y estacionales acumuladas en un mismo intervalo de observaciones, 26 estaciones meteorológicas

PRECIPITACIONES ANUALES MEDIAS ACUMULADAS EN TENERIFE 2010 A 2025
ESTACIONES METEOROLOGICAS CON ORIENTACION SUR



Precipitaciones anuales y estacionales acumuladas en el conjunto de estaciones orientadas hacia el sur

Presentamos el comportamiento de las precipitaciones anuales medias acumuladas en el *conjunto de estaciones meteorológicas* cuyo emplazamiento tiene al menos una dirección meridional. Una visión acertada de la tendencia pluviométrica decreciente. Se observa años concretos donde sobresalen destacadamente los volúmenes de precipitaciones anuales en relación a su valor normal. No podemos afirmar una secuencia de periodos lluviosos y poco lluviosos en un lapso de dieciséis años, ya que las desviaciones anuales carecen de agrupamientos alternativos notables.

El conjunto de precipitaciones presenta los siguientes parámetros estadísticos: media 226.7 mm, variación 38.8 %, correlación -0.343, pendiente -6.4 mm / 16 años. Además, las precipitaciones anuales meridionales son inferiores 62.7 % al conjunto global insular

La tendencia pluviométrica anual en un poco más de década y media es destacadamente decreciente

El comportamiento de las precipitaciones estacionales acumuladas en el conjunto global de observatorios son las siguientes: invierno 84.1 mm, primavera 29.9 mm, verano 21 mm y otoño 91.6 mm.

En invierno la precipitación acumulada media es ligeramente inferior a la precipitación media en otoño. En primavera la precipitación acumulada media es ligeramente superior que en verano y el 41.2 % o 38 % de la cuantía invernal u otoñal. Además, las precipitaciones invernales y otoñales meridionales son 62 % inferiores a las precipitaciones invernales y otoñales en todo el territorio.

ALTITUD	PERIODO	ESTACIÓN AUTOMÁTICA
73 m	2010 a 2025	ARONA - LAS GALLETAS
476 m	2010 a 2025	GUÍA DE ISORA
700 m	2010 a 2025	GUÍA DE ISORA - EL POZO
735 m	2010 a 2025	GUÍA DE ISORA - CHÍO
990 m	2010 a 2025	SANTIAGO DEL TEIDE - VALLE ARRIBA
1258 m	2010 a 2025	VILAFLORES - EL FRONTÓN
1950 m	2010 a 2025	GUÍA DE ISORA - CHAVAO
2150 m	2010 a 2025	LA OROTAVA - CAÑADAS - PARADOR
64 m	2010 a 2025	GRANADILLA - AEROPUERTO DEL SUR
135 m	2010 a 2025	ARICO - LLANOS de SAN JUAN
381 m	2010 a 2025	ARICO - ICOR
410 m	2010 a 2025	ARICO - TEGUEDITE - EL VISO
418 m	2010 a 2025	ARICO - LA DEGOLLADA
500 m	2010 a 2025	GÜIMAR - LOMO MENA
505 m	2010 a 2025	GRANADILLA - CHARCO DEL PINO
850 m	2010 a 2025	GRANADILLA - EL PINALETE
930 m	2010 a 2025	ARICO - EL BUENO
1630 m	2010 a 2025	ARICO - LOS PICACHOS
156 m	2010 a 2025	GÜIMAR - LA PLANTA
290 m	2010 a 2025	GÜIMAR - TOPO NEGRO
340 m	2010 a 2025	GÜIMAR - BARRANCO DE BADAJOZ
463 m	2010 a 2025	CANDELARIA - LAS CUEVECITAS
700 m	2010 a 2025	ARAFO - AÑAVINGO
19 m	2010 a 2025	SANTA CRUZ DE TENERIFE - SAN ANDRÉS
36 m	2010 a 2025	SANTA CRUZ DE TENERIFE
655 m	2010 a 2025	EL ROSARIO - LOS BALDÍOS

- *Estaciones meteorológicas independiente de su orientación. Periodo 2015 a 2025*

Tratamos información de series pluviométricas anuales y estacionales acumuladas en un mismo intervalo de observaciones, 68 estaciones meteorológicas

ALTITUD	PERIODO	ESTACIÓN AUTOMÁTICA
90 m	2015 a 2025	LAGUNA - TEJINA
205 m	2015 a 2025	SANTA ÚRSULA - EL MALPAÍS
305 m	2015 a 2025	SANTA CRUZ DE TENERIFE - TAGANANA
310 m	2015 a 2025	TACORONTE - EXTENSION AGRARIA
375 m	2015 a 2025	TEGUESTE - ISORA
400 m	2015 a 2025	TEGUESTE - LA PADILLA
530 m	2015 a 2025	SANTA ÚRSULA - LAS TIERRAS
550 m	2015 a 2025	SANTA ÚRSULA - LA CORUJERA
564 m	2015 a 2025	LA LAGUNA -ESCUELA INGENIERIA AGRAR
567 m	2015 a 2025	LA VICTORIA - LOMO MARRERO
632 m	2015 a 2025	LA LAGUNA - AEROPUERTO DE LOS RODEOS
650 m	2015 a 2025	MATANZA - CRUZ DEL CAMINO
695 m	2015 a 2025	TACORONTE - AGUA GARCÍA
868 m	2015 a 2025	LA LAGUNA - LAS MERCEDES LLANO LOS LOROS
922 m	2015 a 2025	EL SAUZAL - RAVELO
1745 m	2015 a 2025	LA VICTORIA - EL GAITERO
25 m	2015 a 2025	PUERTO DE LA CRUZ
216 m	2015 a 2025	LA OROTAVA - EL RINCÓN
380 m	2015 a 2025	LA OROTAVA - LA PERDOMA EL RATIÑO
550 m	2015 a 2025	LA OROTAVA - LA PERDOMA LA SUERTE
595 m	2015 a 2025	LOS REALEJOS - PALO BLANCO
770 m	2015 a 2025	LOS REALEJOS - ICOD EL ALTO
906 m	2015 a 2025	LA OROTAVA - BENIJOS
1065 m	2015 a 2025	LA OROTAVA - AGUAMANSA
2369 m	2015 a 2025	LA OROTAVA - IZAÑA
53 m	2015 a 2025	LOS SILOS - AGROCABILDO

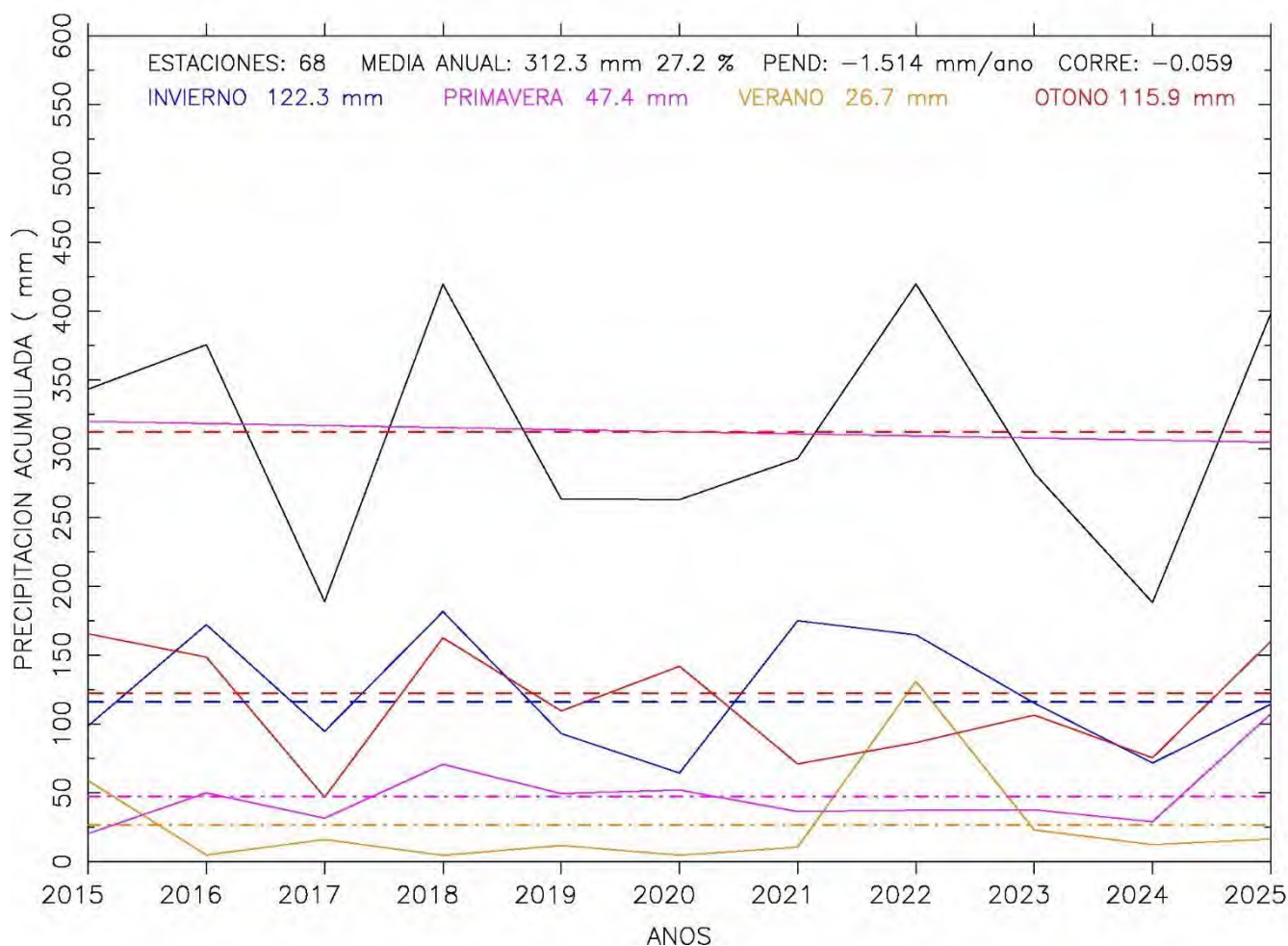
Precipitaciones en el periodo 2005-2025 en Tenerife. Tendencias pluviométricas en los últimos 21 años

60 m	2015 a 2025	LA GUANCHA - CHARCO DEL VIENTO
66 m	2015 a 2025	BUENAVISTA DEL NORTE
200 m	2015 a 2025	ICOD DE LOS VINOS - DRAGO
475 m	2015 a 2025	ICOD DE LOS VINOS - SANTA BÁRBARA
450 m	2015 a 2025	LOS SILOS - TIERRA del TRIGO
525 m	2015 a 2025	ICOD DE LOS VINOS - REDONDO
555 m	2015 a 2025	BUENAVISTA DEL NORTE - EL PALMAR
880 m	2015 a 2025	EL TANQUE - RUIGÓMEZ
30 m	2015 a 2025	GUÍA DE ISORA - ALCALÁ
73 m	2015 a 2025	ARONA - LAS GALLETAS
130 m	2015 a 2025	ADEJE - HOYA GRANDE
130 m	2015 a 2025	ADEJE - CALDERA
476 m	2015 a 2025	GUÍA DE ISORA
700 m	2015 a 2025	GUÍA DE ISORA - EL POZO
735 m	2015 a 2025	GUÍA DE ISORA - CHÍO
990 m	2015 a 2025	SANTIAGO DEL TEIDE - VALLE ARRIBA
1258 m	2015 a 2025	VILAFLOR - EL FRONTÓN
1833 m	2015 a 2025	VILAFLOR - LOS TOPOS
1950 m	2015 a 2025	GUÍA DE ISORA - CHAVAO
2150 m	2015 a 2025	LA OROTAVA - CAÑADAS - PARADOR
64 m	2015 a 2025	GRANADILLA - AEROPUERTO DEL SUR
135 m	2015 a 2025	ARICO - LLANOS de SAN JUAN
381 m	2015 a 2025	ARICO - ICOR
410 m	2015 a 2025	ARICO - TEGUEDITE - EL VISO
418 m	2015 a 2025	ARICO - LA DEGOLLADA
500 m	2015 a 2025	GÜIMAR - LOMO MENA
505 m	2015 a 2025	GRANADILLA - CHARCO DEL PINO
850 m	2015 a 2025	GRANADILLA - EL PINALETE
930 m	2015 a 2025	ARICO - EL BUENO
1630 m	2015 a 2025	ARICO - LOS PICACHOS
156 m	2015 a 2025	GÜIMAR - LA PLANTA
290 m	2015 a 2025	GÜIMAR - TOPO NEGRO
340 m	2015 a 2025	GÜIMAR - BARRANCO DE BADAJOZ
463 m	2015 a 2025	CANDELARIA - LAS CUEVECITAS
525 m	2015 a 2025	CANDELARIA - ARAYA
700 m	2015 a 2025	ARAFO - AÑAVINGO
19 m	2015 a 2025	SANTA CRUZ DE TENERIFE - SAN ANDRÉS
36 m	2015 a 2025	SANTA CRUZ DE TENERIFE
75 m	2015 a 2025	SANTA CRUZ TFE - IGUESTE DE SAN ANDRÉS
136 m	2015 a 2025	SANTA CRUZ TENERIFE - AGROCABILDO
655 m	2015 a 2025	EL ROSARIO - LOS BALDÍOS

ORDEN	ANO	INVIERNO	PRIMAVERA	VERANO	OTONO	ANUAL
1	2015	98.5	20.3	58.9	165.5	343.2
2	2016	172.2	50.0	4.8	148.6	375.5
3	2017	94.6	31.5	16.0	46.9	189.0
4	2018	181.7	70.7	4.6	162.6	419.5
5	2019	93.0	49.5	11.7	109.4	263.6
6	2020	64.4	52.0	4.7	142.0	263.0
7	2021	175.0	36.3	10.5	71.0	292.8
8	2022	164.8	37.3	131.1	86.5	419.7
9	2023	115.2	37.6	23.0	106.4	282.3
10	2024	71.7	29.0	12.3	75.4	188.4
11	2025	114.4	107.4	16.5	160.0	398.3
		122.3	47.4	26.7	115.9	312.3
COEF VAR		35.5 %	50.9 %	141.6 %	36.4 %	27.2 %

Precipitaciones invernales, primaverales, estivales, otoñales y anuales acumuladas medias y sus coeficientes de variación son las siguientes: 122.3 mm 35.5 %, 47.4 mm 50.9 %, 26.7 mm 141.6 %, 115.9 mm 36.4 % y 312.3 mm 27.2 %. Las precipitaciones medias no adquieren valores notables, más bien corresponden a precipitaciones destacables, lejos de considerarse copiosas. Las precipitaciones invernales son ligeramente superiores a las otoñales. Las precipitaciones primaverales son destacadas y las estivales apreciables. La precipitación estival 2022 corresponde a una situación meteorológica concreta debido al desplazamiento de la tormenta tropical Hermine por el archipiélago canario, un suceso excepcional en el lapso de once años. Además, son notables las precipitaciones acaecidas invierno y otoño en 2018 y 2025, quinto y octavo años más lluviosos.

PRECIPITACIONES ANUALES MEDIAS ACUMULADAS EN TENERIFE 2015 A 2025



Precipitaciones anuales y estacionales acumuladas en el conjunto de estaciones automáticas

Presentamos el comportamiento de las precipitaciones anuales medias acumuladas en el *conjunto global* de estaciones meteorológicas en un nuevo periodo de observaciones en 11 años, 2015 a 2025. Se observa años concretos donde sobresalen destacadamente los volúmenes de precipitaciones anuales en relación a su valor normal, 2018 y 2025 años lluviosos, y 2017 y 2024 años secos. No podemos afirmar una secuencia de periodos lluviosos y poco lluviosos en un lapso de once años, ya que las desviaciones anuales carecen de agrupamientos alternativos notables.

La tendencia pluviométrica anual en once años es exigua, apenas decreciente con una dispersión moderada.

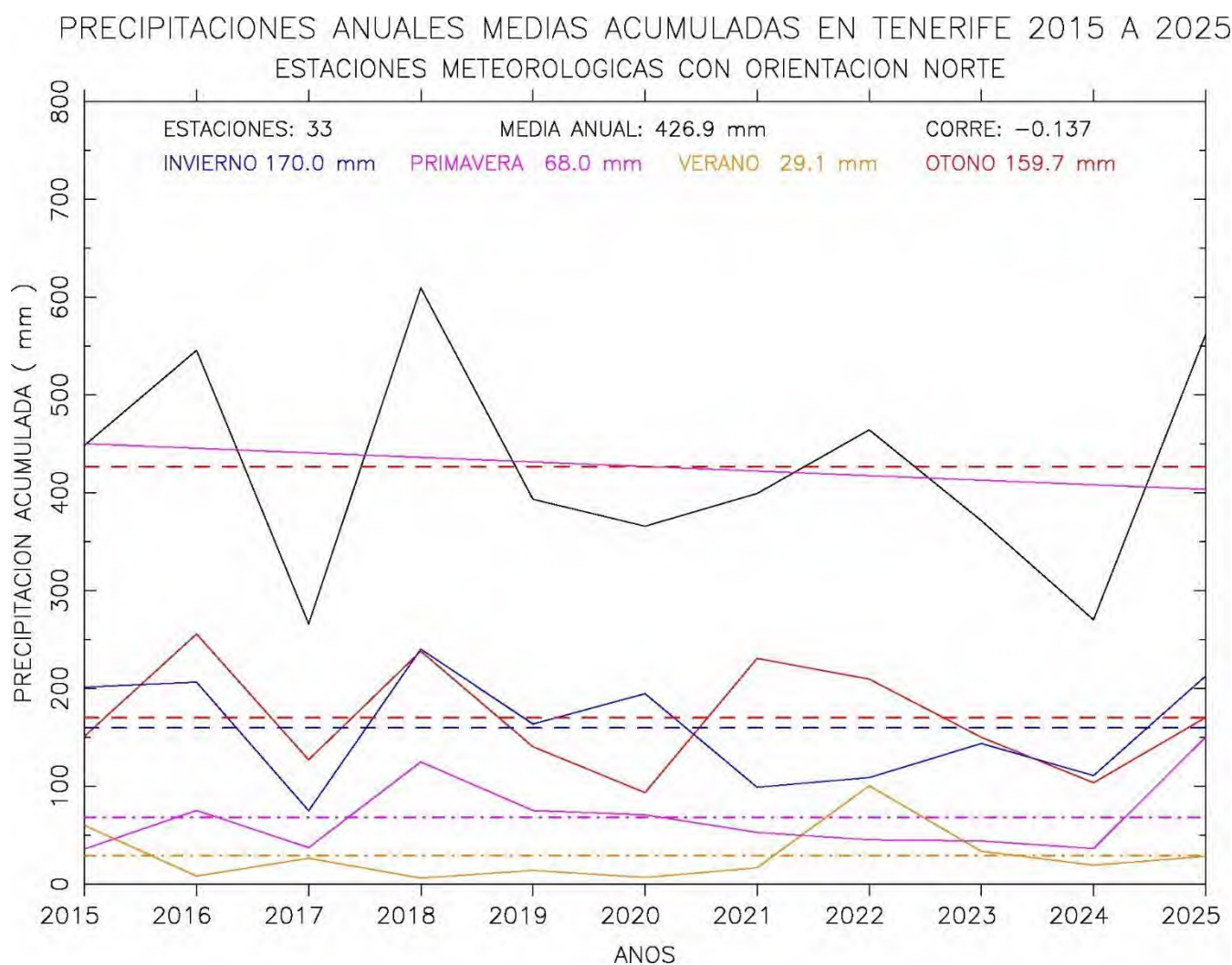
El conjunto de precipitaciones presenta los siguientes parámetros estadísticos: media 312.3 mm, coeficiente variación 27.2 %, correlación -0.059, pendiente -1.5 mm / año.

En invierno la precipitación acumulada media es ligeramente superior a la otoñal. En primavera la precipitación acumulada media es ligeramente doble que en verano y un 38.7 % o 40.9 % de la cuantía invernal u otoñal.

- *Estaciones meteorológicas orientadas al menos con una dirección septentrional. Periodo 2015 a 2025*

Tratamos información, series de precipitaciones anuales y estacionales acumuladas en un mismo intervalo de observaciones, 33 estaciones meteorológicas

ORDEN	AÑO	INVIERNO	PRIMAVERA	VERANO	OTOÑO	ANUAL
1	2015	151.1	35.8	60.1	201.3	448.3
2	2016	255.7	75.3	8.3	206.4	545.6
3	2017	127.0	37.3	26.5	75.0	265.9
4	2018	238.1	125.0	6.2	240.2	609.4
5	2019	140.5	75.3	14.0	163.6	393.4
6	2020	93.5	70.8	6.9	194.7	365.9
7	2021	230.7	52.9	16.7	99.0	399.2
8	2022	209.6	45.3	100.6	108.9	464.3
9	2023	150.1	44.1	33.4	143.8	371.4
10	2024	103.6	36.3	19.3	111.0	270.2
11	2025	170.3	150.3	28.4	212.8	561.8
		170.0	68.0	29.1	159.7	426.9
					Coef Var	26.4 %



Precipitaciones anuales y estacionales acumuladas en el conjunto de estaciones orientadas hacia el norte

Presentamos el comportamiento de las precipitaciones anuales medias acumuladas en el *conjunto de estaciones meteorológicas* cuyo emplazamiento tiene al menos una dirección septentrional. Una visión acertada de la tendencia pluviométrica decreciente. Se observa años concretos donde sobresalen destacadamente los volúmenes de precipitaciones anuales en relación a su valor normal. No podemos afirmar una secuencia de periodos lluviosos y poco lluviosos en un lapso de once años, ya que las desviaciones anuales carecen de agrupamientos alternativos notables.

El conjunto de precipitaciones presenta los siguientes parámetros estadísticos: media 426.9 mm, variación 26.4 %, correlación -0.137. Además, las precipitaciones anuales septentrionales son superiores 136.7 % al conjunto global insular, independiente de la orientación del emplazamiento.

La tendencia pluviométrica anual en un poco más de una década es apenas decreciente

El comportamiento de las precipitaciones estacionales acumuladas en el conjunto global de observatorios son las siguientes: invierno 170 mm, primavera 68 mm, verano 29.1 mm y otoño 159.7 mm coeficiente variación 26.4 %.

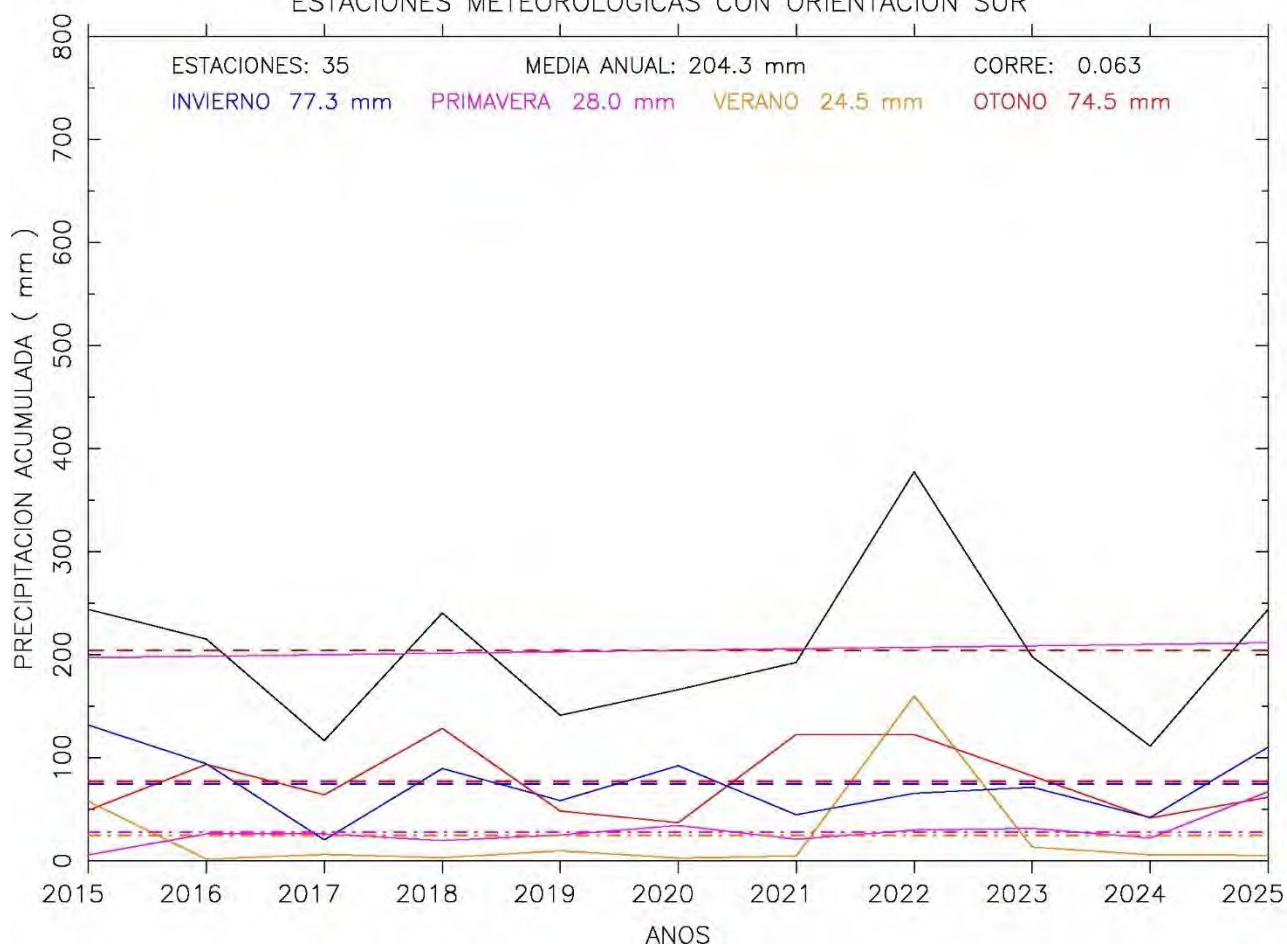
En invierno la precipitación acumulada media es ligeramente superior a la precipitación media en otoño. En primavera la precipitación acumulada media es ligeramente el doble que en verano y el 40 % o 42.6 % de la cuantía invernal u otoñal. Además, las precipitaciones invernales y otoñales septentrionales son 139 % y 134.6 % superiores a las precipitaciones invernales y otoñales en toda la isla.

- *Estaciones meteorológicas orientadas al menos con una dirección meridional. Periodo 2015 a 2025*

Tratamos información, series de precipitaciones anuales y estacionales acumuladas en un mismo intervalo de observaciones, 35 estaciones meteorológicas

ORDEN	AÑO	INVIERNO	PRIMAVERA	VERANO	OTOÑO	ANUAL
1	2015	49.0	5.6	57.7	131.8	244.0
2	2016	93.5	26.1	1.5	94.1	215.2
3	2017	64.0	26.1	6.2	20.3	116.6
4	2018	128.5	19.5	3.0	89.5	240.5
5	2019	48.3	25.1	9.6	58.3	141.2
6	2020	36.9	34.3	2.6	92.2	166.1
7	2021	122.5	20.8	4.6	44.6	192.5
8	2022	122.5	29.7	159.9	65.4	377.6
9	2023	82.3	31.5	13.2	71.2	198.2
10	2024	41.5	22.1	5.7	41.9	111.2
11	2025	61.6	66.9	5.3	110.3	244.1
		77.3	28.0	24.5	74.5	204.3
						Coef Var 36.8 %

PRECIPITACIONES ANUALES MEDIAS ACUMULADAS EN TENERIFE 2015 A 2025
ESTACIONES METEOROLOGICAS CON ORIENTACION SUR



Precipitaciones anuales y estacionales acumuladas en el conjunto de estaciones orientadas hacia el sur

Presentamos el comportamiento de las precipitaciones anuales medias acumuladas en el *conjunto de estaciones meteorológicas* cuyo emplazamiento tiene al menos una dirección meridional. Una visión acertada de la tendencia pluviométrica creciente. Se observa un año concreto donde sobresale destacadamente el volumen de precipitación anual en relación a su valor normal. No podemos afirmar una secuencia de periodos lluviosos y poco lluviosos en un lapso de once años, ya que las desviaciones anuales carecen de agrupamientos alternativos notables.

El conjunto de precipitaciones presenta los siguientes parámetros estadísticos: media 204.3 mm, variación 36.8 %, correlación 0.063. Además, las precipitaciones anuales meridionales son inferiores 65.8 % al conjunto global insular, independiente de la orientación del emplazamiento

La tendencia pluviométrica anual en un poco más de una década es exigua, apenas creciente

El comportamiento de las precipitaciones estacionales acumuladas en el conjunto global de observatorios son las siguientes: invierno 77.3 mm, primavera 28 mm, verano 24.5 mm y otoño 74.5 mm.

En invierno la precipitación acumulada media es ligeramente superior a la precipitación media en otoño. En primavera la precipitación acumulada media es ligeramente superior al verano y el 36.2 % o 37.6 % de la cuantía invernal u otoñal. Además, las precipitaciones invernales y otoñales meridionales son 63.2 % y 64.2 % inferiores a las precipitaciones invernales y otoñales en toda la isla.

- *Conclusión*

Analizamos las observaciones pluviométricas recogidas en veintiuno años últimos en series temporales. Presentamos estudios estadísticos de las precipitaciones por medio de gráficas que muestran su evolución en estaciones meteorológicas automáticas desde casi comienzo de siglo. Agrocabildo y AEMET son los organismos oficiales encargados de las observaciones. La red de estaciones cubre ampliamente todos los lugares de la compleja orografía, así podemos recopilar información detallada y precisa que muestra la amplia diversidad climática insular.

Las series pluviométricas temporales analizadas muestran claramente la *no existencia de alternancia de periodos lluviosos con periodos poco lluviosos bien definidos*. La presencia de irrupciones de aire frío marítimo, depresiones extratropicales, depresiones en altura o depresiones tropicales son esporádicas en los archipiélagos de la Macaronesia. Las deseadas precipitaciones no llegan a Canarias, y cuando suceden, se hacen sentir sus efectos entre los meses de octubre a marzo. No podemos asegurar el advenimiento de precipitaciones intensas en meses concretos. Las series pluviométricas presentan *picos, precipitaciones abundantes* caídas en la isla de manera irregular o caprichosa. Las cuantías de los parámetros estadísticos de dispersión obtenidos en los estudios de las series temporales confirman estas hipótesis.

La *serie temporal anual completa*, relacionan todas las precipitaciones diarias acumuladas en cada año durante lapso de distintos periodos.

En general, las tendencias son *escasamente positivas* en el *periodo 2005 a 2025*, tanto conjunto de 41 estaciones meteorológicas insular, como conjunto de 22 estaciones emplazadas en lugares al menos con una dirección norte, *vertiente septentrional*, o conjunto de 19 estaciones emplazadas al menos con una dirección sur, *vertiente meridional*. Las precipitaciones anuales acumuladas medias isla y vertientes son los siguientes: 354 mm 26.4 %, 460 mm y 231 mm. Es obvio, las dispersiones de las precipitaciones anuales medias son destacadas, pero no desmesuradas; también, la vertiente septentrional recibe la doble cantidad de precipitación que la vertiente meridional; además, la cuantía de precipitación acumulada media insular es aproximadamente la mitad de las dos precipitaciones medias, precipitación copiosa no excesiva.

En general, las tendencias son *destacadamente negativas* en el *periodo 2010 a 2025*, tanto conjunto de 55 estaciones meteorológicas insular, como conjunto de 29 estaciones con dirección o conjunto de 26

estaciones con dirección sur. Las precipitaciones anuales acumuladas medias y coeficientes de variación isla y vertientes son los siguientes: 361.6 mm 26.7 %, 482.5 mm 26.9 % y 226.7 mm 38.8 %. Es obvio, la vertiente septentrional recibe una cantidad de precipitación más del doble que la vertiente meridional; además, la cuantía de precipitación acumulada media insular es aproximadamente la mitad de las dos precipitaciones medias, precipitación copiosa no excesiva. Es notable el ascenso de precipitaciones en este periodo en relación con el periodo anterior, la justificación se encuentra en las cuantías de las precipitaciones intensas acaecidas en invierno 2010 y otoño 2014, tras el desplazamiento de borrascas atlánticas sobre toda la superficie insular.

- *El lustro 2010 a 2014 es lluvioso y destaca frente al resto de lustros del presente siglo.*

En general, las tendencias son *destacadamente negativas* en el periodo 2015 a 2025, tanto conjunto de 68 estaciones meteorológicas insular, como conjunto de 33 estaciones con dirección o conjunto de 35 estaciones con dirección sur. Las precipitaciones anuales acumuladas medias y coeficientes de variación isla y vertientes son los siguientes: 312.3 mm 27.2 %, 426.9 mm 26.4 % y 204.3 mm 36.8 %. Es obvio, la vertiente septentrional recibe una cantidad de precipitación más del doble que la vertiente meridional; además, la cuantía de precipitación acumulada media insular es similar a la mitad de las dos precipitaciones medias, precipitación copiosa no excesiva. Es notable el descenso de precipitaciones en este periodo en relación con el periodo anterior, la justificación se encuentra en la escasa presencia las precipitaciones intensas acaecidas en invierno y otoño 2016 y 2018, tras las irrupciones de frentes nubosos activos sobre toda la superficie insular.

- *El lustro 2020 a 2024 es poco lluvioso y destaca frente al resto de lustros del presente siglo.*

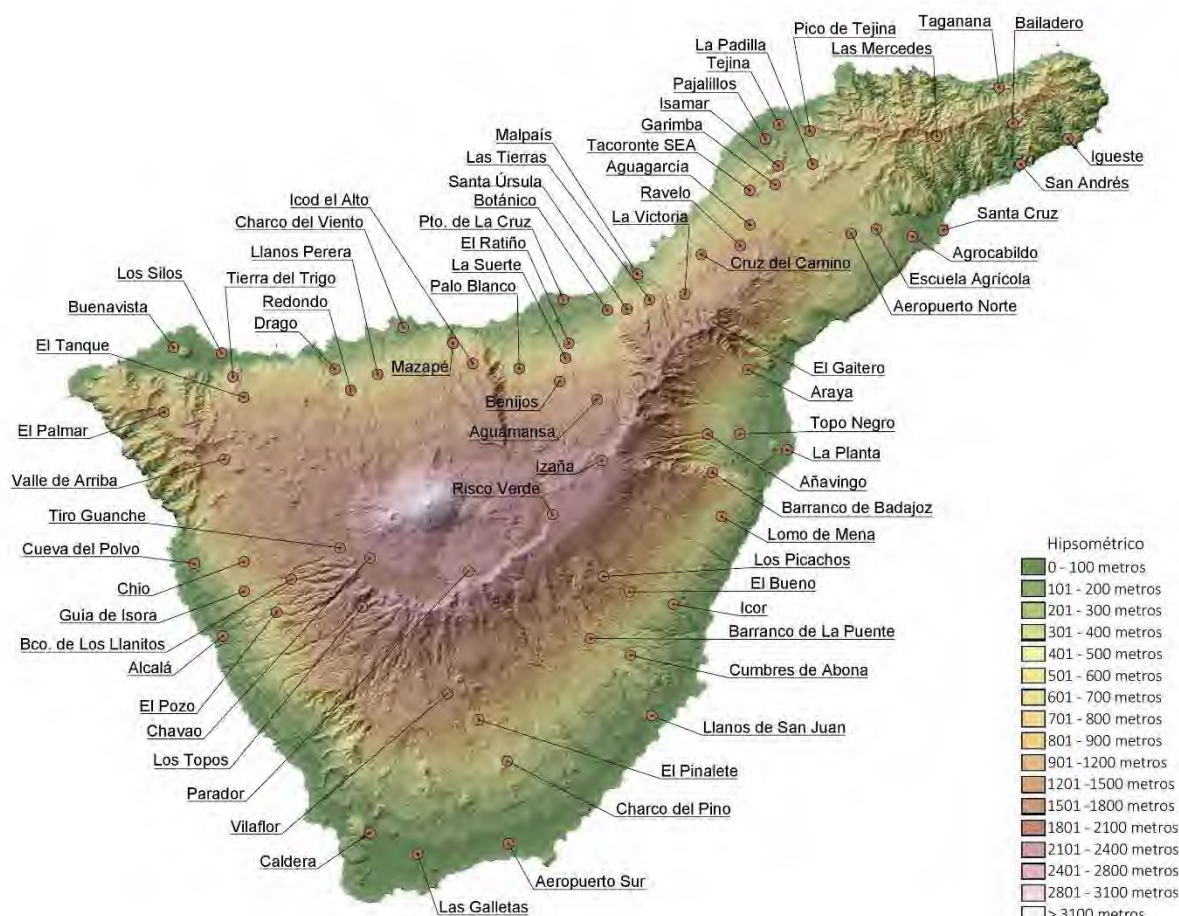
En general, el periodo 2005 a 2025 tiene la precipitación invernal acumulada media similar a la precipitación otoñal media y triple a la precipitación primaveral media. La precipitación primaveral media es doble de la precipitación media estival. La precipitación invernal septentrional media es 128 % de la precipitación invernal insular. La precipitación otoñal septentrional media es 132 % de la precipitación invernal insular. La precipitación invernal meridional media es 69 % de la precipitación invernal insular. La precipitación otoñal meridional media es 65 % de la precipitación otoñal insular.

BIBLIOGRAFÍA Y REFERENCIAS DIGITALES

- Font Tullot, I. (1983). *Climatología de España y Portugal*. Secciones de publicaciones del Instituto Nacional de Meteorología, editor, 296 páginas. I.S.B.N. 84-500-9467-4.
- Villalba Moreno, E (2026). *Historia del conocimiento hidrogeológico de Tenerife. Edición Ayuntamiento de la Laguna y el Centro Cultura Popular Canaria*.
- Santana Pérez, L. M. (2011). Pluviometría de Tenerife 1920 a 2010. Efemérides y descripción de las tormentas. Divulgameteo RNE. Madrid, 2011. <https://www.divulgameteo.es/uploads/Pluviometría-Tenerife.pdf>
- Santana Pérez, L. M. (2014). Precipitaciones otoñales 2014 en Tenerife. Cabildo de Tenerife, 2014. Web de Museos de Tenerife, MUNA, Santa Cruz de Tenerife. <https://www.google.es/search?q=Agro+Cabildo+Tenerife+lluvias+otoñales+Santana>
- Santana Pérez, L. M. (2020). *Misceláneas pluviométricas de Tenerife en el siglo XXI*. Web de Museos de Tenerife, MUNA, Santa Cruz de Tenerife, abril 2020. <https://www.museosdetenerife.org/muna-museo-de-naturaleza-y-arqueologia/articulo-de-divulgacion-miscelaneas-pluviometricas-de-tenerife-en-el-siglo-xxi-por-luis-manuel-santana-perez/>
- Santana Pérez, L. M. (2021). *Precipitaciones anuales siglo XXI en Tenerife*. Web de Museos de Tenerife, MUNA, Santa Cruz de Tenerife, enero 2021. <https://www.museosdetenerife.org/muna-museo-de-naturaleza-y-arqueologia/articulo-de-divulgacion-precipitaciones-anuales-siglo-xxi-en-tenerife/>
- Santana Pérez, L. M. (2022). Sobre la tormenta Hermine en Canarias: intenso episodio lluvioso a finales de septiembre de 2022 <https://www.museosdetenerife.org/muna-museo-de-naturaleza-y-arqueologia/sobre-la-tormenta-hermine-en-canarias-intenso-episodio-lluvioso-a-finales-de-septiembre-de-2022/> <https://www.divulgameteo.es/fotos/meteoroteca/Hermine-Santana.pdf>
- Santana Pérez, L. M. (2024). Web del Servicio de publicaciones del Museo de la Naturaleza y Arqueología del Cabildo Insular de Tenerife. El clima en canarias archivos - Museos de Tenerife - Museo de Naturaleza y Arqueología. <https://www.museosdetenerife.org/muna-museo-de-naturaleza-y-arqueologia/category/noticias/articulos-de-divulgacion/clima-en-canarias/>
- Santana Pérez, L.M. (2025). Precipitaciones en el periodo 2013 a 2024 en Tenerife. Tendencia pluviométrica en los últimos años. <https://www.museosdetenerife.org/muna-museo-de-naturaleza-y-arqueologia/articulo-de-divulgacion-precipitaciones-en-el-periodo-2013-a-2024-en-tenerife-tendencias-pluviometricas-en-los-ultimos-anos-por-luis-manuel-santana-perez/>

ANEXOS

RED DE ESTACIONES METEOROLÓGICAS AUTOMÁTICAS DE TENERIFE



Las estaciones meteorológicas automáticas Agrocabildo, AEMET e ICIA se encuentran ubicadas en las distintas vertientes, formando transectos altitudinales. Es constatable que la distribución de estaciones es más densa en zonas costeras y medianías bajas que en zonas boscosas y montañas. Los sensores meteorológicos y sus fechas inauguración son diferentes.

En la actualidad se dispone de un dispositivo electrónico denominado data logger que registra de forma ordenada las mediciones de los parámetros climáticos que estén incorporados en la estación. El control de registro – data logger escruta las observaciones cada 10 minutos (Agrocabildo, AEMET) y cada 30 minutos (ICIA). Los valores medios de las *precipitaciones acumulados* en esos periodos minutales hace perder parcialmente la veracidad o precisión de la observación representativa. A pesar de este inconveniente, los nuevos valores medios son grabados y constituyen los registros de los ficheros de datos y posteriormente son utilizados en los análisis climáticos.

Las precipitaciones mensuales o precipitaciones anuales acumuladas medias van acompañadas del indicador estadístico *coeficiente de variación*, medida de dispersión que permite el análisis de las desviaciones de los datos con respecto a la media y al mismo tiempo las dispersiones que tienen los datos dispersos entre sí.

Las cotas de los intervalos altitudinales de zonas climáticas utilizadas en este análisis pluviométrico son los siguientes: *costa*, altitud inferior a 250 m; *medianía baja* 250 m <h <= 500 m; *medianía alta* 500 m <h <= 1250 m; *zona de montaña* 1250 m <h <2000 m y *alta montaña* altitudes superiores a 2000 m.

- *Códigos y altitudes de las estaciones meteorológicas automáticas según las comarcas*

Es fundamental tener presente en cada momento la fecha de inauguración, localización, altitud e interpretación de los acrónimos de las estaciones meteorológicas en las comarcas y vertientes orográficas para entender tablas y gráficas.

COMARCA DE ACENTEJO

90	TEJI	2002	LA LAGUNA - TEJINA
110	PAJA	2000	LA LAGUNA - VALLE GUERRA - PAJALILLOS
205	URMA	2008	SANTA ÚRSULA - EL MALPAÍS
259	PICO	2000	LAGUNA - PICO DE TEJINA
293	ISAM	2006	LA LAGUNA - VALLE GUERRA - ISAMAR
310	TACS	2011	TACORONTE - SERVICIO EXTENSIÓN AGRARIA
375	CNOP	2010	TEGUESTE - CAMINO DE LOS POBRES
400	PADI	2004	TEGUESTE - LA PADILLA
455	TCSJ	2022	TACORONTE - SAN JUAN
493	GARI	2000	LA LAGUNA - GARIMBA
530	URTI	2008	SANTA ÚRSULA - LAS TIERRAS
550	URSU	2004	SANTA ÚRSULA - LA CORUJERA
567	VDMA	2010	LA VICTORIA - LOMO MARRERO
580	NARA	2022	TACORONTE - LOS NARANJEROS
660	MACR	2004	LA MATANZA - LA CRUZ DEL CAMINO
695	AGGA	2004	TACORONTE - AGUA GARCÍA
713	RAVB	2022	EL SAUZAL - RAVELO BAJO
825	LORO	2004	LA VICTORIA - EL LOMO
922	RAVE	2002	EL SAUZAL - RAVELO
1745	GAIT	2010	LA VICTORIA - EL GAITERO

VALLE DE LA OROTAVA

10	PCAU	2002	PUERTO DE LA CRUZ
142	BOTA	2000	PUERTO DE LA CRUZ - JARDÍN BOTÁNICO
216	RINC	2001	LA OROTAVA - EL RINCÓN
380	RATI	2004	LA OROTAVA - LA PERDOMA RATIÑO
550	SUER	2004	LA OROTAVA - LA PERDOMA SUERTE
595	PALO	2004	LOS REALEJOS - PALO BLANCO
906	BENI	2004	LA OROTAVA - BENIJOS
1065	AGUA	2010	LA OROTAVA - AGUAMANSA
2367	IZAN	1925	LA OROTAVA - OBSERVATORIO DE IZAÑA

COMARCA DE ICODEN

60	CHVI	2001	LA GUANCHA - CHARCO DEL VIENTO
200	DRAG	2012	ICOD DE LOS VINOS - PARQUE DEL DRAGO
475	PERE	2007	ICOD DE LOS VINOS - STA BÁRBARA - LLANOS PERERA
525	REDO	2007	ICOD DE LOS VINOS - REDONDO
677	SJRL	2022	SAN JUAN DE LA RAMBLA - LLANOS DE MESA
770	ICOA	2007	LOS REALEJOS - ICOD DEL ALTO

COMARCA DE DAUTE

28	BUIC	2000	BUENAVISTA DEL NORTE - ICIA
29	SDEP	2011	LOS SILOS - LA COSTA
53	SIAC	2014	LOS SILOS - AGROCABILDO
40	QUIN	2021	GARACHICO - LA QUINTA
66	BUEN	2001	BUENAVISTA DEL NORTE - AGROCABILDO
450	TRIG	2007	LOS SILOS - TIERRA DEL TRIGO
555	PALM	2007	BUENAVISTA DEL NORTE - EL PALMAR
750	RUIG	2004	EL TANQUE - RUIGÓMEZ

COMARCA DE ISORA

30	ALCA	2012	GUÍA ISORA - PLAYA DE ALCALÁ
48	GCUE	2000	GUÍA DE ISORA - CUEVA DEL POLVO
68	GAIC	2001	ARONA - LAS GALLETAS ICIA
73	GALL	2001	ARONA - LAS GALLETAS
130	HOGA	2012	ADEJE - HOYA GRANDE
138	ACAL	2012	ADEJE - LA CALDERA
403	BALO	2018	GUÍA DE ISORA - LOMO DEL BALO
476	GUÍA	2001	GUÍA DE ISORA
700	POZO	2004	GUÍA DE ISORA - EL POZO
735	CHÍO	2007	GUÍA DE ISORA - CHÍO
990	STEI	2007	SANTIAGO DEL TEIDE - VALLE DE ARRIBA
1032	ARIP	2007	GUÍA ISORA - ARIPE - LOS LLANITOS
1258	VILA	2001	VILAFLORE - EL FRONTÓN
1276	TREV	2022	VILAFLORE - TREVEJOS
1515	VILP	2022	VILAFLORE
1833	TOVI	2011	VILAFLORE - LOS TOPOS
2071	CHAV	2010	GUÍA DE ISORA - CHAVAO

COMARCA DE ABONA

59	ASRS	1982	GRANADILLA - AEROPUERTO TENERIFE SUR
105	ERAS	2018	FASNIA - LAS ERAS
135	ARSJ	2001	ARICO - LOS LLANOS DE SAN JUAN
381	ICOR	2007	ARICO - ICOR
410	ABON	2007	ARICO - TEGUEDITE - EL VISO
417	ADEP	2010	ARICO - LA DEGOLLADA
500	LOME	2007	GÜIMAR - LOMO MENA
506	PINO	2007	GRANADILLA - CHARCO DEL PINO
850	PINA	2007	GRANADILLA - EL PINALETE
930	ARHE	2001	ARICO - EL BUENO - LOS HELECHOS
1258	VILA		VILAFLORE - EL FRONTÓN
1630	PICA	2010	ARICO - LOS PICACHOS - TORRE INCENDIO
1833	TOVI		VILAFLORE - LOS TOPOS - TORE INCENDIO

VALLE DE GÜIMAR

5	GSOC	2022	GÜIMAR - EL SOCORRO
156	GUIP	2000	GÜIMAR - LA PLANTA
290	TOPO	2004	GÜIMAR - TOPO NEGRO
340	BADA	2007	GÜIMAR - BARRANCO DE BADAJOZ
459	CDCU	2012	CANDELARIA - LAS CUEVECITAS
525	ARAY	2012	CANDELARIA - ARAYA
566	ACHA	2021	ARAFO - LOS CHARCOS
700	ANAV	2004	ARAFO - AÑAVINGO

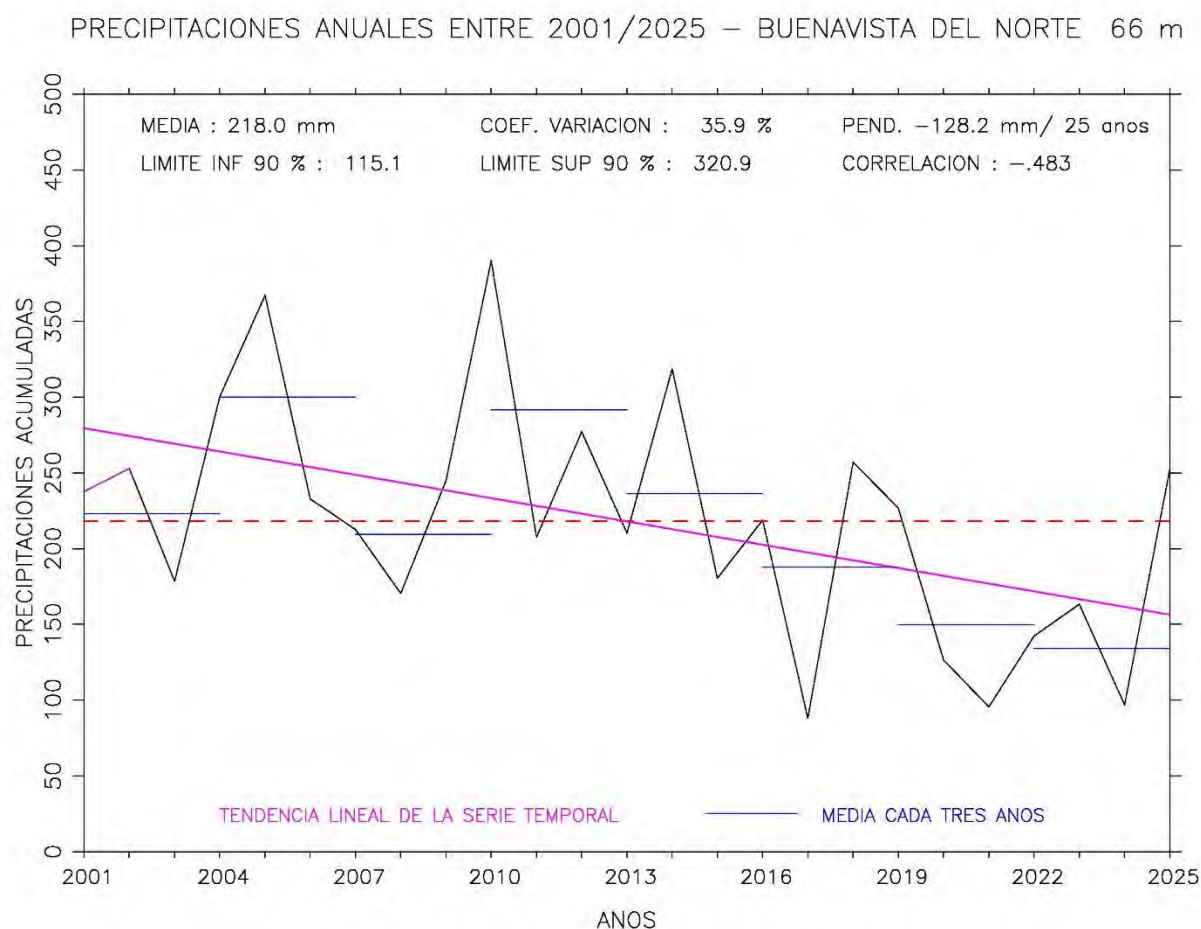
PARQUE RURAL DE ANAGA

19	SAND	2010	SAN ANDRÉS - COLEGIO PÚBLICO ARGENTINA
31	SCTE	1932	SANTA CRUZ DE TENERIFE
75	IGSA	2011	IGUESTE DE SAN ANDRÉS
136	SCAC	2011	LA CRUZ SEÑOR - AGROCABILDO
220	TAZA	2022	TAGANANA - AZANOS
305	TAGA	2012	TAGANANA
564	ETSA	2014	LA LAGUNA - INGENIERÍA DE TÉCNICA
632	AROD	1979	LA LAGUNA - LOS RODEOS - AEROPUERTO NORTE
655	BALD	2009	EL ROSARIO - LOS BALDÍOS
724	BAIL	2014	SANTA CRUZ DE TENERIFE - EL BAILADERO
868	MLLO	2009	LA LAGUNA - LAS MERCEDES - LLANO DE LOS LOROS

PARQUE NACIONAL DEL TEIDE

2150	PARA	1984	LAS CAÑADAS DEL TEIDE - PARADOR
------	------	------	---------------------------------

TENDENCIAS DE LAS PRECIPITACIONES ANUALES Y ESTACIONALES EN LUGARES QUE REGISTRAN SERIES DE OBSERVACIONES NOTABLES



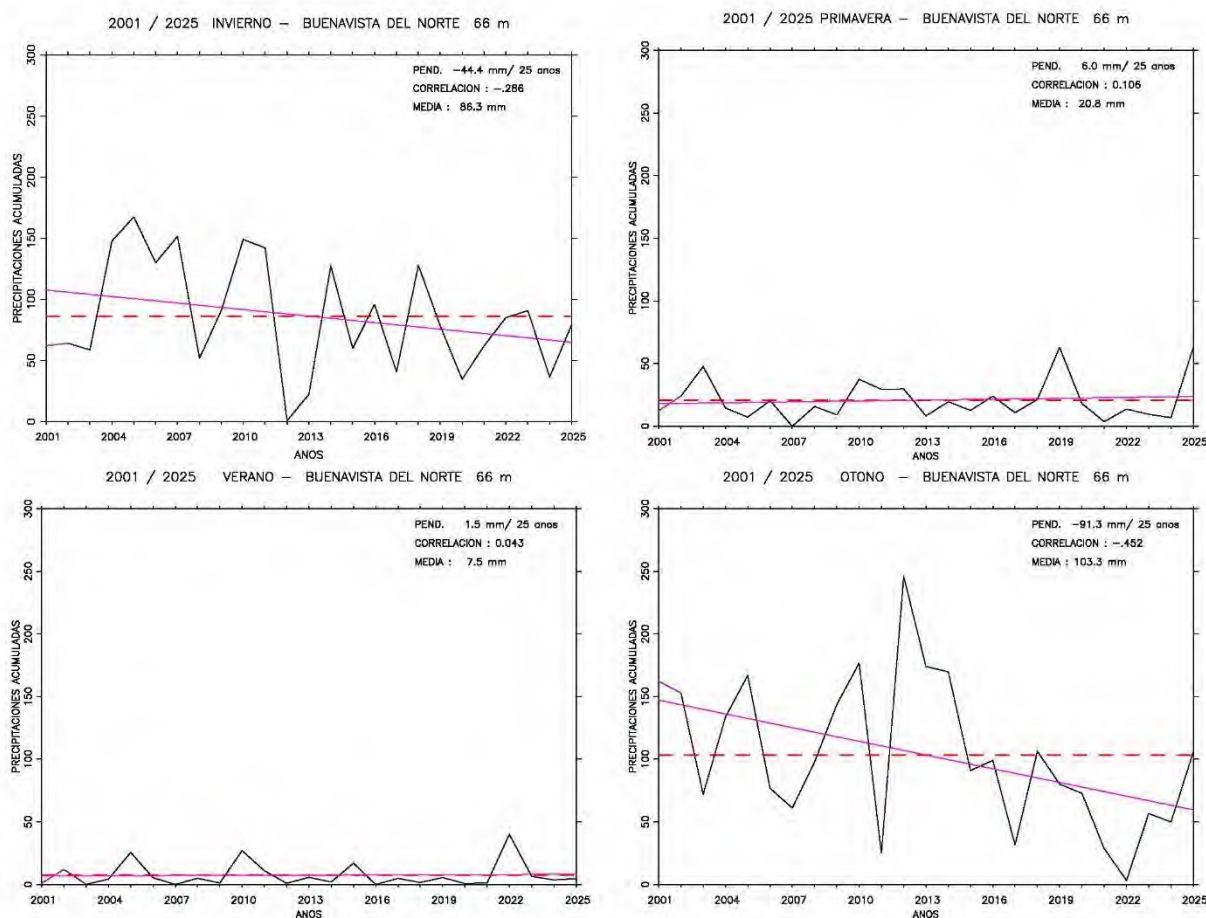
Tendencia de las precipitaciones anuales acumuladas

Serie temporal de datos decaminutales de una estación meteorológica instalada a comienzo de la inauguración de Agrocabildo. El lugar de observación tiene importancia geográfica al ser un lugar costero abierto al Atlántico, noroeste de Tenerife y zona agrícola de gran interés económico.

Evolución del volumen anual de precipitación acumulada. A escala anual existe una *tendencia negativa*, notable descenso pluviométrico, descenso aproximado de -5.1 mm / año. No se observa ciclos pluviométricos, solamente precipitaciones anuales notables 2010, 2005 y 2014 años lluviosos, y 2017, 2021 y 2024 años poco lluviosos.

Parámetros estadísticos de la serie temporal: media 218 mm, coeficiente variación 35.9 %, intervalo de confianza (90 %) 115.1 mm y 320.9 mm, correlación -0.483, pendiente -128.2 mm / 25 años.

Buenavista del Norte tiene precipitaciones escasas, notablemente dispersas

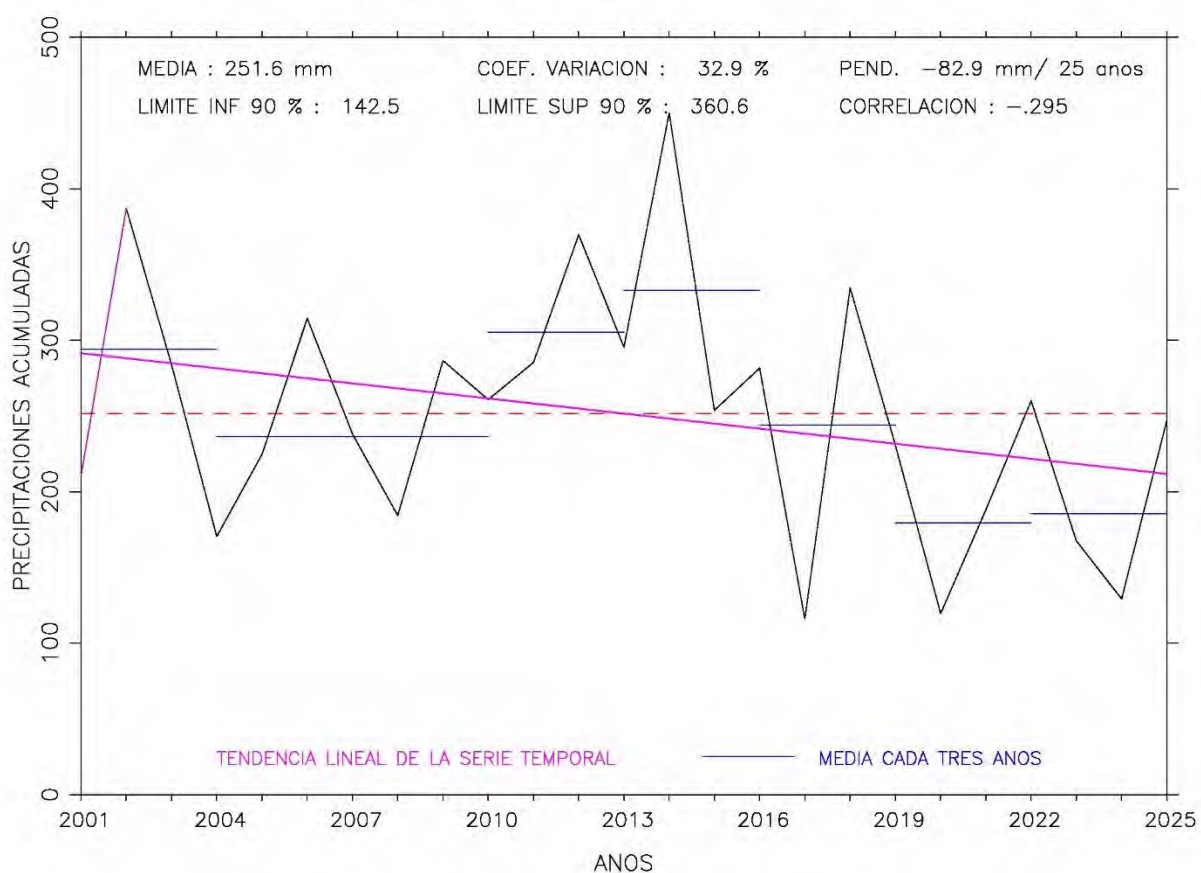


Tendencias de las precipitaciones estacionales acumuladas

A escala estacional existen diferentes tendencias pluviométricas. En invierno y otoño las *tendencias son negativas, destacado y notable descenso pluviométricos*; sin embargo, en primavera y verano las *tendencias son positivas, apreciable y casi nulo, ascensos pluviométricos*.

Parámetros estadísticos de la serie temporal en 25 años son los siguientes: *invierno* tiene media aritmética 86.3 mm, coeficiente variación 53 %, correlación -0.286 y tendencia -44.4 mm/25 años; *primavera* tiene media 20.8 mm, coeficiente variación 79.5 % correlación 0.106 y tendencia 6 mm/25 años; *verano* tiene media 7.4 mm, coeficiente variación 133.4 %, correlación 0.045 y tendencia 1.5 mm/25 años; *otoño* tiene media 103.3 mm, coeficiente variación 57.5 % correlación -0.452 y tendencia -91.3 mm/25 años.

PRECIPITACIONES ANUALES ENTRE 2001/2025 – LA GUANCHA – CHARCO VIENTO 60 m



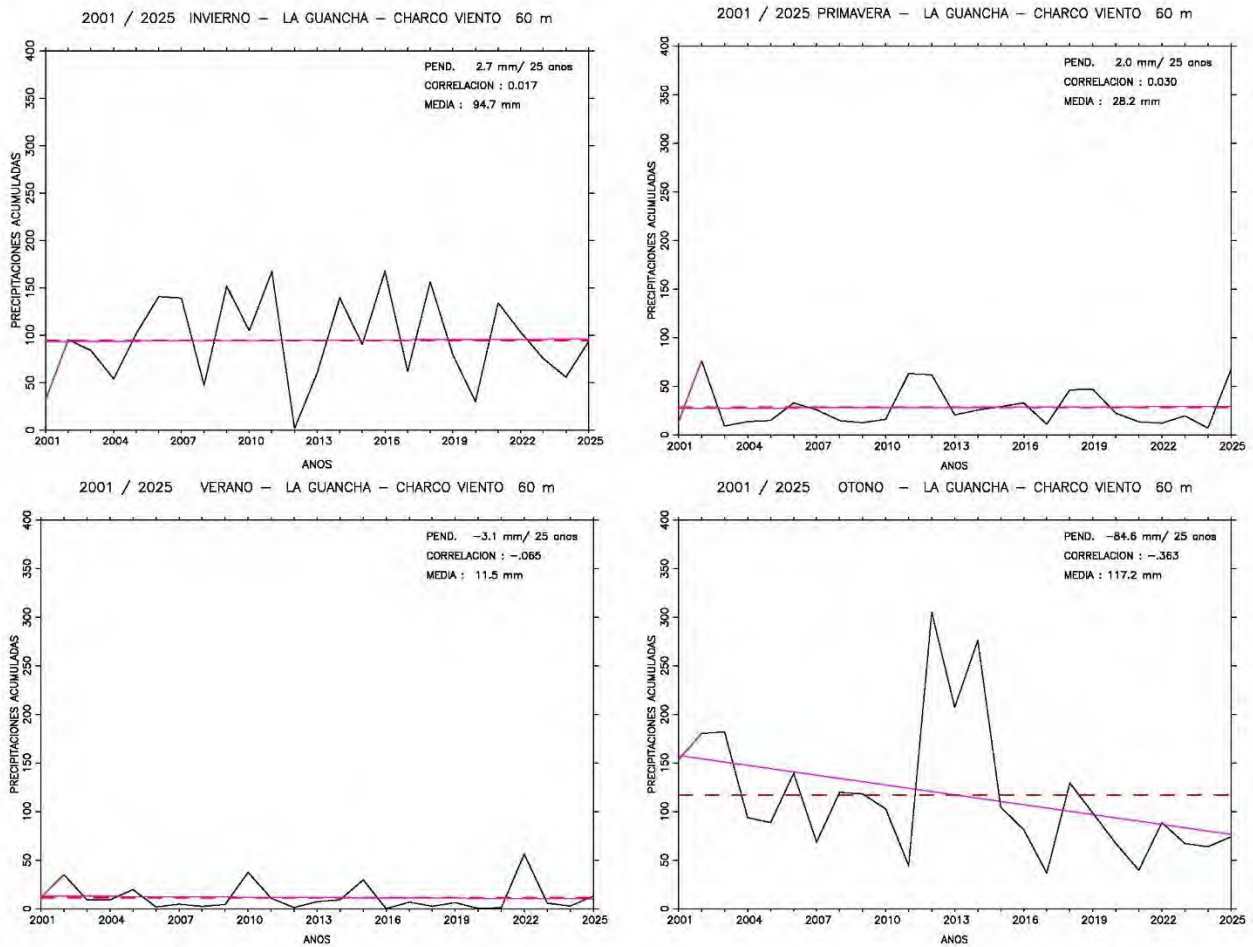
Tendencia de las precipitaciones anuales acumuladas

El lugar de observación tiene importancia geográfica al ser un lugar costero abierto al Atlántico nornoroeste de Tenerife y zona agrícola de interés económico.

Evolución del volumen anual de precipitación acumulada. A escala anual existe una *tendencia negativa, destacado descenso pluviométrico*, descenso aproximado de -3.4 mm / año. No se observa ciclos pluviométricos, solamente precipitaciones anuales notables 2014, 2012 y 2003 años lluviosos, y 2017, 2020 y 2024 años poco lluviosos.

Parámetros estadísticos de la serie temporal: media 251.6 mm, coeficiente variación 32.9 %, intervalo de confianza 142.5 mm y 360.6 mm, coeficiente correlación -0.295, pendiente -82.9 mm/ 25 años.

La Guancha – Charco del Viento tiene precipitaciones escasas, destacadamente dispersas

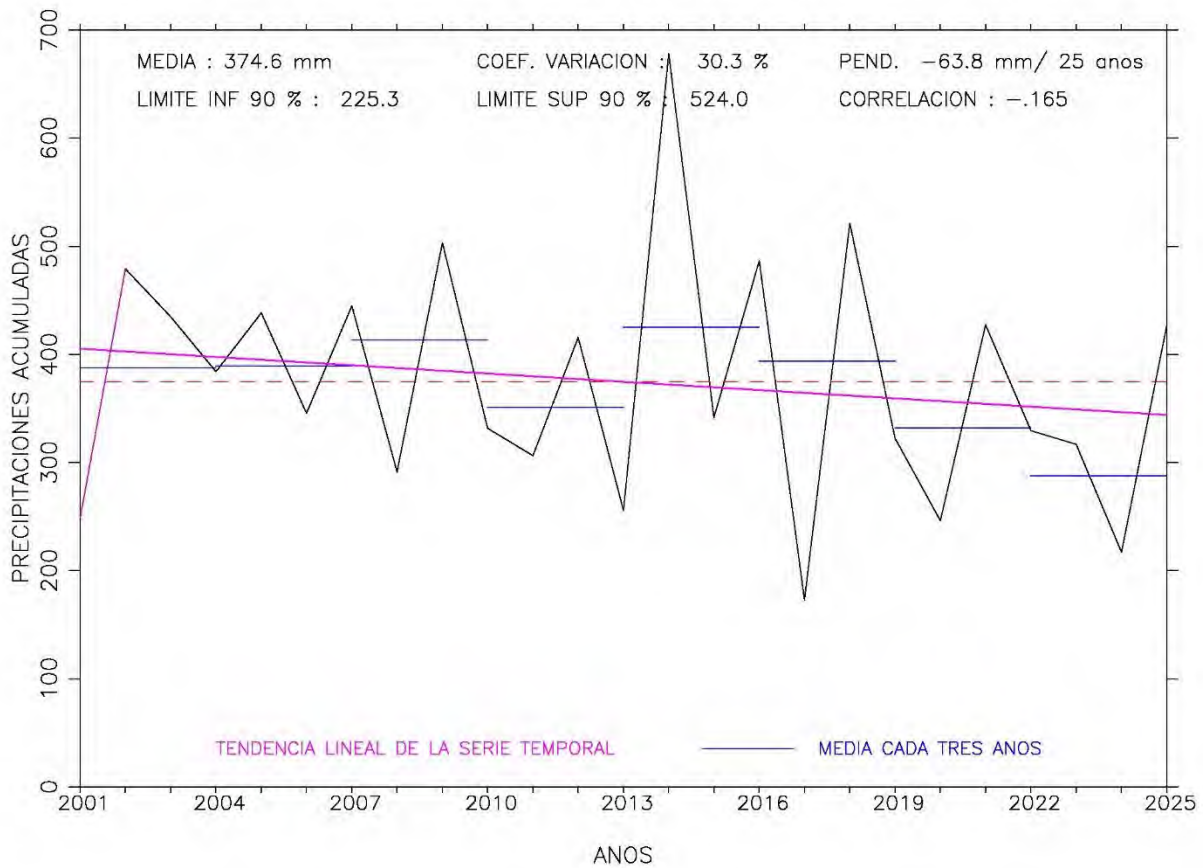


Tendencias de las precipitaciones estacionales acumuladas

A escala estacional existen diferentes tendencias pluviométricas. En invierno y primavera las *tendencias son positivas, exiguos ascensos pluviométricos*; sin embargo, en verano y otoño las *tendencias son negativas, casi nulo y notable, descensos pluviométricos*.

Parámetros estadísticos de la serie temporal en 25 años son los siguientes: *invierno* tiene media aritmética 94.7 mm, coeficiente variación 48.5 %, correlación 0.017 y tendencia 2.7 mm/25 años; *primavera* tiene media 28.2 mm, coeficiente variación 71.8 % correlación 0.050 y tendencia 2 mm/25 años; *verano* tiene media 11.5 mm, coeficiente variación 121.4 %, correlación -0.065 y tendencia -3.1 mm/25 años; *otoño* tiene media 117.2 mm, coeficiente variación 56.8 % correlación -0.362 y tendencia -84.6 mm/25 años.

PRECIPITACIONES ANUALES ENTRE 2001/2025 – LA OROTAVA – EL RINCON 216 m



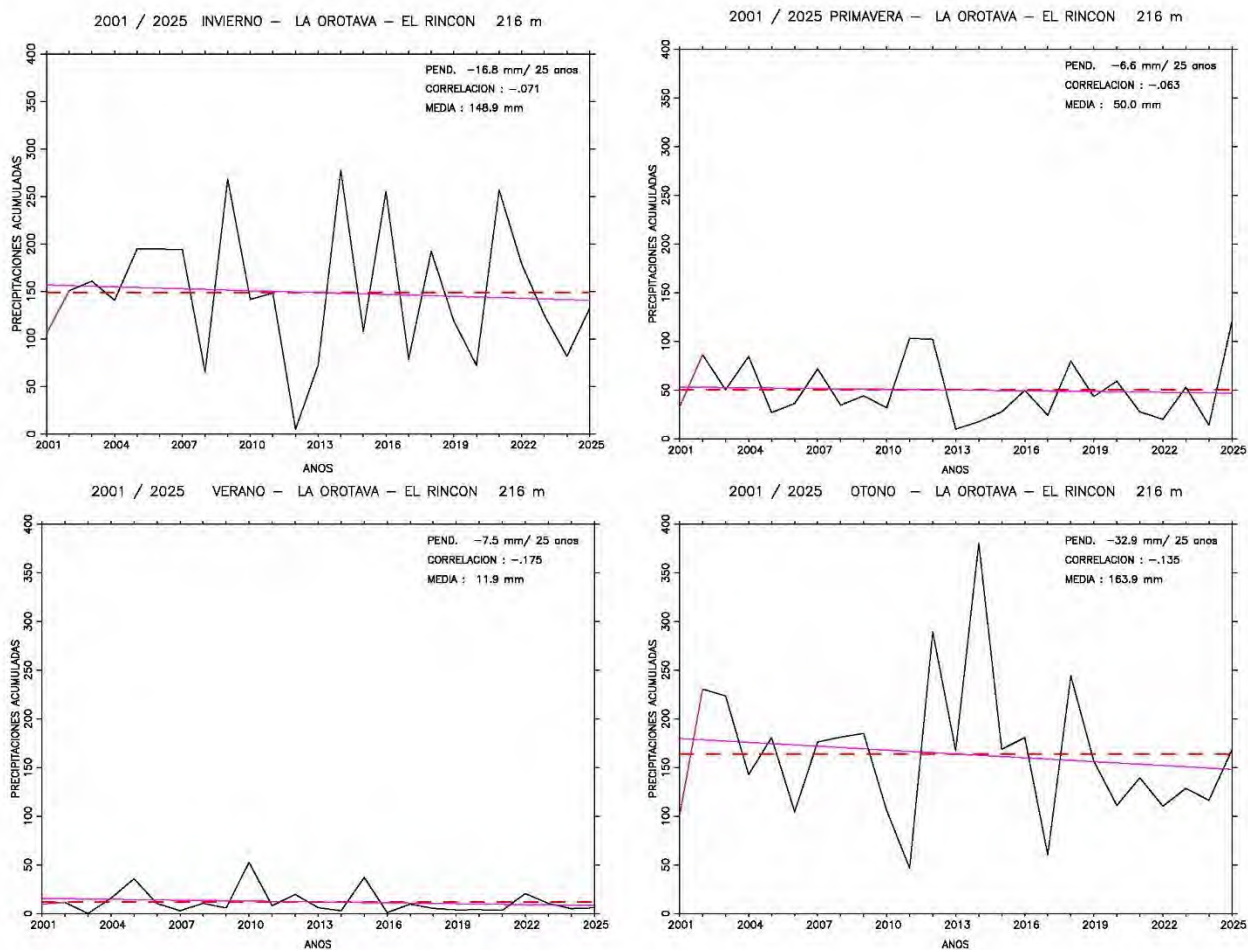
Tendencia de las precipitaciones anuales acumuladas

El lugar de observación tiene importancia geográfica al ser un lugar costero septentrional abierto al Atlántico, zonas urbana y agrícola de interés económico.

Evolución del volumen anual de precipitación acumulada. A escala anual existe una *tendencia negativa, destacado descenso pluviométrico*, descenso aproximado de -2.6 mm / año. No se observa ciclos pluviométricos, solamente precipitaciones anuales notables 2014, 2018 y 2009 años lluviosos, y 2017, 2024 y 2001 años poco lluviosos.

Parámetros estadísticos de la serie temporal: media 274.2 mm, coeficiente variación 30.3 %, intervalo de confianza 225.3 mm y 524 mm, correlación -0.165, pendiente -63.8 mm / 25 años.

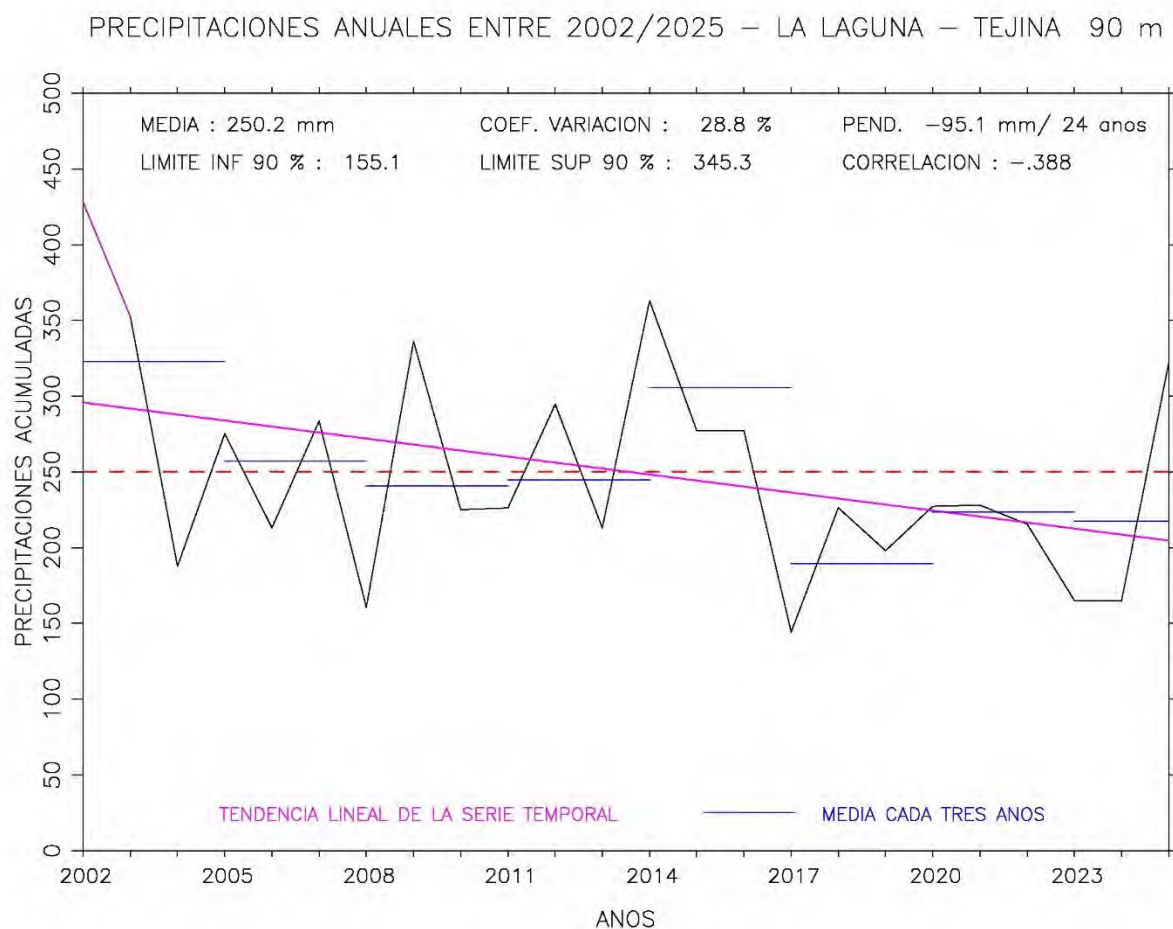
La Orotava – El Rincón tiene precipitaciones copiosas, destacadamente dispersas



Tendencias de las precipitaciones estacionales acumuladas

A escala estacional existen diferentes tendencias pluviométricas. En otoño la *tendencia es negativa, destacado descenso pluviométrico*. En invierno la *tendencia es negativa, leve descenso pluviométrico*. En primavera y verano las *tendencias son negativas, exiguos o casi nulos descenso pluviométricos*.

Parámetros estadísticos de la serie temporal en 25 años son los siguientes: *invierno* tiene media aritmética 148.9 mm, coeficiente variación 46.9 %, correlación -0.071, pendiente -16.8 mm/25 años; *primavera* tiene media 50 mm, coeficiente variación 61.5 %, correlación -0.063, pendiente -6.6 mm/25 años; *verano* tiene media 11.9 mm, coeficiente variación 106.8 %, correlación -0.175, pendiente -7.5 mm/25 años; *otoño* tiene media 164 mm, coeficiente variación 43.9 %, correlación -0.135, pendiente -32.9 mm/25 año.



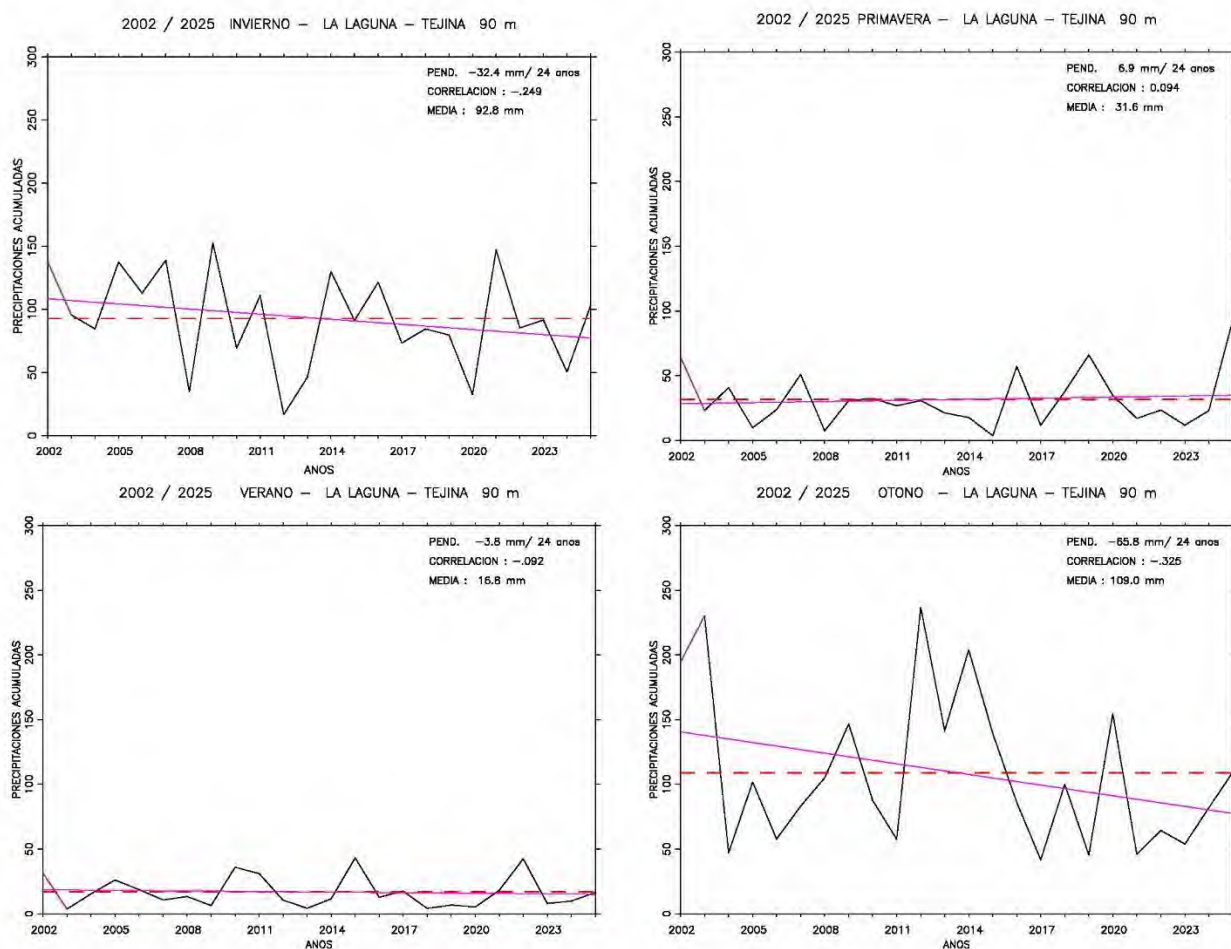
Tendencia de las precipitaciones anuales acumuladas

El lugar de observación tiene importancia geográfica al ser un lugar costero abierto al Atlántico, noroeste de Tenerife, zonas urbana y agrícola de interés económico.

Evolución del volumen anual de precipitación acumulada. A escala anual existe una *tendencia negativa, destacado descenso pluviométrico*, descenso aproximado de -4 mm / año. No se observa ciclos pluviométricos, solamente precipitaciones anuales notables 2002, 2014 y 2009 años lluviosos, y 2017, 2008, 2023 y 2024 años poco lluviosos.

Parámetros estadísticos de la serie temporal: media 250.2 mm, coeficiente variación 28.8 %, intervalo de confianza 155.1 mm y 345.3 mm, correlación -0.388, pendiente -95.1 mm /24 años.

La Laguna – Tejina tiene precipitaciones escasas, destacadamente dispersas

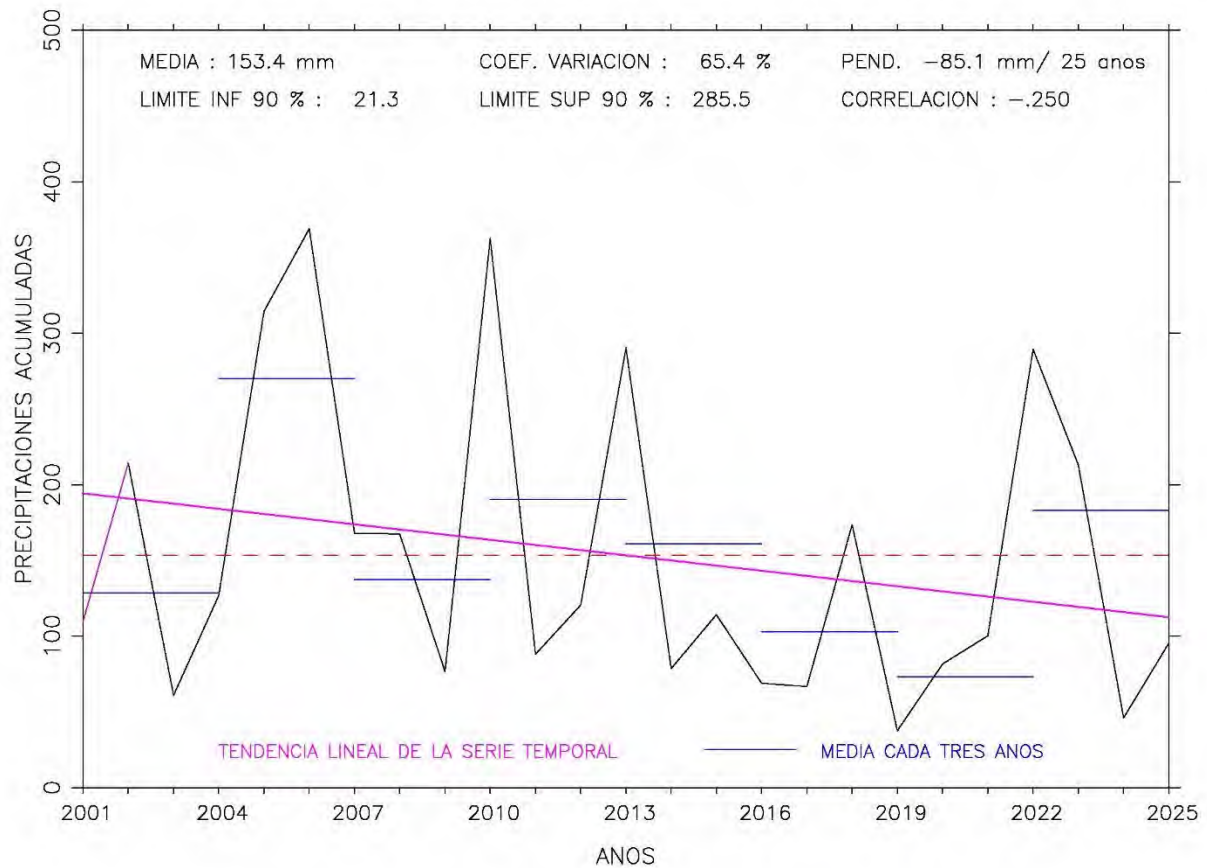


Tendencias de las precipitaciones estacionales acumuladas

A escala estacional existen diferentes tendencias pluviométricas. En otoño la tendencia es negativa, notable descenso pluviométrico; invierno y verano las *tendencias son negativas, destacado y exiguo descensos pluviométricos*; sin embargo, en primavera la *tendencia es positiva, leve descenso pluviométrico*.

Parámetros estadísticos de la serie temporal en 24 años son los siguientes: *invierno* tiene media aritmética 92.8 mm, coeficiente variación 41.3 %, correlación -0.249 y tendencia -32.4 mm/24 años; *primavera* tiene media 31.6 mm, coeficiente variación 68.1 % correlación 0.094 y tendencia 6.9 mm/24 años; *verano* tiene media 16.8 mm, coeficiente variación 71.5 %, correlación -0.092 y tendencia -3.8 mm/24 años; *otoño* tiene media 109 mm, coeficiente variación 54.8 % correlación -0.325 y tendencia -65.8 mm/24 años.

PRECIPITACIONES ANUALES ENTRE 2001/2025 – ARICO – LLANOS de SAN JUAN 135 m



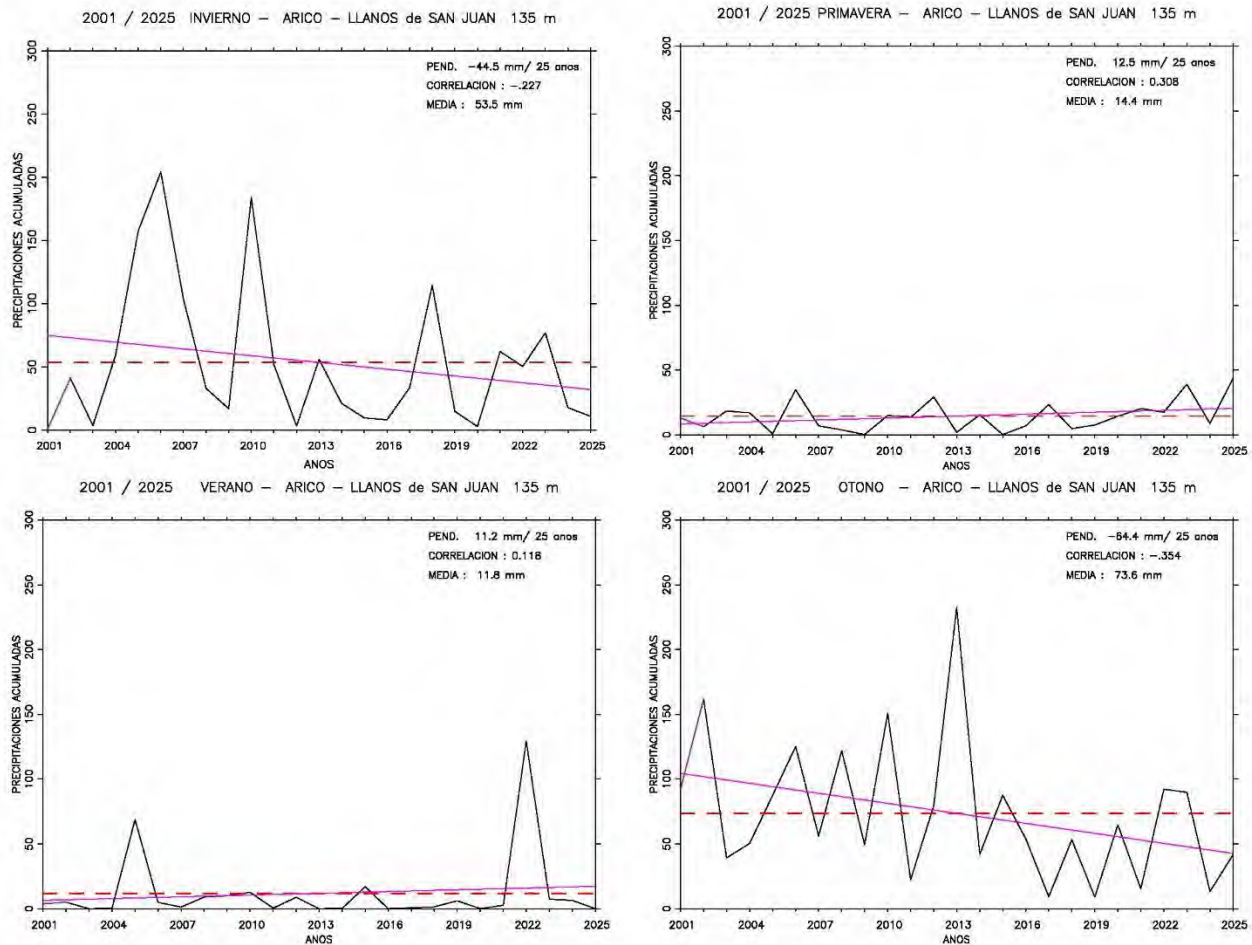
Tendencia de las precipitaciones anuales acumuladas

El lugar de observación tiene importancia geográfica al ser un lugar costero abierto al Atlántico, sursureste de Tenerife, zona soleada y ventosa de interés energético.

A escala anual existe una *tendencia negativa*, destacado descenso pluviométrico, descenso aproximado de -3,4 mm / año. No se observa ciclos pluviométricos, solamente precipitaciones anuales notables 2005, 2006, 2010, 2013 y 2022 años lluviosos, y 2003, 2019 y 2024 años poco lluviosos. Nota: 28 y 29 de noviembre de 2005 irrupción de la tormenta tropical Delta.

Parámetros estadísticos de la serie temporal: media 153.4 mm, coeficiente variación 65.4 %, intervalo de confianza 21.3 mm y 285.5 mm, correlación -0.25, pendiente -85.1 mm / 25 años.

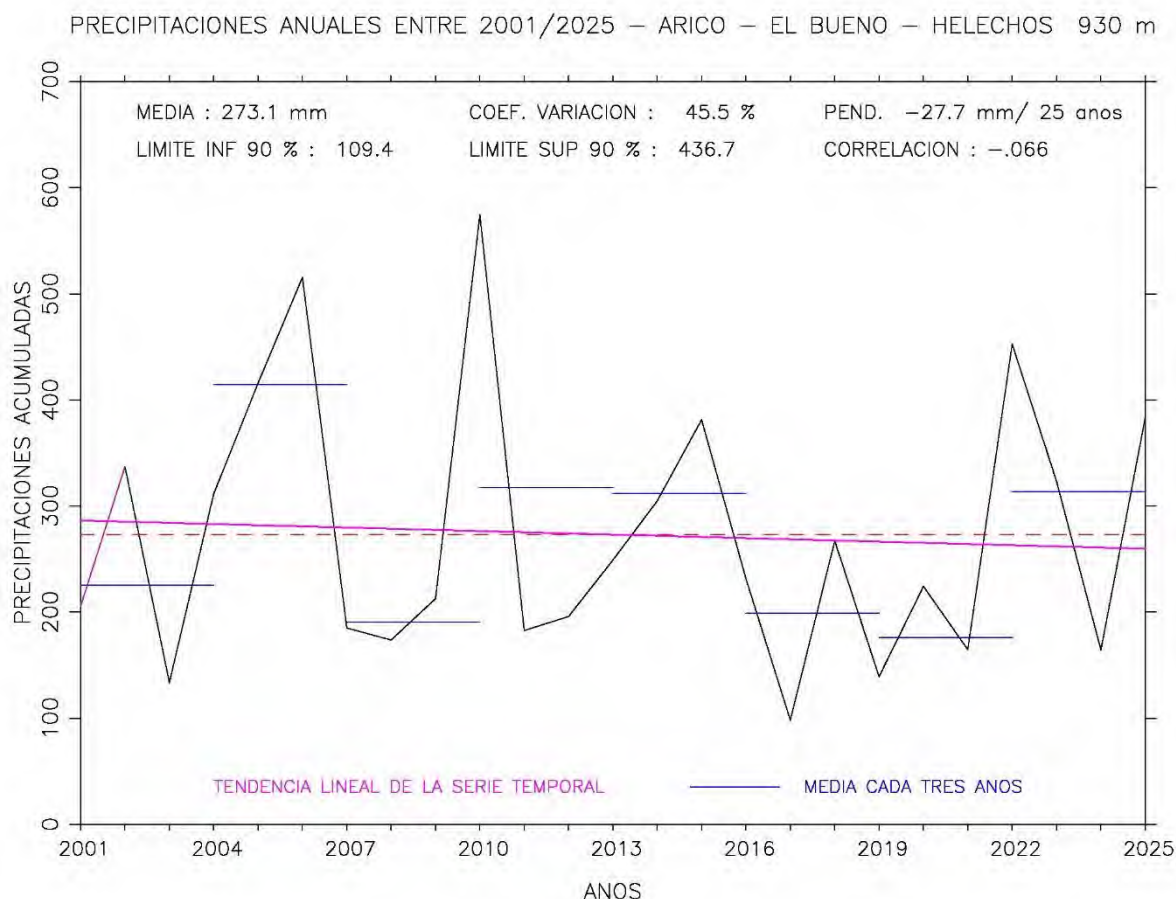
Arico – Llanos de San Juan tiene precipitaciones exiguas, notablemente dispersas



Tendencias de las precipitaciones estacionales acumuladas

A escala estacional existen diferentes tendencias pluviométricas. En otoño la *tendencia es negativa, notable descenso pluviométrico*. En invierno la *tendencia es negativa, destacado descenso pluviométrico*. En primavera y verano *las tendencias son positivas, leves descensos pluviométricos*

Parámetros estadísticos de la serie temporal en 25 años son los siguientes: *invierno* tiene media aritmética 53.5 mm, coeficiente variación 107.8 %, correlación -0.227, pendiente -44.5 mm/25 años; *primavera* tiene media 14.4 mm, coeficiente variación 82.7 %, correlación 0.308, pendiente 12.5 mm/25 años; *verano* tiene media 11.8 mm, coeficiente variación 73.6 %, correlación 0.118, pendiente 11.2 mm/25 años; *otoño* tiene media 73.6 mm, coeficiente variación 72.8 %. correlación -0.354, pendiente -64.4 mm/25 años.



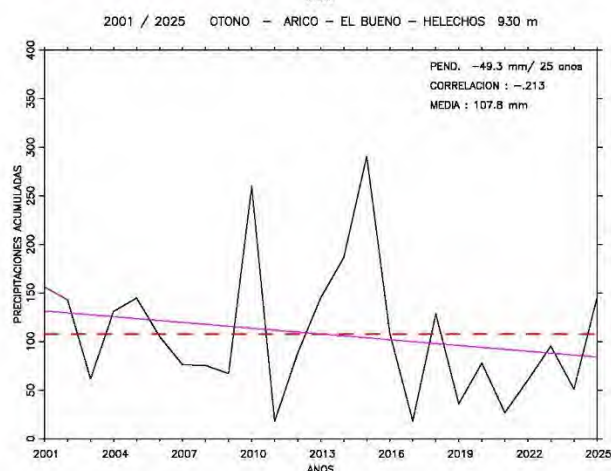
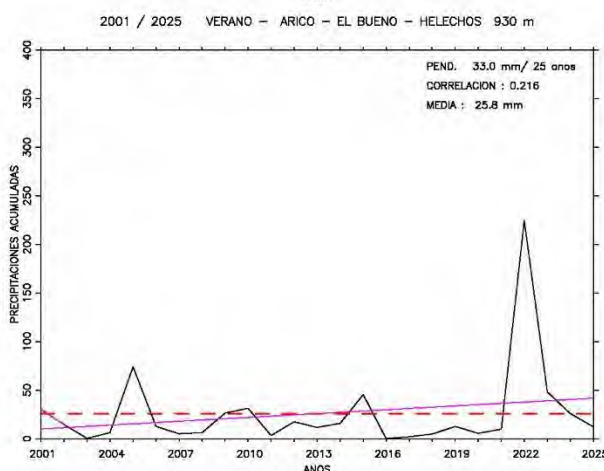
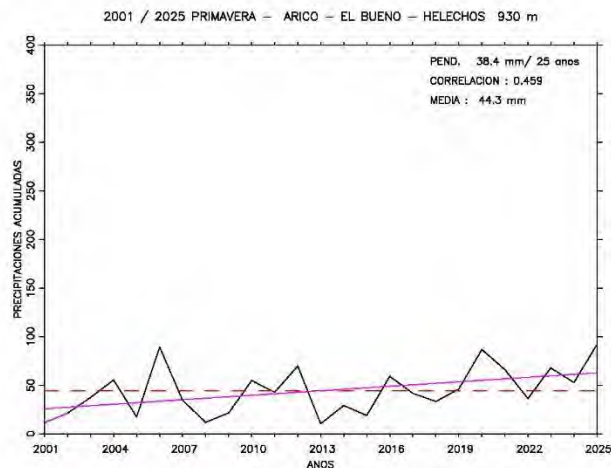
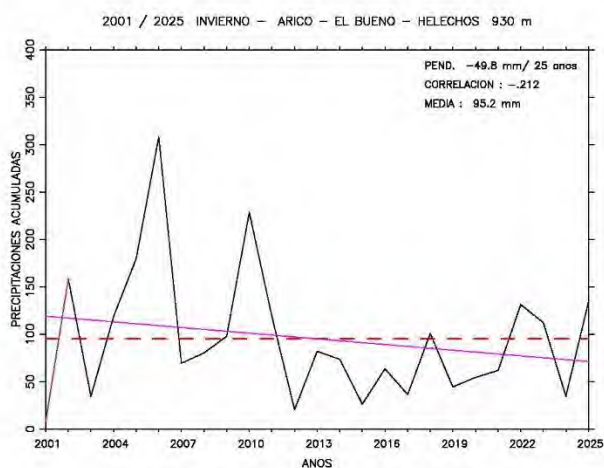
Tendencias de las precipitaciones anuales acumuladas

El lugar de observación tiene importancia geográfica al ser un lugar medianía alta noreste de Tenerife, zona agrícola de gran interés económico.

Evolución del volumen anual de precipitación acumulada. A escala anual existe una *tendencia negativa, leve descenso pluviométrico*, descenso aproximado de -1.1 mm / año. No se observa ciclos pluviométricos, solamente precipitaciones anuales notables 2005, 2010 y 2022 años lluviosos, y 2017 y 2003 años poco lluviosos.

Parámetros estadísticos de la serie temporal: media 273.1 mm, coeficiente variación 45.5 %, intervalo de confianza 109.4 mm y 436.7 mm, correlación -0.068, pendiente -27.7 mm / 25 años.

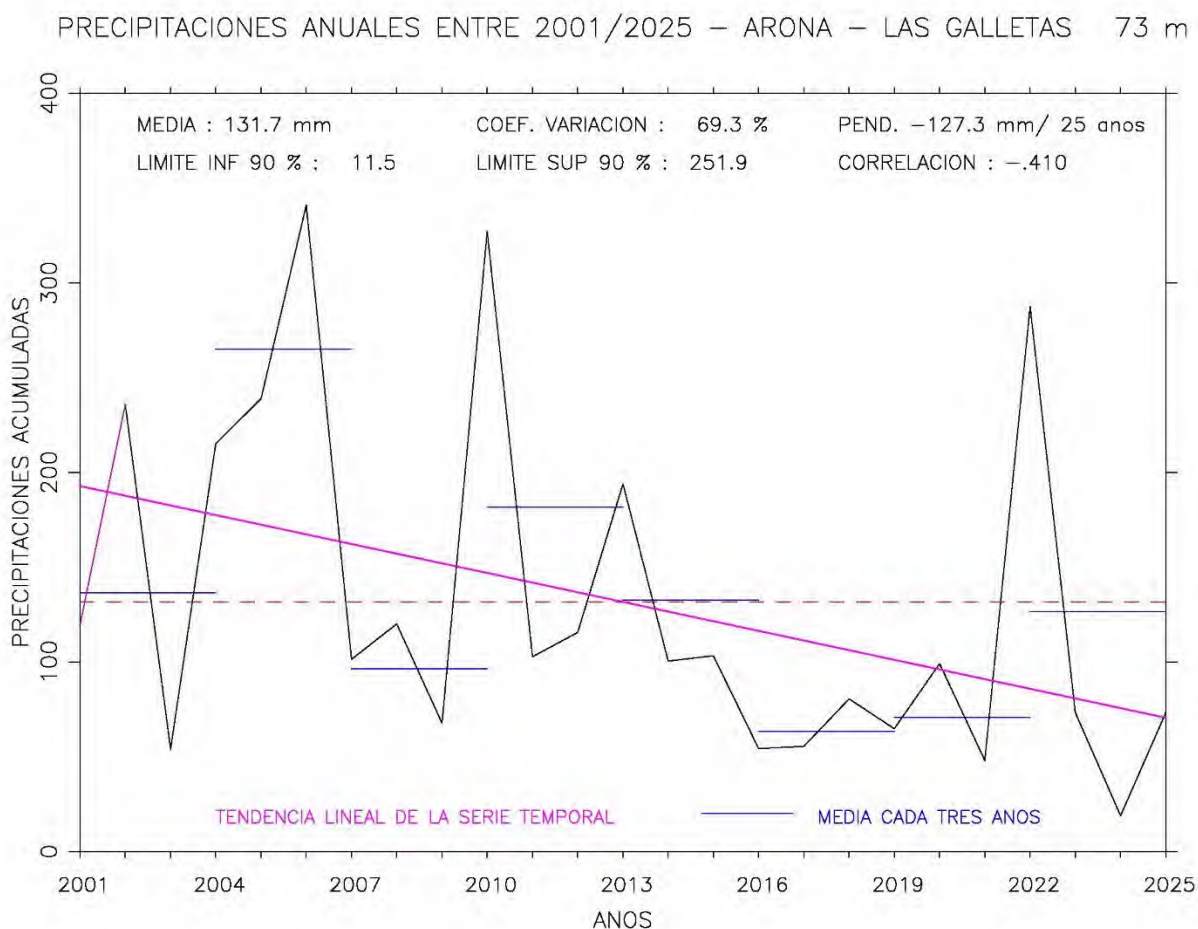
Arico – El Bueno – Los Helechos tiene precipitaciones escasas, notablemente dispersas



Tendencias de las precipitaciones estacionales acumuladas

A escala estacional existen diferentes tendencias pluviométricas. En invierno y otoño las *tendencias son negativas, destacados descensos pluviométricos*. En primavera y verano las *tendencias son positivas, leves ascensos pluviométricos*.

Parámetros estadísticos de la serie temporal en 25 años son los siguientes: *invierno* tiene media aritmética 95.1 mm, coeficiente variación 72.8 %, correlación -0.212, pendiente -49.8 mm/25 años; *primavera* tiene media 44.3 mm, coeficiente variación 55.8 %, correlación 0.308, pendiente 12.5 mm/25 años; *verano* tiene media 11.8 mm, coeficiente variación 73.6 %, correlación 0.216, pendiente 33 mm/25 años; *otoño* tiene media 107.8 mm, coeficiente variación 63.4 %. correlación -0.213, pendiente -49.3 mm/25 años.



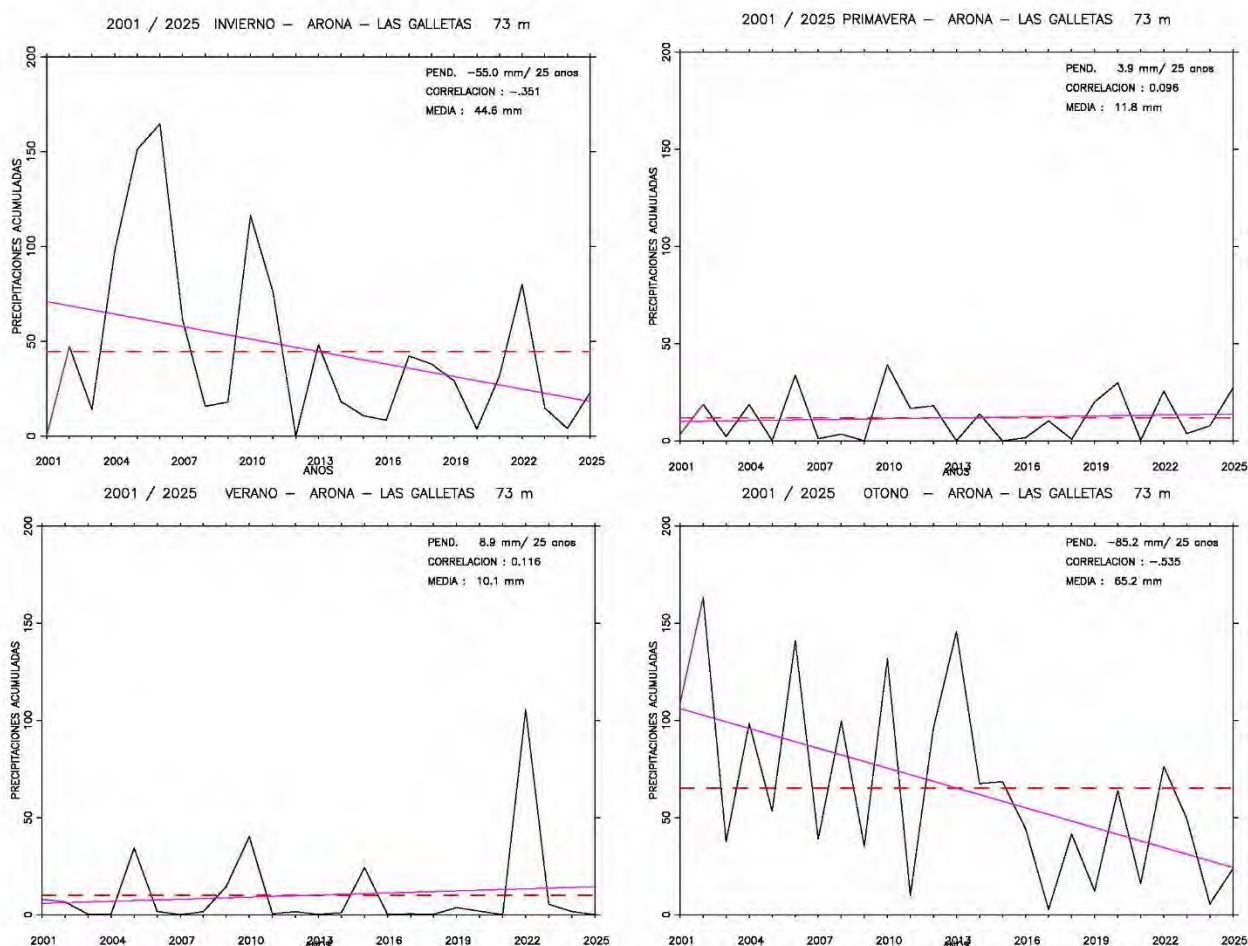
Tendencias de las precipitaciones anuales acumuladas

El lugar de observación tiene importancia geográfica al ser un lugar costero meridional, zonas urbana y agrícola de gran interés económico.

Evolución del volumen anual de precipitación acumulada. A escala anual existe una *tendencia negativa, notable descenso pluviométrico*, descenso aproximado de -5.1 mm / año. No se observa ciclos pluviométricos, solamente precipitaciones anuales notables 2005, 2010 y 2022 años lluviosos, y 2024, 2009 y 2003 años poco lluviosos.

Parámetros estadísticos de la serie temporal: media 131.7 mm, coeficiente de variación 69.3 %, intervalo de confianza 11.5 mm y 251.9 mm, correlación -0.41, pendiente -127.3 mm / 25 años.

Arona – Las Galletas tiene precipitaciones exiguas, notablemente dispersas



Tendencias de las precipitaciones estacionales acumuladas

A escala estacional existen diferentes tendencias pluviométricas. En invierno y otoño las *tendencias son negativas, notable e importante descensos pluviométricos*. En primavera y verano las *tendencias son positivas, exiguo y leve ascensos pluviométricos*.

Parámetros estadísticos de la serie temporal en 25 años son los siguientes: *invierno* tiene media aritmética 44.6 mm, coeficiente variación 103.4 %, correlación -0.351, pendiente -55 mm/ 25 años; *primavera* tiene media 11.8 mm, coeficiente variación 102.9 %, correlación 0.096, pendiente 3.9 mm/ 25 años; *verano* tiene media 10.1 mm, coeficiente variación 223.5 %, correlación 0.116, pendiente 8.9 mm/ 25 años; *otoño* tiene media 69.2 mm, coeficiente variación 71.9 %%, correlación -0.535, pendiente -85.2 mm/ 25 años.

PRECIPITACIONES ANUALES ENTRE 2002/2025 – GUIA DE ISORA 476 m



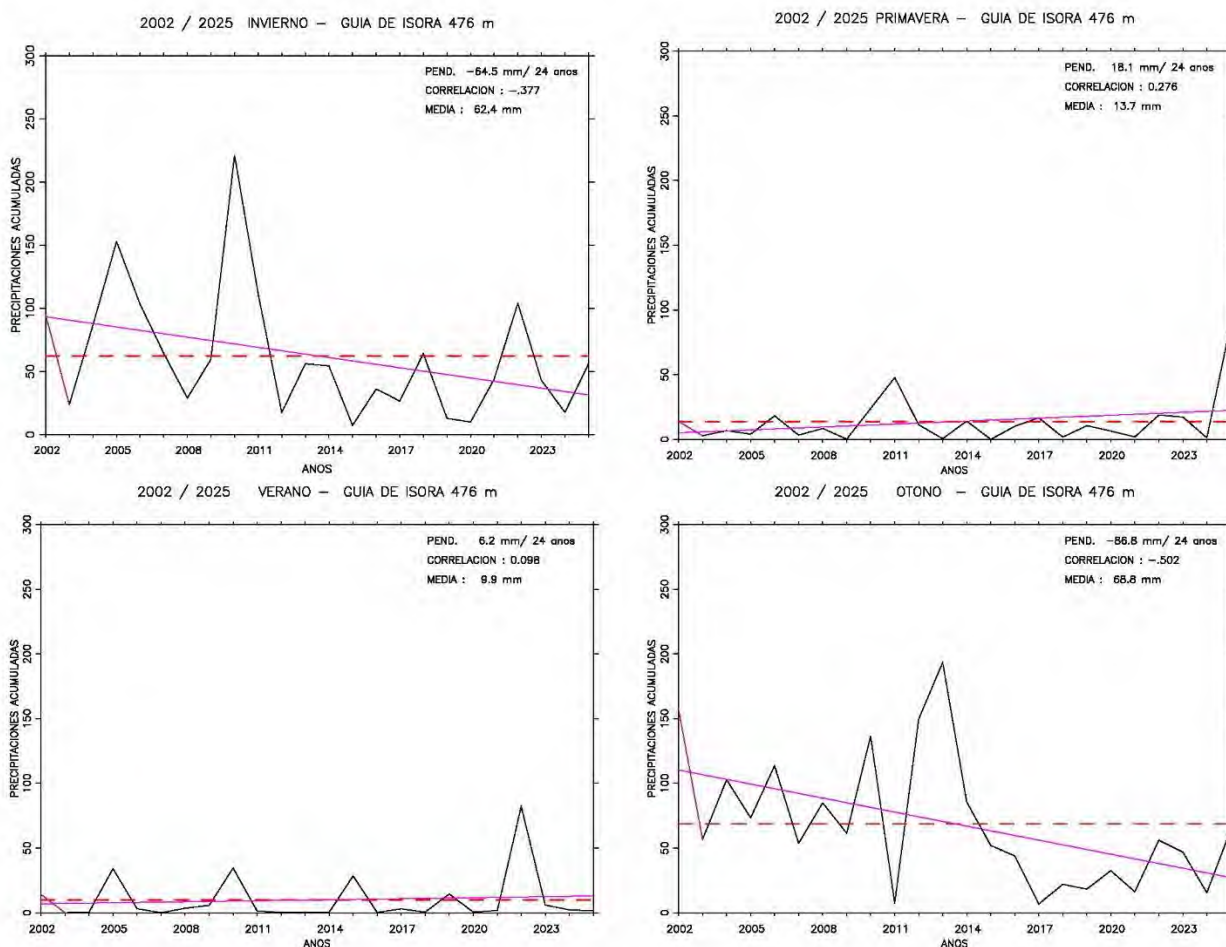
Tendencias de las precipitaciones anuales acumuladas

El lugar de observación tiene importancia geográfica al ser un lugar medianía baja oeste de Tenerife, zonas urbana y agrícola de gran interés económico.

Evolución del volumen anual de precipitación acumulada. A escala anual existe una *tendencia negativa, notable descenso pluviométrico*, descenso aproximado de -5.1 mm / año. No se observa ciclos pluviométricos, solamente precipitaciones anuales notables 2002, 2005, 2010 y 2022 años lluviosos, y 2017, 2020 y 2024 años poco lluviosos.

Parámetros estadísticos de la serie temporal: media 154.8 mm, coeficiente variación 61 %, intervalo de confianza 30.3 mm y 279.3 mm, correlación -0.396, pendiente -127 mm / 24 años.

Guía de Isora tiene precipitaciones exiguas, notablemente dispersas



Tendencias de las precipitaciones estacionales acumuladas

A escala estacional existen diferentes tendencias pluviométricas. En invierno y otoño las *tendencias son negativas, notable e importante descensos pluviométricos*. En primavera y verano las *tendencias son positivas, leve y exiguo ascensos pluviométricos*.

Parámetros estadísticos de la serie temporal en 24 años son los siguientes: *invierno* tiene media aritmética 62.4 mm, coeficiente variación 81 %, correlación -0.377, pendiente -64.5 mm/24 años; *primavera* tiene media 13.7 mm, coeficiente variación 140.8 %, correlación 0.276, pendiente 16.1 mm/24 años; *verano* tiene media 9.9 mm, coeficiente variación 188.46 %, correlación 0.098, pendiente 6.2 mm/24 años; *otoño* tiene media 68.8 mm, coeficiente variación 73.4 %, correlación -0.502, pendiente -86.5 mm/24 años.

ESTACIONES PLUVIOMÉTRICAS EN EL PERIODO 2005 A 2025. PRECIPITACIONES ESTACIONALES Y ANUALES MEDIAS

INV 90.9 mm	90 m	2005 a 2025	LAGUNA - TEJINA	PRI 30.0 mm	VER 16.8 mm	OTO 102.1 mm	239.8 mm
INV 181.5 mm	400 m	2005 a 2025	TEGUESTE - LA PADILLA	PRI 63.1 mm	VER 34.0 mm	OTO 183.1 mm	461.8 mm
INV 208.3 mm	550 m	2005 a 2025	SANTA ÚRSULA - LA CORUJERA	PRI 89.6 mm	VER 28.1 mm	OTO 224.1 mm	550.1 mm
INV 187.2 mm	632 m	2005 a 2025	LA LAGUNA - AEROPUERTO DE LOS RODEO	PRI 58.3 mm	VER 30.2 mm	OTO 188.5 mm	464.2 mm
INV 218.3 mm	650 m	2005 a 2025	MATANZA - CRUZ DEL CAMINO	PRI 88.7 mm	VER 36.4 mm	OTO 223.3 mm	566.7 mm
INV 233.2 mm	695 m	2005 a 2025	TACORONTE - AGUA GARCÍA	PRI 84.9 mm	VER 44.8 mm	OTO 241.7 mm	604.6 mm
INV 282.8 mm	922 m	2005 a 2025	EL SAUZAL - RAVELO	PRI 116.6 mm	VER 52.3 mm	OTO 279.2 mm	730.9 mm
INV 100.2 mm	25 m	2005 a 2025	PUERTO DE LA CRUZ	PRI 24.1 mm	VER 8.7 mm	OTO 105.7 mm	238.6 mm
INV 150.6 mm	216 m	2005 a 2025	LA OROTAVA - EL RINCÓN	PRI 47.4 mm	VER 12.4 mm	OTO 162.0 mm	372.3 mm
INV 194.4 mm	380 m	2005 a 2025	LA OROTAVA - LA PERDOMA EL RATIÑO	PRI 81.6 mm	VER 19.8 mm	OTO 192.7 mm	488.5 mm
INV 192.3 mm	550 m	2005 a 2025	LA OROTAVA - LA PERDOMA LA SUERTE	PRI 85.6 mm	VER 23.7 mm	OTO 193.8 mm	495.5 mm
INV 209.2 mm	595 m	2005 a 2025	LOS REALEJOS - PALO BLANCO	PRI 101.0 mm	VER 35.0 mm	OTO 201.8 mm	547.0 mm
INV 234.5 mm	770 m	2005 a 2025	LOS REALEJOS - ICOD EL ALTO	PRI 120.7 mm	VER 50.8 mm	OTO 219.6 mm	625.6 mm
INV 190.5 mm	906 m	2005 a 2025	LA OROTAVA - BENIJOS	PRI 89.5 mm	VER 32.8 mm	OTO 193.9 mm	506.8 mm
INV 116.6 mm	2369 m	2005 a 2025	LA OROTAVA - IZAÑA	PRI 18.0 mm	VER 19.4 mm	OTO 115.2 mm	269.2 mm
INV 100.1 mm	60 m	2005 a 2025	LA GUANCHA - CHARCO DEL VIENTO	PRI 28.2 mm	VER 10.6 mm	OTO 110.5 mm	249.4 mm
INV 86.9 mm	66 m	2005 a 2025	BUENAVISTA DEL NORTE	PRI 20.1 mm	VER 8.1 mm	OTO 98.2 mm	213.3 mm
INV 179.3 mm	475 m	2005 a 2025	ICOD DE LOS VINOS - SANTA BÁRBARA	PRI 72.1 mm	VER 24.1 mm	OTO 178.1 mm	453.7 mm
INV 213.6 mm	450 m	2005 a 2025	LOS SILOS - TIERRA del TRIGO	PRI 73.5 mm	VER 44.2 mm	OTO 224.1 mm	555.4 mm
INV 195.6 mm	525 m	2005 a 2025	ICOD DE LOS VINOS - REDONDO	PRI 76.0 mm	VER 25.9 mm	OTO 195.7 mm	493.2 mm

Precipitaciones en el periodo 2005-2025 en Tenerife. Tendencias pluviométricas en los últimos 21 años

INV 172.0 mm	555 m	2005 a 2025	BUENAVISTA DEL NORTE - PALMAR	PRI 49.6 mm	VER 22.3 mm	OTO 205.1 mm	449.0 mm
INV 233.4 mm	880 m	2005 a 2025	EL TANQUE - RUIGÓMEZ	PRI 73.4 mm	VER 33.6 mm	OTO 209.2 mm	549.5 mm
INV 45.5 mm	73 m	2005 a 2025	ARONA - LAS GALLETAS	PRI 12.0 mm	VER 11.3 mm	OTO 58.2 mm	127.0 mm
INV 61.5 mm	476 m	2005 a 2025	GUÍA DE ISORA	PRI 14.5 mm	VER 10.7 mm	OTO 63.5 mm	150.2 mm
INV 84.5 mm	700 m	2005 a 2025	GUÍA DE ISORA - EL POZO	PRI 17.9 mm	VER 17.6 mm	OTO 79.0 mm	199.0 mm
INV 85.2 mm	735 m	2005 a 2025	GUÍA DE ISORA - CHÍO	PRI 19.1 mm	VER 11.6 mm	OTO 86.5 mm	202.3 mm
INV 199.8 mm	990 m	2005 a 2025	SANTIAGO DEL TEIDE - VALLE ARRIBA	PRI 38.7 mm	VER 13.8 mm	OTO 175.1 mm	427.4 mm
INV 116.6 mm	1258 m	2005 a 2025	VILAFLORES - EL FRONTÓN	PRI 31.8 mm	VER 25.4 mm	OTO 115.8 mm	289.6 mm
INV 89.3 mm	2150 m	2005 a 2025	LA OROTAVA - CAÑADAS - PARADOR	PRI 21.1 mm	VER 20.6 mm	OTO 87.7 mm	218.8 mm
INV 47.3 mm	64 m	2005 a 2025	GRANADILLA - AEROPUERTO DEL SUR	PRI 11.7 mm	VER 10.1 mm	OTO 53.6 mm	122.8 mm
INV 58.7 mm	135 m	2005 a 2025	ARICO - LLANOS de SAN JUAN	PRI 14.6 mm	VER 13.7 mm	OTO 71.3 mm	158.2 mm
INV 61.3 mm	410 m	2005 a 2025	ARICO - TEGUEDITE - EL VISO	PRI 29.1 mm	VER 22.1 mm	OTO 73.8 mm	186.3 mm
INV 93.0 mm	500 m	2005 a 2025	GÜIMAR - LOMO MENA	PRI 30.8 mm	VER 21.3 mm	OTO 91.5 mm	236.6 mm
INV 92.1 mm	505 m	2005 a 2025	GRANADILLA - CHARCO DEL PINO	PRI 28.6 mm	VER 18.4 mm	OTO 93.5 mm	232.6 mm
INV 135.2 mm	850 m	2005 a 2025	GRANADILLA - EL PINALETE	PRI 43.8 mm	VER 18.2 mm	OTO 107.6 mm	304.8 mm
INV 98.1 mm	930 m	2005 a 2025	ARICO - EL BUENO	PRI 46.7 mm	VER 28.3 mm	OTO 104.9 mm	278.0 mm
INV 73.4 mm	156 m	2005 a 2025	GÜIMAR - LA PLANTA	PRI 12.8 mm	VER 19.2 mm	OTO 53.7 mm	159.1 mm
INV 87.0 mm	290 m	2005 a 2025	GÜIMAR - TOPO NEGRO	PRI 18.8 mm	VER 25.2 mm	OTO 81.3 mm	212.4 mm
INV 114.1 mm	340 m	2005 a 2025	GÜIMAR - BARRANCO DE BADAJOZ	PRI 35.7 mm	VER 37.7 mm	OTO 107.7 mm	295.3 mm
INV 182.1 mm	700 m	2005 a 2025	ARAFO - AÑAVINGO	PRI 40.8 mm	VER 35.9 mm	OTO 120.8 mm	379.6 mm
INV 95.1 mm	36 m	2005 a 2025	SANTA CRUZ DE TENERIFE	PRI 12.9 mm	VER 13.5 mm	OTO 87.3 mm	208.9 mm

ESTACIONES PLUVIOMÉTRICAS EN EL PERIODO 2010 A 2025. PRECIPITACIONES ESTACIONALES Y ANUALES MEDIAS

INV 83.3 mm	90 m	2010 a 2025	LAGUNA - TEJINA	PRI 31.7 mm	VER 17.4 mm	OTO 103.1 mm	235.5 mm
INV 131.2 mm	205 m	2010 a 2025	SANTA ÚRSULA - EL MALPAIS	PRI 46.1 mm	VER 16.9 mm	OTO 157.1 mm	351.2 mm
INV 167.2 mm	375 m	2010 a 2025	TEGUESTE - ISORA	PRI 70.9 mm	VER 40.0 mm	OTO 178.5 mm	456.5 mm
INV 161.7 mm	400 m	2010 a 2025	TEGUESTE - LA PADILLA	PRI 67.2 mm	VER 38.1 mm	OTO 182.0 mm	449.1 mm
INV 184.0 mm	530 m	2010 a 2025	SANTA ÚRSULA - LAS TIERRAS	PRI 93.1 mm	VER 30.0 mm	OTO 217.1 mm	524.2 mm
INV 194.1 mm	550 m	2010 a 2025	SANTA ÚRSULA - LA CORUJERA	PRI 89.7 mm	VER 29.8 mm	OTO 220.1 mm	533.6 mm
INV 182.8 mm	567 m	2010 a 2025	LA VICTORIA - LOMO MARRERO	PRI 79.7 mm	VER 21.6 mm	OTO 234.2 mm	518.4 mm
INV 174.9 mm	632 m	2010 a 2025	LA LAGUNA - AEROPUERTO DE LOS RODEO	PRI 59.7 mm	VER 33.1 mm	OTO 197.5 mm	465.2 mm
INV 210.7 mm	650 m	2010 a 2025	MATANZA - CRUZ DEL CAMINO	PRI 95.2 mm	VER 40.9 mm	OTO 222.8 mm	569.5 mm
INV 218.7 mm	695 m	2010 a 2025	TACORONTE - AGUA GARCÍA	PRI 93.1 mm	VER 49.3 mm	OTO 236.3 mm	597.3 mm
INV 331.9 mm	868 m	2010 a 2025	LA LAGUNA - LAS MERCEDES LLANO LOS	PRI 131.1 mm	VER 73.7 mm	OTO 355.3 mm	892.0 mm
INV 278.7 mm	922 m	2010 a 2025	EL SAUZAL - RAVELO	PRI 118.8 mm	VER 58.0 mm	OTO 297.2 mm	752.7 mm
INV 250.0 mm	1745 m	2010 a 2025	LA VICTORIA - EL GAITERO	PRI 85.9 mm	VER 23.2 mm	OTO 251.1 mm	610.1 mm
INV 102.1 mm	25 m	2010 a 2025	PUERTO DE LA CRUZ	PRI 24.6 mm	VER 10.6 mm	OTO 109.6 mm	246.8 mm
INV 140.3 mm	216 m	2010 a 2025	LA OROTAVA - EL RINCÓN	PRI 48.9 mm	VER 12.2 mm	OTO 160.8 mm	362.2 mm
INV 194.6 mm	380 m	2010 a 2025	LA OROTAVA - LA PERDOMA EL RATIÑO	PRI 83.4 mm	VER 20.1 mm	OTO 197.0 mm	495.1 mm
INV 182.8 mm	550 m	2010 a 2025	LA OROTAVA - LA PERDOMA LA SUERTE	PRI 91.2 mm	VER 24.5 mm	OTO 195.6 mm	494.0 mm
INV 205.4 mm	595 m	2010 a 2025	LOS REALEJOS - PALO BLANCO	PRI 99.7 mm	VER 36.5 mm	OTO 200.8 mm	542.3 mm
INV 232.3 mm	770 m	2010 a 2025	LOS REALEJOS - ICOD EL ALTO	PRI 123.3 mm	VER 53.1 mm	OTO 229.8 mm	638.5 mm
	906 m	2010 a 2025	LA OROTAVA - BENIJOS				

Precipitaciones en el periodo 2005-2025 en Tenerife. Tendencias pluviométricas en los últimos 21 años

INV 184.3 mm	PRI 90.3 mm	VER 34.2 mm	OTO 193.1 mm	501.9 mm
1065 m	2010 a 2025	LA OROTAVA - AGUAMANSA		
INV 232.4 mm	PRI 104.2 mm	VER 31.0 mm	OTO 214.3 mm	582.0 mm
2369 m	2010 a 2025	LA OROTAVA - IZAÑA		
INV 87.5 mm	PRI 16.1 mm	VER 20.8 mm	OTO 114.7 mm	239.0 mm
60 m	2010 a 2025	LA GUANCHA - CHARCO DEL VIENTO		
INV 95.1 mm	PRI 30.8 mm	VER 11.8 mm	OTO 111.6 mm	249.3 mm
66 m	2010 a 2025	BUENAVISTA DEL NORTE		
INV 77.0 mm	PRI 23.1 mm	VER 8.3 mm	OTO 94.8 mm	203.3 mm
475 m	2010 a 2025	ICOD DE LOS VINOS - SANTA BÁRBARA		
INV 172.6 mm	PRI 76.6 mm	VER 25.4 mm	OTO 178.0 mm	452.6 mm
450 m	2010 a 2025	LOS SILOS - TIERRA del TRIGO		
INV 210.7 mm	PRI 77.1 mm	VER 48.9 mm	OTO 223.1 mm	559.8 mm
525 m	2010 a 2025	ICOD DE LOS VINOS - REDONDO		
INV 188.2 mm	PRI 83.3 mm	VER 26.7 mm	OTO 195.8 mm	494.0 mm
555 m	2010 a 2025	BUENAVISTA DEL NORTE - PALMAR		
INV 157.8 mm	PRI 54.1 mm	VER 23.1 mm	OTO 199.0 mm	434.1 mm
880 m	2010 a 2025	EL TANQUE - RUIGÓMEZ		
INV 213.0 mm	PRI 74.4 mm	VER 33.2 mm	OTO 224.5 mm	545.0 mm
73 m	2010 a 2025	ARONA - LAS GALLETAS		
INV 34.0 mm	PRI 13.4 mm	VER 11.6 mm	OTO 53.4 mm	112.4 mm
476 m	2010 a 2025	GUÍA DE ISORA		
INV 55.2 mm	PRI 17.0 mm	VER 11.1 mm	OTO 59.2 mm	142.4 mm
700 m	2010 a 2025	GUÍA DE ISORA - EL POZO		
INV 77.3 mm	PRI 20.3 mm	VER 18.7 mm	OTO 79.4 mm	195.7 mm
735 m	2010 a 2025	GUÍA DE ISORA - CHÍO		
INV 80.5 mm	PRI 21.6 mm	VER 14.0 mm	OTO 79.1 mm	195.1 mm
990 m	2010 a 2025	SANTIAGO DEL TEIDE - VALLE ARRIBA		
INV 182.7 mm	PRI 42.9 mm	VER 13.6 mm	OTO 165.1 mm	404.2 mm
1258 m	2010 a 2025	VILAFLORES - EL FRONTÓN		
INV 97.1 mm	PRI 37.8 mm	VER 24.2 mm	OTO 98.8 mm	257.9 mm
1950 m	2010 a 2025	GUÍA DE ISORA - CHAVAO		
INV 97.7 mm	PRI 35.7 mm	VER 19.3 mm	OTO 106.9 mm	259.5 mm
2150 m	2010 a 2025	LA OROTAVA - CAÑADAS - PARADOR		
INV 78.5 mm	PRI 26.8 mm	VER 21.4 mm	OTO 90.5 mm	217.3 mm
64 m	2010 a 2025	GRANADILLA - AEROPUERTO DEL SUR		
INV 31.4 mm	PRI 12.7 mm	VER 10.5 mm	OTO 47.4 mm	102.0 mm
135 m	2010 a 2025	ARICO - LLANOS de SAN JUAN		
INV 44.8 mm	PRI 16.3 mm	VER 12.1 mm	OTO 66.1 mm	139.2 mm
381 m	2010 a 2025	ARICO - ICOR		
INV 51.6 mm	PRI 28.9 mm	VER 19.7 mm	OTO 74.3 mm	174.5 mm
410 m	2010 a 2025	ARICO - TEGUEDITE - EL VISO		

Precipitaciones en el periodo 2005-2025 en Tenerife. Tendencias pluviométricas en los últimos 21 años

INV	52.5 mm	PRI	32.2 mm	VER	20.6 mm	OTO	68.2 mm	173.5 mm
			418 m	2010 a 2025	ARICO - LA DEGOLLADA			
INV	62.4 mm	PRI	33.7 mm	VER	18.7 mm	OTO	64.1 mm	178.9 mm
			500 m	2010 a 2025	GÜIMAR - LOMO MENA			
INV	64.5 mm	PRI	34.6 mm	VER	20.9 mm	OTO	93.2 mm	213.2 mm
			505 m	2010 a 2025	GRANADILLA - CHARCO DEL PINO			
INV	71.3 mm	PRI	32.8 mm	VER	18.2 mm	OTO	88.2 mm	210.5 mm
			850 m	2010 a 2025	GRANADILLA - EL PINALETE			
INV	115.7 mm	PRI	47.9 mm	VER	16.5 mm	OTO	93.5 mm	273.5 mm
			930 m	2010 a 2025	ARICO - EL BUENO			
INV	82.8 mm	PRI	50.4 mm	VER	29.4 mm	OTO	108.4 mm	271.0 mm
			1630 m	2010 a 2025	ARICO - LOS PICACHOS			
INV	53.5 mm	PRI	18.6 mm	VER	14.3 mm	OTO	65.9 mm	152.4 mm
			156 m	2010 a 2025	GÜIMAR - LA PLANTA			
INV	50.1 mm	PRI	13.3 mm	VER	20.4 mm	OTO	48.7 mm	132.5 mm
			290 m	2010 a 2025	GÜIMAR - TOPO NEGRO			
INV	64.3 mm	PRI	20.5 mm	VER	28.4 mm	OTO	80.5 mm	193.7 mm
			340 m	2010 a 2025	GÜIMAR - BARRANCO DE BADAJOZ			
INV	84.6 mm	PRI	39.5 mm	VER	42.4 mm	OTO	106.9 mm	273.4 mm
			463 m	2010 a 2025	CANDELARIA - LAS CUEVECITAS			
INV	96.0 mm	PRI	22.6 mm	VER	30.5 mm	OTO	84.4 mm	233.4 mm
			700 m	2010 a 2025	ARAFO - AÑAVINGO			
INV	158.7 mm	PRI	43.7 mm	VER	39.9 mm	OTO	122.2 mm	364.5 mm
			19 m	2010 a 2025	SANTA CRUZ DE TENERIFE -SAN ANDRES			
INV	93.6 mm	PRI	21.3 mm	VER	17.0 mm	OTO	111.4 mm	243.2 mm
			36 m	2010 a 2025	SANTA CRUZ DE TENERIFE			
INV	79.2 mm	PRI	11.1 mm	VER	12.6 mm	OTO	86.9 mm	189.8 mm
			655 m	2010 a 2025	EL ROSARIO - LOS BALDIOS			
INV	226.9 mm	PRI	82.5 mm	VER	39.8 mm	OTO	239.9 mm	589.2 mm

ESTACIONES PLUVIOMÉTRICAS EN EL PERIODO 2015 A 2025. PRECIPITACIONES ESTACIONALES Y ANUALES MEDIAS

			90 m	2015 a 2025	LAGUNA - TEJINA			
INV	87.3 mm	PRI	34.4 mm	VER	16.8 mm	OTO	83.9 mm	222.4 mm
			205 m	2015 a 2025	SANTA ÚRSULA - EL MALPAIS			
INV	138.4 mm	PRI	45.9 mm	VER	16.1 mm	OTO	134.3 mm	334.7 mm
			305 m	2015 a 2025	SANTA CRUZ TFE - TAGANANA			
INV	119.1 mm	PRI	46.8 mm	VER	39.2 mm	OTO	152.0 mm	357.1 mm
			310 m	2015 a 2025	TACORONTE - EXTENSION AGRARIA			
INV	128.9 mm	PRI	56.3 mm	VER	31.6 mm	OTO	125.4 mm	342.3 mm
			375 m	2015 a 2025	TEGUESTE - ISORA			
INV	171.4 mm	PRI	80.0 mm	VER	45.9 mm	OTO	177.2 mm	474.5 mm

Precipitaciones en el periodo 2005-2025 en Tenerife. Tendencias pluviométricas en los últimos 21 años

INV 148.6 mm	400 m	2015 a 2025	TEGUESTE - LA PADILLA	PRI 67.1 mm	VER 36.2 mm	OTO 157.2 mm	409.0 mm
INV 189.0 mm	530 m	2015 a 2025	SANTA ÚRSULA - LAS TIERRAS	PRI 85.4 mm	VER 25.6 mm	OTO 186.8 mm	486.8 mm
INV 204.1 mm	550 m	2015 a 2025	SANTA ÚRSULA - LA CORUJERA	PRI 86.9 mm	VER 29.5 mm	OTO 197.8 mm	518.3 mm
INV 173.3 mm	564 m	2015 a 2025	LA LAGUNA -ESCUELA INGENIERIA AGRAR	PRI 53.6 mm	VER 33.3 mm	OTO 156.4 mm	416.6 mm
INV 228.5 mm	567 m	2015 a 2025	LA VICTORIA - LOMO MARRERO	PRI 87.9 mm	VER 24.3 mm	OTO 209.3 mm	550.0 mm
INV 164.4 mm	632 m	2015 a 2025	LA LAGUNA - AEROPUERTO DE LOS RODEO	PRI 61.0 mm	VER 35.0 mm	OTO 159.3 mm	419.7 mm
INV 225.7 mm	650 m	2015 a 2025	MATANZA - CRUZ DEL CAMINO	PRI 99.9 mm	VER 42.2 mm	OTO 203.1 mm	570.8 mm
INV 215.9 mm	695 m	2015 a 2025	TACORONTE - AGUA GARCÍA	PRI 97.3 mm	VER 49.4 mm	OTO 211.6 mm	574.2 mm
INV 346.3 mm	868 m	2015 a 2025	LA LAGUNA - LAS MERCEDES LLANO LOS	PRI 130.2 mm	VER 77.6 mm	OTO 337.3 mm	891.4 mm
INV 285.0 mm	922 m	2015 a 2025	EL SAUZAL - RAVELO	PRI 122.4 mm	VER 59.2 mm	OTO 266.3 mm	732.8 mm
INV 230.4 mm	1745 m	2015 a 2025	LA VICTORIA - EL GAITERO	PRI 66.2 mm	VER 22.6 mm	OTO 251.8 mm	571.0 mm
INV 88.4 mm	25 m	2015 a 2025	PUERTO DE LA CRUZ	PRI 24.1 mm	VER 8.5 mm	OTO 99.5 mm	220.5 mm
INV 145.5 mm	216 m	2015 a 2025	LA OROTAVA - EL RINCÓN	PRI 47.1 mm	VER 9.6 mm	OTO 144.0 mm	346.2 mm
INV 183.3 mm	380 m	2015 a 2025	LA OROTAVA - LA PERDOMA EL RATIÑO	PRI 74.8 mm	VER 16.5 mm	OTO 162.0 mm	436.6 mm
INV 180.1 mm	550 m	2015 a 2025	LA OROTAVA - LA PERDOMA LA SUERTE	PRI 82.5 mm	VER 21.3 mm	OTO 168.7 mm	452.6 mm
INV 212.2 mm	595 m	2015 a 2025	LOS REALEJOS - PALO BLANCO	PRI 90.5 mm	VER 31.2 mm	OTO 173.0 mm	507.0 mm
INV 256.7 mm	770 m	2015 a 2025	LOS REALEJOS - ICOD EL ALTO	PRI 120.5 mm	VER 52.5 mm	OTO 209.4 mm	639.0 mm
INV 193.2 mm	906 m	2015 a 2025	LA OROTAVA - BENIJOS	PRI 87.5 mm	VER 30.4 mm	OTO 174.2 mm	485.2 mm
INV 238.1 mm	1065 m	2015 a 2025	LA OROTAVA - AGUAMANSA	PRI 99.1 mm	VER 28.9 mm	OTO 171.0 mm	537.1 mm
INV 95.2 mm	2369 m	2015 a 2025	LA OROTAVA - IZAÑA	PRI 14.7 mm	VER 23.0 mm	OTO 86.2 mm	219.1 mm
INV 85.1 mm	53 m	2015 a 2025	LOS SILOS - AGROCABILDO	PRI 24.7 mm	VER 11.0 mm	OTO 82.7 mm	203.5 mm

Precipitaciones en el periodo 2005-2025 en Tenerife. Tendencias pluviométricas en los últimos 21 años

INV	95.3 mm	60 m	2015 a 2025	LA GUANCHA - CHARCO DEL VIENTO	PRI	27.8 mm	VER	11.2 mm	OTO	77.3 mm	211.6 mm
INV	71.9 mm	66 m	2015 a 2025	BUENAVISTA DEL NORTE	PRI	22.4 mm	VER	7.8 mm	OTO	65.9 mm	168.0 mm
INV	127.2 mm	200 m	2015 a 2025	ICOD DE LOS VINOS - DRAGO	PRI	44.3 mm	VER	16.5 mm	OTO	117.8 mm	305.7 mm
INV	163.7 mm	475 m	2015 a 2025	ICOD DE LOS VINOS - SANTA BÁRBARA	PRI	72.4 mm	VER	22.3 mm	OTO	129.3 mm	387.7 mm
INV	186.7 mm	450 m	2015 a 2025	LOS SILOS - TIERRA del TRIGO	PRI	73.6 mm	VER	45.3 mm	OTO	189.4 mm	495.0 mm
INV	186.0 mm	525 m	2015 a 2025	ICOD DE LOS VINOS - REDONDO	PRI	81.9 mm	VER	24.6 mm	OTO	156.2 mm	448.6 mm
INV	154.7 mm	555 m	2015 a 2025	BUENAVISTA DEL NORTE - PALMAR	PRI	55.6 mm	VER	25.9 mm	OTO	162.4 mm	398.7 mm
INV	212.6 mm	880 m	2015 a 2025	EL TANQUE - RUIGÓMEZ	PRI	74.0 mm	VER	35.8 mm	OTO	178.8 mm	501.2 mm
INV	38.0 mm	30 m	2015 a 2025	GUÍA DE ISORA - ALCALÁ	PRI	12.5 mm	VER	8.8 mm	OTO	35.3 mm	94.5 mm
INV	26.0 mm	73 m	2015 a 2025	ARONA - LAS GALLETAS	PRI	11.5 mm	VER	13.0 mm	OTO	36.7 mm	87.1 mm
INV	19.6 mm	130 m	2015 a 2025	ADEJE - HOYA GRANDE	PRI	12.0 mm	VER	11.1 mm	OTO	32.4 mm	75.1 mm
INV	17.8 mm	130 m	2015 a 2025	ADEJE - CALDERA	PRI	10.6 mm	VER	12.7 mm	OTO	46.4 mm	87.5 mm
INV	38.3 mm	476 m	2015 a 2025	GUÍA DE ISORA	PRI	15.8 mm	VER	12.8 mm	OTO	34.1 mm	101.0 mm
INV	59.5 mm	700 m	2015 a 2025	GUÍA DE ISORA - EL POZO	PRI	19.6 mm	VER	21.1 mm	OTO	47.1 mm	147.3 mm
INV	66.6 mm	735 m	2015 a 2025	GUÍA DE ISORA - CHÍO	PRI	21.1 mm	VER	16.0 mm	OTO	55.0 mm	158.8 mm
INV	171.4 mm	990 m	2015 a 2025	SANTIAGO DEL TEIDE - VALLE ARRIBA	PRI	42.8 mm	VER	15.8 mm	OTO	122.9 mm	352.9 mm
INV	70.6 mm	1258 m	2015 a 2025	VILAFLORES - EL FRONTÓN	PRI	36.7 mm	VER	29.8 mm	OTO	61.2 mm	198.3 mm
INV	59.2 mm	1833 m	2015 a 2025	VILAFLORES - LOS TOPOS	PRI	25.5 mm	VER	25.8 mm	OTO	67.1 mm	177.7 mm
INV	77.3 mm	1950 m	2015 a 2025	GUÍA DE ISORA - CHAVAO	PRI	33.0 mm	VER	19.5 mm	OTO	68.0 mm	197.7 mm
INV	69.1 mm	2150 m	2015 a 2025	LA OROTAVA - CAÑADAS - PARADOR	PRI	18.9 mm	VER	23.7 mm	OTO	58.6 mm	170.3 mm
INV	24.9 mm	64 m	2015 a 2025	GRANADILLA - AEROPUERTO DEL SUR	PRI	12.3 mm	VER	13.4 mm	OTO	34.3 mm	84.9 mm

Precipitaciones en el periodo 2005-2025 en Tenerife. Tendencias pluviométricas en los últimos 21 años

INV	36.4 mm	135 m	2015 a 2025	ARICO - LLANOS de SAN JUAN	PRI 16.9 mm	VER 15.5 mm	OTO 48.2 mm	117.0 mm
INV	43.1 mm	381 m	2015 a 2025	ARICO - ICOR	PRI 30.9 mm	VER 23.6 mm	OTO 74.9 mm	172.5 mm
INV	44.5 mm	410 m	2015 a 2025	ARICO - TEGUEDITE - EL VISO	PRI 32.4 mm	VER 25.2 mm	OTO 50.6 mm	152.7 mm
INV	61.8 mm	418 m	2015 a 2025	ARICO - LA DEGOLLADA	PRI 37.5 mm	VER 22.3 mm	OTO 64.2 mm	185.8 mm
INV	58.2 mm	500 m	2015 a 2025	GÜIMAR - LOMO MENA	PRI 38.2 mm	VER 25.0 mm	OTO 90.8 mm	212.2 mm
INV	55.9 mm	505 m	2015 a 2025	GRANADILLA - CHARCO DEL PINO	PRI 31.3 mm	VER 23.7 mm	OTO 60.9 mm	171.8 mm
INV	88.2 mm	850 m	2015 a 2025	GRANADILLA - EL PINALETE	PRI 48.1 mm	VER 20.2 mm	OTO 72.3 mm	228.8 mm
INV	72.8 mm	930 m	2015 a 2025	ARICO - EL BUENO	PRI 54.6 mm	VER 35.5 mm	OTO 94.3 mm	257.2 mm
INV	41.4 mm	1630 m	2015 a 2025	ARICO - LOS PICACHOS	PRI 19.5 mm	VER 16.3 mm	OTO 55.1 mm	132.3 mm
INV	47.8 mm	156 m	2015 a 2025	GÜIMAR - LA PLANTA	PRI 15.8 mm	VER 27.0 mm	OTO 40.5 mm	131.1 mm
INV	62.6 mm	290 m	2015 a 2025	GÜIMAR - TOPO NEGRO	PRI 17.8 mm	VER 35.0 mm	OTO 78.7 mm	194.1 mm
INV	82.0 mm	340 m	2015 a 2025	GÜIMAR - BARRANCO DE BADAJOZ	PRI 34.5 mm	VER 52.0 mm	OTO 107.3 mm	275.8 mm
INV	106.7 mm	463 m	2015 a 2025	CANDELARIA - LAS CUEVECITAS	PRI 23.8 mm	VER 38.0 mm	OTO 73.1 mm	241.7 mm
INV	127.5 mm	525 m	2015 a 2025	CANDELARIA - ARAYA	PRI 28.5 mm	VER 45.0 mm	OTO 108.2 mm	309.2 mm
INV	148.6 mm	700 m	2015 a 2025	ARAFO - AÑAVINGO	PRI 36.8 mm	VER 47.7 mm	OTO 112.4 mm	345.4 mm
INV	105.7 mm	19 m	2015 a 2025	SANTA CRUZ DE TENERIFE - SAN ANDRES	PRI 22.6 mm	VER 23.2 mm	OTO 89.5 mm	241.0 mm
INV	79.8 mm	36 m	2015 a 2025	SANTA CRUZ DE TENERIFE	PRI 9.7 mm	VER 16.2 mm	OTO 69.0 mm	174.7 mm
INV	131.6 mm	75 m	2015 a 2025	SANTA CRUZ TFE - IGUESTE DE SAN AND	PRI 32.6 mm	VER 36.5 mm	OTO 132.1 mm	332.9 mm
INV	91.8 mm	136 m	2015 a 2025	SANTA CRUZ TENERIFE - AGROCABILDO	PRI 15.6 mm	VER 18.0 mm	OTO 74.7 mm	200.1 mm
INV	224.3 mm	655 m	2015 a 2025	EL ROSARIO - LOS BALDIOS	PRI 78.6 mm	VER 36.5 mm	OTO 193.5 mm	532.9 mm
INV	197.9 mm	724 m	2015 a 2025	SANTA CRUZ TFE - EL BAILADERO	PRI 90.3 mm	VER 65.0 mm	OTO 206.3 mm	559.5 mm

**PRECIPITACIONES MENSUALES Y ANUALES ACUMULADAS EN LAS ESTACIONES
PLUVIOMÉTRICAS QUE INTERVIENEN EN LA OBTENCIÓN DE LOS VALORES
MEDIOS ESTACIONALES Y ANUALES DURANTE EL PERIODO 2005 A 2025**

90 m 2005 a 2025 LAGUNA - TEJINA

	ENE	FEB	MRZ	ABR	MAY	JUN	JUL	AGT	SEP	OCT	NOV	DIC	ANUAL
2005	21.4	87.6	28.5	5.5	3.1	1.1	0.0	18.4	7.7	40.1	22.7	39.0	275.1
2006	63.2	42.2	7.6	18.1	1.9	3.7	0.3	0.2	18.2	11.9	32.1	13.7	213.1
2007	28.4	11.9	98.6	17.9	32.4	0.5	6.4	3.7	0.6	9.7	19.8	53.6	283.5
2008	1.1	26.2	7.5	1.7	5.4	0.3	0.6	1.0	11.7	58.7	19.7	26.7	160.6
2009	47.4	43.6	61.6	22.4	2.4	5.8	0.0	1.0	5.4	2.0	97.8	46.8	336.2
2010	15.3	45.8	8.1	0.2	19.3	12.9	5.9	1.4	28.6	52.2	26.2	9.2	225.1
2011	47.9	8.2	54.7	21.6	2.6	2.5	18.4	9.6	3.1	15.7	32.6	9.3	226.2
2012	6.8	9.9	0.0	21.5	2.4	6.8	0.0	0.8	9.7	47.3	187.9	1.6	294.7
2013	7.4	10.9	27.9	5.1	7.4	8.7	0.7	0.5	3.0	15.0	21.0	105.5	213.1
2014	80.2	32.8	16.9	12.1	3.6	2.0	7.3	1.6	2.6	13.4	154.9	35.6	363.0
2015	23.8	21.2	46.2	1.6	0.2	1.8	0.3	37.4	5.6	130.9	2.8	5.6	277.4
2016	7.5	85.1	28.8	33.9	20.0	3.1	9.1	0.7	3.0	13.7	56.3	15.9	277.1
2017	18.6	28.0	26.7	6.1	4.6	1.0	5.9	7.7	3.9	7.1	7.3	27.4	144.3
2018	35.2	35.1	14.1	25.9	5.9	6.0	0.0	2.0	2.1	41.8	58.2	0.0	226.3
2019	19.3	19.7	40.7	52.6	0.8	12.6	4.4	1.9	0.5	23.8	14.4	7.3	198.0
2020	5.4	1.5	25.7	26.6	4.9	3.3	0.0	2.9	2.4	37.1	90.6	26.9	227.3
2021	46.6	64.7	35.7	12.7	1.6	2.6	4.6	9.9	3.7	2.4	38.7	4.9	228.1
2022	32.5	29.7	23.1	18.8	0.1	4.5	4.4	4.6	33.4	5.8	4.5	54.1	215.5
2023	50.2	38.8	2.6	3.1	2.9	5.7	0.6	5.6	1.8	20.1	16.7	17.1	165.2
2024	2.6	9.2	38.5	11.4	8.8	2.7	5.2	1.2	3.4	31.0	28.2	22.7	164.9
2025	37.3	22.4	43.3	85.1	6.4	1.5	9.0	4.0	3.5	5.3	48.0	56.3	322.1
INV	90.9 mm			PRI	30.0 mm		VER	16.8 mm		OTO	102.1 mm		239.8

400 m 2005 a 2025 TEGUESTE - LA PADILLA

	ENE	FEB	MRZ	ABR	MAY	JUN	JUL	AGT	SEP	OCT	NOV	DIC	ANUAL
2005	32.5	151.8	50.8	9.2	6.4	0.5	0.5	23.9	11.1	51.3	74.7	70.7	483.4
2006	152.8	126.6	17.7	41.6	5.4	16.4	0.4	0.2	15.1	34.3	106.5	21.2	538.2
2007	120.0	29.7	156.6	43.4	33.3	8.3	13.8	3.9	1.5	10.5	31.6	143.3	595.9
2008	7.0	41.0	18.5	7.4	21.7	4.9	1.1	4.8	16.0	81.8	53.3	57.2	314.7
2009	120.3	109.5	90.5	28.9	10.2	11.4	0.8	2.5	9.1	4.3	112.8	79.9	580.2
2010	35.0	156.3	35.4	4.8	33.1	29.7	12.7	1.5	38.8	82.5	131.5	0.1	561.4
2011	192.1	27.9	149.4	96.1	8.2	9.3	44.6	27.6	6.6	15.8	61.9	5.3	644.8
2012	13.6	7.4	0.3	72.7	0.8	20.2	0.2	1.4	29.6	107.2	192.0	11.3	456.7
2013	20.9	22.7	36.3	6.4	11.9	16.2	3.0	2.6	7.2	26.3	39.4	114.0	306.9
2014	149.7	66.9	38.9	9.2	12.0	7.6	20.4	5.4	10.5	34.9	283.2	77.3	716.0
2015	47.3	47.2	84.5	12.1	2.9	6.9	2.0	56.9	9.3	223.1	9.8	15.4	517.4
2016	10.6	134.5	43.3	65.5	56.8	13.2	22.9	0.3	2.0	55.5	148.3	46.7	599.6
2017	43.7	76.3	27.8	5.7	25.2	4.0	13.4	18.9	11.9	9.3	16.3	48.2	300.7
2018	48.7	80.3	29.0	57.9	7.1	24.2	0.0	7.0	1.0	119.3	59.7	0.4	434.6
2019	44.8	32.6	37.2	49.8	6.1	39.4	12.7	2.6	0.4	47.5	53.0	57.9	384.0
2020	10.0	4.7	84.6	69.1	8.3	7.2	0.0	4.7	3.4	69.4	116.3	59.0	436.7
2021	70.9	103.8	35.9	40.7	7.7	2.4	16.0	21.8	3.4	11.6	39.9	26.0	380.1
2022	59.6	44.1	18.6	28.8	2.3	9.5	7.6	5.6	88.3	15.8	6.2	61.7	348.1
2023	69.5	52.1	7.6	4.3	6.6	14.4	2.3	6.1	32.0	36.1	25.4	16.7	273.1
2024	16.7	15.3	41.5	13.0	10.6	6.5	5.9	4.2	3.5	59.2	28.3	25.7	230.4
2025	38.4	47.4	125.8	116.3	9.1	4.0	19.1	4.5	8.1	9.1	101.5	111.1	594.4
INV	181.5 mm			PRI	63.1 mm		VER	34.0 mm		OTO	183.1 mm		461.8

Precipitaciones en el periodo 2005-2025 en Tenerife. Tendencias pluviométricas en los últimos 21 años

550 m 2005 a 2025 SANTA ÚRSULA - LA CORUJERA

	ENE	FEB	MRZ	ABR	MAY	JUN	JUL	AGT	SEP	OCT	NOV	DIC	ANUAL
2005	40.8	131.8	55.1	22.2	10.0	3.1	1.1	33.6	8.0	72.6	106.6	97.6	582.5
2006	126.3	92.5	23.3	29.9	6.5	32.0	0.6	6.3	13.5	24.2	56.3	18.5	429.9
2007	84.1	12.3	148.2	90.2	59.9	21.1	5.9	5.2	2.1	12.8	55.1	202.2	699.1
2008	4.2	77.0	21.6	28.2	39.1	3.8	2.7	4.4	20.9	155.2	85.1	74.9	517.1
2009	113.2	148.2	190.7	37.0	14.0	49.4	0.1	0.3	8.5	6.3	106.4	110.4	784.5
2010	60.3	154.6	48.8	10.6	51.9	22.6	5.6	3.7	70.3	88.2	90.4	11.5	618.5
2011	69.5	34.7	118.1	122.7	43.4	3.6	15.6	9.2	3.2	19.2	84.1	6.6	529.9
2012	6.8	7.4	1.3	137.2	4.6	14.7	1.1	0.5	15.7	39.0	225.9	63.9	518.1
2013	15.5	31.8	33.4	8.8	7.8	3.9	0.0	0.2	6.5	46.7	30.2	133.7	318.5
2014	121.6	127.7	29.2	32.8	10.5	4.0	1.3	0.7	19.0	50.7	377.2	77.3	852.0
2015	62.8	39.6	94.4	33.7	4.5	27.4	2.7	64.8	5.8	117.5	26.3	12.8	492.3
2016	11.3	211.9	104.1	28.9	54.8	6.5	2.0	1.4	3.6	45.4	155.6	66.9	692.4
2017	21.2	71.4	48.5	5.3	29.5	3.6	9.1	3.7	9.3	5.8	3.2	70.6	281.2
2018	102.8	159.6	29.2	116.9	26.2	28.9	0.0	3.1	4.8	149.5	185.2	0.0	806.2
2019	57.8	0.6	89.9	71.1	4.6	37.0	4.9	0.2	6.7	63.0	102.9	90.3	529.0
2020	7.0	2.3	59.1	27.9	11.6	6.6	0.0	2.0	0.3	11.2	56.5	67.1	251.6
2021	112.4	133.6	58.7	38.3	8.6	5.3	1.1	3.0	10.6	29.1	84.7	47.8	533.2
2022	107.9	99.6	73.8	30.1	1.7	16.5	3.9	7.9	105.4	46.8	8.3	82.1	584.0
2023	54.0	81.8	15.5	24.1	11.4	48.3	5.4	0.3	22.3	108.0	61.3	22.0	454.4
2024	14.3	17.1	90.8	19.3	13.7	3.2	3.0	0.5	9.4	94.0	59.1	40.4	364.8
2025	44.6	49.1	117.9	178.5	29.3	2.2	2.2	9.2	16.3	21.4	118.5	123.0	712.2
INV	208.3 mm			PRI	89.6 mm		VER	28.1 mm		OTO	224.1 mm		550.1

632 m 2005 a 2025 LA LAGUNA - AEROPUERTO DE LOS RODEOS

	ENE	FEB	MRZ	ABR	MAY	JUN	JUL	AGT	SEP	OCT	NOV	DIC	ANUAL
2005	28.4	59.2	57.8	41.9	28.2	1.0	2.5	4.2	19.4	47.7	42.6	68.4	401.3
2006	212.6	105.4	39.1	12.5	8.9	0.0	0.5	33.7	7.5	44.0	63.3	58.5	586.0
2007	140.2	94.6	19.9	42.8	1.5	20.6	0.2	0.8	19.4	32.4	120.4	12.6	505.4
2008	3.9	22.0	57.3	21.0	44.8	10.2	7.1	3.5	0.8	12.8	45.2	118.8	347.4
2009	106.7	98.5	88.0	17.5	6.7	11.0	0.1	0.8	4.2	2.9	38.1	90.6	465.1
2010	32.6	226.3	42.8	3.2	19.4	8.5	4.0	0.4	31.2	76.1	80.8	12.7	538.0
2011	133.0	24.1	151.4	130.6	11.8	2.4	26.8	14.4	2.4	5.4	57.2	4.5	564.0
2012	10.5	7.0	0.0	41.2	0.7	9.2	0.0	0.5	39.4	76.8	291.9	7.5	484.7
2013	14.8	21.6	52.3	9.9	7.9	4.8	1.7	3.0	1.8	47.0	35.3	284.9	485.0
2014	126.1	97.4	49.5	24.8	5.3	4.1	13.4	0.2	6.0	83.3	291.7	53.0	754.8
2015	29.1	18.5	31.9	7.5	4.7	15.0	1.5	50.8	9.2	186.2	9.0	6.6	370.0
2016	4.3	142.3	50.0	33.0	35.3	9.1	3.8	0.3	0.5	66.3	168.4	48.1	561.4
2017	29.7	90.8	33.3	1.8	17.7	14.3	7.3	5.5	10.2	5.6	5.2	40.0	261.4
2018	75.9	95.2	20.0	68.0	23.7	6.6	0.1	2.7	0.7	101.1	106.1	1.2	501.3
2019	29.4	30.9	37.4	29.8	0.5	1.6	4.8	0.5	0.9	47.9	26.1	61.0	270.8
2020	5.0	1.7	109.3	64.2	5.8	19.9	0.1	1.6	3.5	62.3	88.1	36.5	398.0
2021	97.3	155.0	48.5	63.2	7.8	4.3	5.1	11.0	7.3	12.4	64.9	31.3	508.1
2022	97.3	69.3	60.9	33.3	4.8	14.0	6.1	3.9	177.3	21.7	8.7	79.0	576.3
2023	74.0	68.9	3.1	5.9	6.0	7.8	0.5	1.4	27.8	54.6	23.1	14.5	287.6
2024	17.9	24.4	62.5	14.7	4.7	4.1	1.4	2.4	2.4	61.1	49.2	26.0	270.8
2025	27.1	55.3	112.3	115.2	22.8	3.9	22.7	8.2	3.4	4.1	84.4	151.3	610.7
INV	187.2 mm			PRI	58.3 mm		VER	30.2 mm		OTO	188.5 mm		464.2

Precipitaciones en el periodo 2005-2025 en Tenerife. Tendencias pluviométricas en los últimos 21 años

650 m 2005 a 2025 MATANZA - CRUZ DEL CAMINO

	ENE	FEB	MRZ	ABR	MAY	JUN	JUL	AGT	SEP	OCT	NOV	DIC	ANUAL
2005	28.4	153.7	63.1	23.2	6.8	4.4	1.2	27.2	0.0	43.0	52.0	18.0	421.0
2006	144.5	58.2	17.1	10.0	13.4	48.4	3.5	5.2	14.2	41.3	120.8	22.8	499.4
2007	109.2	46.5	142.1	48.8	35.5	16.2	4.2	3.5	2.6	13.5	43.2	184.5	649.8
2008	4.5	42.5	16.7	13.8	23.3	3.4	3.4	7.1	28.1	111.8	90.8	96.9	442.3
2009	140.9	118.0	127.9	50.0	17.2	25.1	0.0	2.3	8.5	2.2	164.3	119.5	775.9
2010	31.5	151.2	34.9	9.7	31.1	21.3	10.2	1.7	49.4	137.6	60.6	16.2	555.4
2011	115.3	34.9	121.7	80.5	32.9	5.4	29.8	11.9	5.5	16.4	95.3	9.7	559.3
2012	7.2	8.4	0.5	114.5	2.7	21.2	1.9	0.5	32.0	94.0	263.7	23.8	570.4
2013	13.3	42.0	37.3	12.7	13.0	8.1	1.4	2.1	7.7	44.3	37.8	103.2	322.9
2014	136.9	104.1	49.2	18.8	44.8	7.2	15.6	8.6	12.1	54.8	280.2	92.9	825.2
2015	48.4	72.3	75.4	18.0	6.6	41.5	1.8	51.3	4.1	236.4	18.4	22.5	596.7
2016	10.3	206.7	111.2	52.5	64.2	4.8	6.7	1.5	9.7	60.2	154.8	87.7	770.3
2017	37.9	91.7	43.9	6.2	32.1	10.0	19.1	13.6	19.6	7.3	4.6	67.6	353.6
2018	111.9	129.8	35.1	108.1	39.3	35.6	0.1	4.2	1.4	119.7	226.1	0.4	811.7
2019	84.2	82.9	100.1	74.9	10.1	33.9	13.8	0.7	2.6	52.9	74.8	59.5	590.4
2020	12.5	0.3	108.2	68.5	5.4	15.8	1.7	12.7	6.8	39.1	91.5	115.2	477.7
2021	77.5	132.6	74.0	40.7	17.2	9.7	5.6	6.6	13.0	27.0	81.3	36.5	521.7
2022	72.1	77.8	80.6	38.8	4.5	20.0	18.7	9.2	86.1	30.3	15.1	92.4	545.6
2023	77.9	97.2	11.3	11.4	18.3	33.7	4.8	6.2	45.9	77.8	59.6	36.6	480.7
2024	17.6	29.4	71.0	33.0	20.4	8.0	11.1	3.0	22.2	35.5	0.0	0.0	251.2
2025	76.7	62.3	161.9	176.9	34.5	3.9	24.8	10.9	24.2	9.8	129.7	163.4	879.0
	INV	218.3 mm		PRI	88.7 mm		VER	36.4 mm		OTO	223.3 mm		566.7

695 m 2005 a 2025 TACORONTE - AGUA GARCÍA

	ENE	FEB	MRZ	ABR	MAY	JUN	JUL	AGT	SEP	OCT	NOV	DIC	ANUAL
2005	68.3	138.4	49.3	22.3	11.6	1.2	3.1	26.9	12.1	64.9	94.8	92.3	585.2
2006	177.2	82.2	35.4	41.8	7.5	34.5	2.3	1.9	25.8	44.6	139.8	43.8	636.8
2007	174.2	38.5	197.7	22.9	14.5	13.7	23.2	1.0	2.3	18.7	48.8	161.3	716.8
2008	11.1	44.4	22.3	18.3	31.4	6.2	4.5	4.4	19.3	123.7	100.8	87.3	473.7
2009	123.9	115.8	121.1	43.5	12.8	11.1	0.0	5.7	20.6	5.4	142.0	127.1	729.0
2010	48.0	201.6	51.3	7.1	41.7	29.8	25.6	2.8	47.0	144.1	64.3	21.3	684.6
2011	153.2	39.4	135.0	87.9	19.0	6.1	46.5	24.6	9.8	15.4	76.0	7.9	620.8
2012	11.9	13.5	0.2	81.0	2.8	22.9	2.3	1.2	33.6	121.7	272.3	9.9	573.3
2013	16.9	28.8	38.8	13.6	20.7	15.8	2.7	4.1	8.1	57.8	54.2	114.2	375.7
2014	188.7	123.1	73.5	29.8	33.7	6.7	16.2	7.9	12.6	56.8	337.2	99.3	985.5
2015	61.4	81.6	110.1	19.1	9.0	51.0	5.3	63.5	10.8	285.0	20.2	18.0	735.0
2016	8.6	200.4	82.3	74.9	69.8	10.7	15.8	0.4	5.7	45.9	171.6	59.1	745.2
2017	44.9	88.2	45.8	6.2	32.8	8.6	14.4	19.5	18.1	4.6	6.4	67.2	356.7
2018	101.2	103.9	37.3	101.6	55.8	32.2	0.4	6.8	3.1	103.7	206.1	0.5	752.6
2019	64.5	75.4	42.1	57.0	9.6	34.9	16.4	3.4	1.3	44.4	65.3	67.2	481.5
2020	10.1	6.6	119.8	60.5	11.2	23.4	2.1	13.1	8.4	75.4	95.2	86.1	511.9
2021	83.0	152.8	33.8	64.1	17.5	11.4	13.6	13.3	14.6	18.0	57.2	39.3	518.6
2022	85.5	76.9	69.9	35.5	4.0	19.6	20.1	8.4	120.9	21.1	12.1	90.4	564.4
2023	86.4	91.1	11.0	10.5	16.9	21.2	5.6	11.3	34.4	95.0	50.0	35.0	468.4
2024	20.0	30.0	95.0	25.0	18.1	12.2	11.9	7.5	13.4	91.3	52.5	6.3	383.2
2025	53.5	53.0	148.4	126.1	13.6	6.3	27.6	11.4	21.0	13.8	140.6	183.4	798.7
	INV	233.2 mm		PRI	84.9 mm		VER	44.8 mm		OTO	241.7 mm		604.6

Precipitaciones en el periodo 2005-2025 en Tenerife. Tendencias pluviométricas en los últimos 21 años

922 m 2005 a 2025 EL SAUZAL - RAVELO

	ENE	FEB	MRZ	ABR	MAY	JUN	JUL	AGT	SEP	OCT	NOV	DIC	ANUAL
2005	50.0	141.2	55.1	32.8	14.6	2.5	4.7	13.2	7.2	2.8	0.5	0.6	325.2
2006	246.2	99.4	38.0	52.1	14.4	42.4	3.3	5.3	40.8	37.6	159.4	38.1	777.0
2007	50.7	51.2	136.7	61.4	67.2	36.9	23.1	12.3	8.6	40.5	76.9	189.9	755.4
2008	18.3	66.2	31.0	26.3	38.0	6.7	5.8	7.6	17.5	47.8	118.0	49.7	432.9
2009	172.3	144.6	179.5	77.5	25.5	50.9	0.1	6.9	13.5	7.0	158.1	181.0	1016.9
2010	57.5	215.9	53.6	15.4	49.3	25.9	20.8	1.9	51.8	167.4	86.0	25.1	770.6
2011	207.3	41.2	125.7	116.3	40.0	7.0	38.1	24.9	11.2	20.0	122.5	9.4	763.6
2012	14.1	18.1	0.3	92.7	2.4	37.0	5.4	2.3	41.3	145.8	330.4	42.1	731.9
2013	20.1	50.1	52.5	33.9	26.6	18.0	3.9	5.9	12.6	75.6	53.2	132.7	485.1
2014	225.0	164.5	78.9	27.9	51.3	10.0	25.7	13.7	17.0	74.3	428.1	113.6	1230.0
2015	85.1	100.3	117.5	32.6	6.6	47.2	5.3	66.3	11.8	334.1	26.3	24.5	857.6
2016	10.3	245.3	118.7	71.0	77.7	9.7	15.9	1.3	10.8	72.5	249.2	84.3	966.7
2017	45.2	108.7	65.4	8.5	37.3	11.7	25.4	17.6	30.5	10.7	6.5	81.6	449.1
2018	129.2	183.1	42.3	162.1	65.7	27.6	0.6	9.9	2.2	130.6	144.3	0.6	898.2
2019	88.0	91.1	70.4	68.0	16.7	39.1	20.7	3.4	4.4	60.6	85.7	94.4	642.5
2020	15.1	5.0	161.3	69.1	3.0	19.9	1.8	12.1	8.4	71.8	109.7	125.8	603.0
2021	117.2	184.9	80.3	69.2	23.1	16.3	8.5	10.8	15.2	28.6	93.6	51.9	699.6
2022	110.3	97.2	92.7	56.0	7.2	32.2	28.0	13.1	124.8	39.6	20.2	93.6	714.9
2023	106.9	130.9	14.4	14.4	19.0	21.6	7.5	10.3	55.8	111.5	61.4	41.4	595.1
2024	26.1	39.4	113.1	30.3	32.6	17.0	11.7	6.4	29.0	126.8	67.7	35.0	535.1
2025	50.3	82.1	206.7	188.0	39.1	7.1	29.6	16.1	35.8	14.2	151.0	279.4	1099.4
INV	282.8 mm			PRI	116.6 mm		VER	52.3 mm		OTO	279.2 mm		730.9

25 m 2005 a 2025 PUERTO DE LA CRUZ

	ENE	FEB	MRZ	ABR	MAY	JUN	JUL	AGT	SEP	OCT	NOV	DIC	ANUAL
2005	10.8	50.5	17.0	12.6	0.3	0.0	0.0	0.4	0.1	4.7	8.4	9.2	114.0
2006	5.3	63.6	16.4	23.0	3.1	17.2	0.0	1.2	0.9	22.5	52.0	8.6	213.8
2007	18.2	12.2	41.2	14.8	0.0	2.5	0.6	1.0	0.8	11.4	38.6	57.4	198.7
2008	0.8	21.2	11.2	0.8	13.4	0.6	0.2	0.4	0.0	28.8	46.2	39.0	162.6
2009	31.6	87.0	83.6	13.4	0.4	9.4	0.0	0.2	7.2	0.4	86.4	52.6	372.2
2010	14.0	58.8	7.4	3.4	7.4	9.8	1.4	0.0	55.8	34.6	35.4	2.2	230.2
2011	64.2	15.8	85.6	31.8	14.2	0.8	3.2	2.4	2.6	5.6	47.6	3.0	276.8
2012	64.2	15.8	85.6	31.8	14.2	0.8	3.2	2.4	2.6	5.6	47.6	3.0	276.8
2013	10.8	22.6	24.8	8.2	0.0	0.2	0.0	0.2	0.2	30.2	11.4	121.6	230.2
2014	108.8	67.6	14.6	4.6	1.0	0.4	0.0	0.4	1.0	34.0	235.6	41.6	509.6
2015	36.6	13.2	38.0	1.0	3.8	14.4	0.0	17.2	2.8	81.4	10.0	2.2	220.6
2016	5.2	115.2	35.2	11.4	26.4	0.0	0.0	0.0	0.2	26.0	51.4	24.0	295.0
2017	2.2	27.6	19.0	1.0	0.0	0.6	2.4	0.0	1.2	0.2	3.2	28.8	86.2
2018	43.0	60.0	8.6	0.0	0.0	1.6	0.0	0.6	1.3	82.5	92.8	0.0	290.4
2019	31.9	25.9	28.3	25.6	0.0	9.3	0.0	0.0	0.3	31.6	33.6	38.3	224.8
2020	1.2	0.0	30.0	26.2	0.9	2.3	0.0	0.8	1.9	5.2	43.3	28.2	140.0
2021	33.2	54.2	46.8	17.6	3.0	0.0	0.0	0.5	0.3	17.7	55.5	40.0	268.8
2022	48.5	32.3	19.8	7.5	0.1	0.4	1.1	4.6	43.8	16.5	2.8	94.2	271.6
2023	35.1	49.8	8.5	10.7	1.4	10.1	1.0	0.5	6.1	32.6	27.2	10.5	193.5
2024	5.8	3.9	41.6	7.2	1.0	0.0	0.7	0.0	2.9	43.1	13.1	26.1	145.4
2025	25.8	3.9	41.9	78.6	2.7	0.4	0.2	1.8	1.4	5.1	54.5	72.8	289.1
INV	100.2 mm			PRI	24.1 mm		VER	8.7 mm		OTO	105.7 mm		238.6

Precipitaciones en el periodo 2005-2025 en Tenerife. Tendencias pluviométricas en los últimos 21 años

216 m 2005 a 2025 LA OROTAVA - EL RINCÓN

	ENE	FEB	MRZ	ABR	MAY	JUN	JUL	AGT	SEP	OCT	NOV	DIC	ANUAL		
2005	28.3	138.5	28.3	20.2	5.4	1.2	0.3	29.4	6.0	49.2	73.8	57.8	438.4		
2006	94.0	81.4	19.3	20.5	2.2	13.5	0.0	5.2	5.1	16.9	72.4	15.1	345.6		
2007	20.0	9.9	164.1	39.3	27.9	4.6	0.2	2.4	0.3	11.7	31.7	132.8	444.9		
2008	0.0	54.3	10.8	12.0	21.6	0.9	0.3	1.6	8.5	93.8	47.6	39.9	291.3		
2009	64.2	94.4	109.9	12.0	4.4	27.7	0.3	0.1	5.3	0.0	126.6	58.4	503.3		
2010	27.5	87.6	26.7	4.6	17.6	9.5	0.8	0.4	51.3	51.0	45.1	9.6	331.7		
2011	46.2	20.9	81.2	79.1	23.4	0.8	2.5	4.1	1.4	6.4	37.7	2.6	306.3		
2012	2.3	2.5	0.1	91.6	0.8	9.6	0.5	0.2	18.9	76.3	177.1	35.7	415.6		
2013	15.6	28.7	28.2	7.6	0.9	1.3	0.0	0.3	5.7	43.4	13.1	110.9	255.7		
2014	157.8	96.1	23.6	11.0	4.9	1.5	0.2	0.0	2.7	30.5	307.9	42.0	678.2		
2015	32.0	19.6	56.6	9.8	3.0	14.8	0.2	34.3	2.5	141.5	18.3	9.0	341.6		
2016	5.9	178.5	70.8	15.0	33.4	1.2	0.5	0.3	0.2	32.0	105.7	43.1	486.6		
2017	10.0	50.9	17.9	7.4	16.1	0.6	2.6	2.5	4.5	1.0	0.0	59.2	172.7		
2018	75.3	101.2	15.8	55.0	12.0	12.6	0.0	2.9	2.4	108.8	135.3	0.0	521.3		
2019	41.4	41.0	36.6	31.4	0.2	11.6	2.6	0.3	0.8	36.7	57.9	62.0	322.5		
2020	1.7	1.0	69.5	50.6	4.8	3.7	0.0	1.4	2.5	8.0	53.3	49.7	246.2		
2021	111.7	96.5	48.6	24.4	2.9	0.3	0.3	0.3	2.7	25.8	76.3	37.4	427.2		
2022	70.8	63.3	44.7	17.3	0.6	2.0	0.8	1.2	18.5	33.7	2.3	74.2	329.4		
2023	31.6	76.5	17.0	18.5	2.7	31.6	2.3	0.3	7.8	78.0	38.0	12.6	316.9		
2024	6.5	7.8	67.4	12.2	1.8	0.0	1.9	0.0	3.1	53.2	40.2	23.0	217.1		
2025	34.1	32.4	65.6	108.0	10.8	1.4	0.3	4.0	1.6	9.5	51.3	107.2	426.2		
INV	150.6 mm			PRI	47.4 mm			VER	12.4 mm			OTO	162.0 mm		372.3

380 m 2005 a 2025 LA OROTAVA - LA PERDOMA EL RATIÑO

	ENE	FEB	MRZ	ABR	MAY	JUN	JUL	AGT	SEP	OCT	NOV	DIC	ANUAL		
2005	17.3	117.9	37.8	19.6	8.5	1.1	0.2	29.7	8.2	63.9	74.6	68.2	447.0		
2006	141.4	77.2	17.8	35.3	2.7	19.2	0.4	6.1	23.3	23.7	128.0	23.2	498.3		
2007	31.0	20.2	106.8	52.0	100.7	14.5	0.9	3.5	0.1	15.1	29.6	122.1	496.5		
2008	0.6	31.1	17.2	23.4	26.8	0.8	0.9	0.4	12.9	91.5	56.3	30.1	292.0		
2009	64.4	125.0	163.1	20.4	11.7	41.9	0.0	0.0	8.3	6.4	85.1	77.1	603.4		
2010	44.9	215.8	38.7	19.9	45.9	15.4	3.0	0.0	58.1	53.1	111.6	50.0	656.4		
2011	112.6	25.7	176.7	139.8	42.0	6.0	4.2	4.1	6.1	10.8	39.3	2.7	570.0		
2012	0.1	3.3	1.7	124.1	6.0	12.3	0.0	0.0	32.8	79.6	267.5	106.7	634.1		
2013	17.7	19.7	152.0	14.2	2.2	3.0	0.6	0.6	10.6	50.0	16.9	182.2	469.7		
2014	136.8	124.7	27.0	64.0	7.5	9.0	0.2	0.0	19.9	58.2	306.7	34.3	788.3		
2015	32.2	23.7	63.4	21.1	7.4	22.7	0.3	38.3	0.2	148.4	14.2	16.4	388.3		
2016	12.6	235.4	100.0	14.5	43.3	2.2	0.5	0.0	0.1	46.3	131.8	48.0	634.7		
2017	8.2	87.1	34.9	13.2	23.1	0.7	2.3	0.8	23.7	3.0	2.1	69.7	268.8		
2018	80.7	134.4	27.1	95.0	30.5	5.5	0.0	2.7	0.7	103.4	163.5	0.0	643.5		
2019	39.6	56.9	38.6	26.7	5.1	19.5	2.0	0.1	6.8	40.1	61.5	96.2	393.1		
2020	3.7	3.0	73.8	70.3	15.4	5.5	0.1	0.6	3.6	8.4	69.0	45.1	298.5		
2021	153.7	93.0	27.8	28.9	7.5	1.4	0.6	0.3	0.7	16.8	103.8	21.2	455.7		
2022	88.0	114.6	79.8	22.5	1.3	4.4	0.6	4.6	61.9	48.0	9.1	55.0	489.8		
2023	40.4	101.0	12.2	13.9	6.7	72.5	1.8	0.4	17.7	111.0	42.1	12.7	432.4		
2024	2.1	6.1	100.1	26.2	5.9	1.4	0.0	0.0	0.0	47.4	18.7	36.0	243.9		
2025	36.6	29.7	75.9	127.3	81.4	0.3	0.8	8.1	1.2	23.8	48.4	120.9	554.4		
INV	194.4 mm			PRI	81.6 mm			VER	19.8 mm			OTO	192.7 mm		488.5

Precipitaciones en el periodo 2005-2025 en Tenerife. Tendencias pluviométricas en los últimos 21 años

550 m 2005 a 2025 LA OROTAVA - LA PERDOMA LA SUERTE

	ENE	FEB	MRZ	ABR	MAY	JUN	JUL	AGT	SEP	OCT	NOV	DIC	ANUAL
2005	21.3	162.4	50.8	22.8	10.9	1.8	0.1	31.4	9.8	76.9	96.2	87.2	571.6
2006	176.4	76.9	22.4	59.5	4.8	24.4	1.7	7.2	22.2	23.0	154.3	0.0	572.8
2007	43.1	17.4	126.1	51.5	15.1	0.1	4.6	1.4	1.7	13.4	25.5	116.9	416.8
2008	0.9	24.6	19.2	22.7	32.3	2.0	0.9	1.8	15.4	93.5	49.7	33.0	296.0
2009	68.6	142.0	162.1	30.8	13.9	46.7	0.4	0.0	8.5	15.5	81.6	73.8	643.9
2010	50.7	198.4	60.8	18.1	45.0	18.3	6.7	5.5	70.8	49.2	99.6	10.5	633.6
2011	88.3	25.2	156.7	182.1	42.4	6.4	15.1	2.8	5.9	12.3	49.9	1.5	588.6
2012	1.8	4.7	1.5	115.8	11.8	12.2	0.1	0.3	35.6	85.8	223.3	123.1	616.0
2013	15.1	22.9	31.6	22.4	9.5	4.1	1.6	1.5	11.2	56.3	31.4	182.6	390.2
2014	138.1	120.4	27.8	52.9	7.0	3.0	0.2	0.1	0.0	48.8	289.2	9.6	697.1
2015	2.3	24.2	70.1	17.5	4.1	22.9	2.4	36.1	7.3	208.8	14.3	12.2	422.2
2016	14.7	222.4	90.0	10.2	38.4	2.3	1.6	2.8	0.8	37.0	112.4	53.3	585.9
2017	10.0	57.3	18.1	16.4	34.5	0.7	4.0	1.8	19.0	2.6	4.7	63.1	232.2
2018	69.9	108.4	21.8	104.9	32.3	24.9	0.0	4.6	1.9	105.7	139.5	0.0	613.9
2019	41.2	57.1	64.5	42.2	2.3	17.7	2.7	0.4	15.1	35.4	63.8	84.9	427.3
2020	5.9	2.0	99.0	79.4	18.3	15.6	0.1	1.2	4.2	17.8	83.6	44.1	371.2
2021	136.6	97.9	34.3	51.0	7.8	7.4	2.5	0.8	3.6	13.6	83.7	15.8	455.0
2022	65.9	143.8	93.0	24.2	2.6	4.3	0.3	3.8	63.4	41.5	8.7	44.4	495.9
2023	43.7	87.5	6.5	6.0	12.1	47.6	4.4	0.3	20.4	139.4	49.4	19.1	436.4
2024	7.3	7.9	130.2	27.7	9.7	3.2	4.1	2.5	3.9	52.2	29.1	49.1	326.9
2025	36.4	29.5	81.4	106.5	112.4	0.9	4.9	3.9	9.1	34.4	48.4	144.1	611.9
	INV	192.3 mm		PRI	85.6 mm		VER	23.7 mm		OTO	193.8 mm		495.5

595 m 2005 a 2025 LOS REALEJOS - PALO BLANCO

	ENE	FEB	MRZ	ABR	MAY	JUN	JUL	AGT	SEP	OCT	NOV	DIC	ANUAL
2005	23.6	142.6	80.0	23.6	12.6	3.7	0.0	36.1	5.0	66.2	112.1	77.5	583.0
2006	196.6	80.2	30.7	65.5	6.7	29.5	8.3	4.9	31.4	34.8	91.7	46.9	627.2
2007	22.4	9.1	108.9	63.3	123.0	10.6	3.3	3.4	4.1	15.5	42.9	111.8	518.3
2008	1.1	54.0	38.8	25.3	41.3	14.1	2.7	9.6	17.3	118.9	69.3	42.4	434.8
2009	66.4	127.5	125.7	35.9	21.4	48.7	0.9	2.8	21.8	18.8	114.1	62.1	646.1
2010	49.7	144.5	41.5	27.1	50.5	18.5	12.5	3.7	88.9	53.1	121.6	10.0	621.6
2011	125.4	45.9	197.0	194.5	58.6	8.0	26.5	3.2	18.1	21.5	72.7	1.0	772.4
2012	3.0	6.2	3.6	120.5	15.8	17.9	0.3	0.7	48.4	96.5	256.9	31.2	601.0
2013	24.5	33.4	34.3	25.7	17.3	3.0	0.8	2.2	20.1	23.9	30.3	107.7	323.2
2014	137.5	66.5	38.3	23.9	8.4	9.1	7.0	1.3	7.4	72.0	348.5	62.7	782.6
2015	35.8	27.1	79.5	22.8	8.3	24.5	16.0	33.7	9.0	80.3	15.9	2.5	355.4
2016	0.0	226.7	94.7	12.5	36.4	13.5	7.7	1.4	0.8	64.9	147.5	42.4	648.5
2017	12.2	85.8	64.0	36.4	40.9	2.5	7.1	1.6	24.5	3.4	7.7	83.7	369.8
2018	104.5	124.6	58.9	121.5	31.2	21.4	0.0	5.9	3.4	157.0	194.6	0.0	823.0
2019	43.2	65.7	62.7	65.9	5.0	16.3	4.2	0.2	23.2	47.2	65.0	70.3	468.9
2020	13.3	15.3	121.1	63.5	21.3	24.6	0.2	0.7	3.9	18.4	110.6	81.5	474.4
2021	160.6	87.5	57.5	97.2	9.0	1.3	1.8	1.4	11.2	13.4	101.0	16.2	558.1
2022	88.3	124.7	85.9	46.9	8.4	21.2	2.4	12.0	78.7	49.6	7.1	74.6	599.8
2023	57.0	100.3	19.8	8.5	0.3	37.3	7.7	0.7	33.0	109.3	63.1	30.5	467.5
2024	9.4	9.7	164.7	8.6	22.6	6.9	3.1	1.7	12.2	23.6	0.0	0.0	262.5
2025	27.4	21.3	85.5	84.4	74.5	0.4	7.8	7.7	18.2	30.4	65.4	125.6	548.6
	INV	209.2 mm		PRI	101.0 mm		VER	35.0 mm		OTO	201.8 mm		547.0

Precipitaciones en el periodo 2005-2025 en Tenerife. Tendencias pluviométricas en los últimos 21 años

770 m 2005 a 2025 LOS REALEJOS - ICOD EL ALTO

	ENE	FEB	MRZ	ABR	MAY	JUN	JUL	AGT	SEP	OCT	NOV	DIC	ANUAL
2005	21.9	138.6	66.1	33.3	18.1	4.9	1.2	35.3	6.4	58.5	57.4	66.5	508.2
2006	161.8	69.1	38.8	100.8	7.7	37.2	5.9	17.1	45.1	19.5	74.7	51.6	629.3
2007	40.8	12.1	148.9	84.4	90.1	17.6	14.3	14.7	5.1	23.6	59.6	98.0	609.2
2008	2.2	72.0	60.3	24.2	50.2	6.8	12.1	19.1	20.4	116.6	57.5	46.6	488.0
2009	61.6	161.6	153.1	33.6	12.3	41.6	1.8	3.5	15.2	13.0	118.3	72.4	688.0
2010	52.5	153.3	28.4	49.8	18.0	34.6	28.9	1.8	79.6	68.5	74.7	16.8	606.9
2011	135.8	40.1	129.0	180.6	73.7	14.5	62.1	7.0	11.5	25.8	72.6	3.3	756.0
2012	5.3	6.2	1.3	116.7	24.9	16.9	0.9	0.6	35.4	105.1	302.6	30.8	646.7
2013	36.1	27.9	34.2	38.8	25.3	11.9	0.0	6.6	23.2	13.3	44.6	132.6	394.5
2014	137.5	66.5	38.3	23.9	8.4	9.1	7.0	1.3	7.4	72.0	348.5	62.7	782.6
2015	50.0	84.1	99.4	24.5	4.7	34.8	29.3	42.6	8.9	112.3	28.7	38.7	558.0
2016	40.7	235.1	165.0	26.9	40.2	0.0	0.0	2.1	3.0	78.8	123.5	55.3	770.6
2017	14.7	93.6	61.9	15.2	32.0	9.5	20.3	4.5	39.6	6.1	20.6	0.0	318.0
2018	85.9	152.8	28.4	146.4	49.7	31.6	0.5	9.9	3.2	152.3	145.0	0.0	805.7
2019	36.2	98.1	64.6	101.7	10.4	24.4	17.2	0.8	27.2	76.8	54.8	104.4	616.6
2020	19.1	2.0	149.2	85.6	30.4	44.6	0.9	3.6	3.8	23.5	141.6	111.9	616.2
2021	128.1	115.0	73.1	73.7	6.0	12.9	5.4	5.2	13.7	24.3	94.4	22.2	574.0
2022	50.6	110.1	122.5	47.2	11.3	61.9	9.9	18.9	71.0	89.6	19.5	84.9	697.4
2023	95.7	132.7	37.1	22.0	11.8	28.7	19.9	0.4	58.2	146.5	114.9	32.5	700.4
2024	21.1	14.5	161.5	20.6	43.6	30.1	9.4	15.0	62.1	96.6	17.8	45.9	538.2
2025	60.0	41.6	179.8	130.2	107.8	4.7	6.8	22.5	41.2	22.5	94.1	122.9	834.1
	INV	234.5 mm		PRI	120.7 mm		VER	50.8 mm		OTO	219.6 mm		625.6

906 m 2005 a 2025 LA OROTAVA - BENIJOS

	ENE	FEB	MRZ	ABR	MAY	JUN	JUL	AGT	SEP	OCT	NOV	DIC	ANUAL
2005	25.0	183.1	60.0	29.5	9.7	5.3	0.1	28.9	5.4	61.9	117.5	84.8	611.2
2006	169.5	90.5	28.7	75.5	8.9	19.5	6.3	4.2	19.0	31.5	57.1	40.1	550.8
2007	30.2	15.1	118.3	47.3	114.6	6.6	4.1	6.9	0.0	14.5	34.7	94.4	486.7
2008	2.9	28.8	33.5	11.2	37.3	2.6	3.9	11.8	20.2	109.4	52.0	40.4	354.0
2009	46.1	95.7	123.9	23.0	12.6	31.5	0.6	4.1	27.1	12.0	168.2	63.8	608.6
2010	44.2	142.9	17.3	23.5	34.8	16.0	7.5	1.4	86.8	51.5	42.4	5.8	474.1
2011	85.4	27.4	176.6	165.5	46.1	12.7	19.6	2.8	15.3	10.8	80.7	0.8	643.7
2012	5.4	6.5	0.4	64.2	6.5	5.6	0.9	0.5	43.4	106.2	228.3	38.1	506.0
2013	15.2	28.8	47.8	35.9	17.0	0.3	0.0	2.8	10.7	28.8	27.7	120.8	335.8
2014	107.2	93.6	26.1	41.9	6.9	5.5	3.7	0.4	16.8	58.2	299.0	74.2	733.5
2015	37.1	27.0	83.9	12.2	9.7	11.7	10.5	34.3	5.1	221.1	14.6	11.4	478.6
2016	15.9	221.2	109.2	12.7	25.3	0.0	0.0	0.0	0.0	24.6	119.0	59.5	587.4
2017	8.8	66.3	46.6	26.1	33.9	3.7	7.7	1.5	15.6	1.4	6.3	51.7	269.6
2018	92.5	146.2	18.0	120.9	33.9	14.5	0.3	6.7	5.6	125.0	134.8	0.0	698.4
2019	47.4	9.9	49.5	65.0	6.1	20.2	5.7	0.1	13.9	48.2	33.1	57.9	357.0
2020	15.6	2.3	91.5	83.4	16.5	35.4	0.3	1.9	5.7	26.5	113.1	51.3	443.5
2021	145.7	89.3	32.6	63.1	6.2	7.0	3.1	2.1	10.6	11.4	89.9	16.0	477.0
2022	78.1	141.3	74.9	38.6	8.4	22.0	3.9	7.5	74.4	48.9	6.5	49.2	553.7
2023	46.5	93.6	11.0	7.0	10.5	26.2	11.1	0.6	37.1	150.6	67.1	30.3	491.6
2024	15.6	12.4	156.8	38.0	21.5	9.2	4.3	3.5	34.7	52.2	17.3	58.7	424.2
2025	21.9	30.3	85.8	79.4	93.1	1.1	2.3	1.8	22.7	21.9	59.0	137.4	556.7
	INV	190.5 mm		PRI	89.5 mm		VER	32.8 mm		OTO	193.9 mm		506.8

Precipitaciones en el periodo 2005-2025 en Tenerife. Tendencias pluviométricas en los últimos 21 años

	2369 m 2005 a 2025 LA OROTAVA - IZAÑA												
	ENE	FEB	MRZ	ABR	MAY	JUN	JUL	AGT	SEP	OCT	NOV	DIC	ANUAL
2005	27.1	63.6	29.4	56.9	18.8	0.0	0.0	0.8	3.0	14.7	63.0	60.1	337.4
2006	196.8	262.4	33.6	5.0	0.0	0.0	0.0	56.4	0.3	28.8	85.9	59.5	728.7
2007	50.8	11.4	79.2	8.0	16.0	0.0	0.2	0.0	0.0	1.4	29.8	18.6	215.4
2008	0.0	49.4	8.6	1.6	12.8	0.0	0.0	0.0	3.4	95.6	34.4	61.6	267.4
2009	77.0	84.4	76.1	0.0	0.0	1.0	0.2	0.0	9.8	0.0	4.2	26.2	278.9
2010	37.3	64.3	1.2	1.6	2.2	0.0	0.0	2.8	46.6	53.0	156.8	16.6	382.4
2011	80.2	0.2	3.4	33.4	0.0	0.0	0.0	0.0	3.2	15.8	4.8	0.0	141.0
2012	2.0	2.0	0.0	16.4	0.2	0.0	0.0	1.6	18.6	85.4	96.2	23.4	245.8
2013	1.4	38.2	49.6	0.4	0.0	0.0	0.0	6.4	0.4	6.6	10.2	130.7	243.9
2014	23.2	34.2	14.8	41.4	0.4	0.0	0.0	0.0	0.0	67.6	207.6	12.0	401.2
2015	13.4	9.2	55.4	0.2	0.0	0.0	0.8	66.2	3.2	113.6	0.4	5.4	267.8
2016	2.8	135.4	55.0	0.2	15.0	0.0	0.0	0.0	0.0	9.8	25.4	38.8	282.4
2017	8.6	20.8	2.6	1.8	1.6	0.0	0.0	0.0	1.4	0.0	16.6	39.0	92.4
2018	105.4	53.6	0.2	27.6	0.2	0.2	0.0	9.4	3.6	65.0	44.2	0.0	309.4
2019	0.0	6.0	25.8	10.6	0.0	0.0	0.0	0.2	6.4	49.6	3.7	36.4	138.7
2020	3.0	0.4	61.0	14.6	0.2	10.2	0.0	0.0	7.0	25.4	82.3	13.6	217.7
2021	97.2	41.4	3.3	16.5	0.0	1.2	0.0	0.0	0.4	0.3	42.2	5.6	208.1
2022	96.4	87.8	21.4	11.6	0.0	0.0	0.0	10.8	125.2	0.8	0.0	33.0	387.0
2023	8.4	31.8	0.0	1.0	1.6	7.0	0.0	11.4	1.1	25.2	25.9	4.0	117.4
2024	0.1	5.0	52.2	7.8	0.0	0.0	0.0	0.2	0.0	11.9	3.4	69.4	150.0
2025	9.8	10.1	24.2	24.4	7.8	0.0	0.0	0.4	5.8	0.2	47.7	108.9	239.3
	INV	116.6 mm		PRI	18.0 mm		VER	19.4 mm		OTO	115.2 mm		269.2

60 m 2005 a 2025 LA GUANCHA - CHARCO DEL VIENTO

	60 m 2005 a 2025 LA GUANCHA - CHARCO DEL VIENTO												
	ENE	FEB	MRZ	ABR	MAY	JUN	JUL	AGT	SEP	OCT	NOV	DIC	ANUAL
2005	10.3	69.9	21.6	8.7	4.3	1.7	0.1	17.9	1.6	31.4	28.3	28.9	224.7
2006	62.8	50.4	27.6	23.0	4.9	4.8	0.0	1.2	0.5	17.2	104.9	17.1	314.4
2007	23.9	9.8	105.5	10.9	11.5	3.3	1.0	2.7	0.9	6.7	21.3	40.5	238.0
2008	1.3	23.4	22.7	5.7	8.4	0.5	0.0	0.6	1.8	60.8	38.4	20.7	184.3
2009	38.1	53.5	60.1	5.2	0.5	6.7	0.0	0.1	4.2	0.8	57.6	59.7	286.5
2010	27.7	71.6	5.5	7.9	3.4	4.6	1.8	0.2	35.4	44.9	47.9	9.9	260.8
2011	91.6	22.6	53.0	46.4	12.6	4.0	4.5	2.6	3.7	6.0	37.0	1.3	285.3
2012	0.2	1.3	0.1	47.9	8.7	5.2	0.1	0.0	1.0	58.5	230.5	16.1	369.6
2013	7.3	7.0	45.9	11.7	2.0	6.8	0.0	0.0	7.3	14.4	26.7	166.2	295.3
2014	56.9	62.9	19.6	22.6	1.3	1.5	4.2	0.0	5.0	47.3	213.9	14.9	450.1
2015	15.2	7.6	67.6	0.3	2.0	26.8	1.1	25.4	3.2	96.7	3.8	4.0	253.7
2016	4.2	109.4	54.0	3.5	27.9	1.3	0.0	0.0	0.0	20.4	32.6	28.2	281.5
2017	5.3	30.2	26.4	2.8	7.2	0.8	2.3	0.3	4.1	0.0	8.8	27.8	116.0
2018	38.1	109.9	8.4	40.6	2.1	3.5	0.1	2.4	0.0	52.4	77.0	0.0	334.5
2019	14.0	25.2	40.2	41.1	0.2	5.5	2.7	0.0	3.5	43.6	16.5	38.3	230.8
2020	0.1	0.0	29.9	15.8	2.6	3.8	0.1	0.0	0.1	4.1	35.6	27.5	119.6
2021	74.5	46.4	13.3	11.1	1.7	0.5	0.2	0.7	0.0	5.5	24.3	9.7	187.9
2022	41.9	33.8	27.5	11.2	0.0	0.8	1.1	19.3	35.8	18.3	5.9	64.4	260.0
2023	34.5	29.6	11.4	5.2	1.7	12.5	0.8	2.0	2.8	14.7	33.9	18.5	167.6
2024	3.3	2.4	50.1	3.0	3.4	0.5	0.8	0.1	1.8	23.0	12.0	28.8	129.2
2025	31.3	11.1	51.0	60.7	3.0	3.0	0.7	10.6	1.6	2.8	60.5	10.6	246.9
	INV	100.1 mm		PRI	28.2 mm		VER	10.6 mm		OTO	110.5 mm		249.4

Precipitaciones en el periodo 2005-2025 en Tenerife. Tendencias pluviométricas en los últimos 21 años

66 m 2005 a 2025 BUENAVISTA DEL NORTE

	ENE	FEB	MRZ	ABR	MAY	JUN	JUL	AGT	SEP	OCT	NOV	DIC	ANUAL
2005	7.7	91.2	68.6	4.6	2.6	0.0	0.1	23.5	2.0	22.0	117.4	27.5	367.2
2006	48.9	63.0	18.2	15.9	0.7	3.9	3.4	0.1	1.9	24.7	38.5	13.6	232.8
2007	25.1	6.9	119.5	0.0	0.0	0.0	0.0	0.0	0.0	0.3	11.4	49.4	212.6
2008	0.0	41.2	10.7	10.8	4.7	0.2	0.5	1.7	2.8	35.7	19.8	42.4	170.5
2009	17.0	31.3	42.7	3.4	0.4	5.3	0.0	0.0	1.2	2.4	13.6	127.6	244.9
2010	30.6	115.5	2.9	28.9	4.3	4.2	0.1	0.8	26.1	33.6	82.2	61.0	390.2
2011	88.4	20.1	33.7	22.5	3.0	3.9	3.3	5.9	1.8	11.3	12.1	1.6	207.6
2012	0.4	0.3	0.0	20.6	0.7	8.4	0.1	0.0	0.8	51.1	189.0	5.8	277.2
2013	10.2	9.9	2.3	1.5	3.0	3.7	0.2	0.0	5.5	7.8	58.1	108.1	210.3
2014	59.1	55.5	12.8	15.1	0.4	4.0	1.8	0.0	0.2	52.4	97.8	19.5	318.6
2015	20.0	13.8	26.2	0.4	0.6	11.6	2.8	13.9	0.3	77.7	2.1	11.1	180.5
2016	1.5	69.0	25.3	5.5	18.3	0.2	0.0	0.0	0.0	35.5	38.3	25.3	218.9
2017	8.6	21.5	10.6	9.1	1.7	0.0	2.9	0.2	1.8	0.6	6.2	24.8	88.0
2018	36.0	78.7	13.2	11.7	3.9	5.7	0.0	1.3	0.3	63.6	42.7	0.0	257.1
2019	20.5	23.5	34.3	61.2	0.1	1.6	0.1	0.0	5.4	32.7	19.5	27.9	226.8
2020	2.4	0.3	32.0	13.8	1.8	2.6	0.0	0.1	0.7	5.3	43.5	24.0	126.5
2021	19.5	25.8	16.7	3.0	0.0	0.6	0.3	1.0	0.0	3.8	16.4	8.5	95.6
2022	28.1	25.2	31.9	11.5	1.6	0.6	0.2	4.1	35.8	3.3	0.0	0.0	142.3
2023	33.9	43.2	13.6	1.2	0.0	8.3	1.0	0.7	4.8	5.8	27.1	23.7	163.3
2024	3.4	2.0	31.1	2.7	3.8	0.3	1.5	0.1	2.1	18.5	17.0	14.4	96.9
2025	24.3	11.6	43.4	56.9	5.5	0.3	1.9	1.7	1.1	11.2	31.7	62.7	252.3
	INV	86.9 mm		PRI	20.1 mm		VER	8.1 mm		OTO	98.2 mm		213.3

475 m 2005 a 2025 ICOD DE LOS VINOS - SANTA BÁRBARA

	ENE	FEB	MRZ	ABR	MAY	JUN	JUL	AGT	SEP	OCT	NOV	DIC	ANUAL
2005	13.3	139.0	65.5	11.2	5.8	1.3	0.4	23.4	3.9	52.4	76.2	47.1	439.5
2006	106.4	104.3	25.7	59.2	4.4	26.7	3.6	5.6	10.1	31.8	132.3	41.1	551.2
2007	40.4	22.6	111.8	38.9	41.0	13.6	5.3	2.5	2.7	11.0	49.9	76.5	416.2
2008	0.3	59.1	39.1	11.3	24.5	1.3	1.8	20.7	6.4	60.7	37.2	35.1	297.5
2009	55.3	101.5	120.0	13.8	7.0	28.4	0.3	1.6	11.6	5.7	130.0	105.4	580.6
2010	32.7	199.4	33.9	24.2	20.3	27.5	6.2	1.3	68.6	66.7	172.5	39.9	693.2
2011	192.8	34.5	98.2	111.6	44.5	10.5	14.6	2.8	13.8	11.0	44.9	1.2	580.4
2012	0.6	3.1	0.3	81.7	7.4	10.0	0.1	0.1	13.4	89.9	196.0	86.7	489.3
2013	13.2	25.6	51.9	18.0	7.3	3.2	0.7	1.4	14.7	20.6	45.0	167.2	368.8
2014	111.1	130.9	32.4	52.7	4.1	6.7	4.9	1.5	17.5	61.7	382.3	39.9	845.7
2015	33.0	21.3	75.6	7.8	3.8	30.9	3.3	43.6	5.9	77.3	13.0	16.3	331.8
2016	10.4	205.5	124.4	11.5	47.9	9.8	3.2	0.0	0.0	29.0	77.2	29.9	548.8
2017	11.7	66.1	35.8	13.3	15.4	4.0	6.4	2.3	16.6	2.5	22.7	52.8	249.6
2018	74.7	140.9	14.9	94.9	26.7	12.9	0.0	5.3	0.5	70.6	100.0	0.0	541.4
2019	30.9	41.9	85.9	44.3	4.0	19.7	6.9	0.3	8.9	63.1	44.1	78.3	428.3
2020	8.0	0.4	85.3	67.7	7.8	22.2	0.0	1.3	1.1	5.9	72.4	62.9	335.0
2021	109.7	98.9	20.8	35.5	12.4	6.5	1.3	2.4	0.5	12.7	38.4	9.1	348.2
2022	60.6	84.8	83.3	18.5	1.0	12.0	5.9	14.7	65.7	70.5	13.5	90.4	520.9
2023	54.9	43.1	13.4	17.6	11.8	14.9	4.4	0.4	0.6	3.0	46.1	24.4	234.6
2024	3.6	2.8	48.6	10.9	13.0	3.7	5.9	3.2	7.8	42.9	12.2	50.0	204.6
2025	4.2	19.4	86.1	120.7	70.3	2.5	2.8	10.5	13.9	23.7	61.7	105.9	521.7
	INV	179.3 mm		PRI	72.1 mm		VER	24.1 mm		OTO	178.1 mm		453.7

450 m 2005 a 2025 LOS SILOS - TIERRA del TRIGO

	ENE	FEB	MRZ	ABR	MAY	JUN	JUL	AGT	SEP	OCT	NOV	DIC	ANUAL
2005	14.6	122.1	119.4	10.1	13.9	14.1	0.2	43.0	6.6	43.2	108.0	49.9	545.1
2006	103.5	129.9	34.6	44.5	8.2	51.1	4.1	3.5	11.2	54.4	90.7	32.6	568.3
2007	40.3	17.4	135.9	15.6	19.2	21.2	8.4	6.9	2.3	11.0	82.8	74.3	435.3
2008	4.1	84.0	30.8	34.5	16.4	3.0	4.9	32.1	5.1	83.3	56.9	123.0	478.1
2009	69.4	71.9	137.5	24.8	10.0	24.1	0.6	2.9	13.1	7.0	97.5	221.1	679.9
2010	59.6	432.1	33.3	34.3	12.4	22.8	15.2	2.7	61.4	72.2	177.2	121.3	1044.5
2011	198.2	49.9	100.0	99.5	39.3	12.9	133.2	15.3	7.1	23.9	49.5	2.7	731.5
2012	1.7	6.5	1.2	80.8	12.3	12.7	0.1	0.4	5.5	76.9	294.6	42.1	534.8
2013	12.7	44.8	110.1	20.2	13.6	11.4	1.6	3.7	23.7	13.8	57.5	122.8	435.9
2014	101.5	127.2	38.2	41.5	3.1	7.1	9.6	2.7	2.8	49.4	335.1	47.7	765.9
2015	31.9	43.5	67.9	3.8	1.9	54.5	11.4	57.8	18.5	137.2	11.0	38.3	477.7
2016	13.2	156.0	104.6	25.9	57.6	15.5	9.3	0.0	0.0	29.6	60.1	55.2	527.0
2017	13.8	72.3	33.9	26.3	14.0	7.5	15.5	8.9	14.6	14.2	58.4	62.1	341.5
2018	82.7	230.2	32.7	64.8	21.4	21.6	0.0	9.2	0.5	336.9	140.3	2.9	943.2
2019	49.4	69.5	54.4	54.6	5.3	10.7	10.2	0.6	15.2	74.1	52.7	57.9	454.6
2020	7.2	0.0	55.7	21.9	10.4	40.5	0.1	0.7	1.6	15.9	67.5	100.2	321.7
2021	94.5	90.1	61.1	22.6	7.8	16.6	3.0	8.4	3.3	15.1	47.1	16.6	386.2
2022	48.5	83.9	102.5	44.9	4.6	21.1	10.3	25.6	111.1	63.7	0.0	0.0	516.2
2023	83.8	61.2	22.3	11.7	7.8	44.8	7.1	4.3	51.2	61.5	91.6	53.3	500.6
2024	8.5	18.3	70.9	6.2	30.0	4.4	12.5	3.3	15.7	68.0	13.0	54.4	305.2
2025	42.7	23.6	123.3	102.5	23.4	2.7	14.3	21.9	31.9	27.0	118.7	138.9	670.9
	INV	213.6 mm		PRI	73.5 mm		VER	44.2 mm		OTO	224.1 mm		555.4

525 m 2005 a 2025 ICOD DE LOS VINOS - REDONDO

	ENE	FEB	MRZ	ABR	MAY	JUN	JUL	AGT	SEP	OCT	NOV	DIC	ANUAL
2005	11.4	169.1	96.2	15.1	4.1	5.7	0.1	28.2	2.8	54.4	99.8	57.4	544.3
2006	143.6	124.7	32.0	40.3	3.1	27.1	3.3	2.2	29.2	33.2	172.2	31.6	642.5
2007	23.9	16.9	93.4	48.5	10.1	15.0	3.5	2.6	2.7	12.7	56.2	73.3	358.8
2008	2.0	55.4	40.5	12.8	23.1	3.4	1.5	17.3	11.9	71.0	40.9	49.6	329.4
2009	57.5	93.2	136.6	20.2	8.1	26.8	0.2	0.6	9.6	3.3	85.2	136.2	577.5
2010	36.8	247.7	27.9	23.4	14.1	27.8	8.6	1.9	71.2	59.9	87.9	68.1	675.3
2011	151.4	32.8	77.5	123.6	36.4	6.7	11.6	3.2	10.8	12.2	53.4	0.6	520.2
2012	1.2	5.1	4.2	56.9	13.5	12.9	0.0	0.0	15.5	83.6	270.0	113.3	576.2
2013	11.2	36.3	60.5	17.7	11.3	2.0	0.4	0.9	15.8	15.8	46.7	162.8	381.4
2014	105.2	127.6	40.2	71.1	6.6	7.6	4.1	1.6	11.7	68.1	298.1	73.9	815.8
2015	29.8	29.4	99.1	12.7	4.8	23.0	3.0	48.6	11.5	197.0	11.3	3.5	473.7
2016	1.8	175.9	135.4	12.6	36.1	6.0	5.4	0.0	1.0	28.6	74.2	28.1	505.1
2017	12.0	72.2	46.6	32.5	18.3	3.1	3.2	2.7	12.0	30.5	45.2	57.6	335.9
2018	61.9	143.6	20.2	104.8	26.7	14.6	0.0	4.7	0.7	101.0	107.5	0.0	585.7
2019	24.5	46.1	79.4	48.8	7.3	21.6	5.7	0.1	7.3	58.1	32.0	80.3	411.2
2020	12.9	1.0	116.1	70.7	14.1	26.5	0.0	1.5	2.2	6.7	103.3	74.7	429.7
2021	118.7	108.5	24.3	48.5	6.5	12.9	1.7	1.6	1.3	15.7	31.9	10.3	381.9
2022	53.6	117.4	103.8	30.1	1.3	13.5	3.3	11.0	87.0	41.5	7.2	74.7	544.4
2023	62.2	53.1	6.5	29.6	13.8	32.7	5.0	0.1	0.0	88.6	43.9	32.2	367.7
2024	12.2	8.5	113.1	14.1	11.7	5.6	4.2	2.2	13.8	43.6	4.7	54.4	288.1
2025	29.6	22.9	103.7	110.4	84.1	1.7	4.9	6.5	18.0	47.9	70.3	111.4	611.4
	INV	195.6 mm		PRI	76.0 mm		VER	25.9 mm		OTO	195.7 mm		493.2

Precipitaciones en el periodo 2005-2025 en Tenerife. Tendencias pluviométricas en los últimos 21 años

555 m 2005 a 2025 BUENA VISTA DEL NORTE - EL PALMAR

	ENE	FEB	MRZ	ABR	MAY	JUN	JUL	AGT	SEP	OCT	NOV	DIC	ANUAL
2005	15.8	144.8	115.0	10.2	4.0	3.6	0.5	32.2	7.8	37.5	62.7	67.9	502.0
2006	123.9	85.5	28.7	22.8	4.3	22.9	1.3	1.5	11.8	71.6	99.0	27.3	500.6
2007	53.5	21.1	126.9	10.5	9.1	6.9	2.0	3.3	2.5	8.9	36.1	76.9	357.7
2008	3.4	98.5	28.4	32.5	17.4	2.6	2.7	16.8	5.8	67.5	52.8	127.3	455.7
2009	70.7	67.4	102.1	15.8	1.6	12.2	0.3	0.7	8.8	2.7	150.5	233.4	666.2
2010	68.4	238.5	27.4	28.1	5.5	12.9	5.3	1.2	36.5	69.7	175.5	139.5	808.5
2011	136.7	41.2	96.5	71.6	17.5	4.2	17.0	5.0	5.7	22.2	43.4	3.2	464.2
2012	5.4	6.5	0.5	57.2	6.4	6.4	0.1	0.0	3.3	103.2	294.3	31.3	514.6
2013	14.7	27.5	16.9	6.4	4.5	4.5	0.0	0.7	7.0	9.3	82.0	145.8	319.3
2014	34.6	83.6	24.9	26.7	0.5	2.2	0.4	0.0	2.7	63.0	195.5	19.7	453.8
2015	9.3	12.1	35.8	0.2	0.6	9.3	0.0	23.3	3.8	149.3	8.4	30.5	282.6
2016	5.2	114.3	62.6	5.1	20.6	3.7	0.0	0.0	0.0	40.1	71.9	52.7	376.2
2017	19.0	71.8	17.2	47.3	8.1	5.0	9.2	1.7	4.7	16.6	42.3	67.0	309.9
2018	69.1	159.8	44.0	55.8	14.6	10.6	0.0	3.8	0.4	105.8	73.7	0.2	537.8
2019	22.2	63.9	52.9	73.3	1.9	6.2	4.6	0.3	8.8	58.5	42.9	60.6	396.1
2020	9.6	0.0	74.7	49.6	6.8	22.3	0.1	0.4	2.3	17.6	98.1	90.0	371.5
2021	57.7	64.6	66.6	31.9	3.3	7.4	2.1	3.1	1.3	9.6	37.7	18.4	303.7
2022	45.5	84.7	87.3	41.3	4.6	8.4	6.0	21.8	113.2	32.1	13.3	93.7	551.9
2023	75.2	60.2	9.7	10.9	1.8	28.7	3.8	2.2	28.6	43.6	76.8	77.8	419.3
2024	15.5	14.5	76.4	7.0	16.7	1.9	8.8	1.4	10.1	64.3	17.8	44.1	278.5
2025	41.1	30.1	129.5	97.0	8.0	1.7	1.3	6.8	11.3	15.2	99.1	117.0	558.1
	INV	172.0 mm		PRI	49.6 mm		VER	22.3 mm		OTO	205.1 mm		449.0

880 m 2005 a 2025 EL TANQUE - RUIGÓMEZ

	ENE	FEB	MRZ	ABR	MAY	JUN	JUL	AGT	SEP	OCT	NOV	DIC	ANUAL
2005	19.5	224.5	125.9	15.4	15.4	9.1	0.8	50.0	11.9	50.5	112.9	86.1	722.0
2006	147.1	159.8	39.1	37.2	10.2	51.3	6.4	3.5	8.7	7.0	42.8	0.2	513.3
2007	0.3	22.1	168.1	31.7	44.3	19.9	8.6	12.4	17.4	14.0	84.1	76.6	499.5
2008	12.3	25.8	41.9	27.2	33.4	4.2	5.4	39.1	9.1	114.0	76.7	135.6	524.7
2009	93.9	120.2	293.5	43.6	8.0	0.0	0.0	0.0	0.0	0.0	0.0	0.0	559.2
2010	55.0	297.9	26.9	4.1	20.8	22.1	9.7	0.9	53.3	90.4	133.7	230.2	945.0
2011	147.9	51.9	113.2	127.4	30.8	6.9	23.0	5.0	9.7	20.5	68.0	3.4	607.7
2012	6.4	9.3	0.8	67.4	7.4	8.4	0.4	0.1	13.4	115.2	210.3	95.1	534.2
2013	3.9	22.9	78.8	23.4	0.3	0.1	0.0	2.3	0.0	11.9	53.0	102.2	298.8
2014	117.4	102.7	34.1	42.0	8.3	6.1	5.7	3.0	11.0	63.7	354.5	72.8	821.3
2015	34.6	53.0	87.9	4.8	1.8	35.1	3.5	67.4	15.9	254.3	20.1	77.8	656.2
2016	25.3	188.9	93.8	31.6	45.9	8.1	9.0	0.2	0.9	47.9	87.3	74.8	613.7
2017	14.4	100.4	45.6	44.8	5.6	3.6	6.7	2.1	0.0	0.0	0.0	73.6	296.8
2018	114.4	298.2	43.9	93.9	24.8	19.5	0.1	3.9	1.3	120.4	102.3	0.0	822.7
2019	33.5	68.9	52.0	32.9	4.6	14.6	7.8	0.3	11.7	55.9	60.6	35.7	378.5
2020	20.5	0.2	105.8	19.2	0.0	0.2	0.5	1.4	1.6	19.7	130.2	103.8	403.1
2021	118.8	85.6	37.7	40.1	9.3	16.8	0.3	2.2	2.9	17.9	37.9	7.0	376.5
2022	44.3	97.0	119.0	47.2	5.4	19.5	9.1	21.0	94.6	85.1	0.0	0.0	542.2
2023	92.1	59.3	12.5	15.9	2.2	51.9	5.3	5.0	57.2	56.4	70.7	63.4	491.9
2024	8.1	14.3	74.7	8.5	22.4	4.3	8.2	2.7	17.5	58.4	0.0	37.1	256.2
2025	39.3	28.7	125.7	136.6	40.4	2.8	7.4	14.9	11.2	20.3	122.7	125.7	675.7
	INV	233.4 mm		PRI	73.4 mm		VER	33.6 mm		OTO	209.2 mm		549.5

Precipitaciones en el periodo 2005-2025 en Tenerife. Tendencias pluviométricas en los últimos 21 años

73 m 2005 a 2025 ARONA - LAS GALLETAS

	ENE	FEB	MRZ	ABR	MAY	JUN	JUL	AGT	SEP	OCT	NOV	DIC	ANUAL
2005	21.1	87.8	42.4	0.1	0.0	0.0	0.0	28.8	5.4	8.0	19.7	25.6	238.9
2006	111.1	52.6	0.9	30.1	3.6	0.0	0.0	0.0	1.7	59.6	81.2	0.2	341.0
2007	35.9	0.4	25.1	0.0	1.1	0.0	0.0	0.0	0.0	0.0	0.0	38.9	101.4
2008	2.0	12.6	1.1	2.1	1.3	0.0	0.0	0.0	1.5	18.1	5.5	75.9	120.1
2009	4.0	8.4	5.5	0.0	0.0	0.0	0.0	0.0	14.5	0.0	1.0	34.3	67.7
2010	25.4	88.5	2.4	38.5	0.0	0.5	0.0	0.1	40.0	11.1	78.7	41.9	327.1
2011	61.9	8.6	5.3	16.7	0.0	0.0	0.0	0.0	0.5	9.8	0.0	0.0	102.8
2012	0.0	0.0	0.0	17.6	0.0	0.4	0.0	0.0	1.5	61.9	27.7	6.5	115.6
2013	0.0	3.6	44.6	0.0	0.0	0.0	0.1	0.0	0.0	3.6	32.1	110.0	194.0
2014	17.0	1.2	0.0	13.7	0.1	0.0	0.0	0.0	1.0	30.6	36.2	0.7	100.5
2015	0.0	7.8	2.9	0.0	0.0	0.0	0.0	19.2	5.0	62.4	0.0	6.0	103.3
2016	0.0	7.4	1.0	0.5	1.0	0.1	0.0	0.0	0.1	21.5	10.3	12.4	54.3
2017	0.0	31.5	10.7	10.2	0.0	0.0	0.1	0.1	0.2	0.3	1.2	1.2	55.5
2018	2.3	34.0	1.7	0.7	0.1	0.0	0.0	0.2	0.0	26.6	14.6	0.3	80.5
2019	0.0	0.0	29.0	20.0	0.0	0.0	0.0	0.1	3.5	11.9	0.1	0.2	64.8
2020	0.6	0.2	2.9	21.6	0.0	8.2	0.0	0.2	1.6	13.3	13.3	37.2	99.1
2021	27.2	2.6	2.0	0.1	0.0	0.2	0.0	0.0	0.0	0.3	9.6	6.1	48.1
2022	53.1	11.1	15.9	22.8	2.7	0.0	0.0	6.3	99.3	0.1	1.0	75.2	287.5
2023	2.7	11.6	0.5	0.0	0.6	3.1	0.0	1.6	3.8	21.4	12.8	15.2	73.3
2024	0.1	0.3	3.6	5.0	2.7	0.0	0.0	0.8	0.8	0.3	3.1	2.2	18.9
2025	5.4	0.8	16.6	26.2	0.8	0.0	0.0	0.0	0.0	6.9	14.1	2.5	73.3
	INV	45.5 mm		PRI	12.0 mm		VER	11.3 mm		OTO	58.2 mm		127.0

476 m 2005 a 2025 GUÍA DE ISORA

	ENE	FEB	MRZ	ABR	MAY	JUN	JUL	AGT	SEP	OCT	NOV	DIC	ANUAL
2005	18.0	70.3	64.7	0.2	1.8	2.0	0.0	22.8	11.3	20.4	20.4	32.6	264.5
2006	51.7	49.2	2.3	17.2	0.9	0.1	0.0	0.4	2.7	30.0	82.3	1.3	238.1
2007	24.5	6.5	33.3	0.0	3.2	0.0	0.0	0.0	0.0	0.4	11.0	42.3	121.2
2008	0.0	28.0	0.9	6.1	0.0	2.3	0.0	0.0	3.5	0.8	1.4	82.7	125.7
2009	8.4	27.3	24.0	0.1	0.0	0.0	0.0	0.0	5.7	0.0	0.8	60.7	127.0
2010	10.8	204.6	5.9	9.3	13.6	0.9	2.1	0.1	32.3	2.8	75.3	58.4	416.1
2011	50.1	18.1	43.4	47.6	0.1	0.0	0.1	0.0	1.3	6.6	0.7	0.0	168.0
2012	0.0	17.2	0.3	10.7	0.0	0.5	0.2	0.0	0.0	68.3	81.4	0.0	178.6
2013	0.4	8.3	47.4	0.3	0.2	0.0	0.1	0.0	0.0	0.0	13.0	180.5	250.2
2014	25.0	28.7	0.7	14.1	0.0	0.0	0.0	0.0	0.5	55.6	28.6	1.4	154.6
2015	0.5	4.3	2.6	0.0	0.0	0.0	0.1	24.5	3.8	46.4	0.3	5.3	87.8
2016	1.6	33.4	1.1	2.7	7.0	0.4	0.0	0.0	0.3	28.4	5.9	9.6	90.4
2017	0.4	26.1	0.1	16.5	0.1	0.0	0.0	0.0	3.0	0.2	0.5	6.1	53.0
2018	7.5	43.0	13.7	1.2	0.5	0.0	0.4	0.1	0.0	13.9	8.1	0.0	88.4
2019	0.0	0.4	12.4	10.3	0.0	0.3	0.9	0.0	13.6	17.4	0.3	0.6	56.2
2020	0.0	0.0	10.0	0.0	3.4	3.0	0.0	0.0	0.5	4.2	7.3	21.1	49.5
2021	39.2	3.6	1.1	1.7	0.0	0.1	0.9	0.8	0.1	0.2	8.7	7.3	63.7
2022	14.2	44.5	45.3	17.4	1.4	0.0	0.0	7.5	74.7	0.8	0.0	55.3	261.1
2023	0.3	42.7	0.0	0.0	6.1	11.1	0.0	2.5	3.4	3.3	15.5	28.0	112.9
2024	3.4	0.4	13.8	0.7	0.2	0.3	0.0	0.6	1.7	6.3	4.2	5.0	36.6
2025	16.9	5.1	34.2	83.8	5.7	0.0	0.0	0.0	1.5	0.0	15.4	49.0	211.6
	INV	61.5 mm		PRI	14.5 mm		VER	10.7 mm		OTO	63.5 mm		150.2

700 m 2005 a 2025 GUÍA DE ISORA - EL POZO

	ENE	FEB	MRZ	ABR	MAY	JUN	JUL	AGT	SEP	OCT	NOV	DIC	ANUAL
2005	29.5	65.0	74.2	0.7	3.0	1.8	0.4	30.3	14.3	29.9	26.2	9.8	285.1
2006	62.7	75.3	4.1	20.6	2.1	0.4	0.1	1.2	5.9	45.5	24.2	0.9	243.0
2007	27.9	6.2	36.0	0.0	3.9	0.5	0.1	0.0	0.3	0.8	20.6	52.3	148.6
2008	0.0	44.4	16.4	10.0	1.7	7.1	0.2	0.6	2.7	3.7	3.8	69.0	159.6
2009	10.6	42.8	41.0	0.6	0.0	0.4	0.0	0.0	15.2	0.2	4.3	97.0	212.1
2010	20.9	264.2	13.2	15.3	0.3	1.9	3.5	0.3	51.6	18.4	95.6	99.0	584.2
2011	53.1	20.3	45.4	41.6	0.7	0.1	2.1	0.0	4.3	14.0	1.5	0.0	183.1
2012	1.1	7.5	0.3	19.3	0.0	1.0	0.3	0.3	0.3	89.1	75.0	0.0	194.2
2013	0.5	5.9	55.8	1.1	1.1	0.1	0.2	0.1	3.1	0.7	17.4	201.4	287.4
2014	19.5	72.3	2.7	26.2	0.0	0.0	0.2	0.0	0.6	72.2	65.9	2.1	261.7
2015	0.4	5.6	6.8	0.0	1.0	2.0	0.0	23.1	13.7	69.0	0.7	7.9	130.2
2016	2.1	58.2	4.3	6.9	12.4	2.5	0.1	0.0	0.6	47.3	20.1	24.1	178.6
2017	1.1	41.5	1.3	23.6	1.7	0.2	0.0	0.0	5.9	0.1	1.5	3.6	80.5
2018	8.6	78.2	19.3	1.7	1.8	1.1	0.0	0.3	0.1	20.5	9.6	0.0	141.2
2019	0.6	0.5	23.1	14.8	0.0	6.6	4.7	0.0	12.9	21.6	0.7	3.7	89.2
2020	0.0	0.0	44.2	4.5	3.4	6.8	0.1	1.0	0.5	8.1	15.7	32.7	117.0
2021	59.5	7.6	3.0	5.2	0.3	2.6	0.2	2.3	1.6	3.3	7.0	7.8	100.4
2022	34.7	52.0	63.3	27.3	2.6	1.8	24.4	62.3	63.3	27.3	0.2	4.2	363.4
2023	1.4	54.9	0.0	0.1	4.9	18.6	0.1	3.2	5.4	2.8	14.6	13.8	119.8
2024	2.6	0.5	15.1	2.3	3.8	3.3	0.4	1.3	1.9	11.5	7.9	14.9	65.5
2025	14.8	7.5	42.1	45.7	5.6	0.3	0.1	0.0	2.6	2.8	36.6	76.2	234.3
INV	84.5 mm			PRI	17.9 mm		VER	17.6 mm		OTO	79.0 mm		199.0

735 m 2005 a 2025 GUÍA DE ISORA - CHÍO

	ENE	FEB	MRZ	ABR	MAY	JUN	JUL	AGT	SEP	OCT	NOV	DIC	ANUAL
2005	19.0	67.0	17.0	1.0	4.0	0.0	0.0	0.0	0.0	12.0	55.0	60.0	235.0
2006	77.5	73.5	5.2	19.1	3.9	0.3	0.1	1.9	3.7	36.4	90.6	0.7	312.9
2007	28.5	7.3	45.0	0.0	4.0	0.1	0.0	0.2	0.3	0.0	20.2	65.5	171.1
2008	1.6	41.3	13.7	13.9	1.7	4.0	0.2	1.0	4.0	8.3	4.4	92.1	186.2
2009	18.6	54.2	31.7	2.6	0.0	0.4	0.0	0.0	7.8	0.0	4.7	101.3	221.3
2010	19.2	272.1	15.2	21.9	0.3	2.4	1.8	0.2	33.3	4.8	107.2	67.7	546.1
2011	64.6	22.8	50.1	44.5	1.0	0.0	2.3	0.0	6.5	10.3	2.7	0.0	204.8
2012	0.2	6.6	0.1	15.2	0.5	0.2	0.1	0.2	0.1	76.8	92.5	0.0	192.5
2013	0.4	15.7	60.0	1.8	6.1	0.4	0.0	0.5	1.5	0.7	18.9	184.3	290.3
2014	20.7	4.1	4.4	18.5	0.1	0.0	0.2	0.0	0.5	1.8	88.9	3.0	142.2
2015	0.4	3.1	24.5	0.0	0.4	0.4	0.0	45.9	14.7	56.9	0.0	16.6	162.9
2016	0.4	120.1	11.0	6.3	15.3	0.3	0.0	0.0	0.1	36.5	31.8	17.2	239.0
2017	0.3	33.5	0.1	22.8	4.0	1.2	0.2	0.0	2.5	0.0	0.4	8.3	73.3
2018	34.7	82.1	20.2	2.3	0.5	0.4	0.0	0.1	0.6	19.5	12.7	0.0	173.1
2019	1.2	8.0	20.0	14.2	0.5	4.5	2.0	0.0	2.0	31.8	0.0	15.5	99.7
2020	0.0	0.0	49.2	0.8	4.2	7.6	0.1	0.4	1.1	5.4	19.6	30.1	118.5
2021	66.0	12.6	4.5	3.6	0.3	0.6	0.3	1.6	5.4	1.9	5.6	13.2	115.6
2022	15.3	41.7	63.1	27.5	3.4	1.3	0.0	12.7	76.4	9.3	0.0	92.9	343.6
2023	0.3	58.7	0.0	0.1	6.5	23.6	0.1	3.5	1.3	6.4	24.9	8.4	133.8
2024	1.5	0.5	15.3	0.5	1.8	1.8	0.1	0.5	1.0	10.4	6.5	7.7	47.6
2025	14.8	4.2	24.8	63.6	11.0	1.3	0.2	0.3	3.1	9.3	29.3	77.4	239.3
INV	85.2 mm			PRI	19.1 mm		VER	11.6 mm		OTO	86.5 mm		202.3

Precipitaciones en el periodo 2005-2025 en Tenerife. Tendencias pluviométricas en los últimos 21 años

990 m 2005 a 2025 SANTIAGO DEL TEIDE - VALLE DE ARRIBA

	ENE	FEB	MRZ	ABR	MAY	JUN	JUL	AGT	SEP	OCT	NOV	DIC	ANUAL
2005	18.1	244.4	113.6	9.0	0.1	1.1	0.0	32.6	15.4	38.3	83.8	122.4	678.8
2006	191.1	154.6	26.7	25.8	8.6	4.9	0.0	0.3	6.9	93.9	94.7	15.8	623.3
2007	30.5	10.5	172.8	7.1	24.2	0.9	0.0	0.0	0.1	7.6	37.7	78.1	369.5
2008	0.1	98.0	7.5	18.0	10.5	0.4	0.0	1.3	8.0	49.6	26.7	105.4	325.5
2009	54.7	86.3	64.3	5.3	0.1	9.9	0.0	0.1	7.8	0.0	0.0	282.7	511.2
2010	45.9	356.7	27.3	38.3	4.5	6.1	0.3	1.4	35.4	57.6	135.9	150.7	860.1
2011	74.0	38.8	141.0	73.5	6.7	0.2	1.1	0.0	2.5	21.2	29.2	0.1	388.3
2012	1.5	2.8	0.0	23.5	0.0	0.0	0.0	0.0	0.0	70.9	214.9	23.4	337.0
2013	2.9	37.7	100.5	11.7	2.9	0.1	0.0	0.0	0.2	20.2	69.5	179.9	425.6
2014	71.2	113.6	23.7	45.7	2.1	0.2	0.0	0.0	2.0	77.8	213.6	24.5	574.4
2015	11.3	9.5	83.2	0.4	0.2	9.0	0.0	60.4	6.2	112.3	3.3	29.9	325.7
2016	6.7	176.8	99.5	11.1	11.8	0.3	0.0	0.0	0.1	16.1	69.8	53.4	445.6
2017	7.2	97.4	21.2	18.3	1.6	0.6	0.2	1.0	5.6	1.4	2.5	42.9	199.9
2018	104.6	214.7	37.9	19.4	7.2	1.8	0.0	2.3	0.3	47.0	58.8	0.0	494.0
2019	22.5	63.9	44.4	34.6	0.6	0.4	0.2	0.0	2.4	56.9	13.8	78.2	317.9
2020	2.3	0.1	71.5	33.2	3.3	11.7	0.0	0.2	0.8	4.3	61.4	41.8	230.6
2021	138.9	67.6	20.9	10.6	0.1	1.0	0.0	0.0	0.0	3.2	22.2	25.1	289.6
2022	35.5	95.7	108.3	55.3	11.4	2.3	0.3	7.8	64.6	10.6	0.6	97.1	489.5
2023	38.0	89.6	0.0	11.0	0.7	65.2	0.8	5.8	7.9	63.3	61.0	101.6	444.9
2024	11.3	3.3	72.2	15.5	2.2	0.2	0.0	0.2	1.9	28.1	17.7	32.4	185.0
2025	23.3	18.7	87.0	107.3	22.3	0.0	0.4	2.7	2.0	1.4	91.9	101.7	458.7
	INV	199.8 mm		PRI	38.7 mm		VER	13.8 mm		OTO	175.1 mm		427.4

1258 m 2005 a 2025 VILAFLORES - EL FRONTÓN

	ENE	FEB	MRZ	ABR	MAY	JUN	JUL	AGT	SEP	OCT	NOV	DIC	ANUAL
2005	25.9	271.6	76.5	1.4	0.1	1.7	1.2	89.2	12.8	59.8	22.3	0.0	562.5
2006	2.1	173.6	3.0	1.7	0.6	0.0	0.0	0.0	0.2	169.1	53.2	0.4	403.9
2007	60.5	2.2	110.4	0.7	3.0	0.6	0.1	0.0	0.0	0.0	32.6	101.6	311.7
2008	0.1	46.7	34.0	45.2	0.5	5.2	0.0	0.0	20.3	27.8	16.4	66.5	262.7
2009	11.4	41.5	35.9	1.1	0.2	0.5	0.1	0.2	20.7	1.7	5.8	294.5	413.6
2010	31.9	437.2	17.0	36.7	0.4	3.6	0.4	0.7	39.8	15.2	152.4	273.4	1008.7
2011	81.9	20.0	23.0	84.5	0.9	0.0	0.0	0.0	2.2	44.3	1.0	0.0	257.8
2012	0.7	5.8	0.6	25.7	0.3	0.0	0.0	0.4	12.4	110.7	52.0	0.0	208.6
2013	0.0	5.4	127.3	1.0	4.8	0.4	0.0	1.0	0.3	59.9	29.5	54.5	284.1
2014	19.4	7.3	0.1	41.7	0.3	0.5	0.4	0.1	1.9	71.3	39.7	2.9	185.6
2015	0.4	6.5	10.2	0.0	0.2	1.9	0.1	43.9	32.4	140.4	0.0	6.5	242.5
2016	0.2	9.8	1.9	3.7	1.2	1.9	0.5	0.0	19.3	23.9	13.4	59.8	135.6
2017	1.6	60.4	17.7	51.9	0.1	0.0	0.0	0.0	15.2	5.0	1.5	0.7	154.1
2018	5.6	136.3	54.4	11.4	3.1	3.4	0.0	26.4	0.0	23.0	19.6	0.0	283.2
2019	0.3	0.0	78.1	38.4	0.0	1.9	0.0	0.0	32.3	50.0	14.5	4.4	219.9
2020	4.2	0.0	15.5	18.2	0.7	15.7	0.0	5.1	6.3	11.9	25.7	54.0	157.3
2021	120.3	8.1	2.2	7.9	0.9	0.1	0.0	1.4	1.2	0.6	15.2	7.6	165.5
2022	49.0	21.7	54.6	40.9	1.4	0.0	0.0	7.4	130.4	0.0	0.0	0.0	305.4
2023	4.1	42.5	0.0	0.8	3.6	77.0	0.0	0.0	0.4	1.3	24.6	60.5	214.8
2024	0.3	0.0	18.0	11.7	1.9	0.5	0.0	0.1	0.1	4.1	10.2	11.6	58.5
2025	5.7	2.8	43.8	98.0	5.4	0.0	0.0	1.6	4.0	2.5	67.5	13.6	244.9
	INV	116.6 mm		PRI	31.8 mm		VER	25.4 mm		OTO	115.8 mm		289.6

Precipitaciones en el periodo 2005-2025 en Tenerife. Tendencias pluviométricas en los últimos 21 años

2150 m 2005 a 2025 LA OROTAVA - CAÑADAS - PARADOR

	ENE	FEB	MRZ	ABR	MAY	JUN	JUL	AGT	SEP	OCT	NOV	DIC	ANUAL
2005	25.5	0.0	21.3	5.0	3.0	0.0	0.0	0.0	0.0	0.0	77.0	1.3	133.1
2006	100.2	130.1	0.0	0.0	0.0	0.0	0.0	76.7	9.4	137.8	35.5	0.0	489.7
2007	75.2	49.5	0.0	0.0	0.0	0.0	0.0	2.9	0.8	0.0	1.6	0.0	130.0
2008	0.0	70.0	27.6	0.0	0.0	0.0	0.0	0.0	0.0	0.0	22.2	111.0	230.8
2009	3.2	113.4	2.9	5.6	0.0	0.0	0.0	0.0	0.0	8.3	0.0	0.0	133.4
2010	46.6	165.2	10.5	25.2	1.1	0.0	0.0	2.0	66.1	30.1	122.4	135.7	604.9
2011	68.0	0.4	11.8	81.0	0.4	0.0	0.0	0.0	4.6	7.6	0.8	0.0	174.6
2012	4.4	2.2	3.6	6.2	0.0	0.0	0.0	0.6	0.0	126.8	98.4	0.0	242.2
2013	0.0	4.8	153.6	0.0	0.0	0.0	0.0	5.0	0.0	0.0	23.2	123.2	309.8
2014	8.2	16.0	1.6	107.0	0.0	0.0	0.0	0.0	4.0	81.0	46.0	8.2	272.0
2015	6.8	6.2	3.0	0.0	0.0	0.0	0.0	65.8	0.0	105.5	0.4	5.4	193.1
2016	0.0	53.8	5.6	4.8	8.2	0.0	0.0	0.0	0.0	19.2	4.8	44.8	141.2
2017	3.2	50.8	5.2	16.6	0.0	0.0	0.0	0.0	11.0	0.0	10.8	0.0	97.6
2018	4.0	99.6	19.2	0.0	0.0	0.0	0.0	7.4	6.0	21.2	17.6	0.0	175.0
2019	1.0	0.0	18.6	7.4	0.0	0.0	0.0	0.2	19.8	57.0	0.0	6.8	110.8
2020	0.0	0.6	22.4	0.8	0.0	13.8	0.0	0.0	0.2	30.6	20.0	34.7	123.1
2021	208.2	0.6	0.0	2.0	0.0	0.8	0.0	0.0	0.0	0.0	1.0	12.2	224.8
2022	96.6	46.8	52.0	36.2	0.2	0.0	0.0	22.0	107.2	0.4	0.0	33.0	394.4
2023	0.0	21.2	0.0	0.0	0.6	51.4	0.0	20.2	0.0	0.2	39.2	2.4	135.2
2024	0.2	0.0	14.4	0.0	0.0	0.0	0.0	0.8	0.0	0.0	7.6	28.0	51.0
2025	2.2	4.6	13.0	64.4	1.2	0.0	0.0	0.0	0.0	0.0	65.0	76.8	227.2

	INV	89.3 mm		PRI	21.1 mm		VER	20.6 mm		OTO	87.7 mm		218.8

64 m 2005 a 2025 GRANADILLA - AEROPUERTO DEL SUR

	ENE	FEB	MRZ	ABR	MAY	JUN	JUL	AGT	SEP	OCT	NOV	DIC	ANUAL
2005	3.7	60.7	23.4	5.7	8.4	0.0	0.0	0.0	0.2	0.3	28.6	31.6	162.6
2006	135.1	114.5	23.3	0.0	0.0	0.0	0.0	31.0	10.3	15.6	21.7	28.4	379.9
2007	63.6	33.9	0.6	24.8	1.2	0.0	0.0	0.0	2.3	65.3	84.3	0.0	276.0
2008	0.1	4.8	7.9	0.6	0.6	0.0	0.0	0.0	0.4	5.0	2.4	32.4	54.2
2009	2.0	14.8	2.0	1.2	1.4	0.0	0.0	0.0	1.0	2.0	5.0	44.5	73.9
2010	42.1	65.0	0.3	26.4	0.4	0.4	0.0	0.0	12.4	9.1	58.6	38.9	253.6
2011	40.5	5.2	2.4	4.5	0.1	0.0	0.0	0.0	0.1	6.2	0.0	0.0	59.0
2012	0.3	1.1	0.0	24.7	0.0	0.0	0.0	0.0	0.6	11.7	10.7	0.0	49.1
2013	0.0	0.7	31.4	0.0	0.0	0.0	0.0	0.2	0.2	0.0	15.2	178.4	226.1
2014	25.0	15.0	0.1	10.5	0.0	0.0	0.2	5.6	0.5	27.4	23.8	1.6	109.7
2015	0.0	8.7	1.0	0.0	0.0	0.2	0.0	8.0	4.2	61.4	0.0	2.7	86.2
2016	0.0	4.9	0.8	0.4	0.6	0.0	0.0	0.0	0.0	13.9	4.0	5.5	30.1
2017	0.0	14.0	6.3	11.1	0.0	0.0	0.0	0.0	0.0	0.2	0.6	0.8	33.0
2018	0.6	80.1	1.2	0.0	1.0	0.0	0.0	0.0	0.0	38.2	9.9	0.0	131.0
2019	0.7	0.3	10.3	27.6	0.0	0.0	0.0	0.0	3.9	6.6	0.2	0.0	49.6
2020	0.7	0.0	1.1	11.7	0.0	5.8	0.0	0.0	1.1	14.8	14.8	41.7	91.7
2021	28.6	7.2	0.0	0.6	1.8	0.3	0.0	0.0	0.0	0.4	12.6	7.7	59.2
2022	13.9	9.3	9.7	17.2	1.6	0.0	0.0	9.4	108.6	0.0	0.0	61.9	231.6
2023	5.6	28.0	0.7	0.0	2.8	1.2	0.0	1.3	7.5	0.7	22.1	1.1	71.0
2024	0.4	0.0	17.2	0.0	10.9	0.6	0.0	0.0	3.3	9.6	1.9	16.0	59.9
2025	3.9	0.0	18.6	36.2	4.1	0.0	0.0	0.0	0.1	8.1	15.9	4.0	90.9

	INV	47.3 mm		PRI	11.7 mm		VER	10.1 mm		OTO	53.6 mm		122.8

Precipitaciones en el periodo 2005-2025 en Tenerife. Tendencias pluviométricas en los últimos 21 años

135 m 2005 a 2025 ARICO - LLANOS DE SAN JUAN

	ENE	FEB	MRZ	ABR	MAY	JUN	JUL	AGT	SEP	OCT	NOV	DIC	ANUAL
2005	9.0	89.2	59.3	0.0	0.5	0.3	0.0	50.4	18.4	0.0	33.9	53.5	314.5
2006	133.9	70.1	0.1	25.9	8.9	0.0	0.0	1.6	3.3	28.7	96.5	0.0	369.0
2007	84.1	0.0	19.7	1.1	3.5	2.3	0.0	0.0	1.2	0.7	3.9	51.5	168.0
2008	0.1	28.1	4.6	1.8	0.0	2.0	0.0	0.0	8.9	1.6	0.8	119.6	167.5
2009	2.7	8.5	5.8	0.0	0.2	0.0	0.0	0.0	10.0	0.9	1.2	47.3	76.6
2010	16.6	167.1	0.2	9.8	3.7	1.4	0.0	0.0	12.7	41.5	70.2	39.2	362.4
2011	40.9	5.4	5.6	10.4	3.1	0.0	0.0	0.0	0.4	20.2	1.7	0.4	88.1
2012	1.8	1.0	0.3	29.1	0.0	0.0	0.0	0.0	8.8	48.1	31.4	0.0	120.5
2013	0.0	1.2	54.7	0.0	1.9	0.0	0.0	0.0	0.0	1.6	9.3	221.6	290.3
2014	18.1	2.9	0.0	15.4	0.0	0.0	0.0	0.0	0.2	28.2	13.3	0.5	78.6
2015	0.3	6.5	2.8	0.0	0.1	0.0	0.0	10.2	6.8	85.4	0.0	2.1	114.2
2016	1.5	3.3	3.3	2.2	4.7	0.0	0.0	0.0	0.0	32.0	7.2	14.7	68.9
2017	0.2	25.6	7.7	21.2	2.1	0.0	0.0	0.0	0.7	0.0	1.4	7.9	66.8
2018	4.4	107.9	2.0	2.3	2.3	0.1	0.0	1.4	0.0	36.7	16.5	0.0	173.6
2019	0.4	0.4	14.1	7.5	0.0	0.1	0.0	0.0	6.1	9.0	0.0	0.0	37.6
2020	0.6	0.0	2.1	4.1	0.0	10.2	0.0	0.0	0.0	6.3	1.0	57.4	81.7
2021	52.2	9.8	0.1	19.5	0.0	0.7	0.0	0.0	2.6	0.0	6.8	8.6	100.3
2022	25.4	13.3	11.6	17.4	0.0	0.0	0.9	0.1	128.5	0.0	0.0	92.2	289.4
2023	8.1	68.3	0.5	0.6	3.1	35.3	0.0	2.3	5.0	0.6	17.2	72.1	213.1
2024	0.3	1.0	16.4	2.0	6.8	0.0	0.0	0.5	5.9	0.9	2.3	10.0	46.1
2025	0.7	0.3	9.8	36.4	6.7	0.0	0.0	0.0	0.0	7.3	17.2	16.9	95.3
INV	58.7 mm			PRI	14.6 mm		VER	13.7 mm		OTO	71.3 mm		158.2

410 m 2005 a 2025 ARICO - TEGUEDITE - EL VISO

	ENE	FEB	MRZ	ABR	MAY	JUN	JUL	AGT	SEP	OCT	NOV	DIC	ANUAL
2005	0.6	143.7	35.0	1.9	0.8	4.6	0.0	80.0	8.0	35.3	72.2	1.5	383.6
2006	0.0	111.0	7.1	46.7	6.9	4.2	0.1	8.4	10.1	21.3	78.8	0.5	295.1
2007	18.6	6.9	28.8	9.9	6.2	7.3	0.1	0.0	8.4	1.4	4.5	66.3	158.4
2008	1.4	29.8	3.4	1.6	0.3	1.4	0.0	0.0	0.0	2.6	3.1	71.4	115.0
2009	1.8	45.9	14.5	0.4	0.2	2.8	0.0	0.2	19.7	9.6	2.5	86.7	184.3
2010	37.2	98.1	0.6	8.3	11.8	13.4	0.1	0.1	17.9	20.4	128.5	78.4	414.8
2011	40.4	6.8	19.6	39.9	8.0	0.2	0.0	0.3	1.4	38.8	0.1	0.2	155.7
2012	2.8	4.2	0.3	48.0	0.9	3.4	0.0	0.4	18.6	40.2	29.6	0.3	148.7
2013	0.0	1.9	99.2	0.6	4.9	0.8	0.3	0.9	5.7	64.4	21.9	72.3	272.9
2014	31.4	7.8	0.0	17.4	1.4	0.0	1.9	0.0	4.8	29.4	8.6	1.4	104.1
2015	1.4	8.4	6.4	0.0	1.3	0.1	0.7	16.8	16.9	104.0	0.1	0.2	156.3
2016	0.0	0.3	1.2	0.0	15.6	0.0	0.0	0.3	0.2	11.7	20.7	14.3	64.3
2017	2.3	28.4	4.8	12.6	2.8	0.0	0.1	0.1	5.4	0.4	1.0	11.6	69.5
2018	9.7	84.6	0.9	0.0	0.3	0.0	0.0	0.0	0.0	26.9	4.5	0.0	126.9
2019	0.4	0.6	12.3	15.7	0.0	7.0	0.2	0.0	17.7	20.4	1.9	0.8	77.0
2020	3.4	0.4	29.1	22.1	10.5	54.2	0.0	0.0	2.6	8.3	2.1	30.1	162.8
2021	40.9	4.4	1.1	42.6	1.1	1.1	0.1	0.7	0.1	0.4	8.3	3.6	104.4
2022	19.9	12.9	3.8	4.6	0.2	0.3	0.7	1.3	152.8	4.4	0.8	57.1	258.8
2023	57.4	70.6	5.3	2.1	5.4	52.1	0.0	5.2	37.8	2.4	16.6	33.4	288.3
2024	5.6	1.8	24.1	11.4	20.3	2.2	2.0	0.0	9.8	18.3	9.1	14.6	119.2
2025	0.2	1.0	45.6	69.5	1.6	0.0	3.4	1.2	1.2	44.1	32.7	52.2	252.7
INV	61.3 mm			PRI	29.1 mm		VER	22.1 mm		OTO	73.8 mm		186.3

Precipitaciones en el periodo 2005-2025 en Tenerife. Tendencias pluviométricas en los últimos 21 años

500 m 2005 a 2025 GÚIMAR - LOMO MENA

	ENE	FEB	MRZ	ABR	MAY	JUN	JUL	AGT	SEP	OCT	NOV	DIC	ANUAL		
2005	26.0	216.1	13.3	3.3	2.3	0.4	0.6	73.7	0.9	33.4	14.2	38.8	423.0		
2006	138.1	85.1	13.8	30.3	4.4	1.7	0.0	0.5	7.3	11.8	64.4	8.6	366.0		
2007	74.4	0.0	42.8	11.0	14.7	9.1	0.5	0.0	1.7	2.3	3.4	87.6	247.5		
2008	0.1	67.3	39.8	0.2	1.4	3.1	0.0	0.1	2.7	9.2	2.9	121.0	247.8		
2009	4.2	105.1	94.4	2.8	4.8	3.6	0.0	0.0	24.7	4.2	2.7	26.4	272.9		
2010	36.6	107.6	0.1	1.5	13.0	11.0	0.0	0.1	0.3	22.8	107.6	23.2	323.8		
2011	65.7	5.4	31.5	33.9	7.2	0.0	0.0	0.0	1.5	19.0	2.8	1.7	168.7		
2012	7.3	19.4	1.9	22.3	0.0	3.3	0.0	0.4	32.7	27.6	38.4	2.4	155.7		
2013	1.1	6.7	26.2	0.5	17.0	0.1	0.0	2.4	7.9	13.0	3.0	84.4	162.3		
2014	35.1	44.7	3.0	24.2	0.1	0.0	0.0	0.0	13.9	87.8	55.8	2.6	267.2		
2015	7.3	20.5	15.5	2.6	5.1	0.2	0.0	58.3	29.3	160.7	1.7	1.8	303.0		
2016	8.9	53.1	0.0	0.0	0.0	0.0	0.0	0.0	0.0	0.0	0.0	0.0	62.0		
2017	0.0	0.5	18.6	4.3	82.9	0.1	0.0	0.0	0.2	5.4	4.5	42.0	158.5		
2018	31.7	80.6	0.0	2.6	2.8	1.2	0.0	0.9	0.0	106.2	61.1	0.0	287.1		
2019	5.7	5.9	19.3	57.5	0.1	6.0	0.0	0.0	4.1	50.4	2.3	8.5	159.8		
2020	3.0	0.0	29.4	12.0	3.3	53.1	0.0	0.0	2.9	36.2	38.8	54.1	232.8		
2021	9.0	9.8	5.2	17.7	4.0	2.7	0.0	6.0	12.0	0.2	75.7	12.9	155.2		
2022	83.5	15.1	16.1	16.4	1.2	1.1	0.0	4.0	137.8	0.2	0.9	80.0	356.3		
2023	30.7	65.8	6.0	5.4	8.5	19.6	0.0	3.0	2.4	8.5	24.9	94.4	269.2		
2024	8.8	4.5	50.4	7.6	40.4	2.5	0.0	0.1	11.0	16.4	17.2	20.0	178.9		
2025	4.5	1.8	29.1	48.8	10.2	0.0	0.9	1.4	1.2	35.1	17.4	21.1	171.5		
INV	93.0	mm		PRI	30.8	mm		VER	21.3	mm		OTO	91.5	mm	236.6

505 m 2005 a 2025 GRANADILLA - CHARCO DEL PINO

	ENE	FEB	MRZ	ABR	MAY	JUN	JUL	AGT	SEP	OCT	NOV	DIC	ANUAL		
2005	17.0	159.6	112.2	0.4	0.9	0.1	0.0	36.3	10.3	26.5	80.4	80.4	524.1		
2006	169.5	125.1	2.6	30.2	4.4	0.6	0.2	0.9	17.7	92.6	71.5	0.0	515.3		
2007	48.7	10.9	24.6	9.4	11.1	0.2	0.4	0.2	2.5	1.0	5.7	55.0	169.7		
2008	0.2	28.3	1.6	6.3	6.5	3.3	0.0	1.2	10.7	2.7	7.5	34.0	102.3		
2009	4.2	72.0	17.6	0.2	0.5	0.3	0.4	0.1	15.2	0.3	3.3	92.1	206.2		
2010	22.9	234.2	6.8	15.4	0.2	5.3	0.1	0.3	17.9	55.2	99.9	80.6	538.8		
2011	51.4	12.8	7.0	81.4	0.5	0.0	0.0	0.1	1.0	17.7	0.0	0.0	171.9		
2012	1.9	4.9	0.2	56.3	0.2	1.2	0.0	0.2	6.8	96.6	31.7	29.6	229.6		
2013	0.8	1.4	139.4	0.2	1.1	1.1	0.1	0.7	1.5	52.7	21.0	160.1	380.1		
2014	32.0	10.1	0.0	17.6	0.1	0.0	0.2	0.2	1.1	62.3	32.0	1.7	157.3		
2015	0.0	5.4	8.0	0.0	11.0	0.7	0.4	25.9	25.0	93.2	0.1	7.9	177.6		
2016	0.4	12.1	4.1	3.6	6.0	1.6	0.1	0.4	0.1	24.0	6.4	22.6	81.4		
2017	0.9	67.7	13.5	52.2	0.1	0.0	0.3	0.5	0.3	0.3	1.7	1.4	138.9		
2018	5.2	153.2	21.0	3.9	5.6	4.9	0.0	0.0	0.0	38.7	15.4	0.0	247.9		
2019	0.6	0.0	27.4	20.8	0.8	1.6	1.0	0.4	8.3	22.6	0.2	0.1	83.8		
2020	5.1	0.0	9.5	14.6	1.3	27.5	0.1	0.0	2.1	11.9	9.7	56.2	138.0		
2021	73.8	14.7	10.6	3.8	1.2	0.5	0.0	0.7	0.0	0.9	27.0	15.6	148.8		
2022	28.5	18.8	33.4	35.4	1.2	0.4	0.0	7.1	161.9	0.2	0.3	115.2	402.4		
2023	12.4	46.8	0.9	0.5	10.6	47.3	0.0	1.6	6.9	24.4	21.4	32.1	204.9		
2024	3.4	0.2	9.1	4.4	18.3	1.3	0.9	0.4	9.2	17.7	12.6	8.7	86.2		
2025	6.3	0.5	21.1	62.1	1.5	0.0	1.4	0.7	5.2	27.0	49.0	5.1	179.9		
INV	92.1	mm		PRI	28.6	mm		VER	18.4	mm		OTO	93.5	mm	232.6

850 m 2005 a 2025 GRANADILLA - EL PINALETE

	ENE	FEB	MRZ	ABR	MAY	JUN	JUL	AGT	SEP	OCT	NOV	DIC	ANUAL
2005	26.8	295.5	54.3	4.0	0.6	1.7	0.0	63.1	13.1	39.0	41.4	7.7	547.2
2006	124.5	188.8	22.7	74.1	4.7	1.6	0.0	1.0	13.2	116.6	59.7	0.0	606.9
2007	71.9	6.2	51.5	0.7	8.1	2.5	0.0	0.0	2.1	2.7	29.8	81.3	256.8
2008	0.2	54.1	7.2	28.1	8.8	12.9	0.0	0.0	3.2	2.3	7.6	86.4	210.8
2009	7.1	40.9	37.9	1.7	1.3	2.9	0.0	0.1	23.0	0.4	2.1	286.2	403.6
2010	25.9	437.3	11.8	33.0	0.6	7.5	0.3	0.2	32.7	18.0	86.1	192.1	845.5
2011	73.1	19.6	14.2	87.3	0.9	0.0	0.1	0.3	1.0	41.8	3.3	0.0	241.6
2012	0.0	7.2	0.5	51.2	0.5	1.2	0.1	0.0	4.7	105.4	46.2	3.1	220.1
2013	0.3	3.4	253.1	0.3	2.5	2.2	0.0	0.2	1.1	7.8	34.3	68.9	374.1
2014	27.2	5.6	1.1	48.7	0.7	0.8	0.0	0.0	1.2	61.3	29.4	2.2	178.2
2015	0.2	5.4	14.1	0.1	1.1	2.9	0.1	32.8	19.5	140.2	0.4	12.8	229.6
2016	2.1	16.8	7.3	5.5	2.7	3.0	0.0	0.0	0.0	23.8	12.8	45.0	119.0
2017	1.3	83.1	49.9	60.7	0.4	0.6	0.0	0.5	0.3	0.3	2.3	2.7	202.1
2018	6.7	134.8	43.5	18.4	12.2	5.6	0.0	0.4	0.0	28.1	21.9	0.0	271.6
2019	2.0	0.1	60.1	41.5	0.0	2.2	0.0	0.0	15.4	30.4	2.5	3.6	157.8
2020	6.4	0.1	17.2	44.4	0.7	24.4	0.0	0.1	2.8	10.8	33.2	69.8	209.9
2021	178.1	25.3	4.4	9.8	4.6	0.6	0.0	1.2	2.2	1.2	16.7	6.9	251.0
2022	42.7	17.1	66.6	44.2	4.3	0.3	0.0	7.6	115.3	0.0	0.3	128.0	426.4
2023	17.4	72.8	0.0	1.0	4.5	92.7	0.2	3.8	7.4	11.9	27.6	26.7	266.0
2024	2.6	0.0	18.1	20.4	12.3	1.1	0.9	0.0	0.1	12.2	20.4	11.4	99.5
2025	8.8	3.6	61.7	99.5	7.2	0.0	0.5	2.0	8.9	12.5	69.7	9.5	283.9
INV	135.2 mm			PRI	43.8 mm		VER	18.2 mm		OTO	107.6 mm		304.8

930 m 2005 a 2025 ARICO - EL BUENO - LOS HELECHOS

	ENE	FEB	MRZ	ABR	MAY	JUN	JUL	AGT	SEP	OCT	NOV	DIC	ANUAL
2005	11.0	146.3	22.5	5.7	3.4	8.2	0.2	72.7	1.0	3.3	87.6	53.9	415.8
2006	173.2	129.7	5.4	61.3	12.3	15.6	0.0	3.8	9.0	29.6	75.2	0.3	515.4
2007	27.8	7.1	34.5	5.6	15.6	13.3	0.0	0.0	5.0	6.6	3.4	66.1	185.0
2008	1.7	68.2	10.5	0.0	3.2	8.6	0.0	0.0	6.2	8.8	4.2	62.3	173.7
2009	7.3	44.1	46.5	1.4	4.5	15.5	0.0	0.1	26.3	1.9	7.7	57.4	212.7
2010	72.4	152.0	4.2	8.0	29.9	16.9	0.3	0.2	30.8	18.1	146.7	94.9	574.4
2011	57.4	7.5	54.0	33.9	8.7	0.1	0.0	0.0	3.3	12.7	5.0	0.1	182.7
2012	2.0	11.4	7.1	63.4	1.1	5.3	0.0	0.2	17.2	42.8	45.4	0.0	195.9
2013	0.3	9.2	72.5	0.1	5.0	5.3	0.0	2.7	9.0	41.1	11.1	92.8	249.1
2014	25.1	40.6	7.8	23.8	3.0	2.3	5.7	0.0	10.1	161.8	23.1	1.5	304.8
2015	4.9	11.5	10.0	8.5	6.7	3.6	0.0	32.2	13.1	285.4	0.1	5.2	381.2
2016	4.8	45.5	13.3	7.3	49.3	2.5	0.0	0.0	0.0	16.6	69.9	22.0	231.2
2017	2.0	18.5	15.8	11.8	29.8	0.1	0.0	0.0	2.0	0.5	8.1	9.6	98.2
2018	17.5	80.2	3.1	6.0	19.8	7.4	0.1	4.7	0.0	82.4	45.9	0.0	267.1
2019	1.6	17.8	25.0	30.3	0.1	15.7	0.1	0.0	12.5	30.4	0.9	4.7	139.1
2020	6.5	0.2	47.7	32.1	31.0	23.5	0.0	0.0	5.5	15.3	28.6	33.9	224.3
2021	29.1	28.2	4.6	58.2	3.7	4.2	0.0	5.5	4.3	0.2	17.5	9.1	164.6
2022	94.2	20.8	16.2	27.4	1.4	7.5	0.0	12.9	211.7	0.5	1.2	58.7	452.5
2023	38.2	72.8	1.3	4.1	30.0	33.7	0.0	7.3	40.8	32.3	12.8	50.1	323.4
2024	4.2	0.2	30.3	19.4	26.2	7.1	3.8	0.0	22.1	10.2	9.3	31.6	164.4
2025	2.4	3.5	128.9	81.6	10.2	0.0	1.5	0.4	10.2	20.9	20.4	103.1	383.1
INV	98.1 mm			PRI	46.7 mm		VER	28.3 mm		OTO	104.9 mm		278.0

Precipitaciones en el periodo 2005-2025 en Tenerife. Tendencias pluviométricas en los últimos 21 años

156 m 2005 a 2025 GÜIMAR - LA PLANTA

	ENE	FEB	MRZ	ABR	MAY	JUN	JUL	AGT	SEP	OCT	NOV	DIC	ANUAL
2005	6.2	111.6	82.0	0.4	0.6	6.0	1.2	60.2	0.4	24.2	2.8	0.0	295.6
2006	153.0	58.0	3.4	16.2	6.4	1.2	0.6	4.4	0.8	39.6	46.0	4.0	333.6
2007	140.2	0.6	23.6	21.8	1.0	2.8	0.0	0.8	0.0	0.0	1.4	62.4	254.6
2008	0.0	31.7	20.0	0.0	0.0	0.0	0.0	0.0	7.8	0.0	1.2	146.8	207.5
2009	1.6	39.4	68.4	0.0	0.0	0.0	0.0	0.0	0.0	0.0	0.0	19.2	128.6
2010	26.8	78.2	3.4	0.6	0.6	0.2	0.0	0.2	24.8	24.4	27.0	6.0	192.2
2011	109.2	3.8	25.8	21.8	1.8	0.0	0.0	0.0	1.6	28.4	1.0	0.6	194.0
2012	0.0	0.0	0.0	4.4	0.0	0.0	0.0	0.6	0.4	30.0	26.6	0.8	62.8
2013	0.4	4.6	14.4	8.4	0.0	0.2	0.0	0.0	0.0	0.0	0.0	0.0	28.0
2014	8.2	0.0	0.0	0.0	0.0	1.8	0.0	0.0	2.2	61.2	114.6	13.4	201.4
2015	1.2	8.2	9.0	0.0	0.2	2.4	0.2	17.7	1.6	1.0	0.0	1.4	42.9
2016	3.0	43.0	1.0	2.0	22.8	0.0	0.0	0.8	0.0	11.2	58.1	23.5	165.4
2017	0.8	23.4	19.3	4.3	16.9	0.0	0.0	0.0	0.0	2.0	1.8	14.7	83.2
2018	15.6	63.8	0.0	0.4	0.0	0.0	0.0	1.0	0.0	42.8	15.2	0.0	138.8
2019	0.8	1.8	72.8	10.4	0.0	0.0	0.0	0.0	2.2	24.8	1.8	6.2	120.8
2020	0.2	0.0	20.0	4.6	0.0	0.2	0.0	0.0	1.8	12.0	13.4	30.6	82.8
2021	16.4	9.0	8.0	13.8	0.0	0.0	0.0	0.0	0.0	0.0	33.8	5.6	86.6
2022	42.4	9.0	8.0	13.8	0.4	0.2	0.0	1.4	268.0	0.0	1.0	42.8	387.0
2023	27.4	25.6	0.6	0.0	0.0	4.0	0.0	2.4	0.0	0.6	17.0	41.8	119.4
2024	5.0	3.4	35.0	3.2	33.6	0.0	0.0	0.0	0.0	1.4	3.8	10.6	96.0
2025	5.6	0.2	46.8	32.0	8.2	0.0	0.0	0.0	0.0	2.8	9.0	14.5	119.1
INV	73.4 mm			PRI	12.8 mm			VER	19.2 mm		OTO	53.7 mm	159.1

290 m 2005 a 2025 GÜIMAR - TOPO NEGRO

	ENE	FEB	MRZ	ABR	MAY	JUN	JUL	AGT	SEP	OCT	NOV	DIC	ANUAL
2005	9.8	147.3	43.8	0.0	0.2	0.2	0.0	62.1	0.6	32.8	45.2	64.4	406.4
2006	130.6	84.6	2.4	16.9	7.7	0.7	0.0	0.7	2.3	19.6	70.9	4.8	341.2
2007	83.8	0.2	48.3	16.0	3.7	6.9	0.0	0.0	0.0	0.6	0.7	57.0	217.2
2008	0.0	49.2	28.5	0.0	0.2	0.0	0.0	0.1	1.6	6.3	6.8	82.6	175.3
2009	3.1	57.3	110.6	0.0	0.8	13.3	0.0	0.0	7.1	0.6	13.2	13.6	219.6
2010	15.4	60.7	1.1	0.5	2.4	2.5	0.0	0.2	28.5	43.4	41.8	5.4	201.9
2011	74.6	4.3	43.1	76.7	5.2	0.1	0.0	0.1	0.2	21.3	0.9	0.8	227.3
2012	3.1	0.2	0.6	13.4	0.1	0.0	0.0	0.0	32.3	40.1	38.5	0.7	129.0
2013	0.8	10.8	21.8	7.8	2.7	0.1	0.0	0.5	1.8	0.5	3.1	113.1	163.0
2014	30.1	70.6	2.4	20.9	0.0	0.0	1.8	0.0	4.7	13.0	97.1	2.9	243.5
2015	13.1	17.5	20.4	0.1	0.1	0.1	0.0	65.2	37.6	161.4	1.6	8.5	325.6
2016	6.1	80.7	3.8	2.8	27.5	0.0	0.0	0.1	0.0	11.8	48.1	23.7	204.6
2017	0.8	21.6	30.8	1.8	6.9	0.3	0.0	0.1	0.3	7.3	1.7	12.7	84.3
2018	36.3	46.1	0.0	3.2	0.2	0.3	0.0	0.3	0.7	95.9	14.8	0.0	197.8
2019	0.6	1.9	53.0	14.0	0.0	0.8	0.0	0.0	2.9	36.8	1.0	13.6	124.6
2020	0.0	0.1	33.5	3.8	0.8	9.5	0.0	0.0	1.7	16.7	21.1	62.0	149.2
2021	46.8	21.9	1.2	10.0	0.0	0.0	0.0	0.1	0.0	0.0	57.3	7.6	144.9
2022	56.0	10.3	26.8	4.5	2.0	2.3	0.0	1.7	266.3	0.1	0.1	34.7	404.8
2023	48.6	20.4	2.0	0.2	2.2	2.9	0.0	2.3	1.1	5.3	16.1	72.0	173.1
2024	17.2	3.4	38.6	3.3	46.0	0.8	0.0	0.3	3.9	4.3	10.0	15.4	143.2
2025	3.8	1.0	24.4	36.3	12.8	0.0	0.0	0.4	0.0	24.5	10.4	69.3	182.9
INV	87.0 mm			PRI	18.8 mm			VER	25.2 mm		OTO	81.3 mm	212.4

340 m 2005 a 2025 GÜIMAR - BARRANCO DE BADAJOZ

	ENE	FEB	MRZ	ABR	MAY	JUN	JUL	AGT	SEP	OCT	NOV	DIC	ANUAL
2005	19.1	226.1	61.5	1.9	2.4	0.2	1.0	76.9	3.0	39.7	35.0	65.0	531.8
2006	43.7	142.4	3.7	24.4	8.6	1.8	0.0	2.2	5.6	35.6	106.8	6.2	381.0
2007	97.6	0.7	81.4	29.3	11.2	18.1	0.0	0.1	2.6	0.9	1.9	60.3	304.1
2008	0.1	66.9	26.1	0.1	1.9	0.6	0.0	0.1	2.5	6.2	7.6	146.7	258.8
2009	6.8	80.9	185.4	1.2	1.9	14.2	0.2	0.0	19.7	5.0	13.3	22.3	350.9
2010	27.7	102.9	1.3	1.8	10.5	31.1	0.1	0.3	43.5	20.0	110.6	11.2	361.0
2011	109.8	7.8	57.7	107.3	12.5	0.7	0.0	0.0	0.0	29.1	1.8	0.9	327.6
2012	6.1	6.5	1.5	30.6	0.1	6.0	0.0	0.5	40.1	44.6	47.4	0.6	184.0
2013	0.3	15.4	10.8	6.0	11.2	0.0	0.0	1.0	2.3	7.7	3.2	136.9	194.8
2014	37.7	58.9	7.8	33.7	0.0	0.0	2.6	0.0	16.2	13.5	97.0	5.4	272.8
2015	12.1	31.5	13.1	5.3	7.8	4.6	0.5	59.5	87.3	304.8	3.5	4.7	534.7
2016	15.5	87.0	5.0	7.2	26.6	0.0	0.0	0.5	0.2	22.9	36.6	28.6	230.1
2017	3.0	36.1	26.5	12.3	6.2	0.6	0.4	0.2	0.5	7.2	3.9	39.9	136.8
2018	42.4	61.4	0.0	1.8	0.9	0.4	0.0	0.5	0.2	69.9	25.3	0.8	203.6
2019	4.1	6.1	124.9	16.8	0.2	5.4	0.3	0.0	4.0	55.8	1.7	11.7	231.0
2020	6.6	0.1	47.3	11.4	4.9	18.1	0.0	0.0	4.4	36.1	35.5	61.2	225.6
2021	21.9	13.6	2.3	17.5	5.5	8.2	0.0	0.8	3.4	0.0	80.4	9.5	163.1
2022	90.3	19.1	34.3	10.1	8.3	16.6	0.0	1.9	374.9	3.0	3.6	40.6	602.7
2023	49.3	46.9	4.6	7.3	12.2	23.1	0.0	4.5	5.7	8.3	26.3	97.9	286.1
2024	10.3	2.6	41.6	6.4	58.1	1.4	1.6	0.4	16.7	21.5	6.1	22.6	189.3
2025	2.6	0.5	39.4	64.2	10.5	0.0	0.1	2.9	0.2	27.5	13.3	69.3	230.5
	INV	114.1 mm		PRI	35.7 mm		VER	37.7 mm		OTO	107.7 mm		295.3

700 m 2005 a 2025 ARAFO - AÑAVINGO

	ENE	FEB	MRZ	ABR	MAY	JUN	JUL	AGT	SEP	OCT	NOV	DIC	ANUAL
2005	26.9	189.7	33.1	2.3	3.4	0.0	0.4	58.7	3.3	43.7	78.7	55.8	496.0
2006	276.5	158.9	23.7	29.9	5.3	4.6	0.4	3.8	16.2	35.0	58.3	23.5	636.1
2007	106.5	3.6	70.8	15.2	25.9	42.6	0.0	7.0	0.8	0.4	17.2	100.4	390.4
2008	0.1	61.4	19.9	1.0	7.8	1.4	0.0	0.0	7.8	22.9	40.9	49.4	212.6
2009	32.2	147.9	132.4	0.0	2.1	16.3	0.4	0.0	17.2	7.5	25.6	23.0	404.6
2010	23.6	236.0	2.4	3.2	13.5	35.3	0.0	0.8	38.2	43.9	86.2	6.7	489.8
2011	147.3	9.9	175.7	105.5	34.9	0.2	0.0	0.0	2.3	46.6	4.8	0.8	528.0
2012	5.0	3.4	0.8	29.8	0.7	4.1	0.0	0.3	44.6	49.7	58.9	3.9	201.2
2013	0.5	33.3	103.9	24.2	9.5	0.0	0.0	1.1	8.5	7.7	4.4	142.0	335.1
2014	93.8	33.3	36.6	34.6	0.0	0.0	3.5	0.0	13.9	107.4	143.1	12.7	478.9
2015	8.4	20.7	83.8	2.8	3.6	4.9	2.5	50.6	72.8	194.8	2.7	8.2	455.8
2016	17.7	250.9	49.0	5.8	47.7	0.3	0.0	0.3	0.1	26.1	80.9	45.2	524.0
2017	5.3	33.0	21.4	15.5	11.0	1.5	0.0	0.0	1.6	4.0	5.5	38.0	136.8
2018	99.9	83.1	0.3	33.2	1.6	0.8	0.0	0.3	0.6	120.4	39.9	1.8	381.9
2019	4.1	6.1	124.9	16.8	0.2	5.4	0.3	0.0	4.0	55.8	1.7	11.7	231.0
2020	4.8	0.0	26.8	18.1	13.7	14.9	0.0	0.0	5.1	35.8	49.0	9.9	178.1
2021	206.0	99.0	4.5	19.5	7.1	7.4	0.0	5.7	4.0	0.3	66.6	12.6	432.7
2022	81.9	37.6	90.8	5.4	4.3	21.6	0.0	2.8	329.0	1.9	5.3	32.7	613.3
2023	47.9	48.7	5.4	4.2	13.5	12.6	0.0	1.8	17.2	26.6	20.5	84.1	282.5
2024	10.8	12.6	72.5	22.5	25.2	4.6	1.6	0.0	22.2	22.5	2.4	24.6	221.5
2025	18.0	5.4	53.1	45.0	13.7	0.0	0.3	0.4	1.2	19.4	33.3	152.0	341.8
	INV	182.1 mm		PRI	40.8 mm		VER	35.9 mm		OTO	120.8 mm		379.6

36 m 2005 a 2025 SANTA CRUZ DE TENERIFE

	ENE	FEB	MRZ	ABR	MAY	JUN	JUL	AGT	SEP	OCT	NOV	DIC	ANUAL
2005	21.4	67.7	38.5	29.7	6.1	0.0	0.0	0.1	36.5	0.8	30.5	13.5	244.8
2006	136.1	75.4	70.9	3.5	0.0	0.0	0.0	41.3	0.3	10.6	37.9	28.4	404.4
2007	69.0	63.1	7.9	15.1	2.4	1.2	0.0	0.1	1.1	12.5	76.7	8.0	257.1
2008	2.8	2.8	90.2	20.0	10.7	0.4	0.0	0.0	0.0	3.4	20.7	76.6	227.6
2009	31.3	34.0	19.1	0.8	4.1	0.0	0.0	0.0	3.7	45.8	13.4	64.2	216.4
2010	12.4	53.6	47.2	3.5	0.3	1.0	0.0	0.0	2.8	0.2	9.1	40.2	170.3
2011	64.3	7.1	66.1	18.6	7.1	0.0	0.0	0.0	1.6	2.3	8.0	0.3	175.4
2012	0.8	1.7	0.1	4.3	2.9	0.0	0.0	0.4	16.8	25.9	109.0	7.2	169.1
2013	3.9	4.1	19.4	11.8	4.1	1.8	0.0	1.6	0.2	10.1	18.2	239.1	314.3
2014	58.0	32.5	18.5	13.8	0.8	0.0	0.0	0.0	0.0	1.2	148.4	12.8	286.0
2015	12.0	8.0	40.8	0.8	0.0	0.0	0.0	49.8	6.8	87.0	4.8	3.0	213.0
2016	2.6	55.0	38.4	2.0	8.2	0.0	0.0	0.0	0.0	9.2	59.2	15.2	189.8
2017	3.8	47.0	12.0	3.4	0.4	0.0	0.0	0.0	0.0	0.2	3.4	27.2	97.4
2018	45.4	77.0	0.0	20.8	0.4	1.2	0.0	1.2	0.0	87.0	31.6	0.0	264.6
2019	13.0	19.6	5.4	28.6	0.0	0.0	0.0	0.0	0.8	34.4	7.4	31.6	140.8
2020	2.0	0.0	32.4	5.8	0.0	0.4	0.0	0.2	0.6	19.9	55.2	18.0	134.5
2021	70.1	54.4	14.0	11.6	0.2	0.0	0.0	0.0	0.6	3.6	29.8	10.9	195.2
2022	63.2	55.0	40.4	8.2	0.2	0.2	0.6	1.8	107.4	1.4	1.4	33.8	313.6
2023	40.6	39.0	0.2	0.8	0.4	4.8	0.0	1.6	4.0	6.0	21.8	6.0	125.2
2024	0.8	7.4	30.8	3.0	0.2	0.6	0.0	0.0	0.0	20.8	6.6	28.4	98.6
2025	6.2	16.4	25.0	3.0	2.0	0.0	0.0	1.6	0.8	0.0	20.6	73.2	148.8

INV 95.1 mm PRI 12.9 mm VER 13.5 mm OTO 87.3 mm

208.9

FECHAS DE PRECIPITACIONES DIARIAS SUPERIORES A UNAS REFERENCIAS

¿Qué son las *efemérides*? Sucesos notables ocurridos en el día de la fecha, pero en años anteriores:

PRECIPITACIONES DIARIAS SUPERIORES o IGUALES A 125 MILÍMETROS

220 m	ANAGA - TAGANANA - AZANOS	17	NOVIEMBRE	2010	131.5 mm
650 m	MATANZA - CRUZ DEL CAMINO	7	NOVIEMBRE	2012	125.2 mm
695 m	TACORONTE - AGUA GARCÍA	7	NOVIEMBRE	2012	149.2 mm
825 m	LA VICTORIA - EL LOMO	7	NOVIEMBRE	2012	148.5 mm
868 m	LA LAGUNA - LAS MERCEDES LLANO LOS LOROS	1	FEBRERO	2010	253.8 mm
868 m	LA LAGUNA - LAS MERCEDES LLANO LOS LOROS	7	NOVIEMBRE	2012	150.2 mm
922 m	EL SAUZAL - RAVELO	27	ENERO	2007	142.3 mm
922 m	EL SAUZAL - RAVELO	7	NOVIEMBRE	2012	169.0 mm
25 m	PUERTO DE LA CRUZ	12	FEBRERO	2023	128.2 mm
142 m	PUERTO DE LA CRUZ - JARDIN BOTANICO	7	NOVIEMBRE	2012	150.2 mm
142 m	PUERTO DE LA CRUZ - JARDIN BOTANICO	31	OCTUBRE	2015	145.1 mm
595 m	LOS REALEJOS - PALO BLANCO	16	NOVIEMBRE	2009	145.1 mm
595 m	LOS REALEJOS - PALO BLANCO	24	DICIEMBRE	2012	145.9 mm
770 m	LOS REALEJOS - ICOD EL ALTO	29	NOVIEMBRE	2010	127.4 mm
770 m	LOS REALEJOS - ICOD EL ALTO	24	DICIEMBRE	2012	190.2 mm
770 m	LOS REALEJOS - ICOD EL ALTO	31	OCTUBRE	2015	141.3 mm
906 m	LA OROTAVA - BENIJOS	27	FEBRERO	2010	164.2 mm
1065 m	LA OROTAVA - AGUAMANSA	23	NOVIEMBRE	2014	136.2 mm
2369 m	LA OROTAVA - IZAÑA	27	ENERO	2007	138.2 mm
2369 m	LA OROTAVA - IZAÑA	13	DICIEMBRE	2007	138.0 mm
2369 m	LA OROTAVA - IZAÑA	1	FEBRERO	2010	143.9 mm
2369 m	LA OROTAVA - IZAÑA	23	NOVIEMBRE	2014	126.4 mm
66 m	BUENAVISTA DEL NORTE	11	DICIEMBRE	2013	160.5 mm
450 m	LOS SILOS - TIERRA del TRIGO	26	FEBRERO	2005	126.6 mm

Precipitaciones en el periodo 2005-2025 en Tenerife. Tendencias pluviométricas en los últimos 21 años

450 m	LOS SILOS - TIERRA del TRIGO	11	DICIEMBRE	2013	136.7	mm
73 m	ARONA - LAS GALLETAS	12	DICIEMBRE	2013	131.3	mm
130 m	ADEJE - CALDERA	11	DICIEMBRE	2013	127.2	mm
1032 m	GUÍA ISORA - ARIPE - LOS LLANITOS	11	DICIEMBRE	2013	127.8	mm
1258 m	VILAFLOR - EL FRONTÓN	28	FEBRERO	2005	169.2	mm
1258 m	VILAFLOR - EL FRONTÓN	2	MARZO	2005	125.7	mm
1258 m	VILAFLOR - EL FRONTÓN	28	NOVIEMBRE	2005	149.1	mm
1258 m	VILAFLOR - EL FRONTÓN	28	FEBRERO	2006	168.9	mm
1258 m	VILAFLOR - EL FRONTÓN	13	ABRIL	2006	137.5	mm
1258 m	VILAFLOR - EL FRONTÓN	27	ENERO	2007	141.0	mm
1258 m	VILAFLOR - EL FRONTÓN	30	DICIEMBRE	2008	147.9	mm
1258 m	VILAFLOR - EL FRONTÓN	29	NOVIEMBRE	2010	162.8	mm
1258 m	VILAFLOR - EL FRONTÓN	28	FEBRERO	2018	125.4	mm
1800 m	VILAFLOR - CASA FORESTAL	19	FEBRERO	2005	153.0	mm
1800 m	VILAFLOR - CASA FORESTAL	20	DICIEMBRE	2006	167.0	mm
1800 m	VILAFLOR - CASA FORESTAL	30	DICIEMBRE	2009	125.5	mm
1833 m	VILAFLOR - LOS TOPOS	11	DICIEMBRE	2013	127.0	mm
2150 m	LA OROTAVA - LAS CAÑADAS - PARADOR	28	FEBRERO	2006	127.0	mm
2150 m	LA OROTAVA - LAS CAÑADAS - PARADOR	6	MARZO	2006	166.5	mm
2150 m	LA OROTAVA - LAS CAÑADAS - PARADOR	26	DICIEMBRE	2006	149.0	mm
2150 m	LA OROTAVA - LAS CAÑADAS - PARADOR	8	FEBRERO	2007	214.6	mm
2150 m	LA OROTAVA - LAS CAÑADAS - PARADOR	31	DICIEMBRE	2009	228.6	mm
2150 m	LA OROTAVA - LAS CAÑADAS - PARADOR	11	DICIEMBRE	2013	136.2	mm
64 m	GRANADILLA - AEROPUERTO DEL SUR	12	FEBRERO	2023	128.2	mm
381 m	ARICO - ICOR	2	DICIEMBRE	2013	159.8	mm
410 m	ARICO - TEGUEDITE - EL VISO	30	DICIEMBRE	2008	154.9	mm
410 m	ARICO - TEGUEDITE - EL VISO	2	DICIEMBRE	2013	153.1	mm
410 m	ARICO - TEGUEDITE - EL VISO	11	DICIEMBRE	2013	128.1	mm
500 m	GÜIMAR - LOMO MENA	24	ENERO	2006	153.6	mm
500 m	GÜIMAR - LOMO MENA	27	ENERO	2007	230.6	mm
500 m	GÜIMAR - LOMO MENA	1	FEBRERO	2010	138.8	mm
500 m	GÜIMAR - LOMO MENA	29	ENERO	2011	134.4	mm
500 m	GÜIMAR - LOMO MENA	2	DICIEMBRE	2013	303.0	mm
500 m	GÜIMAR - LOMO MENA	11	DICIEMBRE	2013	161.1	mm
500 m	GÜIMAR - LOMO MENA	25	SEPTIEMBRE	2022	126.2	mm
850 m	GRANADILLA - EL PINALETE	2	MARZO	2005	148.1	mm
850 m	GRANADILLA - EL PINALETE	30	DICIEMBRE	2008	152.5	mm
850 m	GRANADILLA - EL PINALETE	29	NOVIEMBRE	2010	186.3	mm
850 m	GRANADILLA - EL PINALETE	28	FEBRERO	2018	179.7	mm
930 m	ARICO - EL BUENO	24	ENERO	2006	140.7	mm
930 m	ARICO - EL BUENO	30	DICIEMBRE	2008	155.5	mm
930 m	ARICO - EL BUENO	1	FEBRERO	2010	167.3	mm
930 m	ARICO - EL BUENO	2	DICIEMBRE	2013	171.0	mm
930 m	ARICO - EL BUENO	11	DICIEMBRE	2013	149.5	mm
1630 m	ARICO - LOS PICACHOS	11	DICIEMBRE	2013	127.5	mm
78 m	GÜIMAR - EL VIENTO	12	FEBRERO	2023	128.2	mm
156 m	GÜIMAR - LA PLANTA	1	FEBRERO	2010	145.8	mm
290 m	GÜIMAR - TOPO NEGRO	27	ENERO	2007	131.5	mm
290 m	GÜIMAR - TOPO NEGRO	1	FEBRERO	2010	217.8	mm
290 m	GÜIMAR - TOPO NEGRO	2	DICIEMBRE	2013	191.4	mm
290 m	GÜIMAR - TOPO NEGRO	11	DICIEMBRE	2013	143.0	mm
290 m	GÜIMAR - TOPO NEGRO	25	SEPTIEMBRE	2022	139.9	mm
340 m	GÜIMAR - BARRANCO DE BADAJOZ	27	ENERO	2007	294.3	mm
340 m	GÜIMAR - BARRANCO DE BADAJOZ	1	FEBRERO	2010	227.1	mm
340 m	GÜIMAR - BARRANCO DE BADAJOZ	25	SEPTIEMBRE	2022	157.3	mm
525 m	CANDELARIA - ARAYA	15	FEBRERO	2014	186.2	mm
525 m	CANDELARIA - ARAYA	28	NOVIEMBRE	2014	178.2	mm
525 m	CANDELARIA - ARAYA	25	SEPTIEMBRE	2022	153.3	mm
700 m	ARAFO - AÑAVINGO	28	NOVIEMBRE	2005	244.8	mm
700 m	ARAFO - AÑAVINGO	27	ENERO	2007	255.8	mm
700 m	ARAFO - AÑAVINGO	1	FEBRERO	2010	156.3	mm
700 m	ARAFO - AÑAVINGO	15	FEBRERO	2014	128.7	mm
700 m	ARAFO - AÑAVINGO	28	NOVIEMBRE	2014	141.2	mm

700 m	ARAFO - AÑAVINGO	22	OCTUBRE	2015	145.0 mm
36 m	SANTA CRUZ DE TENERIFE	19	OCTUBRE	2014	140.6 mm
655 m	EL ROSARIO - LOS BALDIOS	1	FEBRERO	2010	130.1 mm
724 m	SANTA CRUZ TFE - EL BAILADERO	19	OCTUBRE	2014	126.9 mm
724 m	SANTA CRUZ TFE - EL BAILADERO	31	OCTUBRE	2015	160.8 mm
136 m	SANTA CRUZ TENERIFE - AGROCABILDO	19	OCTUBRE	2014	155.7 mm

PRECIPITACIONES DIARIAS SUPERIORES O IGUALES A 100 MILÍMETROS

220 m	ANAGA - TAGANANA - AZANOS	17	NOVIEMBRE	2010	131.5 mm
293 m	LAGUNA - VALLE DE GUERRA - ISAMAR	7	NOVIEMBRE	2012	101.8 mm
305 m	SANTA CRUZ TFE - TAGANANA	11	DICIEMBRE	2013	113.9 mm
305 m	SANTA CRUZ TFE - TAGANANA	19	OCTUBRE	2014	114.9 mm
310 m	TACORONTE - EXTENSION AGRARIA	7	NOVIEMBRE	2011	102.2 mm
310 m	TACORONTE - EXTENSION AGRARIA	7	NOVIEMBRE	2012	102.2 mm
390 m	LA VICTORIA - AYUNTAMIENTO	18	MARZO	2008	222.5 mm
400 m	TEGUESTE - LA PADILLA	7	NOVIEMBRE	2012	109.0 mm
530 m	SANTA ÚRSULA - LAS TIERRAS	7	NOVIEMBRE	2012	109.6 mm
530 m	SANTA ÚRSULA - LAS TIERRAS	15	FEBRERO	2014	108.7 mm
550 m	SANTA ÚRSULA - LA CORUJERA	11	FEBRERO	2005	116.2 mm
550 m	SANTA ÚRSULA - LA CORUJERA	19	MARZO	2007	100.3 mm
550 m	SANTA ÚRSULA - LA CORUJERA	16	NOVIEMBRE	2009	104.7 mm
550 m	SANTA ÚRSULA - LA CORUJERA	7	NOVIEMBRE	2012	117.3 mm
550 m	SANTA ÚRSULA - LA CORUJERA	31	OCTUBRE	2015	117.9 mm
567 m	LA VICTORIA - LOMO MARRERO	7	NOVIEMBRE	2012	121.4 mm
567 m	LA VICTORIA - LOMO MARRERO	19	NOVIEMBRE	2014	102.0 mm
632 m	LA LAGUNA - AEROPUERTO DE LOS RODEOS	18	MARZO	2008	120.8 mm
650 m	MATANZA - CRUZ DEL CAMINO	19	MARZO	2007	115.7 mm
650 m	MATANZA - CRUZ DEL CAMINO	7	NOVIEMBRE	2012	125.2 mm
695 m	TACORONTE - AGUA GARCÍA	7	NOVIEMBRE	2012	149.2 mm
825 m	LA VICTORIA - EL LOMO	19	MARZO	2007	106.6 mm
825 m	LA VICTORIA - EL LOMO	7	NOVIEMBRE	2012	148.5 mm
825 m	LA VICTORIA - EL LOMO	15	FEBRERO	2014	100.3 mm
825 m	LA VICTORIA - EL LOMO	31	OCTUBRE	2015	100.6 mm
868 m	LA LAGUNA - LAS MERCEDES LLANO LOS LOROS	1	FEBRERO	2010	253.8 mm
868 m	LA LAGUNA - LAS MERCEDES LLANO LOS LOROS	7	NOVIEMBRE	2012	150.2 mm
922 m	EL SAUZAL - RAVELO	27	ENERO	2007	142.3 mm
922 m	EL SAUZAL - RAVELO	19	MARZO	2007	108.0 mm
922 m	EL SAUZAL - RAVELO	7	NOVIEMBRE	2012	169.0 mm
922 m	EL SAUZAL - RAVELO	23	NOVIEMBRE	2018	101.7 mm
1745 m	LA VICTORIA - EL GAITERO	25	ENERO	2011	102.8 mm
1745 m	LA VICTORIA - EL GAITERO	23	NOVIEMBRE	2014	119.2 mm
1745 m	LA VICTORIA - EL GAITERO	22	OCTUBRE	2015	116.5 mm
25 m	PUERTO DE LA CRUZ	12	FEBRERO	2023	128.2 mm
142 m	PUERTO DE LA CRUZ - JARDIN BOTANICO	7	NOVIEMBRE	2012	150.2 mm
142 m	PUERTO DE LA CRUZ - JARDIN BOTANICO	31	OCTUBRE	2015	145.1 mm
216 m	LA OROTAVA - EL RINCÓN	7	NOVIEMBRE	2012	119.0 mm
380 m	LA OROTAVA - LA PERDOMA EL RATIÑO	16	NOVIEMBRE	2009	114.6 mm
550 m	LA OROTAVA - LA PERDOMA LA SUERTE	16	NOVIEMBRE	2009	120.5 mm
595 m	LOS REALEJOS - PALO BLANCO	16	NOVIEMBRE	2006	108.2 mm
595 m	LOS REALEJOS - PALO BLANCO	16	NOVIEMBRE	2009	145.1 mm
595 m	LOS REALEJOS - PALO BLANCO	24	DICIEMBRE	2012	145.9 mm
595 m	LOS REALEJOS - PALO BLANCO	31	OCTUBRE	2015	102.5 mm
770 m	LOS REALEJOS - ICOD EL ALTO	29	NOVIEMBRE	2010	127.4 mm
770 m	LOS REALEJOS - ICOD EL ALTO	24	DICIEMBRE	2012	190.2 mm
770 m	LOS REALEJOS - ICOD EL ALTO	31	OCTUBRE	2015	141.3 mm
906 m	LA OROTAVA - BENIJOS	16	NOVIEMBRE	2006	102.0 mm
906 m	LA OROTAVA - BENIJOS	27	FEBRERO	2010	164.2 mm
906 m	LA OROTAVA - BENIJOS	24	DICIEMBRE	2012	114.5 mm
1065 m	LA OROTAVA - AGUAMANSA	23	NOVIEMBRE	2014	136.2 mm
1065 m	LA OROTAVA - AGUAMANSA	8	ENERO	2021	123.5 mm
2094 m	LA OROTAVA - RISCO VERDE	11	DICIEMBRE	2013	109.6 mm

Precipitaciones en el periodo 2005-2025 en Tenerife. Tendencias pluviométricas en los últimos 21 años

2369 m	LA OROTAVA - IZAÑA	27	ENERO	2007	138.2	mm
2369 m	LA OROTAVA - IZAÑA	13	DICIEMBRE	2007	138.0	mm
2369 m	LA OROTAVA - IZAÑA	1	FEBRERO	2010	143.9	mm
2369 m	LA OROTAVA - IZAÑA	23	NOVIEMBRE	2014	126.4	mm
28 m	BUENAVISTA DEL NORTE ICIA	11	DICIEMBRE	2013	124.6	mm
66 m	BUENAVISTA DEL NORTE	11	DICIEMBRE	2013	160.5	mm
450 m	LOS SILOS - TIERRA del TRIGO	26	FEBRERO	2005	126.6	mm
450 m	LOS SILOS - TIERRA del TRIGO	11	DICIEMBRE	2013	136.7	mm
450 m	LOS SILOS - TIERRA del TRIGO	31	OCTUBRE	2015	117.2	mm
475 m	ICOD DE LOS VINOS - SANTA BÁRBARA	7	NOVIEMBRE	2012	116.9	mm
475 m	ICOD DE LOS VINOS - SANTA BÁRBARA	31	OCTUBRE	2015	100.8	mm
525 m	ICOD DE LOS VINOS - REDONDO	16	NOVIEMBRE	2009	107.1	mm
525 m	ICOD DE LOS VINOS - REDONDO	29	NOVIEMBRE	2010	106.4	mm
525 m	ICOD DE LOS VINOS - REDONDO	23	NOVIEMBRE	2014	102.6	mm
880 m	EL TANQUE - RUIGÓMEZ	1	FEBRERO	2010	105.9	mm
880 m	EL TANQUE - RUIGÓMEZ	11	DICIEMBRE	2013	111.0	mm
880 m	EL TANQUE - RUIGÓMEZ	31	MARZO	2016	105.0	mm
30 m	GUÍA DE ISORA - ALCALÁ	19	OCTUBRE	2014	104.1	mm
73 m	ARONA - LAS GALLETAS	12	DICIEMBRE	2013	131.3	mm
130 m	ADEJE - CALDERA	11	DICIEMBRE	2013	127.2	mm
525 m	CANDELARIA - ARAYA	13	DICIEMBRE	2025	105.4	mm
700 m	ARAFO - AÑAVINGO	13	DICIEMBRE	2025	112.8	mm
700 m	GUÍA DE ISORA - EL POZO	20	DICIEMBRE	2005	118.5	mm
735 m	GUÍA DE ISORA - CHÍO	15	FEBRERO	2014	102.1	mm
735 m	GUÍA DE ISORA - CHÍO	19	OCTUBRE	2014	117.8	mm
990 m	SANTIAGO DEL TEIDE - VALLE ARRIBA	23	NOVIEMBRE	2014	105.7	mm
1032 m	GUÍA ISORA - ARIPE - LOS LLANITOS	20	DICIEMBRE	2005	107.0	mm
1032 m	GUÍA ISORA - ARIPE - LOS LLANITOS	1	FEBRERO	2010	107.3	mm
1032 m	GUÍA ISORA - ARIPE - LOS LLANITOS	11	DICIEMBRE	2013	127.8	mm
1032 m	GUÍA ISORA - ARIPE - LOS LLANITOS	15	FEBRERO	2014	105.4	mm
1258 m	VILAFLOR - EL FRONTÓN	28	FEBRERO	2005	169.2	mm
1258 m	VILAFLOR - EL FRONTÓN	2	MARZO	2005	125.7	mm
1258 m	VILAFLOR - EL FRONTÓN	28	NOVIEMBRE	2005	149.1	mm
1258 m	VILAFLOR - EL FRONTÓN	8	FEBRERO	2006	101.0	mm
1258 m	VILAFLOR - EL FRONTÓN	28	FEBRERO	2006	168.9	mm
1258 m	VILAFLOR - EL FRONTÓN	17	MARZO	2006	115.4	mm
1258 m	VILAFLOR - EL FRONTÓN	13	ABRIL	2006	137.5	mm
1258 m	VILAFLOR - EL FRONTÓN	27	ENERO	2007	141.0	mm
1258 m	VILAFLOR - EL FRONTÓN	30	DICIEMBRE	2008	147.9	mm
1258 m	VILAFLOR - EL FRONTÓN	17	FEBRERO	2010	117.1	mm
1258 m	VILAFLOR - EL FRONTÓN	29	NOVIEMBRE	2010	162.8	mm
1258 m	VILAFLOR - EL FRONTÓN	3	MARZO	2013	102.9	mm
1258 m	VILAFLOR - EL FRONTÓN	11	DICIEMBRE	2013	123.8	mm
1258 m	VILAFLOR - EL FRONTÓN	28	FEBRERO	2018	125.4	mm
1800 m	VILAFLOR - CASA FORESTAL	19	FEBRERO	2005	153.0	mm
1800 m	VILAFLOR - CASA FORESTAL	2	MARZO	2006	103.6	mm
1800 m	VILAFLOR - CASA FORESTAL	18	AGOSTO	2006	115.0	mm
1800 m	VILAFLOR - CASA FORESTAL	20	DICIEMBRE	2006	167.0	mm
1800 m	VILAFLOR - CASA FORESTAL	30	DICIEMBRE	2009	125.5	mm
1833 m	VILAFLOR - LOS TOPOS	11	DICIEMBRE	2013	127.0	mm
1950 m	GUÍA DE ISORA - CHAVAO	23	DICIEMBRE	2009	104.6	mm
1950 m	GUÍA DE ISORA - CHAVAO	29	NOVIEMBRE	2010	118.6	mm
1950 m	GUÍA DE ISORA - CHAVAO	28	FEBRERO	2018	110.7	mm
2150 m	LA OROTAVA - LAS CAÑADAS - PARADOR	13	DICIEMBRE	2005	116.7	mm
2150 m	LA OROTAVA - LAS CAÑADAS - PARADOR	28	FEBRERO	2006	127.0	mm
2150 m	LA OROTAVA - LAS CAÑADAS - PARADOR	6	MARZO	2006	166.5	mm
2150 m	LA OROTAVA - LAS CAÑADAS - PARADOR	26	DICIEMBRE	2006	149.0	mm
2150 m	LA OROTAVA - LAS CAÑADAS - PARADOR	8	FEBRERO	2007	214.6	mm
2150 m	LA OROTAVA - LAS CAÑADAS - PARADOR	16	ABRIL	2007	106.0	mm
2150 m	LA OROTAVA - LAS CAÑADAS - PARADOR	3 1	DICIEMBRE	2009	228.6	mm
2150 m	LA OROTAVA - LAS CAÑADAS - PARADOR	3	MARZO	2013	102.2	mm
2150 m	LA OROTAVA - LAS CAÑADAS - PARADOR	11	DICIEMBRE	2013	136.2	mm
2150 m	LA OROTAVA - LAS CAÑADAS - PARADOR	28	FEBRERO	2018	112.0	mm

Precipitaciones en el periodo 2005-2025 en Tenerife. Tendencias pluviométricas en los últimos 21 años

64 m	GRANADILLA - AEROPUERTO DEL SUR	12	FEBRERO	2023	128.2	mm
381 m	ARICO - ICOR	2	DICIEMBRE	2013	159.8	mm
381 m	ARICO - ICOR	11	DICIEMBRE	2013	116.2	mm
410 m	ARICO - TEGUEDITE - EL VISO	2	MARZO	2005	119.3	mm
410 m	ARICO - TEGUEDITE - EL VISO	27	ENERO	2007	119.8	mm
410 m	ARICO - TEGUEDITE - EL VISO	30	DICIEMBRE	2008	154.9	mm
410 m	ARICO - TEGUEDITE - EL VISO	1	FEBRERO	2010	101.8	mm
410 m	ARICO - TEGUEDITE - EL VISO	2	DICIEMBRE	2013	153.1	mm
410 m	ARICO - TEGUEDITE - EL VISO	11	DICIEMBRE	2013	128.1	mm
418 m	ARICO - LA DEGOLLADA	11	DICIEMBRE	2013	121.0	mm
500 m	GÜIMAR - LOMO MENA	2	MARZO	2005	104.3	mm
500 m	GÜIMAR - LOMO MENA	28	NOVIEMBRE	2005	100.3	mm
500 m	GÜIMAR - LOMO MENA	24	ENERO	2006	153.6	mm
500 m	GÜIMAR - LOMO MENA	27	ENERO	2007	230.6	mm
500 m	GÜIMAR - LOMO MENA	24	DICIEMBRE	2008	116.2	mm
500 m	GÜIMAR - LOMO MENA	1	FEBRERO	2010	138.8	mm
500 m	GÜIMAR - LOMO MENA	29	ENERO	2011	134.4	mm
500 m	GÜIMAR - LOMO MENA	2	DICIEMBRE	2013	303.0	mm
500 m	GÜIMAR - LOMO MENA	11	DICIEMBRE	2013	161.1	mm
500 m	GÜIMAR - LOMO MENA	25	SEPTIEMBRE	2022	126.2	mm
505 m	GRANADILLA - CHARCO DEL PINO	30	DICIEMBRE	2008	102.6	mm
505 m	GRANADILLA - CHARCO DEL PINO	11	DICIEMBRE	2013	103.0	mm
850 m	GRANADILLA - EL PINALETE	2	MARZO	2005	148.1	mm
850 m	GRANADILLA - EL PINALETE	28	NOVIEMBRE	2005	100.5	mm
850 m	GRANADILLA - EL PINALETE	20	DICIEMBRE	2005	120.1	mm
850 m	GRANADILLA - EL PINALETE	24	ENERO	2006	113.1	mm
850 m	GRANADILLA - EL PINALETE	30	DICIEMBRE	2008	152.5	mm
850 m	GRANADILLA - EL PINALETE	23	DICIEMBRE	2009	113.2	mm
850 m	GRANADILLA - EL PINALETE	29	NOVIEMBRE	2010	186.3	mm
850 m	GRANADILLA - EL PINALETE	2	DICIEMBRE	2013	106.4	mm
850 m	GRANADILLA - EL PINALETE	11	DICIEMBRE	2013	123.0	mm
850 m	GRANADILLA - EL PINALETE	28	FEBRERO	2018	179.7	mm
930 m	ARICO - EL BUENO	2	MARZO	2005	112.2	mm
930 m	ARICO - EL BUENO	24	ENERO	2006	140.7	mm
930 m	ARICO - EL BUENO	27	ENERO	2007	124.1	mm
930 m	ARICO - EL BUENO	30	DICIEMBRE	2008	155.5	mm
930 m	ARICO - EL BUENO	1	FEBRERO	2010	167.3	mm
930 m	ARICO - EL BUENO	2	DICIEMBRE	2013	171.0	mm
930 m	ARICO - EL BUENO	11	DICIEMBRE	2013	149.5	mm
1630 m	ARICO - LOS PICACHOS	2	DICIEMBRE	2013	102.3	mm
1630 m	ARICO - LOS PICACHOS	11	DICIEMBRE	2013	127.5	mm
50 m	CANDELARIA - LAS CALETILLAS	23	ENERO	2006	124.0	mm
78 m	GÜIMAR - EL VIENTO	12	FEBRERO	2023	128.2	mm
156 m	GÜIMAR - LA PLANTA	1	FEBRERO	2010	145.8	mm
290 m	GÜIMAR - TOPO NEGRO	24	ENERO	2006	100.4	mm
290 m	GÜIMAR - TOPO NEGRO	27	ENERO	2007	131.5	mm
290 m	GÜIMAR - TOPO NEGRO	1	FEBRERO	2010	217.8	mm
290 m	GÜIMAR - TOPO NEGRO	29	ENERO	2011	101.5	mm
290 m	GÜIMAR - TOPO NEGRO	2	DICIEMBRE	2013	191.4	mm
290 m	GÜIMAR - TOPO NEGRO	11	DICIEMBRE	2013	143.0	mm
290 m	GÜIMAR - TOPO NEGRO	19	OCTUBRE	2014	117.7	mm
290 m	GÜIMAR - TOPO NEGRO	25	SEPTIEMBRE	2022	139.9	mm
340 m	GÜIMAR - BARRANCO DE BADAJOZ	24	ENERO	2006	115.3	mm
340 m	GÜIMAR - BARRANCO DE BADAJOZ	27	ENERO	2007	294.3	mm
340 m	GÜIMAR - BARRANCO DE BADAJOZ	1	FEBRERO	2010	227.1	mm
340 m	GÜIMAR - BARRANCO DE BADAJOZ	29	ENERO	2011	115.1	mm
340 m	GÜIMAR - BARRANCO DE BADAJOZ	11	DICIEMBRE	2013	114.2	mm
340 m	GÜIMAR - BARRANCO DE BADAJOZ	19	OCTUBRE	2014	100.9	mm
340 m	GÜIMAR - BARRANCO DE BADAJOZ	25	SEPTIEMBRE	2022	157.3	mm
463 m	CANDELARIA-DEPOSITO DE LAS CUEVECITAS	2	DICIEMBRE	2013	116.4	mm
463 m	CANDELARIA-DEPOSITO DE LAS CUEVECITAS	11	DICIEMBRE	2013	119.2	mm
463 m	CANDELARIA-DEPOSITO DE LAS CUEVECITAS	15	FEBRERO	2014	104.8	mm
525 m	CANDELARIA - ARAYA	11	DICIEMBRE	2013	110.6	mm

525 m	CANDELARIA - ARAYA	15 FEBRERO	2014	186.2 mm
525 m	CANDELARIA - ARAYA	23 NOVIEMBRE	2014	108.2 mm
525 m	CANDELARIA - ARAYA	28 NOVIEMBRE	2014	178.2 mm
525 m	CANDELARIA - ARAYA	25 SEPTIEMBRE	2022	153.3 mm
525 m	CANDELARIA - ARAYA	26 SEPTIEMBRE	2022	105.4 mm
700 m	ARAFO - AÑAVINGO	28 NOVIEMBRE	2005	244.8 mm
700 m	ARAFO - AÑAVINGO	27 ENERO	2007	255.8 mm
700 m	ARAFO - AÑAVINGO	1 FEBRERO	2010	156.3 mm
700 m	ARAFO - AÑAVINGO	29 ENERO	2011	110.9 mm
700 m	ARAFO - AÑAVINGO	11 DICIEMBRE	2013	122.6 mm
700 m	ARAFO - AÑAVINGO	15 FEBRERO	2014	128.7 mm
700 m	ARAFO - AÑAVINGO	28 NOVIEMBRE	2014	141.2 mm
700 m	ARAFO - AÑAVINGO	29 NOVIEMBRE	2014	107.1 mm
700 m	ARAFO - AÑAVINGO	22 OCTUBRE	2015	145.0 mm
36 m	SANTA CRUZ DE TENERIFE	19 OCTUBRE	2014	140.6 mm
655 m	EL ROSARIO - LOS BALDIOS	1 FEBRERO	2010	130.1 mm
655 m	EL ROSARIO - LOS BALDIOS	11 DICIEMBRE	2013	105.2 mm
655 m	EL ROSARIO - LOS BALDIOS	25 SEPTIEMBRE	2022	106.2 mm
724 m	SANTA CRUZ TFE - EL BAILADERO	19 OCTUBRE	2014	126.9 mm
724 m	SANTA CRUZ TFE - EL BAILADERO	31 OCTUBRE	2015	160.8 mm
75 m	SANTA CRUZ TFE - IGUESTE DE SAN ANDRES	19 OCTUBRE	2014	100.8 mm
136 m	SANTA CRUZ TENERIFE - AGROCABILDO	19 OCTUBRE	2014	155.7 mm

PRECIPITACIONES DIARIAS SUPERIORES O IGUALES A 75 MILÍMETROS

111 m	LAGUNA - VALLE DE GUERRA - PAJALILLOS	31 OCTUBRE	2015	82.0 mm
205 m	SANTA ÚRSULA - EL MALPAÍS	8 NOVIEMBRE	2012	97.1 mm
220 m	ANAGA - TAGANANA - AZANOS	2 MARZO	2006	77.5 mm
220 m	ANAGA - TAGANANA - AZANOS	17 NOVIEMBRE	2010	131.5 mm
259 m	LA LAGUNA - PICO DE TEJINA	7 NOVIEMBRE	2012	82.0 mm
259 m	LA LAGUNA - PICO DE TEJINA	31 OCTUBRE	2015	81.0 mm
293 m	LAGUNA - VALLE DE GUERRA - ISAMAR	7 DICIEMBRE	2005	89.1 mm
293 m	LAGUNA - VALLE DE GUERRA - ISAMAR	17 NOVIEMBRE	2009	76.4 mm
293 m	LAGUNA - VALLE DE GUERRA - ISAMAR	7 NOVIEMBRE	2012	101.8 mm
293 m	LAGUNA - VALLE DE GUERRA - ISAMAR	31 OCTUBRE	2015	86.8 mm
305 m	SANTA CRUZ TFE - TAGANANA	11 DICIEMBRE	2013	113.9 mm
305 m	SANTA CRUZ TFE - TAGANANA	19 OCTUBRE	2014	114.9 mm
305 m	SANTA CRUZ TFE - TAGANANA	13 AGOSTO	2015	77.6 mm
310 m	TACORONTE - EXTENSIÓN AGRARIA	7 NOVIEMBRE	2011	102.2 mm
310 m	TACORONTE - EXTENSIÓN AGRARIA	7 NOVIEMBRE	2012	102.2 mm
310 m	TACORONTE - EXTENSIÓN AGRARIA	31 OCTUBRE	2015	75.2 mm
375 m	TEGUESTE - ISORA	31 OCTUBRE	2015	89.4 mm
390 m	LA VICTORIA - AYUNTAMIENTO	18 MARZO	2008	222.5 mm
400 m	TEGUESTE - LA PADILLA	7 NOVIEMBRE	2012	109.0 mm
400 m	TEGUESTE - LA PADILLA	31 OCTUBRE	2015	76.0 mm
493 m	LA LAGUNA - GARIMBA	7 NOVIEMBRE	2012	84.2 mm
493 m	LA LAGUNA - GARIMBA	31 OCTUBRE	2015	79.8 mm
530 m	SANTA ÚRSULA - LAS TIERRAS	16 NOVIEMBRE	2009	99.8 mm
530 m	SANTA ÚRSULA - LAS TIERRAS	27 ABRIL	2012	89.8 mm
530 m	SANTA ÚRSULA - LAS TIERRAS	7 NOVIEMBRE	2012	109.6 mm
530 m	SANTA ÚRSULA - LAS TIERRAS	15 FEBRERO	2014	108.7 mm
530 m	SANTA ÚRSULA - LAS TIERRAS	19 NOVIEMBRE	2014	87.1 mm
530 m	SANTA ÚRSULA - LAS TIERRAS	12 NOVIEMBRE	2018	95.2 mm
550 m	SANTA ÚRSULA - LA CORUJERA	11 FEBRERO	2005	116.2 mm
550 m	SANTA ÚRSULA - LA CORUJERA	18 MARZO	2007	81.2 mm
550 m	SANTA ÚRSULA - LA CORUJERA	19 MARZO	2007	100.3 mm
550 m	SANTA ÚRSULA - LA CORUJERA	16 NOVIEMBRE	2009	104.7 mm
550 m	SANTA ÚRSULA - LA CORUJERA	7 NOVIEMBRE	2012	117.3 mm
550 m	SANTA ÚRSULA - LA CORUJERA	11 DICIEMBRE	2013	79.3 mm
550 m	SANTA ÚRSULA - LA CORUJERA	15 FEBRERO	2014	86.1 mm
550 m	SANTA ÚRSULA - LA CORUJERA	19 NOVIEMBRE	2014	91.4 mm

Precipitaciones en el periodo 2005-2025 en Tenerife. Tendencias pluviométricas en los últimos 21 años

550 m	SANTA ÚRSULA - LA CORUJERA	31	OCTUBRE	2015	117.9	mm
550 m	SANTA ÚRSULA - LA CORUJERA	18	FEBRERO	2016	77.8	mm
564 m	LA LAGUNA -ESCUELA INGENIERÍA AGRARIA	19	OCTUBRE	2014	98.8	mm
567 m	LA VICTORIA - LOMO MARRERO	16	NOVIEMBRE	2010	75.2	mm
567 m	LA VICTORIA - LOMO MARRERO	7	NOVIEMBRE	2012	121.4	mm
567 m	LA VICTORIA - LOMO MARRERO	19	NOVIEMBRE	2014	102.0	mm
567 m	LA VICTORIA - LOMO MARRERO	31	OCTUBRE	2015	78.0	mm
632 m	LA LAGUNA - AEROPUERTO DE LOS RODEOS	23	ENERO	2006	85.3	mm
632 m	LA LAGUNA - AEROPUERTO DE LOS RODEOS	18	MARZO	2008	120.8	mm
632 m	LA LAGUNA - AEROPUERTO DE LOS RODEOS	7	NOVIEMBRE	2012	77.2	mm
632 m	LA LAGUNA - AEROPUERTO DE LOS RODEOS	6	DICIEMBRE	2013	92.2	mm
632 m	LA LAGUNA - AEROPUERTO DE LOS RODEOS	11	DICIEMBRE	2013	76.5	mm
650 m	MATANZA - CRUZ DEL CAMINO	19	MARZO	2007	115.7	mm
650 m	MATANZA - CRUZ DEL CAMINO	7	NOVIEMBRE	2012	125.2	mm
695 m	TACORONTE - AGUA GARCÍA	16	NOVIEMBRE	2006	92.9	mm
695 m	TACORONTE - AGUA GARCÍA	27	ENERO	2007	89.5	mm
695 m	TACORONTE - AGUA GARCÍA	19	MARZO	2007	88.7	mm
695 m	TACORONTE - AGUA GARCÍA	7	NOVIEMBRE	2012	149.2	mm
695 m	TACORONTE - AGUA GARCÍA	19	NOVIEMBRE	2014	82.6	mm
695 m	TACORONTE - AGUA GARCÍA	22	NOVIEMBRE	2018	75.0	mm
825 m	LA VICTORIA - EL LOMO	18	MARZO	2007	87.2	mm
825 m	LA VICTORIA - EL LOMO	19	MARZO	2007	106.6	mm
825 m	LA VICTORIA - EL LOMO	13	DICIEMBRE	2007	75.1	mm
825 m	LA VICTORIA - EL LOMO	7	NOVIEMBRE	2012	148.5	mm
825 m	LA VICTORIA - EL LOMO	15	FEBRERO	2014	100.3	mm
825 m	LA VICTORIA - EL LOMO	19	NOVIEMBRE	2014	94.9	mm
825 m	LA VICTORIA - EL LOMO	23	NOVIEMBRE	2014	82.6	mm
825 m	LA VICTORIA - EL LOMO	31	OCTUBRE	2015	100.6	mm
825 m	LA VICTORIA - EL LOMO	18	FEBRERO	2016	75.3	mm
825 m	LA VICTORIA - EL LOMO	5	NOVIEMBRE	2016	88.0	mm
868 m	LA LAGUNA - LAS MERCEDES LLANO LOS LOROS	1	FEBRERO	2010	253.8	mm
868 m	LA LAGUNA - LAS MERCEDES LLANO LOS LOROS	30	ENERO	2011	82.2	mm
868 m	LA LAGUNA - LAS MERCEDES LLANO LOS LOROS	7	NOVIEMBRE	2012	150.2	mm
868 m	LA LAGUNA - LAS MERCEDES LLANO LOS LOROS	19	OCTUBRE	2014	78.6	mm
868 m	LA LAGUNA - LAS MERCEDES LLANO LOS LOROS	18	FEBRERO	2016	85.4	mm
713 m	EL SAUZAL - RAVELO BAJO	13	NOVIEMBRE	2025	75.8	mm
922 m	EL SAUZAL - RAVELO	16	NOVIEMBRE	2006	88.0	mm
922 m	EL SAUZAL - RAVELO	27	ENERO	2007	142.3	mm
922 m	EL SAUZAL - RAVELO	19	MARZO	2007	108.0	mm
922 m	EL SAUZAL - RAVELO	29	ENERO	2011	78.6	mm
922 m	EL SAUZAL - RAVELO	18	OCTUBRE	2012	79.3	mm
922 m	EL SAUZAL - RAVELO	7	NOVIEMBRE	2012	169.0	mm
922 m	EL SAUZAL - RAVELO	15	FEBRERO	2014	82.3	mm
922 m	EL SAUZAL - RAVELO	19	NOVIEMBRE	2014	83.8	mm
922 m	EL SAUZAL - RAVELO	5	NOVIEMBRE	2016	82.8	mm
922 m	EL SAUZAL - RAVELO	22	NOVIEMBRE	2018	99.4	mm
922 m	EL SAUZAL - RAVELO	23	NOVIEMBRE	2018	101.7	mm
1745 m	LA VICTORIA - EL GAITERO	11	OCTUBRE	2010	99.9	mm
1745 m	LA VICTORIA - EL GAITERO	30	NOVIEMBRE	2010	94.4	mm
1745 m	LA VICTORIA - EL GAITERO	25	ENERO	2011	102.8	mm
1745 m	LA VICTORIA - EL GAITERO	13	MARZO	2011	86.9	mm
1745 m	LA VICTORIA - EL GAITERO	28	ABRIL	2011	77.5	mm
1745 m	LA VICTORIA - EL GAITERO	30	ABRIL	2011	77.8	mm
1745 m	LA VICTORIA - EL GAITERO	22	NOVIEMBRE	2014	89.8	mm
1745 m	LA VICTORIA - EL GAITERO	23	NOVIEMBRE	2014	119.2	mm
1745 m	LA VICTORIA - EL GAITERO	22	OCTUBRE	2015	116.5	mm
1745 m	LA VICTORIA - EL GAITERO	20	FEBRERO	2016	86.6	mm
1745 m	LA VICTORIA - EL GAITERO	12	NOVIEMBRE	2018	76.2	mm
1745 m	LA VICTORIA - EL GAITERO	4	NOVIEMBRE	2020	82.0	mm
1745 m	LA VICTORIA - EL GAITERO	15	DICIEMBRE	2020	77.9	mm
1745 m	LA VICTORIA - EL GAITERO	8	ENERO	2021	89.2	mm
25 m	PUERTO DE LA CRUZ	19	NOVIEMBRE	2014	80.0	mm
25 m	PUERTO DE LA CRUZ	12	FEBRERO	2023	128.2	mm

Precipitaciones en el periodo 2005-2025 en Tenerife. Tendencias pluviométricas en los últimos 21 años

25 m	PUERTO DE LA CRUZ	13	FEBRERO	2023	88.5	mm
25 m	PUERTO DE LA CRUZ	3	MARZO	2023	80.3	mm
142 m	PUERTO DE LA CRUZ - JARDÍN BOTÁNICO	7	NOVIEMBRE	2012	150.2	mm
142 m	PUERTO DE LA CRUZ - JARDÍN BOTÁNICO	19	NOVIEMBRE	2014	80.2	mm
142 m	PUERTO DE LA CRUZ - JARDÍN BOTÁNICO	31	OCTUBRE	2015	145.1	mm
216 m	LA OROTAVA - EL RINCÓN	7	NOVIEMBRE	2012	119.0	mm
216 m	LA OROTAVA - EL RINCÓN	19	NOVIEMBRE	2014	80.6	mm
380 m	LA OROTAVA - LA PERDOMA EL RATIÑO	16	NOVIEMBRE	2009	114.6	mm
380 m	LA OROTAVA - LA PERDOMA EL RATIÑO	7	NOVIEMBRE	2012	90.2	mm
380 m	LA OROTAVA - LA PERDOMA EL RATIÑO	24	DICIEMBRE	2012	77.7	mm
380 m	LA OROTAVA - LA PERDOMA EL RATIÑO	4	MARZO	2013	76.5	mm
380 m	LA OROTAVA - LA PERDOMA EL RATIÑO	11	DICIEMBRE	2013	90.0	mm
380 m	LA OROTAVA - LA PERDOMA EL RATIÑO	31	OCTUBRE	2015	97.4	mm
380 m	LA OROTAVA - LA PERDOMA EL RATIÑO	18	FEBRERO	2016	83.0	mm
380 m	LA OROTAVA - LA PERDOMA EL RATIÑO	8	ENERO	2021	85.0	mm
550 m	LA OROTAVA - LA PERDOMA LA SUERTE	16	NOVIEMBRE	2006	80.5	mm
550 m	LA OROTAVA - LA PERDOMA LA SUERTE	16	NOVIEMBRE	2009	120.5	mm
550 m	LA OROTAVA - LA PERDOMA LA SUERTE	24	DICIEMBRE	2012	95.1	mm
550 m	LA OROTAVA - LA PERDOMA LA SUERTE	11	DICIEMBRE	2013	88.9	mm
550 m	LA OROTAVA - LA PERDOMA LA SUERTE	31	OCTUBRE	2015	95.8	mm
550 m	LA OROTAVA - LA PERDOMA LA SUERTE	8	ENERO	2021	82.2	mm
595 m	LOS REALEJOS - PALO BLANCO	16	NOVIEMBRE	2006	108.2	mm
595 m	LOS REALEJOS - PALO BLANCO	16	NOVIEMBRE	2009	145.1	mm
595 m	LOS REALEJOS - PALO BLANCO	17	NOVIEMBRE	2009	81.8	mm
595 m	LOS REALEJOS - PALO BLANCO	24	DICIEMBRE	2012	145.9	mm
595 m	LOS REALEJOS - PALO BLANCO	23	NOVIEMBRE	2014	88.3	mm
595 m	LOS REALEJOS - PALO BLANCO	31	OCTUBRE	2015	102.5	mm
595 m	LOS REALEJOS - PALO BLANCO	8	ENERO	2021	91.7	mm
770 m	LOS REALEJOS - ICOD EL ALTO	29	NOVIEMBRE	2010	127.4	mm
770 m	LOS REALEJOS - ICOD EL ALTO	24	DICIEMBRE	2012	190.2	mm
770 m	LOS REALEJOS - ICOD EL ALTO	23	FEBRERO	2015	84.1	mm
770 m	LOS REALEJOS - ICOD EL ALTO	31	OCTUBRE	2015	141.3	mm
770 m	LOS REALEJOS - ICOD EL ALTO	31	MARZO	2016	81.9	mm
770 m	LOS REALEJOS - ICOD EL ALTO	8	ENERO	2021	76.8	mm
906 m	LA OROTAVA - BENIJOS	16	NOVIEMBRE	2006	102.0	mm
906 m	LA OROTAVA - BENIJOS	16	NOVIEMBRE	2009	92.6	mm
906 m	LA OROTAVA - BENIJOS	27	FEBRERO	2010	164.2	mm
906 m	LA OROTAVA - BENIJOS	29	NOVIEMBRE	2010	99.1	mm
906 m	LA OROTAVA - BENIJOS	24	DICIEMBRE	2012	114.5	mm
906 m	LA OROTAVA - BENIJOS	31	OCTUBRE	2015	81.1	mm
906 m	LA OROTAVA - BENIJOS	8	ENERO	2021	95.4	mm
1065 m	LA OROTAVA - AGUAMANSA	16	NOVIEMBRE	2009	94.6	mm
1065 m	LA OROTAVA - AGUAMANSA	15	FEBRERO	2014	90.7	mm
1065 m	LA OROTAVA - AGUAMANSA	22	NOVIEMBRE	2014	92.6	mm
1065 m	LA OROTAVA - AGUAMANSA	23	NOVIEMBRE	2014	136.2	mm
1065 m	LA OROTAVA - AGUAMANSA	18	FEBRERO	2016	83.0	mm
1065 m	LA OROTAVA - AGUAMANSA	8	ENERO	2021	123.5	mm
1065 m	LA OROTAVA - AGUAMANSA	22	OCTUBRE	2023	77.3	mm
2094 m	LA OROTAVA - RISCO VERDE	11	DICIEMBRE	2013	109.6	mm
2369 m	LA OROTAVA - IZAÑA	12	FEBRERO	2006	76.5	mm
2369 m	LA OROTAVA - IZAÑA	27	ENERO	2007	138.2	mm
2369 m	LA OROTAVA - IZAÑA	13	DICIEMBRE	2007	138.0	mm
2369 m	LA OROTAVA - IZAÑA	1	FEBRERO	2010	143.9	mm
2369 m	LA OROTAVA - IZAÑA	29	NOVIEMBRE	2010	86.7	mm
2369 m	LA OROTAVA - IZAÑA	11	DICIEMBRE	2013	87.6	mm
2369 m	LA OROTAVA - IZAÑA	23	NOVIEMBRE	2014	126.4	mm
2369 m	LA OROTAVA - IZAÑA	29	NOVIEMBRE	2014	75.6	mm
2369 m	LA OROTAVA - IZAÑA	13	DICIEMBRE	2025	96.8	mm
28 m	BUENAVISTA DEL NORTE ICIA	11	DICIEMBRE	2013	124.6	mm
60 m	LA GUANCHA - CHARCO DEL VIENTO	11	DICIEMBRE	2013	98.0	mm
66 m	BUENAVISTA DEL NORTE	28	NOVIEMBRE	2005	76.2	mm
66 m	BUENAVISTA DEL NORTE	11	DICIEMBRE	2013	160.5	mm
200 m	ICOD DE LOS VINOS - DRAGO	7	NOVIEMBRE	2012	96.0	mm

Precipitaciones en el periodo 2005-2025 en Tenerife. Tendencias pluviométricas en los últimos 21 años

200 m	ICOD DE LOS VINOS - DRAGO	11	DICIEMBRE	2013	86.6 mm
450 m	LOS SILOS - TIERRA del TRIGO	26	FEBRERO	2005	126.6 mm
450 m	LOS SILOS - TIERRA del TRIGO	1	FEBRERO	2010	93.3 mm
450 m	LOS SILOS - TIERRA del TRIGO	20	FEBRERO	2010	85.2 mm
450 m	LOS SILOS - TIERRA del TRIGO	30	ENERO	2011	82.1 mm
450 m	LOS SILOS - TIERRA del TRIGO	7	JULIO	2011	98.1 mm
450 m	LOS SILOS - TIERRA del TRIGO	3	MARZO	2013	87.4 mm
450 m	LOS SILOS - TIERRA del TRIGO	11	DICIEMBRE	2013	136.7 mm
450 m	LOS SILOS - TIERRA del TRIGO	19	NOVIEMBRE	2014	81.4 mm
450 m	LOS SILOS - TIERRA del TRIGO	31	OCTUBRE	2015	117.2 mm
450 m	LOS SILOS - TIERRA del TRIGO	25	FEBRERO	2018	79.8 mm
450 m	LOS SILOS - TIERRA del TRIGO	29	OCTUBRE	2018	91.1 mm
475 m	ICOD DE LOS VINOS - SANTA BÁRBARA	16	NOVIEMBRE	2006	76.7 mm
475 m	ICOD DE LOS VINOS - SANTA BÁRBARA	29	NOVIEMBRE	2010	95.8 mm
475 m	ICOD DE LOS VINOS - SANTA BÁRBARA	7	NOVIEMBRE	2012	116.9 mm
475 m	ICOD DE LOS VINOS - SANTA BÁRBARA	11	DICIEMBRE	2013	81.9 mm
475 m	ICOD DE LOS VINOS - SANTA BÁRBARA	19	NOVIEMBRE	2014	75.7 mm
475 m	ICOD DE LOS VINOS - SANTA BÁRBARA	23	NOVIEMBRE	2014	85.4 mm
475 m	ICOD DE LOS VINOS - SANTA BÁRBARA	31	OCTUBRE	2015	100.8 mm
475 m	ICOD DE LOS VINOS - SANTA BÁRBARA	18	FEBRERO	2016	77.3 mm
525 m	ICOD DE LOS VINOS - REDONDO	16	NOVIEMBRE	2006	78.2 mm
525 m	ICOD DE LOS VINOS - REDONDO	16	NOVIEMBRE	2009	107.1 mm
525 m	ICOD DE LOS VINOS - REDONDO	29	NOVIEMBRE	2010	106.4 mm
525 m	ICOD DE LOS VINOS - REDONDO	7	NOVIEMBRE	2012	83.9 mm
525 m	ICOD DE LOS VINOS - REDONDO	24	DICIEMBRE	2012	96.9 mm
525 m	ICOD DE LOS VINOS - REDONDO	11	DICIEMBRE	2013	82.0 mm
525 m	ICOD DE LOS VINOS - REDONDO	23	NOVIEMBRE	2014	102.6 mm
525 m	ICOD DE LOS VINOS - REDONDO	31	OCTUBRE	2015	90.6 mm
555 m	BUENAVISTA DEL NORTE - PALMAR	16	NOVIEMBRE	2009	92.4 mm
555 m	BUENAVISTA DEL NORTE - PALMAR	11	DICIEMBRE	2013	82.1 mm
880 m	EL TANQUE - RUIGÓMEZ	27	FEBRERO	2005	84.6 mm
880 m	EL TANQUE - RUIGÓMEZ	2	MARZO	2009	85.4 mm
880 m	EL TANQUE - RUIGÓMEZ	1	FEBRERO	2010	105.9 mm
880 m	EL TANQUE - RUIGÓMEZ	29	NOVIEMBRE	2010	76.4 mm
880 m	EL TANQUE - RUIGÓMEZ	24	DICIEMBRE	2012	88.4 mm
880 m	EL TANQUE - RUIGÓMEZ	11	DICIEMBRE	2013	111.0 mm
880 m	EL TANQUE - RUIGÓMEZ	23	NOVIEMBRE	2014	78.5 mm
880 m	EL TANQUE - RUIGÓMEZ	31	OCTUBRE	2015	81.0 mm
880 m	EL TANQUE - RUIGÓMEZ	31	MARZO	2016	105.0 mm
880 m	EL TANQUE - RUIGÓMEZ	25	FEBRERO	2018	85.4 mm
880 m	EL TANQUE - RUIGÓMEZ	28	FEBRERO	2018	79.6 mm
30 m	GUÍA DE ISORA - ALCALÁ	11	DICIEMBRE	2013	85.2 mm
30 m	GUÍA DE ISORA - ALCALÁ	19	OCTUBRE	2014	104.1 mm
48 m	GUÍA DE ISORA - CUEVA DEL POLVO	1	NOVIEMBRE	2006	96.4 mm
68 m	ARONA - LAS GALLETAS ICIA	31	OCTUBRE	2015	82.0 mm
73 m	ARONA - LAS GALLETAS	1	NOVIEMBRE	2006	79.8 mm
73 m	ARONA - LAS GALLETAS	12	DICIEMBRE	2013	131.3 mm
130 m	ADEJE - HOYA GRANDE	11	DICIEMBRE	2013	88.7 mm
130 m	ADEJE - CALDERA	11	DICIEMBRE	2013	127.2 mm
476 m	GUÍA DE ISORA	11	DICIEMBRE	2013	85.6 mm
630 m	ARONA	19	FEBRERO	2005	94.7 mm
630 m	ARONA	23	ENERO	2006	95.2 mm
630 m	ARONA	2	MARZO	2006	80.5 mm
700 m	GUÍA DE ISORA - EL POZO	20	DICIEMBRE	2005	118.5 mm
700 m	GUÍA DE ISORA - EL POZO	1	FEBRERO	2010	87.4 mm
700 m	GUÍA DE ISORA - EL POZO	11	DICIEMBRE	2013	97.0 mm
735 m	GUÍA DE ISORA - CHÍO	1	NOVIEMBRE	2006	88.8 mm
735 m	GUÍA DE ISORA - CHÍO	1	FEBRERO	2010	91.1 mm
735 m	GUÍA DE ISORA - CHÍO	11	DICIEMBRE	2013	85.1 mm
735 m	GUÍA DE ISORA - CHÍO	15	FEBRERO	2014	102.1 mm
735 m	GUÍA DE ISORA - CHÍO	19	OCTUBRE	2014	117.8 mm
990 m	SANTIAGO DEL TEIDE - VALLE ARRIBA	27	FEBRERO	2005	98.9 mm
990 m	SANTIAGO DEL TEIDE - VALLE ARRIBA	1	FEBRERO	2010	90.6 mm

Precipitaciones en el periodo 2005-2025 en Tenerife. Tendencias pluviométricas en los últimos 21 años

990 m	SANTIAGO DEL TEIDE - VALLE ARRIBA	11	DICIEMBRE	2013	78.2	mm
990 m	SANTIAGO DEL TEIDE - VALLE ARRIBA	15	FEBRERO	2014	82.1	mm
990 m	SANTIAGO DEL TEIDE - VALLE ARRIBA	19	OCTUBRE	2014	75.1	mm
990 m	SANTIAGO DEL TEIDE - VALLE ARRIBA	23	NOVIEMBRE	2014	105.7	mm
1032 m	GUÍA ISORA - ARIPE - LOS LLANITOS	2	MARZO	2005	85.3	mm
1032 m	GUÍA ISORA - ARIPE - LOS LLANITOS	20	DICIEMBRE	2005	107.0	mm
1032 m	GUÍA ISORA - ARIPE - LOS LLANITOS	1	FEBRERO	2010	107.3	mm
1032 m	GUÍA ISORA - ARIPE - LOS LLANITOS	17	FEBRERO	2010	91.9	mm
1032 m	GUÍA ISORA - ARIPE - LOS LLANITOS	29	NOVIEMBRE	2010	95.8	mm
1032 m	GUÍA ISORA - ARIPE - LOS LLANITOS	11	DICIEMBRE	2013	127.8	mm
1032 m	GUÍA ISORA - ARIPE - LOS LLANITOS	15	FEBRERO	2014	105.4	mm
1032 m	GUÍA ISORA - ARIPE - LOS LLANITOS	19	OCTUBRE	2014	97.7	mm
1032 m	GUÍA ISORA - ARIPE - LOS LLANITOS	13	DICIEMBRE	2025	88.4	mm
1258 m	VILAFLOR - EL FRONTÓN	27	FEBRERO	2005	96.2	mm
1258 m	VILAFLOR - EL FRONTÓN	28	FEBRERO	2005	169.2	mm
1258 m	VILAFLOR - EL FRONTÓN	2	MARZO	2005	125.7	mm
1258 m	VILAFLOR - EL FRONTÓN	18	AGOSTO	2005	88.3	mm
1258 m	VILAFLOR - EL FRONTÓN	28	NOVIEMBRE	2005	149.1	mm
1258 m	VILAFLOR - EL FRONTÓN	8	FEBRERO	2006	101.0	mm
1258 m	VILAFLOR - EL FRONTÓN	28	FEBRERO	2006	168.9	mm
1258 m	VILAFLOR - EL FRONTÓN	17	MARZO	2006	115.4	mm
1258 m	VILAFLOR - EL FRONTÓN	13	ABRIL	2006	137.5	mm
1258 m	VILAFLOR - EL FRONTÓN	27	ENERO	2007	141.0	mm
1258 m	VILAFLOR - EL FRONTÓN	30	DICIEMBRE	2008	147.9	mm
1258 m	VILAFLOR - EL FRONTÓN	1	FEBRERO	2010	78.5	mm
1258 m	VILAFLOR - EL FRONTÓN	2	FEBRERO	2010	80.4	mm
1258 m	VILAFLOR - EL FRONTÓN	16	FEBRERO	2010	84.7	mm
1258 m	VILAFLOR - EL FRONTÓN	17	FEBRERO	2010	117.1	mm
1258 m	VILAFLOR - EL FRONTÓN	29	NOVIEMBRE	2010	162.8	mm
1258 m	VILAFLOR - EL FRONTÓN	31	OCTUBRE	2012	83.5	mm
1258 m	VILAFLOR - EL FRONTÓN	3	MARZO	2013	102.9	mm
1258 m	VILAFLOR - EL FRONTÓN	11	DICIEMBRE	2013	123.8	mm
1258 m	VILAFLOR - EL FRONTÓN	25	FEBRERO	2018	79.2	mm
1258 m	VILAFLOR - EL FRONTÓN	28	FEBRERO	2018	125.4	mm
1276 m	VILAFLOR - TREVEJOS	25	SEPTIEMBRE	2022	77.2	mm
1800 m	VILAFLOR - CASA FORESTAL	19	FEBRERO	2005	153.0	mm
1800 m	VILAFLOR - CASA FORESTAL	24	ENERO	2006	77.0	mm
1800 m	VILAFLOR - CASA FORESTAL	27	FEBRERO	2006	88.0	mm
1800 m	VILAFLOR - CASA FORESTAL	2	MARZO	2006	103.6	mm
1800 m	VILAFLOR - CASA FORESTAL	18	AGOSTO	2006	115.0	mm
1800 m	VILAFLOR - CASA FORESTAL	20	DICIEMBRE	2006	167.0	mm
1800 m	VILAFLOR - CASA FORESTAL	30	DICIEMBRE	2009	125.5	mm
1800 m	VILAFLOR - CASA FORESTAL	22	DICIEMBRE	2010	97.0	mm
1833 m	VILAFLOR - LOS TOPOS	31	OCTUBRE	2012	75.4	mm
1833 m	VILAFLOR - LOS TOPOS	2	DICIEMBRE	2013	84.4	mm
1833 m	VILAFLOR - LOS TOPOS	11	DICIEMBRE	2013	127.0	mm
1833 m	VILAFLOR - LOS TOPOS	19	OCTUBRE	2014	98.6	mm
1833 m	VILAFLOR - LOS TOPOS	28	NOVIEMBRE	2014	81.8	mm
1833 m	VILAFLOR - LOS TOPOS	22	OCTUBRE	2015	83.3	mm
1833 m	VILAFLOR - LOS TOPOS	25	SEPTIEMBRE	2022	76.4	mm
1950 m	GUÍA DE ISORA - CHAVAO	23	DICIEMBRE	2009	104.6	mm
1950 m	GUÍA DE ISORA - CHAVAO	22	SEPTIEMBRE	2010	85.2	mm
1950 m	GUÍA DE ISORA - CHAVAO	29	NOVIEMBRE	2010	118.6	mm
1950 m	GUÍA DE ISORA - CHAVAO	31	OCTUBRE	2012	88.8	mm
1950 m	GUÍA DE ISORA - CHAVAO	11	DICIEMBRE	2013	99.3	mm
1950 m	GUÍA DE ISORA - CHAVAO	19	OCTUBRE	2014	98.8	mm
1950 m	GUÍA DE ISORA - CHAVAO	25	FEBRERO	2018	92.7	mm
1950 m	GUÍA DE ISORA - CHAVAO	28	FEBRERO	2018	110.7	mm
1950 m	GUÍA DE ISORA - CHAVAO	6	ENERO	2021	86.5	mm
2150 m	LA OROTAVA - LAS CAÑADAS - PARADOR	13	DICIEMBRE	2005	116.7	mm
2150 m	LA OROTAVA - LAS CAÑADAS - PARADOR	28	FEBRERO	2006	127.0	mm
2150 m	LA OROTAVA - LAS CAÑADAS - PARADOR	6	MARZO	2006	166.5	mm
2150 m	LA OROTAVA - LAS CAÑADAS - PARADOR	31	AGOSTO	2006	76.7	mm

Precipitaciones en el periodo 2005-2025 en Tenerife. Tendencias pluviométricas en los últimos 21 años

2150 m	LA OROTAVA - LAS CAÑADAS - PARADOR	26 DICIEMBRE	2006	149.0 mm
2150 m	LA OROTAVA - LAS CAÑADAS - PARADOR	8 FEBRERO	2007	214.6 mm
2150 m	LA OROTAVA - LAS CAÑADAS - PARADOR	16 ABRIL	2007	106.0 mm
2150 m	LA OROTAVA - LAS CAÑADAS - PARADOR	24 FEBRERO	2009	81.6 mm
2150 m	LA OROTAVA - LAS CAÑADAS - PARADOR	31 DICIEMBRE	2009	228.6 mm
2150 m	LA OROTAVA - LAS CAÑADAS - PARADOR	31 OCTUBRE	2012	91.2 mm
2150 m	LA OROTAVA - LAS CAÑADAS - PARADOR	3 MARZO	2013	102.2 mm
2150 m	LA OROTAVA - LAS CAÑADAS - PARADOR	4 MARZO	2013	76.4 mm
2150 m	LA OROTAVA - LAS CAÑADAS - PARADOR	11 DICIEMBRE	2013	136.2 mm
2150 m	LA OROTAVA - LAS CAÑADAS - PARADOR	12 ABRIL	2014	88.6 mm
2150 m	LA OROTAVA - LAS CAÑADAS - PARADOR	19 OCTUBRE	2014	76.3 mm
2150 m	LA OROTAVA - LAS CAÑADAS - PARADOR	25 FEBRERO	2018	75.8 mm
2150 m	LA OROTAVA - LAS CAÑADAS - PARADOR	28 FEBRERO	2018	112.0 mm
64 m	GRANADILLA - AEROPUERTO DEL SUR	1 NOVIEMBRE	2007	81.1 mm
64 m	GRANADILLA - AEROPUERTO DEL SUR	11 DICIEMBRE	2013	95.4 mm
64 m	GRANADILLA - AEROPUERTO DEL SUR	12 FEBRERO	2023	128.2 mm
64 m	GRANADILLA - AEROPUERTO DEL SUR	13 FEBRERO	2023	88.5 mm
64 m	GRANADILLA - AEROPUERTO DEL SUR	3 MARZO	2023	80.3 mm
105 m	FASNIA - LAS ERAS	25 SEPTIEMBRE	2022	86.6 mm
135 m	ARICO - LLANOS de SAN JUAN	1 NOVIEMBRE	2006	87.5 mm
135 m	ARICO - LLANOS de SAN JUAN	30 DICIEMBRE	2008	96.5 mm
135 m	ARICO - LLANOS de SAN JUAN	1 FEBRERO	2010	92.1 mm
135 m	ARICO - LLANOS de SAN JUAN	11 DICIEMBRE	2013	86.9 mm
135 m	ARICO - LLANOS de SAN JUAN	25 SEPTIEMBRE	2022	85.5 mm
381 m	ARICO - ICOR	1 FEBRERO	2010	76.9 mm
381 m	ARICO - ICOR	2 DICIEMBRE	2013	159.8 mm
381 m	ARICO - ICOR	11 DICIEMBRE	2013	116.2 mm
381 m	ARICO - ICOR	25 SEPTIEMBRE	2022	90.8 mm
410 m	ARICO - TEGUEDITE - EL VISO	2 MARZO	2005	119.3 mm
410 m	ARICO - TEGUEDITE - EL VISO	18 AGOSTO	2005	80.0 mm
410 m	ARICO - TEGUEDITE - EL VISO	8 FEBRERO	2006	75.6 mm
410 m	ARICO - TEGUEDITE - EL VISO	27 ENERO	2007	119.8 mm
410 m	ARICO - TEGUEDITE - EL VISO	30 DICIEMBRE	2008	154.9 mm
410 m	ARICO - TEGUEDITE - EL VISO	1 FEBRERO	2010	101.8 mm
410 m	ARICO - TEGUEDITE - EL VISO	3 MARZO	2013	81.8 mm
410 m	ARICO - TEGUEDITE - EL VISO	2 DICIEMBRE	2013	153.1 mm
410 m	ARICO - TEGUEDITE - EL VISO	11 DICIEMBRE	2013	128.1 mm
410 m	ARICO - TEGUEDITE - EL VISO	25 SEPTIEMBRE	2022	85.7 mm
418 m	ARICO - LA DEGOLLADA	31 ENERO	2010	78.4 mm
418 m	ARICO - LA DEGOLLADA	3 MARZO	2013	90.6 mm
418 m	ARICO - LA DEGOLLADA	11 DICIEMBRE	2013	121.0 mm
500 m	GÜIMAR - LOMO MENA	17 FEBRERO	2005	77.5 mm
500 m	GÜIMAR - LOMO MENA	2 MARZO	2005	104.3 mm
500 m	GÜIMAR - LOMO MENA	28 NOVIEMBRE	2005	100.3 mm
500 m	GÜIMAR - LOMO MENA	24 ENERO	2006	153.6 mm
500 m	GÜIMAR - LOMO MENA	27 ENERO	2007	230.6 mm
500 m	GÜIMAR - LOMO MENA	24 DICIEMBRE	2008	116.2 mm
500 m	GÜIMAR - LOMO MENA	30 DICIEMBRE	2008	96.0 mm
500 m	GÜIMAR - LOMO MENA	26 FEBRERO	2009	89.7 mm
500 m	GÜIMAR - LOMO MENA	1 FEBRERO	2010	138.8 mm
500 m	GÜIMAR - LOMO MENA	29 ENERO	2011	134.4 mm
500 m	GÜIMAR - LOMO MENA	2 DICIEMBRE	2013	303.0 mm
500 m	GÜIMAR - LOMO MENA	11 DICIEMBRE	2013	161.1 mm
500 m	GÜIMAR - LOMO MENA	25 SEPTIEMBRE	2022	126.2 mm
500 m	GÜIMAR - LOMO MENA	26 SEPTIEMBRE	2022	87.5 mm
505 m	GRANADILLA - CHARCO DEL PINO	2 MARZO	2005	83.2 mm
505 m	GRANADILLA - CHARCO DEL PINO	20 DICIEMBRE	2005	78.1 mm
505 m	GRANADILLA - CHARCO DEL PINO	30 DICIEMBRE	2008	102.6 mm
505 m	GRANADILLA - CHARCO DEL PINO	2 DICIEMBRE	2013	95.1 mm
505 m	GRANADILLA - CHARCO DEL PINO	11 DICIEMBRE	2013	103.0 mm
505 m	GRANADILLA - CHARCO DEL PINO	28 FEBRERO	2018	76.4 mm
505 m	GRANADILLA - CHARCO DEL PINO	7 DICIEMBRE	2022	83.5 mm
850 m	GRANADILLA - EL PINALETE	2 MARZO	2005	148.1 mm

Precipitaciones en el periodo 2005-2025 en Tenerife. Tendencias pluviométricas en los últimos 21 años

850 m	GRANADILLA - EL PINALETE	28	NOVIEMBRE	2005	100.5	mm
850 m	GRANADILLA - EL PINALETE	20	DICIEMBRE	2005	120.1	mm
850 m	GRANADILLA - EL PINALETE	24	ENERO	2006	113.1	mm
850 m	GRANADILLA - EL PINALETE	8	FEBRERO	2006	89.6	mm
850 m	GRANADILLA - EL PINALETE	29	OCTUBRE	2006	78.5	mm
850 m	GRANADILLA - EL PINALETE	30	DICIEMBRE	2008	152.5	mm
850 m	GRANADILLA - EL PINALETE	23	DICIEMBRE	2009	113.2	mm
850 m	GRANADILLA - EL PINALETE	16	FEBRERO	2010	89.4	mm
850 m	GRANADILLA - EL PINALETE	29	NOVIEMBRE	2010	186.3	mm
850 m	GRANADILLA - EL PINALETE	31	OCTUBRE	2012	76.4	mm
850 m	GRANADILLA - EL PINALETE	3	MARZO	2013	97.9	mm
850 m	GRANADILLA - EL PINALETE	4	MARZO	2013	87.0	mm
850 m	GRANADILLA - EL PINALETE	2	DICIEMBRE	2013	106.4	mm
850 m	GRANADILLA - EL PINALETE	11	DICIEMBRE	2013	123.0	mm
850 m	GRANADILLA - EL PINALETE	28	FEBRERO	2018	179.7	mm
850 m	GRANADILLA - EL PINALETE	6	ENERO	2021	87.8	mm
930 m	ARICO - EL BUENO	2	MARZO	2005	112.2	mm
930 m	ARICO - EL BUENO	24	ENERO	2006	140.7	mm
930 m	ARICO - EL BUENO	8	FEBRERO	2006	85.6	mm
930 m	ARICO - EL BUENO	27	ENERO	2007	124.1	mm
930 m	ARICO - EL BUENO	30	DICIEMBRE	2008	155.5	mm
930 m	ARICO - EL BUENO	1	FEBRERO	2010	167.3	mm
930 m	ARICO - EL BUENO	17	FEBRERO	2010	86.1	mm
930 m	ARICO - EL BUENO	29	NOVIEMBRE	2010	82.0	mm
930 m	ARICO - EL BUENO	2	DICIEMBRE	2013	171.0	mm
930 m	ARICO - EL BUENO	11	DICIEMBRE	2013	149.5	mm
930 m	ARICO - EL BUENO	19	OCTUBRE	2014	86.5	mm
930 m	ARICO - EL BUENO	21	OCTUBRE	2015	96.3	mm
930 m	ARICO - EL BUENO	25	SEPTIEMBRE	2022	98.7	mm
930 m	ARICO - EL BUENO	13	DICIEMBRE	2025	83.8	mm
1630 m	ARICO - LOS PICACHOS	1	FEBRERO	2010	94.7	mm
1630 m	ARICO - LOS PICACHOS	29	NOVIEMBRE	2010	82.1	mm
1630 m	ARICO - LOS PICACHOS	2	DICIEMBRE	2013	102.3	mm
1630 m	ARICO - LOS PICACHOS	11	DICIEMBRE	2013	127.5	mm
1630 m	ARICO - LOS PICACHOS	25	SEPTIEMBRE	2022	99.9	mm
50 m	CANDELARIA - LAS CALETILLAS	23	ENERO	2006	124.0	mm
78 m	GÜIMAR - EL VIENTO	12	FEBRERO	2023	128.2	mm
78 m	GÜIMAR - EL VIENTO	13	FEBRERO	2023	88.5	mm
78 m	GÜIMAR - EL VIENTO	3	MARZO	2023	80.3	mm
156 m	GÜIMAR - LA PLANTA	2	MARZO	2005	78.6	mm
156 m	GÜIMAR - LA PLANTA	24	ENERO	2006	85.6	mm
156 m	GÜIMAR - LA PLANTA	27	ENERO	2007	85.8	mm
156 m	GÜIMAR - LA PLANTA	24	DICIEMBRE	2008	83.6	mm
156 m	GÜIMAR - LA PLANTA	1	FEBRERO	2010	145.8	mm
290 m	GÜIMAR - TOPO NEGRO	24	ENERO	2006	100.4	mm
290 m	GÜIMAR - TOPO NEGRO	27	ENERO	2007	131.5	mm
290 m	GÜIMAR - TOPO NEGRO	1	FEBRERO	2010	217.8	mm
290 m	GÜIMAR - TOPO NEGRO	29	ENERO	2011	101.5	mm
290 m	GÜIMAR - TOPO NEGRO	2	DICIEMBRE	2013	191.4	mm
290 m	GÜIMAR - TOPO NEGRO	11	DICIEMBRE	2013	143.0	mm
290 m	GÜIMAR - TOPO NEGRO	19	OCTUBRE	2014	117.7	mm
290 m	GÜIMAR - TOPO NEGRO	22	OCTUBRE	2015	84.3	mm
290 m	GÜIMAR - TOPO NEGRO	25	SEPTIEMBRE	2022	139.9	mm
290 m	GÜIMAR - TOPO NEGRO	26	SEPTIEMBRE	2022	78.3	mm
340 m	GÜIMAR - BARRANCO DE BADAJOZ	24	ENERO	2006	115.3	mm
340 m	GÜIMAR - BARRANCO DE BADAJOZ	1	NOVIEMBRE	2006	79.2	mm
340 m	GÜIMAR - BARRANCO DE BADAJOZ	27	ENERO	2007	294.3	mm
340 m	GÜIMAR - BARRANCO DE BADAJOZ	30	DICIEMBRE	2008	81.6	mm
340 m	GÜIMAR - BARRANCO DE BADAJOZ	26	MARZO	2009	85.1	mm
340 m	GÜIMAR - BARRANCO DE BADAJOZ	1	FEBRERO	2010	227.1	mm
340 m	GÜIMAR - BARRANCO DE BADAJOZ	29	ENERO	2011	115.1	mm
340 m	GÜIMAR - BARRANCO DE BADAJOZ	11	DICIEMBRE	2013	114.2	mm
340 m	GÜIMAR - BARRANCO DE BADAJOZ	19	OCTUBRE	2014	100.9	mm

Precipitaciones en el periodo 2005-2025 en Tenerife. Tendencias pluviométricas en los últimos 21 años

340 m	GÜIMAR - BARRANCO DE BADAJOZ	21	OCTUBRE	2015	78.6	mm
340 m	GÜIMAR - BARRANCO DE BADAJOZ	22	OCTUBRE	2015	75.9	mm
340 m	GÜIMAR - BARRANCO DE BADAJOZ	25	SEPTIEMBRE	2022	157.3	mm
340 m	GÜIMAR - BARRANCO DE BADAJOZ	26	SEPTIEMBRE	2022	98.9	mm
340 m	GÜIMAR - BARRANCO DE BADAJOZ	2	DICIEMBRE	2023	75.3	mm
463 m	CANDELARIA-DEPOSITO DE LAS CUEVECITAS	2	DICIEMBRE	2013	116.4	mm
463 m	CANDELARIA-DEPOSITO DE LAS CUEVECITAS	11	DICIEMBRE	2013	119.2	mm
463 m	CANDELARIA-DEPOSITO DE LAS CUEVECITAS	15	FEBRERO	2014	104.8	mm
463 m	CANDELARIA-DEPOSITO DE LAS CUEVECITAS	19	OCTUBRE	2014	83.0	mm
463 m	CANDELARIA-DEPOSITO DE LAS CUEVECITAS	23	NOVIEMBRE	2014	76.8	mm
525 m	CANDELARIA - ARAYA	2	DICIEMBRE	2013	85.3	mm
525 m	CANDELARIA - ARAYA	6	DICIEMBRE	2013	78.8	mm
525 m	CANDELARIA - ARAYA	11	DICIEMBRE	2013	110.6	mm
525 m	CANDELARIA - ARAYA	15	FEBRERO	2014	186.2	mm
525 m	CANDELARIA - ARAYA	23	NOVIEMBRE	2014	108.2	mm
525 m	CANDELARIA - ARAYA	28	NOVIEMBRE	2014	178.2	mm
525 m	CANDELARIA - ARAYA	22	OCTUBRE	2015	82.5	mm
525 m	CANDELARIA - ARAYA	18	FEBRERO	2016	98.8	mm
525 m	CANDELARIA - ARAYA	25	SEPTIEMBRE	2022	153.3	mm
525 m	CANDELARIA - ARAYA	26	SEPTIEMBRE	2022	105.4	mm
525 m	CANDELARIA - ARAYA	13	DICIEMBRE	2025	105.4	mm
700 m	ARAFO - AÑAVINGO	28	NOVIEMBRE	2005	244.8	mm
700 m	ARAFO - AÑAVINGO	9	ENERO	2006	77.6	mm
700 m	ARAFO - AÑAVINGO	11	ENERO	2006	75.9	mm
700 m	ARAFO - AÑAVINGO	28	FEBRERO	2006	93.6	mm
700 m	ARAFO - AÑAVINGO	27	ENERO	2007	255.8	mm
700 m	ARAFO - AÑAVINGO	13	DICIEMBRE	2007	79.6	mm
700 m	ARAFO - AÑAVINGO	1	FEBRERO	2010	156.3	mm
700 m	ARAFO - AÑAVINGO	17	FEBRERO	2010	75.6	mm
700 m	ARAFO - AÑAVINGO	29	ENERO	2011	110.9	mm
700 m	ARAFO - AÑAVINGO	11	DICIEMBRE	2013	122.6	mm
700 m	ARAFO - AÑAVINGO	9	ENERO	2014	76.4	mm
700 m	ARAFO - AÑAVINGO	15	FEBRERO	2014	128.7	mm
700 m	ARAFO - AÑAVINGO	19	OCTUBRE	2014	81.7	mm
700 m	ARAFO - AÑAVINGO	28	NOVIEMBRE	2014	141.2	mm
700 m	ARAFO - AÑAVINGO	29	NOVIEMBRE	2014	107.1	mm
700 m	ARAFO - AÑAVINGO	22	OCTUBRE	2015	145.0	mm
700 m	ARAFO - AÑAVINGO	18	FEBRERO	2016	89.0	mm
700 m	ARAFO - AÑAVINGO	19	FEBRERO	2016	77.4	mm
700 m	ARAFO - AÑAVINGO	13	DICIEMBRE	2025	112.8	mm
36 m	SANTA CRUZ DE TENERIFE	11	DICIEMBRE	2013	85.7	mm
36 m	SANTA CRUZ DE TENERIFE	19	OCTUBRE	2014	140.6	mm
655 m	EL ROSARIO - LOS BALDÍOS	1	FEBRERO	2010	130.1	mm
655 m	EL ROSARIO - LOS BALDÍOS	2	DICIEMBRE	2013	88.0	mm
655 m	EL ROSARIO - LOS BALDÍOS	11	DICIEMBRE	2013	105.2	mm
655 m	EL ROSARIO - LOS BALDÍOS	15	FEBRERO	2014	89.8	mm
655 m	EL ROSARIO - LOS BALDÍOS	19	OCTUBRE	2014	92.5	mm
655 m	EL ROSARIO - LOS BALDÍOS	22	NOVIEMBRE	2014	81.6	mm
655 m	EL ROSARIO - LOS BALDÍOS	23	NOVIEMBRE	2014	92.5	mm
655 m	EL ROSARIO - LOS BALDÍOS	22	OCTUBRE	2015	93.0	mm
655 m	EL ROSARIO - LOS BALDÍOS	18	FEBRERO	2016	77.7	mm
655 m	EL ROSARIO - LOS BALDÍOS	25	SEPTIEMBRE	2022	106.2	mm
724 m	SANTA CRUZ TFE - EL BAILADERO	19	OCTUBRE	2014	126.9	mm
724 m	SANTA CRUZ TFE - EL BAILADERO	31	OCTUBRE	2015	160.8	mm
724 m	SANTA CRUZ TFE - EL BAILADERO	2	ENERO	2023	81.6	mm
75 m	SANTA CRUZ TFE - IGUESTE DE SAN ANDRES	19	OCTUBRE	2014	100.8	mm
136 m	SANTA CRUZ TENERIFE - AGROCABILDO	2	DICIEMBRE	2013	78.4	mm
136 m	SANTA CRUZ TENERIFE - AGROCABILDO	11	DICIEMBRE	2013	99.0	mm
136 m	SANTA CRUZ TENERIFE - AGROCABILDO	19	OCTUBRE	2014	155.7	mm